

Rete di rilevamento sismico finalizzata al monitoraggio della sismicità presso la concessione "Gorgoglione" (Pz)

Object

Relazione inerente al periodo gennaio - giugno 2024 del ciclo di monitoraggio

Distribution

TotalEnergies

Riferimento

Rel. S21MM01

Autrici

Camilla Rossi

Chiara Cocorullo

Data

17 July 2024

Verificato da

Filippo Di Fronzo

Data

17 July 2024

Codice

S21MM01

Version

Rev. 0 - 17 July 2024



Sommario

Sommario	2
1. Descrizione della rete	5
2. Operatività della rete di monitoraggio – interventi e/o sostituzioni	7
Copertura dei dati	7
Sostituzioni.....	11
3. Procedura di elaborazione dati	12
4. Modello di velocità	13
5. Zona di interesse	15
6. Eventi sismici	16
Evento 1: 15/01/2024 07:56:07 UTC	23
Evento 2: 15/01/2024 12:08:13 UTC	25
Evento 3: 15/01/2024 19:30:38 UTC	27
Evento 4: 16/01/2024 07:30:15 UTC	29
Evento 5: 26/01/2024 11:04:46 UTC	31
Evento 6: 28/01/2024 23:42:14 UTC	33
Evento 7: 01/02/2024 03:51:52 UTC	35
Evento 8: 01/02/2024 04:06:57 UTC	37
Evento 9: 01/02/2024 05:18:04 UTC	39
Evento 10: 01/02/2024 06:05:27 UTC	41
Evento 11: 02/02/2024 02:20:42 UTC	43
Evento 12: 02/02/2024 15:55:40 UTC	45
Evento 13: 02/02/2024 19:50:03 UTC	47
Evento 14: 03/02/2024 05:16:43 UTC	49
Evento 15: 05/02/2024 18:05:33 UTC	51
Evento 16: 05/02/2024 22:12:40 UTC	53
Evento 17: 05/02/2024 23:21:53 UTC	55
Evento 18: 07/02/2024 06:02:59 UTC	57
Evento 19: 07/02/2024 12:24:35 UTC	59
Evento 20: 13/02/2024 02:41:01 UTC	61
Evento 21: 13/02/2024 03:11:44 UTC	63
Evento 22: 16/02/2024 07:40:34 UTC	65
Evento 23: 16/02/2024 07:40:46 UTC	67
Evento 24: 17/02/2024 20:17:02 UTC	69
Evento 25: 21/02/2024 16:50:15 UTC	71
Evento 26: 26/02/2024 00:36:19 UTC	73
Evento 27: 26/02/2024 01:26:40 UTC	75
Evento 28: 26/02/2024 05:33:51 UTC	77
Evento 29: 27/02/2024 22:04:46 UTC	79
Evento 30: 01/03/2024 00:43:05 UTC	81
Evento 31: 06/03/2024 06:09:50 UTC	83
Evento 32: 08/03/2024 02:08:04 UTC	85

Evento 33: 08/03/2024 02:08:28 UTC	87
Evento 34: 08/03/2024 19:34:29 UTC	89
Evento 35: 18/03/2024 07:26:35 UTC	91
Evento 36: 22/03/2024 16:40:05 UTC	93
Evento 37: 26/03/2024 12:12:09 UTC	95
Evento 38: 11/04/2024 00:47:33 UTC	97
Evento 39: 14/04/2024 06:20:36 UTC	99
Evento 40: 14/04/2024 09:24:10 UTC	101
Evento 41: 14/04/2024 22:45:42 UTC	103
Evento 42: 15/04/2024 00:49:37 UTC	105
Evento 43: 18/04/2024 22:00:40 UTC	107
Evento 44: 20/04/2024 04:16:37 UTC	109
Evento 45: 25/04/2024 09:51:41 UTC	111
Evento 46: 27/04/2024 05:18:39 UTC	113
Evento 47: 27/04/2024 23:43:03 UTC	115
Evento 48: 13/05/2024 12:11:08 UTC	117
Evento 49: 20/05/2024 02:05:00 UTC	119
Evento 50: 26/05/2024 12:46:25 UTC	121
Evento 51: 26/05/2024 12:50:36 UTC	123
Evento 52: 26/05/2024 13:05:12 UTC	125
Evento 53: 26/05/2024 13:10:08 UTC	127
Evento 54: 26/05/2024 13:15:49 UTC	129
Evento 55: 26/05/2024 13:18:49 UTC	131
Evento 56: 26/05/2024 13:20:55 UTC	133
Evento 57: 26/05/2024 13:23:19 UTC	135
Evento 58: 26/05/2024 13:26:31 UTC	137
Evento 59: 26/05/2024 13:27:47 UTC	139
Evento 60: 26/05/2024 13:29:02 UTC	141
Evento 61: 26/05/2024 13:35:03 UTC	143
Evento 62: 26/05/2024 13:35:15 UTC	145
Evento 63: 26/05/2024 13:41:13 UTC	147
Evento 64: 26/05/2024 13:50:57 UTC	149
Evento 65: 26/05/2024 14:05:46 UTC	151
Evento 66: 26/05/2024 14:26:03 UTC	153
Evento 67: 26/05/2024 14:36:07 UTC	155
Evento 68: 16/05/2024 15:09:44 UTC	157
Evento 69: 26/05/2024 15:13:39 UTC	159
Evento 70: 26/05/2024 17:00:49 UTC	161
Evento 71: 26/05/2024 22:55:20 UTC	163
Evento 72: 26/05/2024 23:11:52 UTC	165
Evento 73: 26/05/2024 23:57:33 UTC	167
Evento 74: 27/05/2024 02:55:54 UTC	169
Evento 75: 27/05/2024 06:58:55 UTC	171

Evento 76: 29/05/2024 04:28:33 UTC	173
Evento 77: 29/05/2024 19:50:21 UTC	175
Evento 78: 31/05/2024 23:16:13 UTC	177
Evento 79: 02/06/2024 23:26:40 UTC	179
Evento 80: 03/06/2024 05:15:20 UTC	181
Evento 81: 07/06/2024 11:13:29 UTC	183
Evento 82: 08/06/2024 15:40:47 UTC	185
Evento 83: 09/06/2024 17:40:00 UTC	187
Evento 84: 15/06/2024 00:53:41 UTC	189
Evento 85: 17/06/2024 06:48:41 UTC	191
Evento 86: 20/06/2024 04:29:06 UTC	193
Opere citate.....	195
Indice delle tabelle.....	196
Indice delle figure.....	196

Introduzione

La rete microsismica denominata Tempa Rossa è stata installata presso la Concessione Gorgoglione, su richiesta di Total Energies E&P Italia Spa, ed è sita in Basilicata, nelle province di Potenza e Matera.

Lo scopo della rete è il monitoraggio sismico del volume individuato dai Domini di Rilevazione, in accordo con il documento *"Indirizzi e linee guida per il monitoraggio della sismicità, delle deformazioni del suolo e delle pressioni di poro nell'ambito delle attività antropiche"* (Dialuce, et al., 2014), redatto nel 2014 dal Gruppo di Lavoro istituito dalla Commissione per gli Idrocarburi e le Risorse Minerarie (CIRM) del MISE (Ministero dello Sviluppo Economico) e in accordo al Rapporto di Monitoraggio Sismico di Baseline redatto da INGV (Piccinini, et al., 2016).

Gli Indirizzi e le Linee Guida (da qui in avanti ILG) prevedono il monitoraggio del sito al fine di misurare in continuo l'eventuale sismicità indotta, e forniscono riferimenti tecnici per la progettazione della rete di monitoraggio, in termini di volumi dell'area da monitorare e di caratteristiche della strumentazione.

Per l'inquadramento geologico si rimanda al Rapporto di Monitoraggio Sismico di Baseline redatto da INGV (Piccinini, et al., 2016), per la descrizione della strumentazione, gli schemi d'impianto, i collegamenti elettrici e le schede monografiche si rimanda al Manuale HW (Solgeo srl, 2018).

In questo report, che riguarda il periodo gennaio - giugno 2024, vengono descritti:

- lo stato di funzionamento della rete;
- la procedura di elaborazione dati;
- gli eventi sismici localizzati nell'area di interesse.

1. Descrizione della rete

La rete di monitoraggio è costituita da 12 stazioni a sei canali, la cui installazione è stata completata il 20/09/2018.

In Figura 1 sono mostrati i siti in cui sono installate le stazioni di monitoraggio; in Tabella 1 è riportata la strumentazione per ogni stazione sismica.

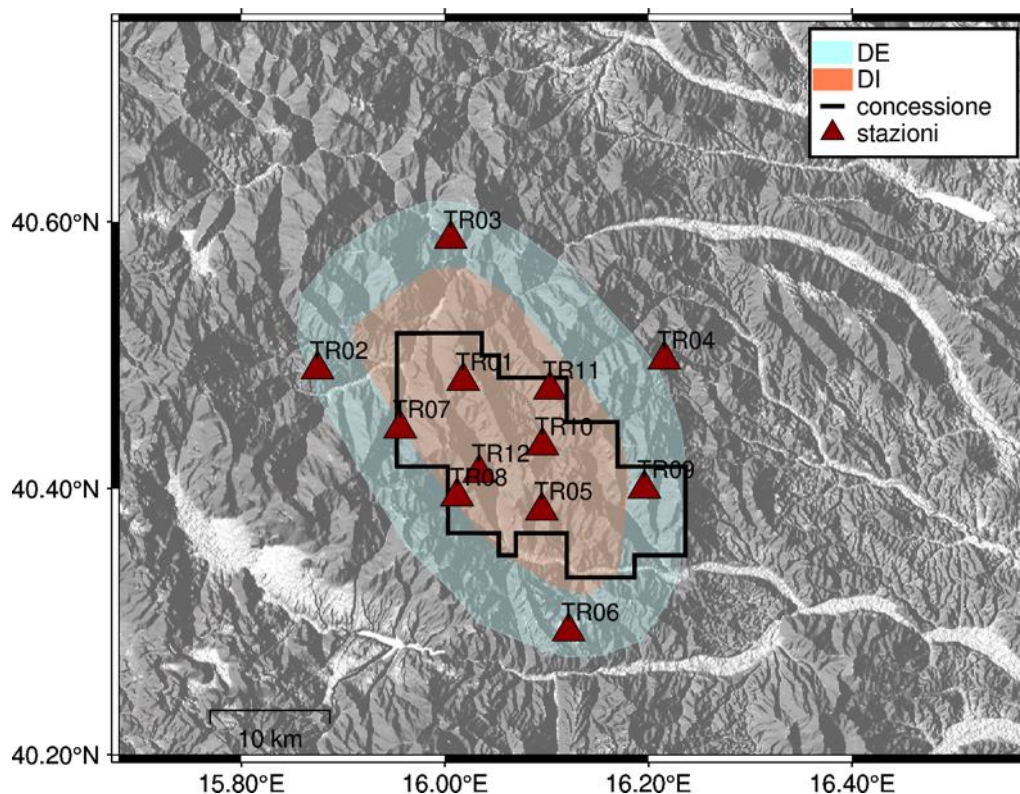


Figura 1: rete microsismica. Proiezioni in superficie dei Domini di rilevanza e, in nero, i limiti della Concessione.

ID	Comune	Lat. [°]	Long. [°]	Data di installazione	Sensore 1	Sensore 2
TR01	Laurenzana	40.48	16.02	05/09/18	Sism. SARA SS02	Acc. SARA SA10
TR02	Calvello	40.49	15.87	20/09/18	Sism. SARA SS02	Acc. SARA SA10
TR03	Albano di Lucania	40.59	16.01	05/09/18	Sism. SARA SS02	Acc. SARA SA10
TR04	San Mauro Forte	40.50	16.22	07/08/18	Sism. SARA SS02	Acc. SARA SA10
TR05	Guardia Perticara	40.38	16.10	03/09/18	Sism. SARA SS08 (BB)	Acc. SARA SA10
TR06	Galicchio	40.29	16.12	09/08/18	Sism. SARA SS02	Acc. SARA SA10
TR07	Laurenzana	40.45	15.96	18/09/18	Sism. SARA SS02	Acc. SARA SA10
TR08	Corleto Perticara	40.39	16.01	31/08/18	Sism. SARA SS02	Acc. SARA SA10
TR09	Stigliano	40.40	16.21	19/09/18	Sism. SARA SS02	Acc. SARA SA10
TR10	Corleto Perticara	40.43	16.10	30/08/18	Sism. SARA SS02	Acc. SARA SA10
TR11	Pietrapertosa	40.47	16.10	19/09/18	Sism. SARA SS02	Acc. SARA SA10
TR12	Corleto Perticara	40.41	16.03	03/09/18	Sism. SARA SS02	Acc. SARA SA10

Tabella 1: coordinate delle stazioni microsismiche (WGS84) e strumentazione installata.

2. Operatività della rete di monitoraggio – interventi e/o sostituzioni

Nei paragrafi seguenti viene riportata la copertura dei dati acquisiti dalla rete nel periodo esaminato e sono elencati gli interventi di manutenzione. Lo stato delle stazioni, in particolare la tensione delle batterie, è monitorato in tempo reale dal software Solgeo-SOH.

Copertura dei dati

Nel periodo di riferimento (01/01/2024 – 30/06/2024), la rete nel suo complesso ha garantito una copertura dei dati pari a 99.5%.

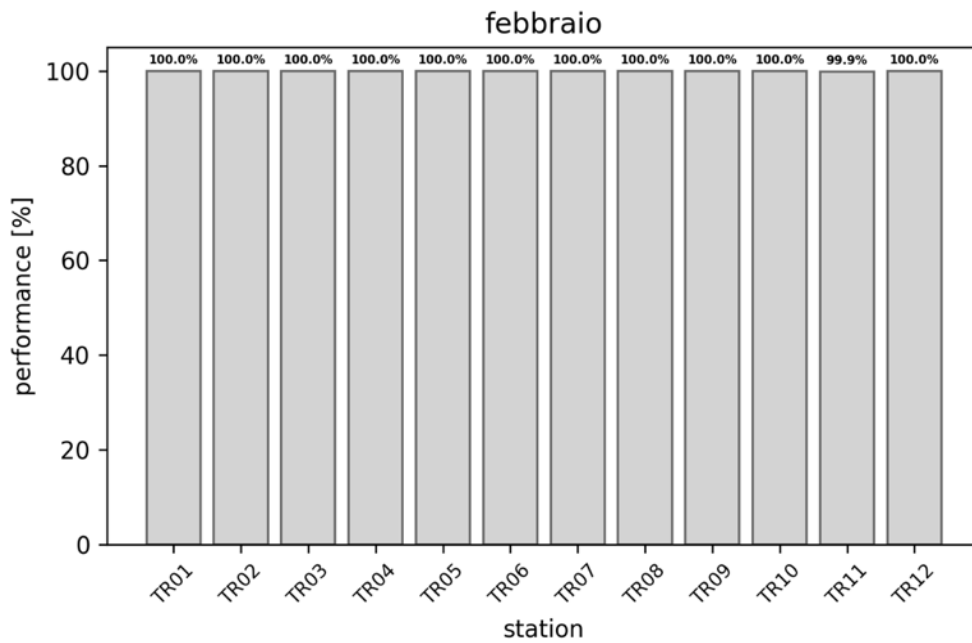
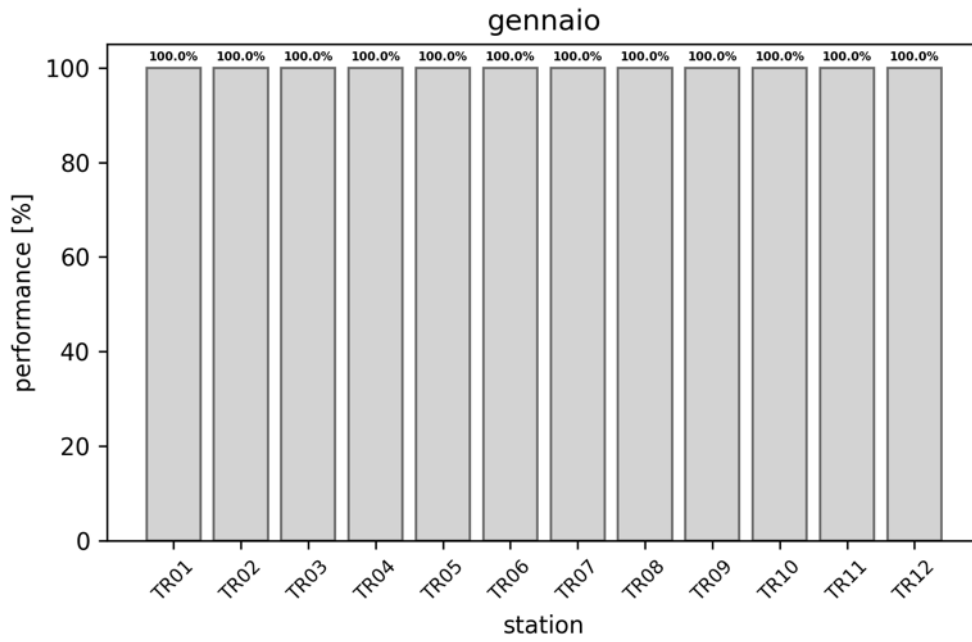
La copertura della rete è stata calcolata utilizzando la libreria ObsPy (Krischer, 2015). In Tabella 2 sono elencate le percentuali di funzionamento delle singole stazioni, durante i mesi oggetto del report.

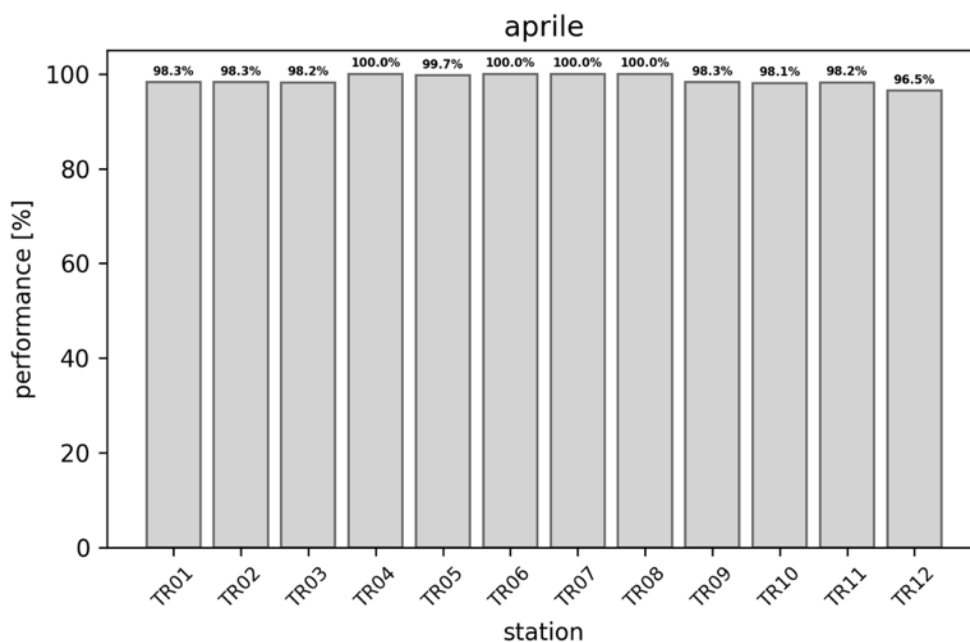
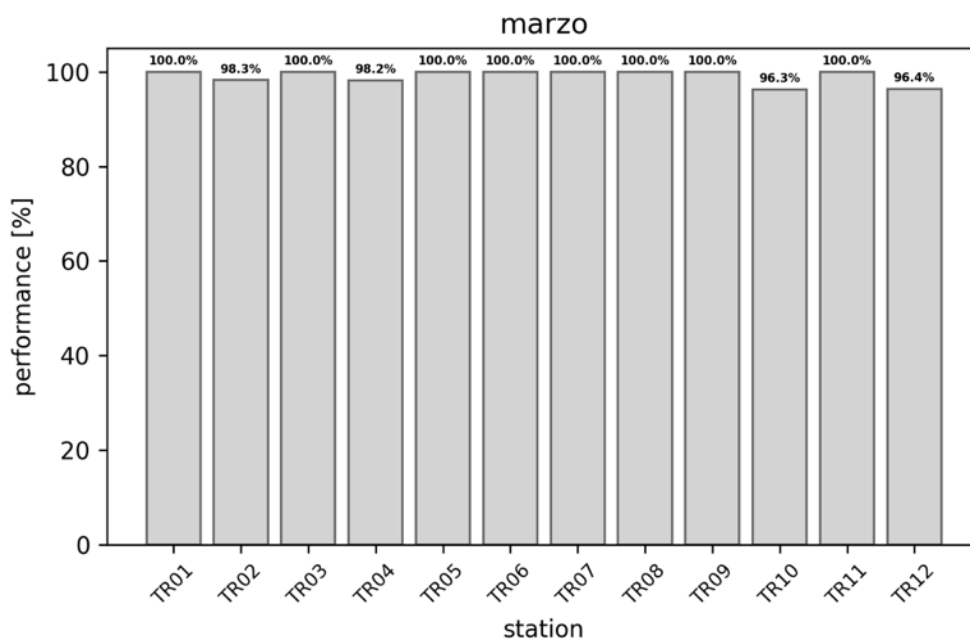
Stazione	Percentuale di funzionamento					
	Gennaio	Febbraio	Marzo	Aprile	Maggio	Giugno
TR01	100.0	100.0	100.0	98.3	100.0	100.0
TR02	100.0	100.0	98.3	98.3	100.0	100.0
TR03	100.0	100.0	100.0	98.2	100.0	100.0
TR04	100.0	100.0	98.2	100.0	100.0	100.0
TR05	100.0	100.0	100.0	99.7	100.0	100.0
TR06	100.0	100.0	100.0	100.0	100.0	100.0
TR07	100.0	100.0	100.0	100.0	100.0	100.0
TR08	100.0	100.0	100.0	100.0	100.0	100.0
TR09	100.0	100.0	100.0	98.3	100.0	100.0
TR10	100.0	100.0	96.3	98.1	100.0	92.9
TR11	100.0	99.9	100.0	98.2	100.0	100.0
TR12	100.0	100.0	96.4	96.5	100.0	100.0
Rete	100.0	99.9	99.1	98.8	100.0	99.4

Tabella 2: percentuale di funzionamento delle stazioni nel periodo gennaio – giugno 2024

La bassa copertura della stazione TR10 a giugno è dovuta al furto delle batterie, che ha causato l'improvviso spegnimento della stazione sabato 01/06/2024 alle 16 UTC. La stazione è stata ripristinata alle 10 UTC circa di lunedì 3 giugno.

In Figura 2 sono riportate, per ogni mese, le percentuali di funzionamento delle singole stazioni; in Figura 3 la percentuale di funzionamento dell'intera rete per ogni mese.





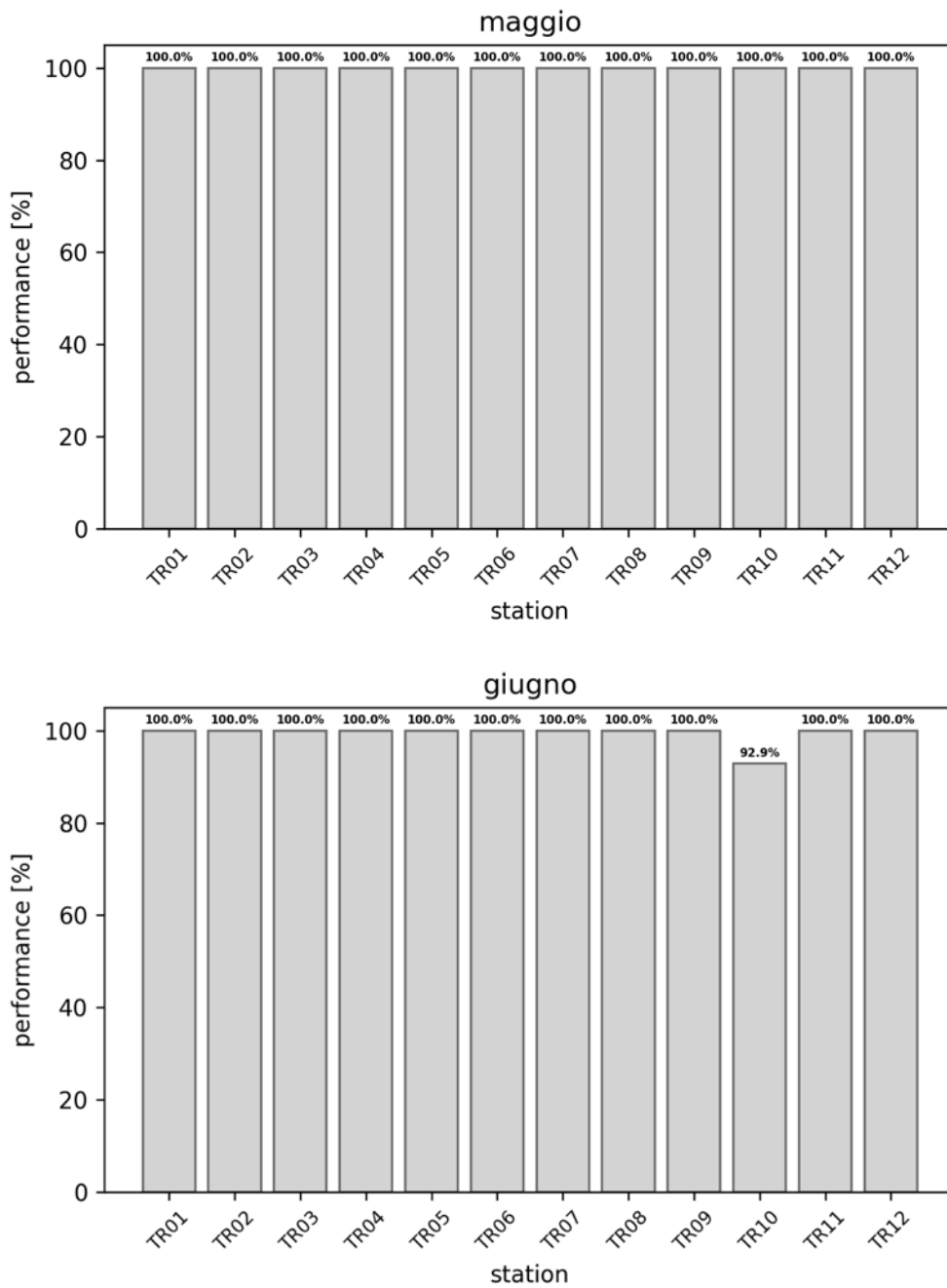


Figura 2: percentuale di funzionamento per singola stazione nei mesi oggetto del report.

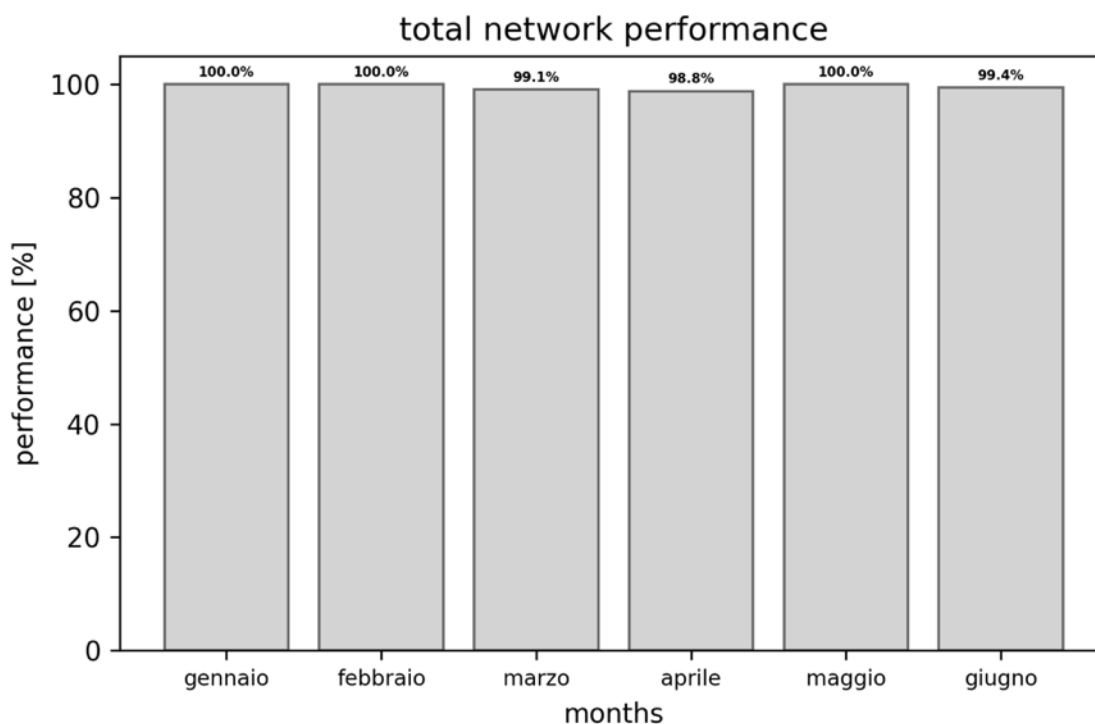


Figura 3: percentuale di funzionamento della rete nel periodo gennaio - giugno 2024

Sostituzioni

In Tabella 3 sono elencati gli interventi di manutenzione. Nel mese di maggio è stata eseguita la manutenzione preventiva. Il 1° giugno è avvenuto un furto alla stazione TR10: sono state rubate le batterie di alimentazione, che sono state sostituite da Total il 3 giugno con una batteria di riserva.

Stazione	Data	Intervento
Tutte le stazioni	11-14/05/2024	Manutenzione ordinaria
TR03	11/05/2024	Sostituzione accelerometro
TR10	03/10/2024	Installazione batteria in seguito a furto

Tabella 3: interventi di manutenzione e/o riparazione nel periodo gennaio - giugno 2024

3. Procedura di elaborazione dati

I dati acquisiti nel semestre dalle stazioni microsismiche sono stati elaborati utilizzando SeisComP.

In Figura 4 è rappresentato lo schema di flusso: sono mostrati solamente i moduli principali, che consentono di gestire tutte le operazioni, dalla trasmissione dei dati alle localizzazioni automatiche, fino alla popolazione del database degli eventi sismici.

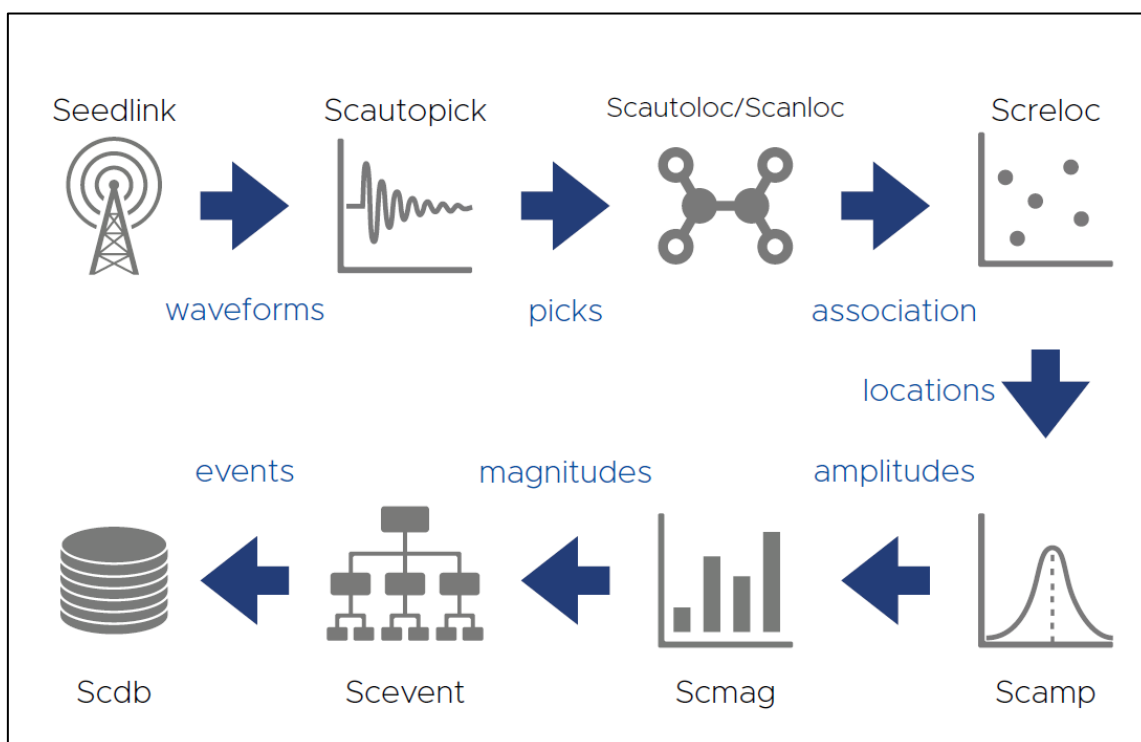


Figura 4: flusso di SeisComP

La localizzazione automatica è effettuata in tempo reale e si aggiorna mentre vengono identificati nuovi pick sulle tracce in arrivo sullo streaming in realtime: si creano quindi, per ogni evento, diverse *Origini*, e lo stesso software propone quella che ritiene la migliore in base a diversi parametri; l'operatore interviene successivamente e ha la possibilità di rilocalizzare l'evento facendo manualmente i pick e assegnandone le incertezze, cambiando il localizzatore e il modello di velocità, escludendo alcune stazioni oppure aggiungendo quelle che non sono state utilizzate nella prima fase perché non avevano pick automatici. In caso di evento fuori rete, può confermare la

localizzazione automatica migliore e assegnare un'etichetta per facilitare l'identificazione nel DB. Il localizzatore utilizzato è NonLinLoc (Lomax, Virieux, Volant, & Berge-Thierry, 2000) (Lomax, Micheleni, & Curtis, Earthquake Location, Direct, Global-Search Methods, 2014).

4. Modello di velocità

Il modello crostale utilizzato è quello ottimizzato, descritto in Tabella 4 e mostrato in Figura 5. Tale modello di velocità è stato calcolato utilizzando la Joint Hypocenter Inversion (Thurber, 1992) (Kissling, Ellsworth, Eberhart-Phillips D., & Kradolfer, 1994). Per i dettagli si veda il report (Seismix, 2022). Si specifica che per eventi molto profondi (profondità > 40 km) si è preferito usare il modello di velocità globale IASP91 (Kennett, 1991).

Profondità [km]	Vp [km/s]	Vs [km/s]	Vp/Vs
0 - 4	4.28	2.27	1.89
4 - 8	5.35	3.46	1.55
8 - 12	6.58	3.49	1.89
12 - 16	6.61	3.88	1.70
16 - 20	7.60	4.08	1.86
20 - 44	7.71	4.16	1.85
44 -	7.73	4.18	1.85

Tabella 4: modello di velocità 1D Tempa Rossa ottimizzato

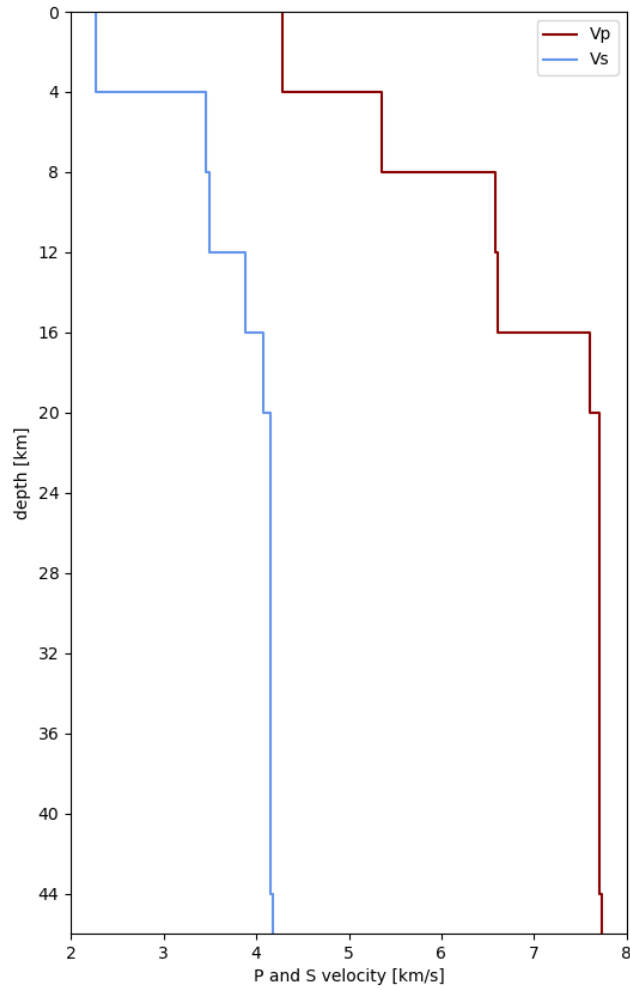


Figura 5: modello di velocità ottimizzato delle onde P e S

5. Zona di interesse

Si riportano solo gli eventi che vengono localizzati nella zona di interesse, che si estende in superficie per circa 41x50 km e in profondità per 50 km, e che racchiude i Domini di Rilevazione. Questo volume è stato precedentemente indicato come *Griglia locale*.

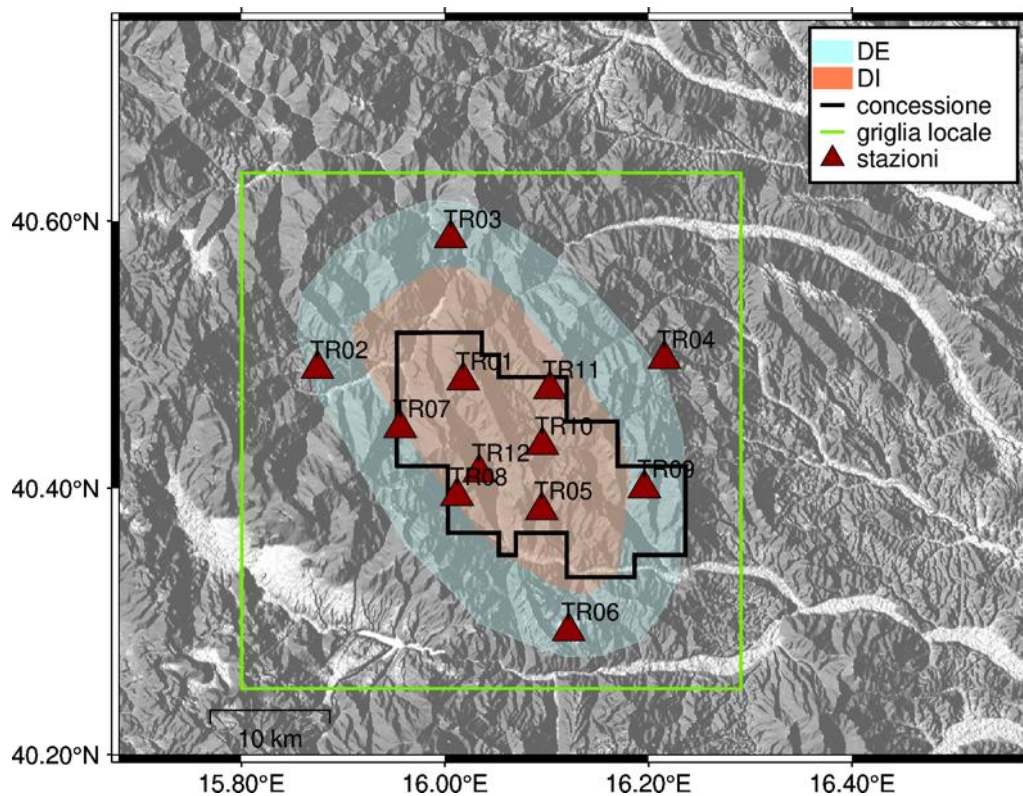


Figura 6: Griglia locale in cui sono stati localizzati gli eventi

6. Eventi sismici

Nel periodo 01/01/2024 – 30/06/2024 sono stati localizzati 86 eventi sismici con epicentro nella griglia locale: di questi, 46 hanno l’epicentro nei Domini di Rilevazione (13 nel Dominio Interno, con profondità minima 1.72 km).

In Tabella 5 il numero di eventi localizzati il cui epicentro ricade nelle aree di interesse.

Eventi con epicentro nella griglia locale:		86
Eventi con epicentro:		
nei Domini di Rilevazione	nel Dominio Interno	entro i limiti della Concessione
46	13	8

Tabella 5: numero di eventi localizzati e distribuzione spaziale

In

Tabella 6 e in Figura 7 il dettaglio degli eventi sismici localizzati nella griglia.

Distribuzione degli epicentri

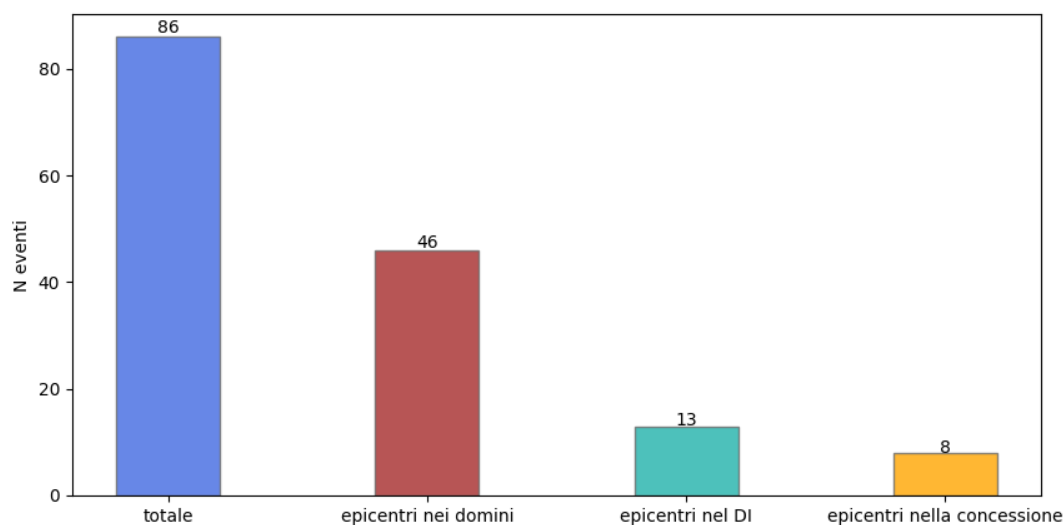


Figura 7: distribuzione degli eventi sismici

Id	Tempo Origine [aa-mm-gg hh:mm:ss UTC]	Lat. [°]	Long. [°]	Profondità [km]	RMS [s]	M _i	Dist. epicentrale dalla stazione (utilizzata) più vicina [km]	Localizzatore	Modello
1	2024-01-15 07:56:07	40.522	16.087	11.11	0.043	1.51±0.23	5.4	NonLinLoc	Ottimizzato
2	2024-01-15 12:08:13	40.515	16.094	12.78	0.057	0.83±0.18	4.6	NonLinLoc	Ottimizzato
3	2024-01-15 19:30:38	40.527	16.090	11.34	0.049	1.02±0.20	6.0	NonLinLoc	Ottimizzato
4	2024-01-16 07:30:15	40.425	16.091	5.22	0.041	0.28±0.29	0.9	NonLinLoc	Ottimizzato
5	2024-01-26 11:04:46	40.324	15.987	7.22	0.026	0.62±0.25	8.1	NonLinLoc	Ottimizzato
6	2024-01-28 23:42:14	40.527	15.889	11.72	0.042	0.52±0.24	4.4	NonLinLoc	Ottimizzato
7	2024-02-01 03:51:52	40.268	15.864	14.19	0.062	2.42±0.20	18.8	NonLinLoc	Ottimizzato
8	2024-02-01 04:06:57	40.249	15.837	11.44	0.082	1.02±0.21	21.9	NonLinLoc	Ottimizzato
9	2024-02-01 05:18:04	40.262	15.839	1.25	0.074	1.34±0.21	20.8	NonLinLoc	Ottimizzato
10	2024-02-01 06:05:27	40.261	15.844	15.81	0.046	0.73±0.19	20.5	NonLinLoc	Ottimizzato
11	2024-02-02 02:20:42	40.424	16.057	1.72	0.024	-0.07±0.15	2.4	NonLinLoc	Ottimizzato
12	2024-02-02 15:55:40	40.245	15.829	8.06	0.063	1.34±0.22	22.7	NonLinLoc	Ottimizzato
13	2024-02-02 19:50:03	40.257	15.851	15.53	0.048	1.11±0.22	20.5	NonLinLoc	Ottimizzato
14	2024-02-03 05:16:43	40.256	15.837	9.19	0.023	0.61±0.19	21.4	NonLinLoc	Ottimizzato
15	2024-02-05 18:05:33	40.256	15.848	14.56	0.034	0.75±0.24	20.7	NonLinLoc	Ottimizzato
16	2024-02-05 22:12:40	40.243	15.828	1.69	0.036	0.66±0.16	24.9	NonLinLoc	Ottimizzato
17	2024-02-05 23:21:53	40.257	15.851	11.81	0.058	1.18±0.22	20.4	NonLinLoc	Ottimizzato
18	2024-02-07 06:02:59	40.250	15.847	11.44	0.036	0.50±0.19	21.2	NonLinLoc	Ottimizzato
19	2024-02-07 12:24:35	40.268	15.852	15.88	0.032	0.93±0.27	19.5	NonLinLoc	Ottimizzato
20	2024-02-13 02:41:01	40.519	16.259	10.41	0.034	0.13±0.22	4.4	NonLinLoc	Ottimizzato
21	2024-02-13 03:11:44	40.510	16.263	9.69	0.044	0.10±0.24	4.2	NonLinLoc	Ottimizzato
22	2024-02-16 07:40:34	40.526	16.266	10.84	0.050	0.33±0.24	5.4	NonLinLoc	Ottimizzato
23	2024-02-16 07:40:46	40.520	16.269	10.34	0.035	0.48±0.24	5.2	NonLinLoc	Ottimizzato
24	2024-02-17 20:17:02	40.250	15.834	0.81	0.076	0.74±0.15	22.0	NonLinLoc	Ottimizzato

25	2024-02-21 16:50:15	40.520	16.270	10.44	0.103	1.13±0.23	5.3	NonLinLoc	Ottimizzato
26	2024-02-26 00:36:19	40.515	16.255	9.94	0.034	0.35±0.15	4.0	NonLinLoc	Ottimizzato
27	2024-02-26 01:26:40	40.520	16.270	10.31	0.046	0.77±0.23	5.3	NonLinLoc	Ottimizzato
28	2024-02-26 05:33:51	40.267	15.850	15.81	0.051	0.81±0.24	19.7	NonLinLoc	Ottimizzato
29	2024-02-27 22:04:46	40.525	16.266	10.69	0.056	0.96±0.24	5.3	NonLinLoc	Ottimizzato
30	2024-03-01 00:43:05	40.547	15.926	42.97	0.290	0.70±0.30	7.7	LOCSAT	IASP91
31	2024-03-06 06:09:50	40.245	15.832	0.94	0.072	0.92±0.20	22.5	NonLinLoc	Ottimizzato
32	2024-03-08 02:08:04	40.529	16.280	10.56	0.078	0.85±0.12	6.5	NonLinLoc	Ottimizzato
33	2024-03-08 02:08:28	40.542	16.297	13.94	0.061	1.15±0.17	8.5	NonLinLoc	Ottimizzato
34	2024-03-08 19:34:29	40.400	16.079	5.97	0.055	0.16±0.23	2.4	NonLinLoc	Ottimizzato
35	2024-03-18 07:26:35	40.353	15.849	3.03	0.057	0.77±0.10	13.7	NonLinLoc	Ottimizzato
36	2024-03-22 16:40:05	40.498	15.848	11.44	0.067	0.82±0.24	2.5	NonLinLoc	Ottimizzato
37	2024-03-26 12:12:09	40.436	16.032	3.34	0.050	0.21±0.24	2.7	NonLinLoc	Ottimizzato
38	2024-04-11 00:47:33	40.625	15.954	6.69	0.057	0.68±0.29	6.1	NonLinLoc	Ottimizzato
39	2024-04-14 06:20:36	40.449	16.148	7.41	0.040	0.05±0.17	4.7	NonLinLoc	Ottimizzato
40	2024-04-14 09:24:10	40.401	16.084	2.91	0.055	0.18±0.17	2.2	NonLinLoc	Ottimizzato
41	2024-04-14 22:45:42	40.418	15.795	17.22	0.079	0.94±0.19	10.4	NonLinLoc	Ottimizzato
42	2024-04-15 00:49:37	40.423	15.796	17.59	0.057	1.72±0.26	9.9	NonLinLoc	Ottimizzato
43	2024-04-18 22:00:40	40.313	15.982	7.42	0.068	1.66±0.18	9.3	NonLinLoc	Ottimizzato
44	2024-04-20 04:16:37	40.636	15.964	11.91	0.056	1.37±0.27	6.5	NonLinLoc	Ottimizzato
45	2024-04-25 09:51:41	40.523	16.271	10.59	0.049	1.19±0.18	5.6	NonLinLoc	Ottimizzato
46	2024-04-27 05:18:39	40.555	15.986	8.97	0.065	0.43±0.22	4.0	NonLinLoc	Ottimizzato
47	2024-04-27 23:43:03	40.533	16.043	1.91	0.048	0.40±0.39	6.2	NonLinLoc	Ottimizzato
48	2024-05-13 12:11:08	40.516	16.160	15.44	0.066	0.33±0.30	5.2	NonLinLoc	Ottimizzato
49	2024-05-20 02:05:00	40.454	16.109	4.91	0.065	0.04±0.18	2.3	NonLinLoc	Ottimizzato
50	2024-05-26 12:46:25	40.525	16.154	14.44	0.071	0.77±0.25	6.1	NonLinLoc	Ottimizzato

51	2024-05-26 12:50:36	40.528	16.155	14.91	0.069	0.76±0.12	6.2	NonLinLoc	Ottimizzato
52	2024-05-26 13:05:12	40.525	16.150	15.11	0.064	1.42±0.13	6.4	NonLinLoc	Ottimizzato
53	2024-05-26 13:10:08	40.526	16.154	14.92	0.060	1.06±0.13	6.2	NonLinLoc	Ottimizzato
54	2024-05-26 13:15:49	40.522	16.144	14.70	0.044	2.83±0.14	6.3	NonLinLoc	Ottimizzato
55	2024-05-26 13:18:49	40.525	16.148	14.09	0.060	0.52±0.15	6.5	NonLinLoc	Ottimizzato
56	2024-05-26 13:20:55	40.497	16.163	15.56	0.065	0.05±0.29	4.5	NonLinLoc	Ottimizzato
57	2024-05-26 13:23:19	40.525	16.148	14.03	0.053	0.57±0.11	6.5	NonLinLoc	Ottimizzato
58	2024-05-26 13:26:31	40.527	16.147	14.16	0.060	0.30±0.18	6.7	NonLinLoc	Ottimizzato
59	2024-05-26 13:27:47	40.514	16.147	14.19	0.060	0.15±0.18	5.8	NonLinLoc	Ottimizzato
60	2024-05-26 13:29:02	40.520	16.141	14.41	0.044	2.13±0.13	6.0	NonLinLoc	Ottimizzato
61	2024-05-26 13:35:03	40.492	16.160	15.31	0.055	-0.03±0.30	4.8	NonLinLoc	Ottimizzato
62	2024-05-26 13:35:15	40.524	16.152	14.09	0.059	0.57±0.17	6.2	NonLinLoc	Ottimizzato
63	2024-05-26 13:41:13	40.525	16.150	14.59	0.070	0.90±0.27	6.5	NonLinLoc	Ottimizzato
64	2024-05-26 13:50:57	40.521	16.147	14.72	0.047	1.89±0.13	6.4	NonLinLoc	Ottimizzato
65	2024-05-26 14:05:46	40.522	16.153	15.44	0.085	0.47±0.13	6.8	NonLinLoc	Ottimizzato
66	2024-05-26 14:26:03	40.522	16.154	14.56	0.051	0.01±0.00	5.9	NonLinLoc	Ottimizzato
67	2024-05-26 14:36:07	40.524	16.149	14.53	0.077	0.60±0.27	6.4	NonLinLoc	Ottimizzato
68	2024-05-26 15:09:44	40.526	16.152	15.16	0.069	1.40±0.11	6.3	NonLinLoc	Ottimizzato
69	2024-05-26 15:13:39	40.524	16.150	14.53	0.059	0.98±0.13	6.3	NonLinLoc	Ottimizzato
70	2024-05-26 17:00:49	40.489	16.166	16.28	0.033	0.10±0.28	4.3	NonLinLoc	Ottimizzato
71	2024-05-26 22:55:20	40.518	16.147	13.91	0.054	0.10±0.13	6.1	NonLinLoc	Ottimizzato
72	2024-05-26 23:11:52	40.524	16.147	14.09	0.052	0.61±0.13	6.6	NonLinLoc	Ottimizzato
73	2024-05-26 23:57:33	40.526	16.157	14.91	0.065	1.15±0.31	6.0	NonLinLoc	Ottimizzato
74	2024-05-27 02:55:54	40.486	16.152	13.47	0.060	0.20±0.19	4.4	NonLinLoc	Ottimizzato
75	2024-05-27 06:58:55	40.522	16.145	14.89	0.053	1.48±0.29	6.4	NonLinLoc	Ottimizzato
76	2024-05-29 04:28:33	40.250	15.958	7.81	0.046	0.64±0.24	14.7	NonLinLoc	Ottimizzato

77	2024-05-29 19:50:21	40.455	16.124	6.41	0.054	0.54±0.23	2.8	NonLinLoc	Ottimizzato
78	2024-05-31 23:16:13	40.520	16.155	13.78	0.068	0.39±0.25	5.8	NonLinLoc	Ottimizzato
79	2024-06-02 23:26:40	40.402	16.261	18.94	0.286	0.27±0.17	11.2	NonLinLoc	Ottimizzato
80	2024-06-03 05:15:20	40.523	16.269	11.19	0.073	0.90±0.21	5.4	NonLinLoc	Ottimizzato
81	2024-06-07 11:13:29	40.481	16.150	12.34	0.054	0.69±0.20	4.0	NonLinLoc	Ottimizzato
82	2024-06-08 15:40:47	40.536	16.208	9.28	0.074	0.35±0.19	4.4	NonLinLoc	Ottimizzato
83	2024-06-09 17:40:00	40.526	16.272	10.88	0.052	0.83±0.22	5.8	NonLinLoc	Ottimizzato
84	2024-06-15 00:53:41	40.575	16.185	11.88	0.041	0.12±0.29	9.1	NonLinLoc	Ottimizzato
85	2024-06-17 06:48:41	40.545	16.063	12.25	0.038	0.11±0.17	8.1	NonLinLoc	Ottimizzato
86	2024-06-20 04:29:06	40.408	16.068	3.53	0.097	0.16±0.28	2.9	NonLinLoc	Ottimizzato

Tabella 6: eventi sismici localizzati nella zona compresa nella griglia locale.

Gli eventi con sfondo verde hanno epicentro nei Domini di Rilevazione (quelli in blu in grassetto hanno epicentro nel Dominio Interno); gli 8 eventi con epicentro nella Concessione sono indicati in Tabella 6 con i bordi rossi.

In Figura 8 sono mostrati gli epicentri degli eventi sismici e due sezioni in profondità (A-B e C-D) con la distribuzione degli ipocentri.

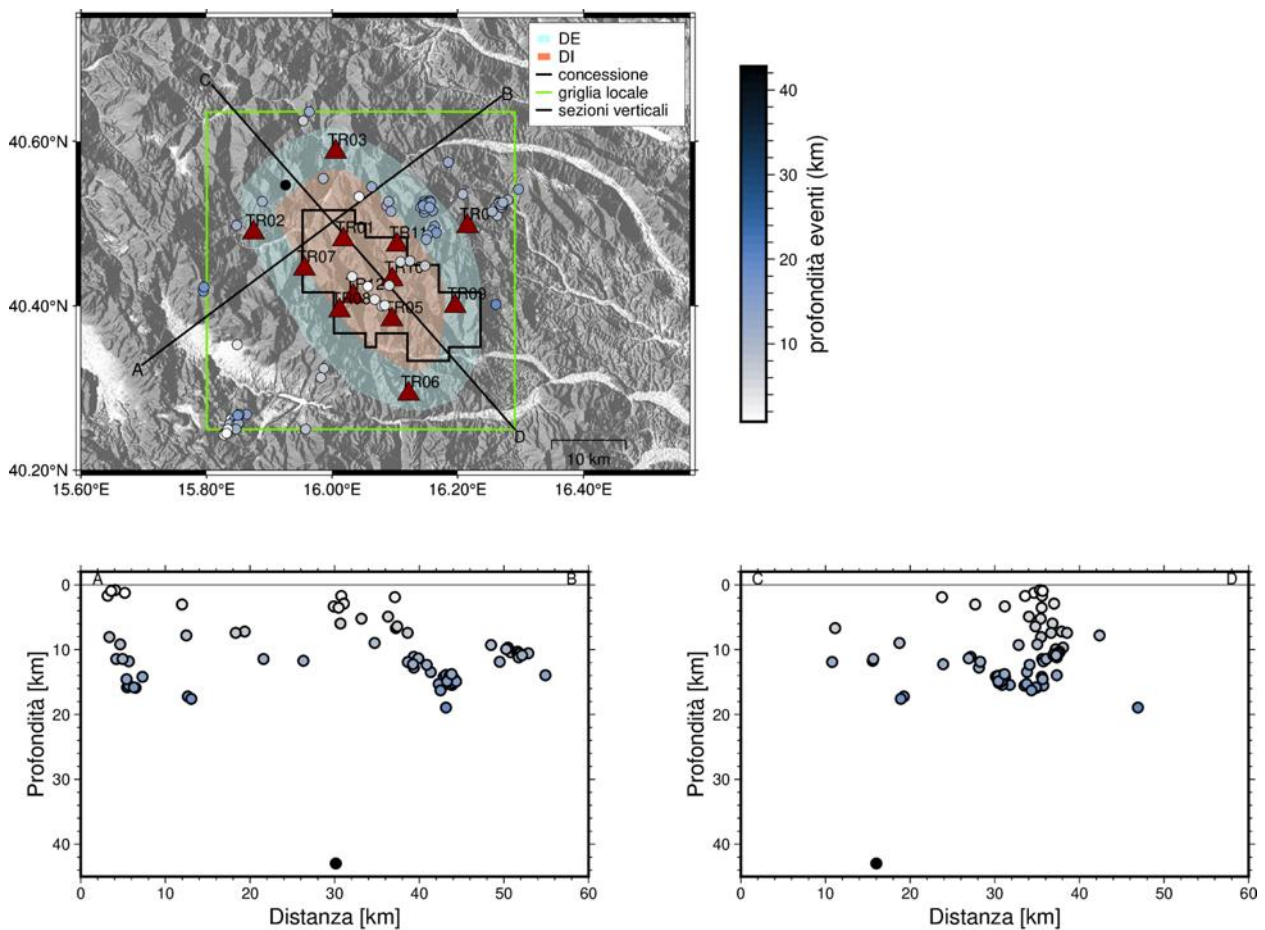


Figura 8: Mappa e sezioni dell'area di interesse con la distribuzione degli epicentri e ipocentri della sismicità da gennaio a giugno 2024 nella griglia locale.

In Figura 9 viene mostrata la distribuzione della magnitudo e della profondità degli eventi sismici nel semestre di interesse. La magnitudo degli eventi sismici è compresa tra -0.07 e 2.83, mentre la profondità varia da 0.81 a 42.97 km.

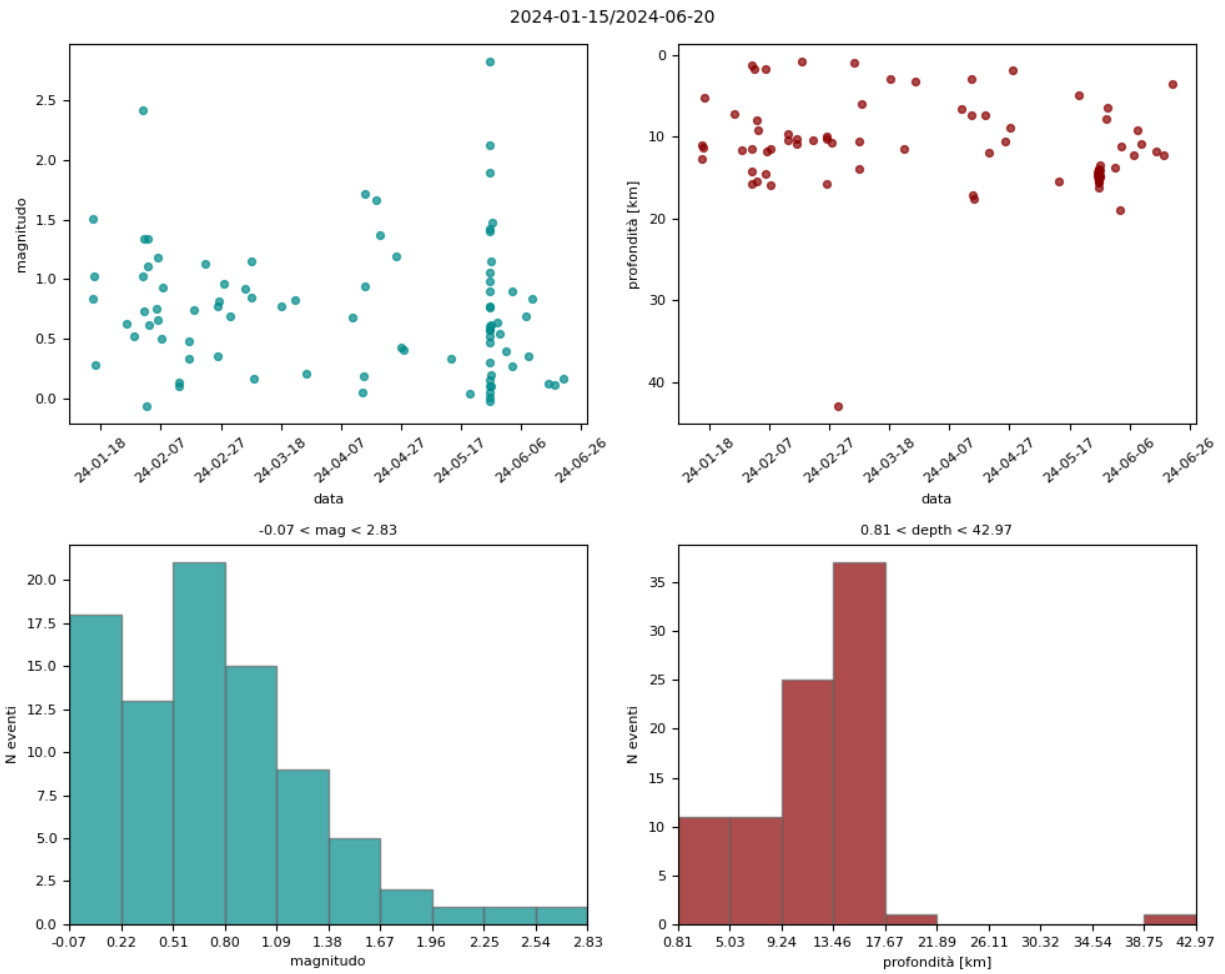


Figura 9: Distribuzione della magnitudo (sinistra) e della profondità (destra) degli eventi sismici tra gennaio e giugno 2024.

Evento 1: 15/01/2024 07:56:07 UTC

Id	Tempo Origine [aa/mm/gg hh:mm:ss UTC]	Lat. [°]	Long. [°]	Profondità [km]	RMS [s]	M _i
1	2024-01-15 07:56:07	40.522	16.087	11.11	0.043	1.51±0.23

In Figura 10 sono mostrate le stazioni utilizzate per la localizzazione dell'evento sismico, l'epicentro e i limiti dei Domini di rilevazione e della Concessione

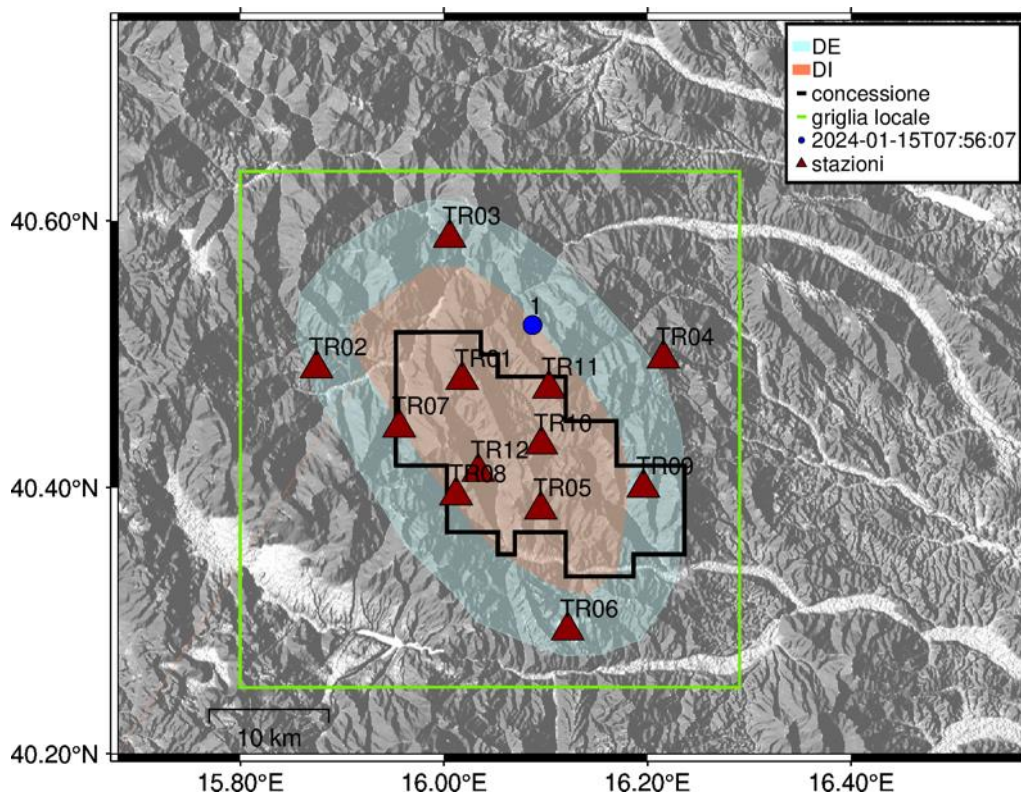


Figura 10 - stazioni utilizzate per la localizzazione, epicentro dell'evento del 15/01/2024 07:56:07 UTC localizzato a profondità 11.11 km

In Figura 11 sono mostrati i segnali acquisiti dalle stazioni usate per la localizzazione dell'evento 1: dall'alto verso il basso, componente Z, N, E

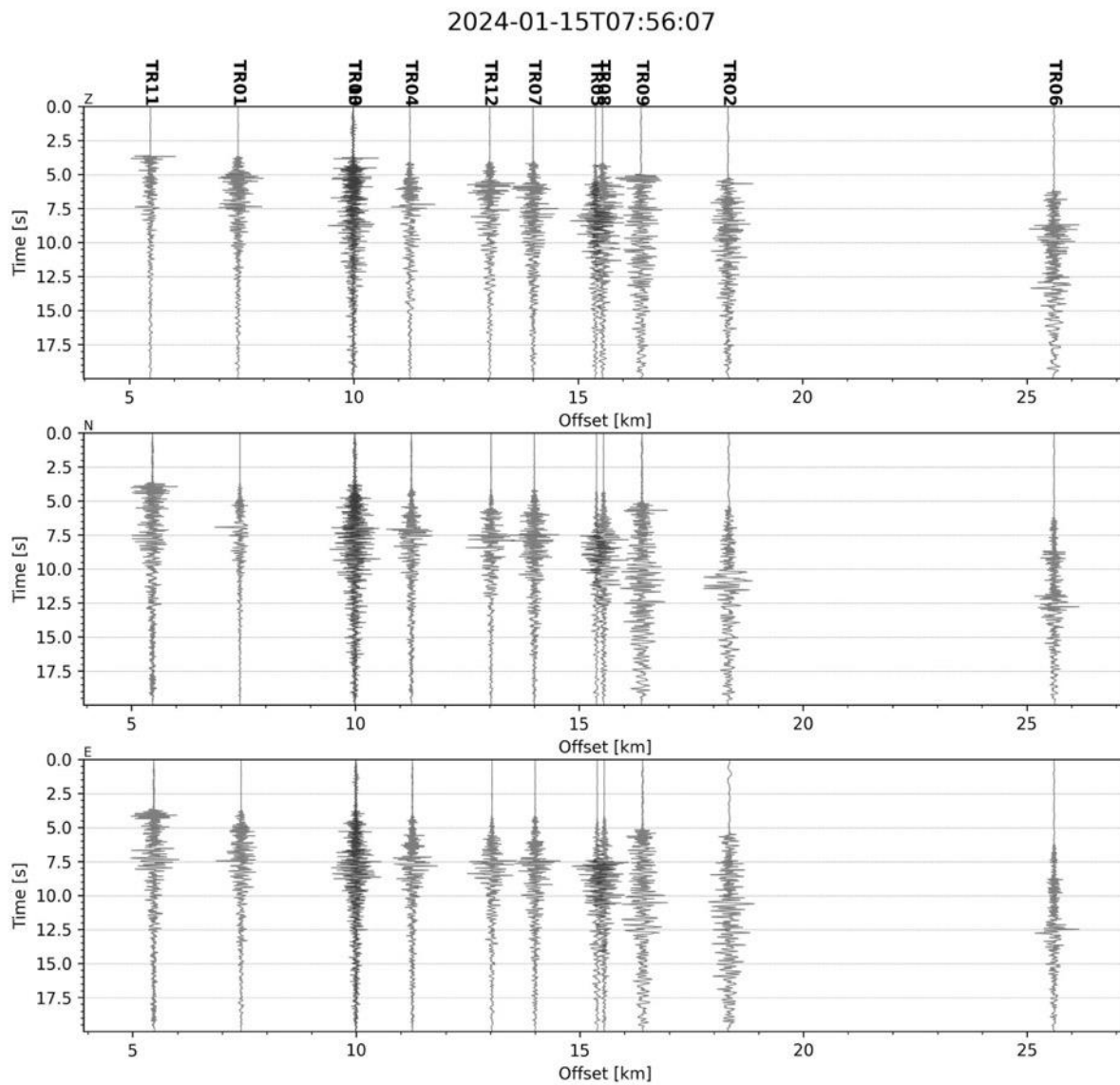


Figura 11 - forme d'onda (segnale raw filtrato) dell'evento 1, registrate dalle stazioni utilizzate per la localizzazione. Dall'alto, componenti Z, N, E.

Evento 2: 15/01/2024 12:08:13 UTC

Id	Tempo Origine [aa/mm/gg hh:mm:ss UTC]	Lat. [°]	Long. [°]	Profondità [km]	RMS [s]	M _i
2	2024-01-15 12:08:13	40.515	16.094	12.78	0.057	0.83±0.18

In Figura 12 sono mostrate le stazioni utilizzate per la localizzazione dell'evento sismico, l'epicentro e i limiti dei Domini di rilevazione e della Concessione

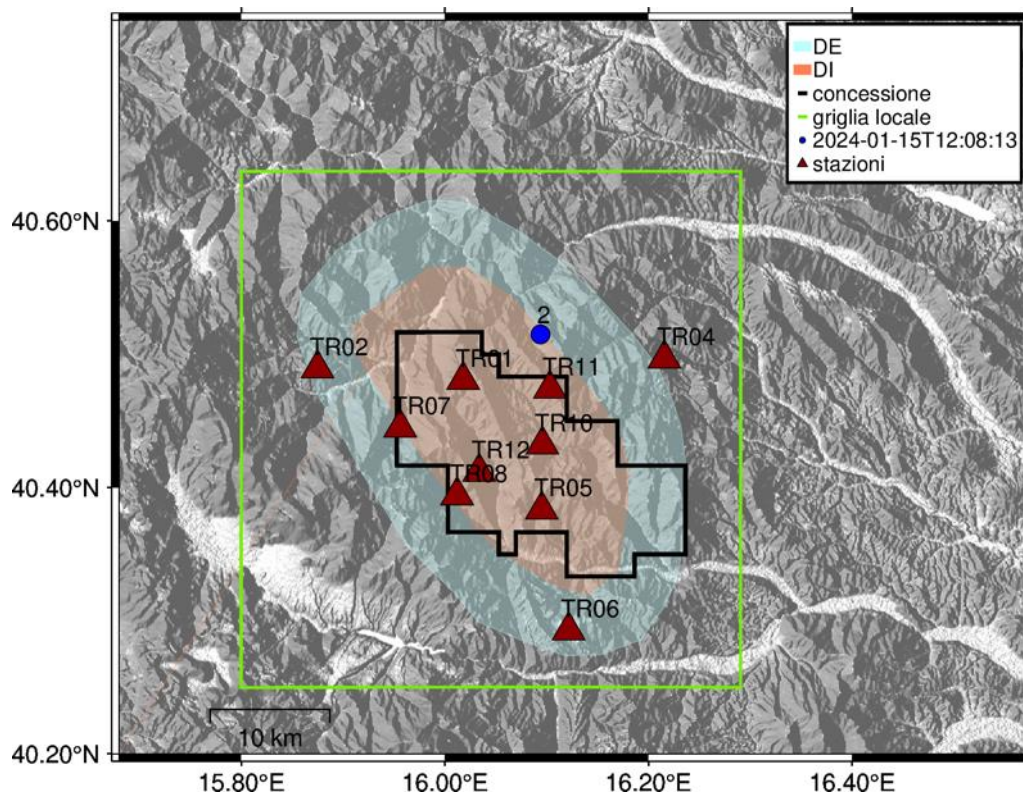


Figura 12 - stazioni utilizzate per la localizzazione, epicentro dell'evento del 15/01/2024 12:08:13 UTC localizzato a profondità 12.78 km

In Figura 13 sono mostrati i segnali acquisiti dalle stazioni usate per la localizzazione dell'evento 2: dall'alto verso il basso, componente Z, N, E

2024-01-15T12:08:13

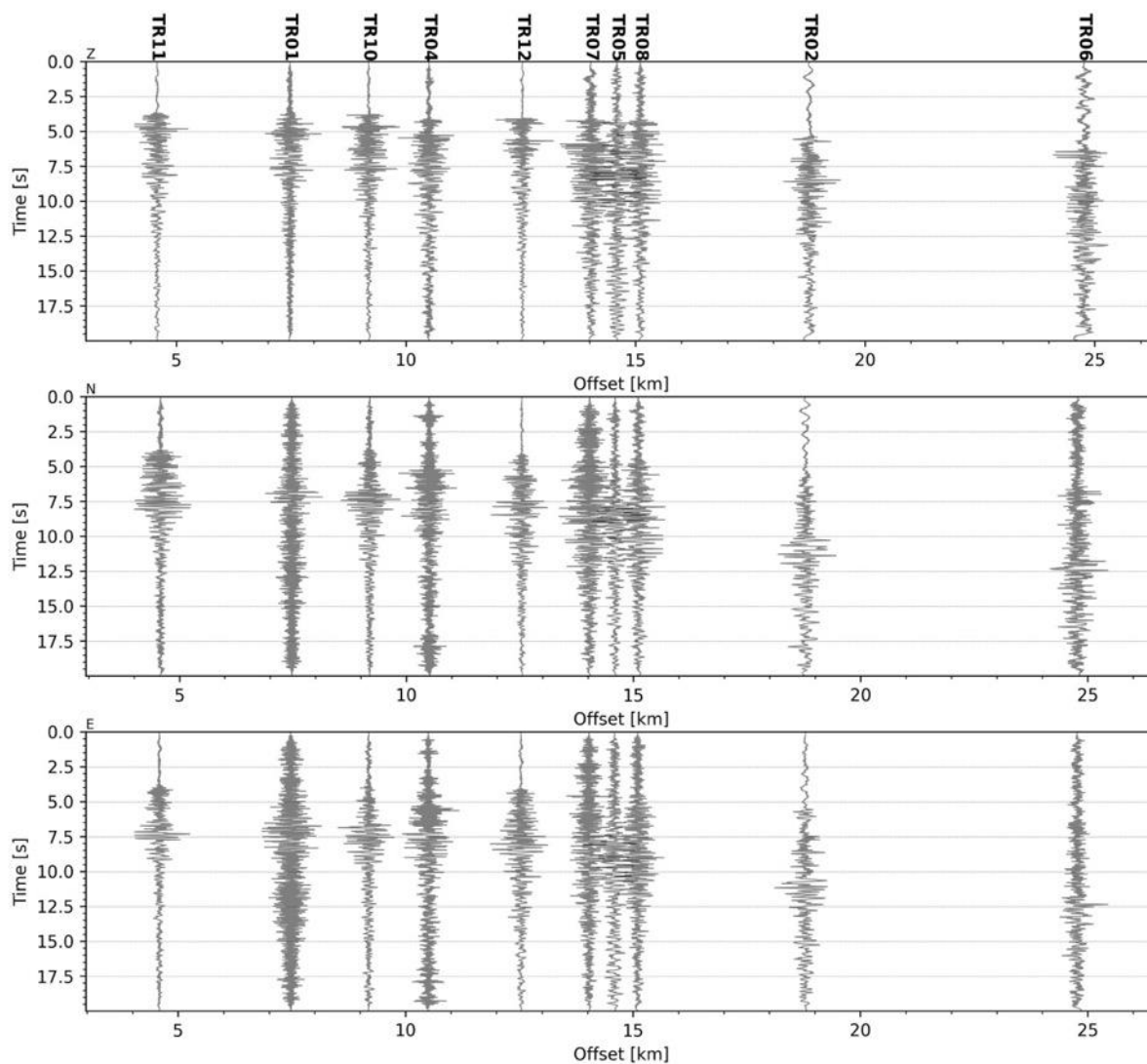


Figura 13 - forme d'onda (segnale raw filtrato) dell'evento 2, registrate dalle stazioni utilizzate per la localizzazione. Dall'alto, componenti Z, N, E.

Evento 3: 15/01/2024 19:30:38 UTC

Id	Tempo Origine [aa/mm/gg hh:mm:ss UTC]	Lat. [°]	Long. [°]	Profondità [km]	RMS [s]	S _i
3	2024-01-15 19:30:38	40.527	16.090	11.34	0.049	1.02±0.20

In Figura 14 sono mostrate le stazioni utilizzate per la localizzazione dell'evento sismico, l'epicentro e i limiti dei Domini di rilevazione e della Concessione

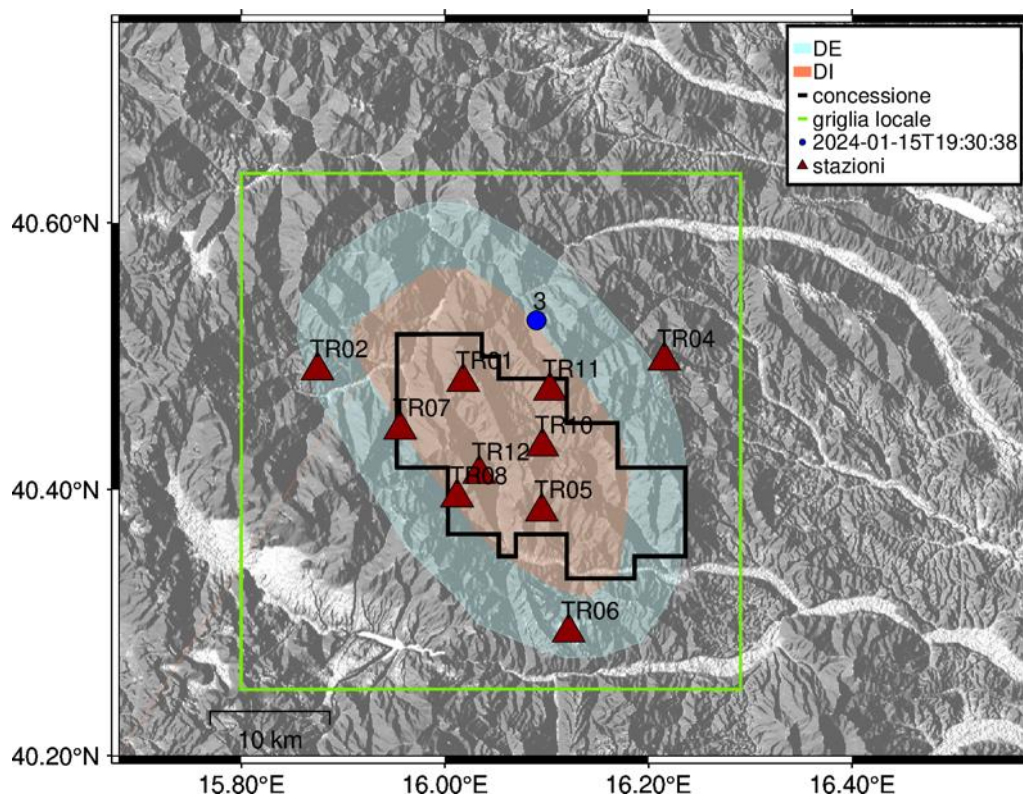


Figura 14 - stazioni utilizzate per la localizzazione, epicentro dell'evento del 15/01/2024 19:30:38 UTC localizzato a profondità 11.34 km

In Figura 15 sono mostrati i segnali acquisiti dalle stazioni usate per la localizzazione dell'evento 3: dall'alto verso il basso, componente Z, N, E

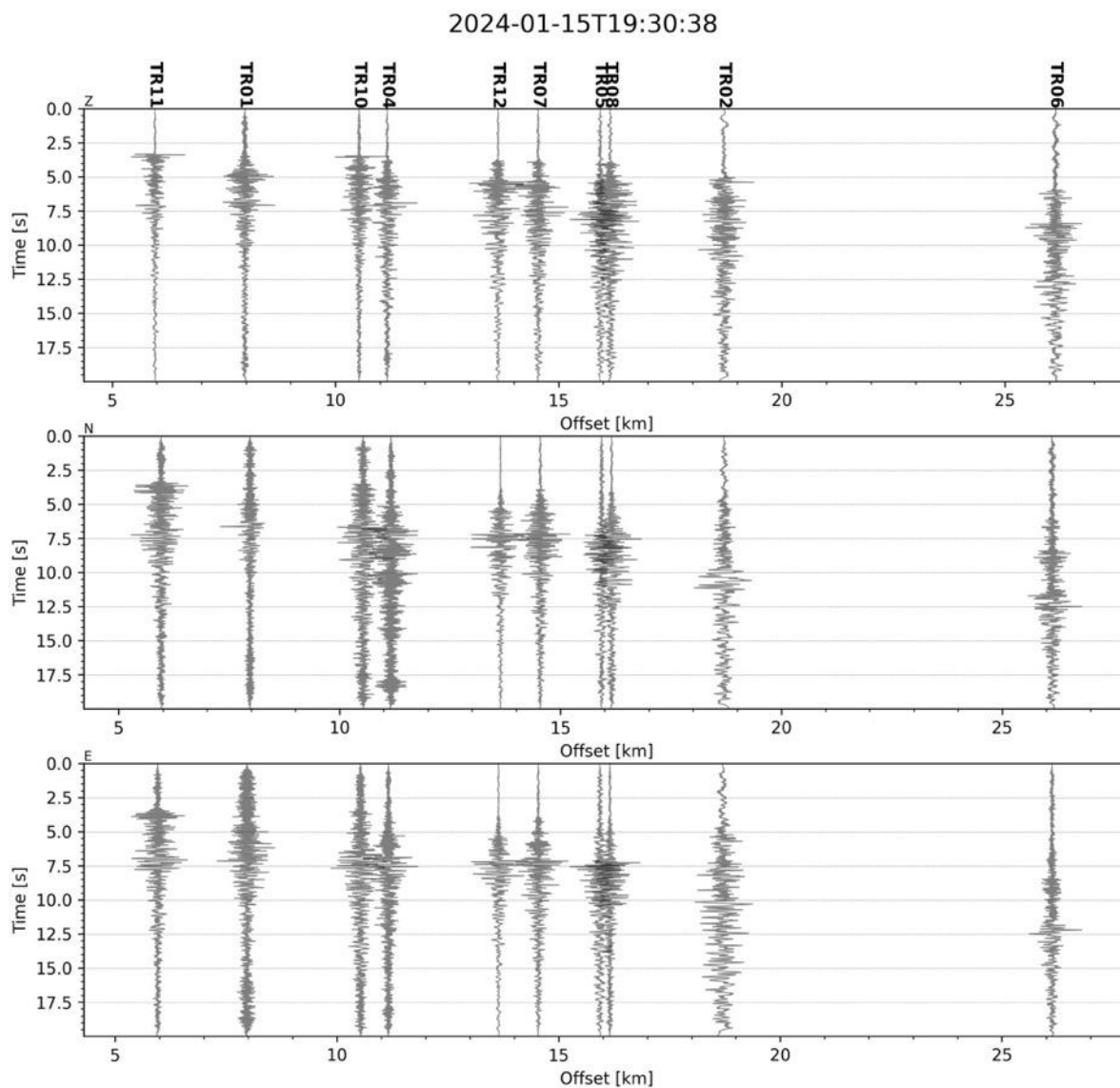


Figura 15 - forme d'onda (segnale raw filtrato) dell'evento 3, registrate dalle stazioni utilizzate per la localizzazione. Dall'alto, componenti Z, N, E.

Evento 4: 16/01/2024 07:30:15 UTC

Id	Tempo Origine [aa/mm/gg hh:mm:ss UTC]	Lat. [°]	Long. [°]	Profondità [km]	RMS [s]	M _i
4	2024-01-16 07:30:15	40.425	16.091	5.22	0.041	0.28±0.29

In Figura 16 sono mostrate le stazioni utilizzate per la localizzazione dell'evento sismico, l'epicentro e i limiti dei Domini di rilevazione e della Concessione

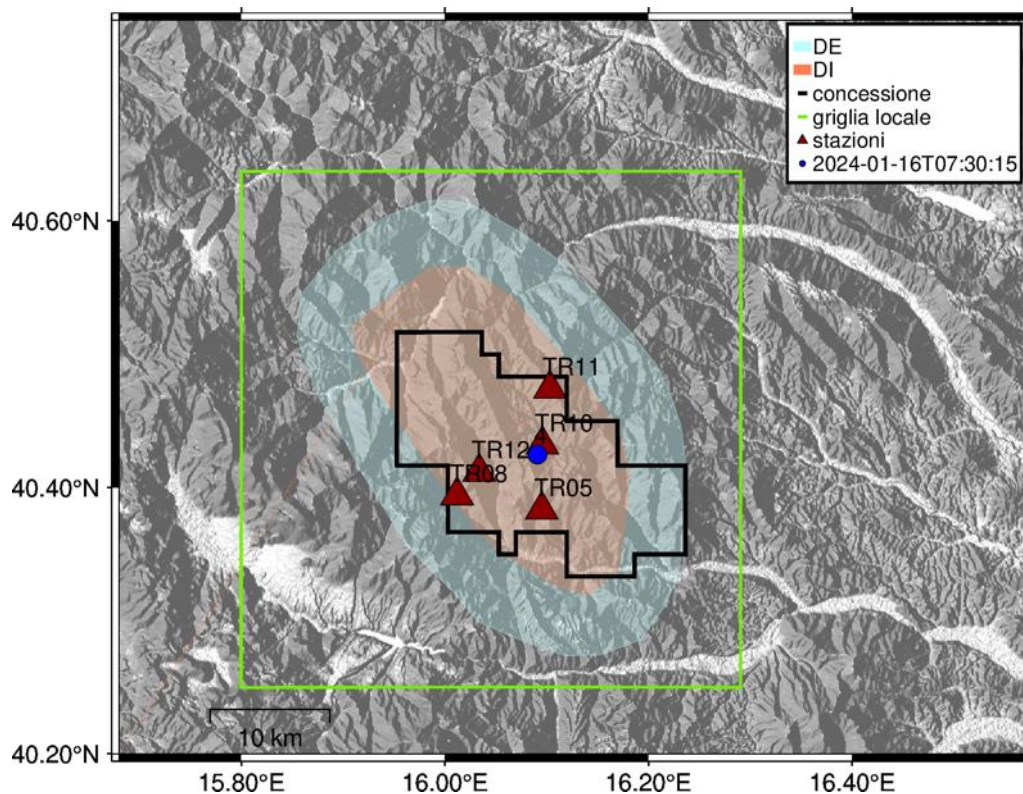


Figura 16 - stazioni utilizzate per la localizzazione, epicentro dell'evento del 16/01/2024 07:30:15 UTC localizzato a profondità 5.22 km

In Figura 17 sono mostrati i segnali acquisiti dalle stazioni usate per la localizzazione dell'evento 4: dall'alto verso il basso, componente Z, N, E

2024-01-16T07:30:15

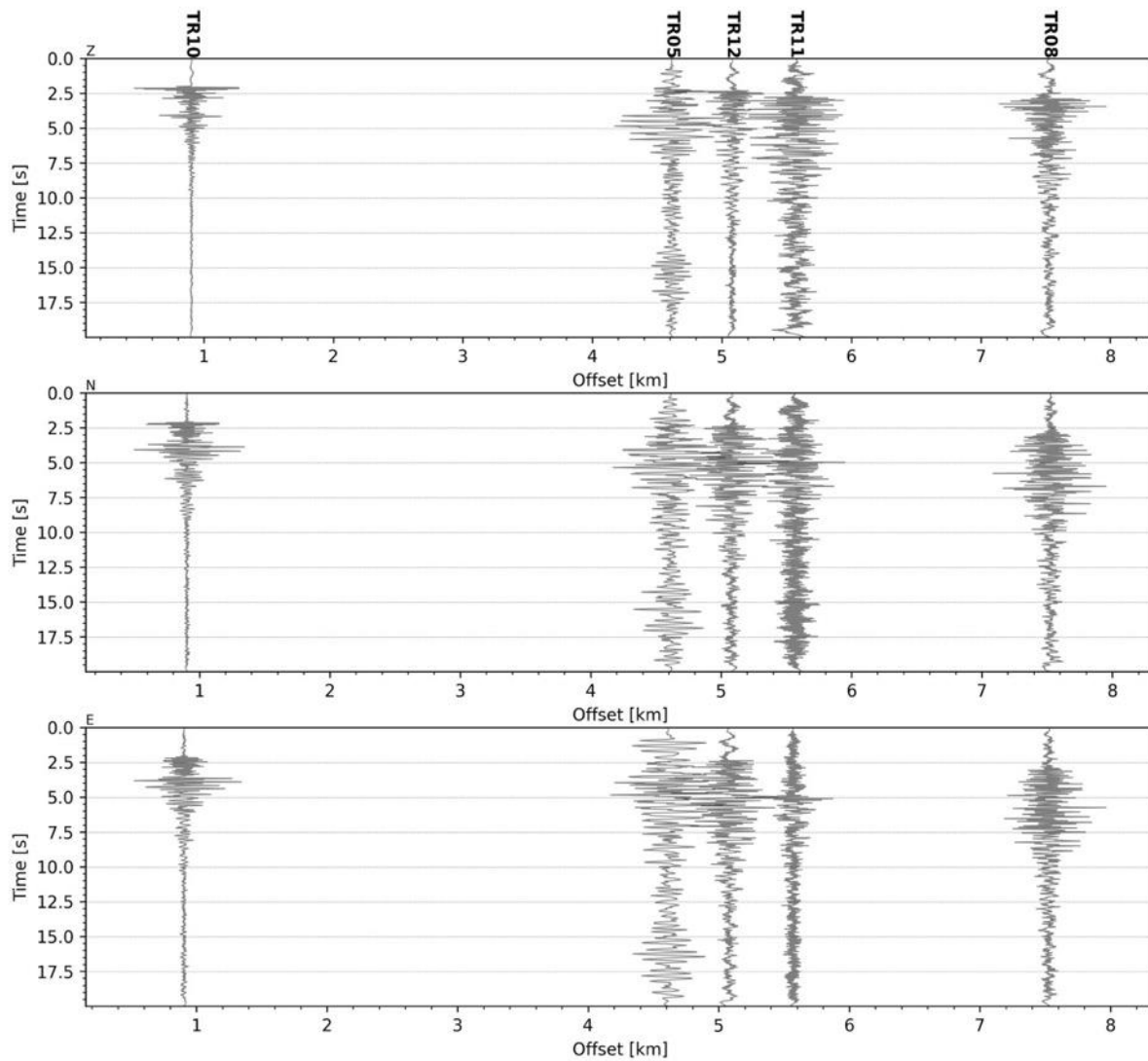


Figura 17 - forme d'onda (segnale raw filtrato) dell'evento 4, registrate dalle stazioni utilizzate per la localizzazione. Dall'alto, componenti Z, N, E.

Evento 5: 26/01/2024 11:04:46 UTC

Id	Tempo Origine [aa/mm/gg hh:mm:ss UTC]	Lat. [°]	Long. [°]	Profondità [km]	RMS [s]	M _i
5	2024-01-26 11:04:46	40.324	15.987	7.22	0.026	0.62±0.25

In Figura 18 sono mostrate le stazioni utilizzate per la localizzazione dell'evento sismico, l'epicentro e i limiti dei Domini di rilevazione e della Concessione

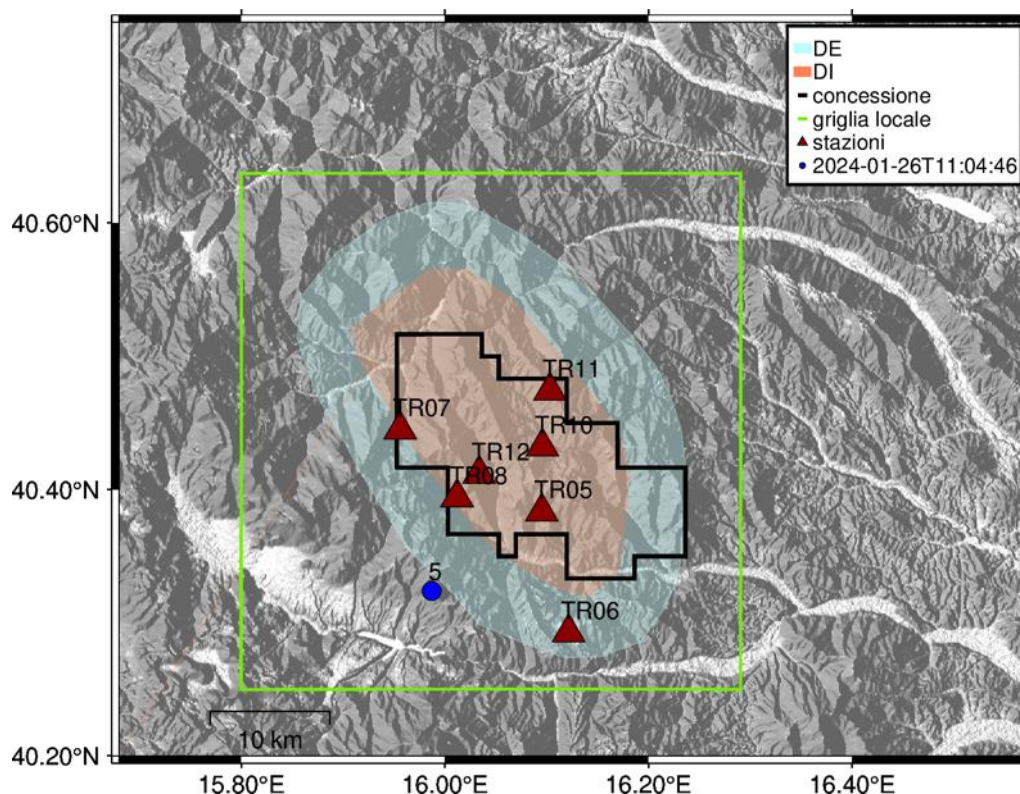


Figura 18 - stazioni utilizzate per la localizzazione, epicentro dell'evento del 26/01/2024 11:04:46 UTC localizzato a profondità 7.22 km

In Figura 19 sono mostrati i segnali acquisiti dalle stazioni usate per la localizzazione dell'evento 5: dall'alto verso il basso, componente Z, N, E

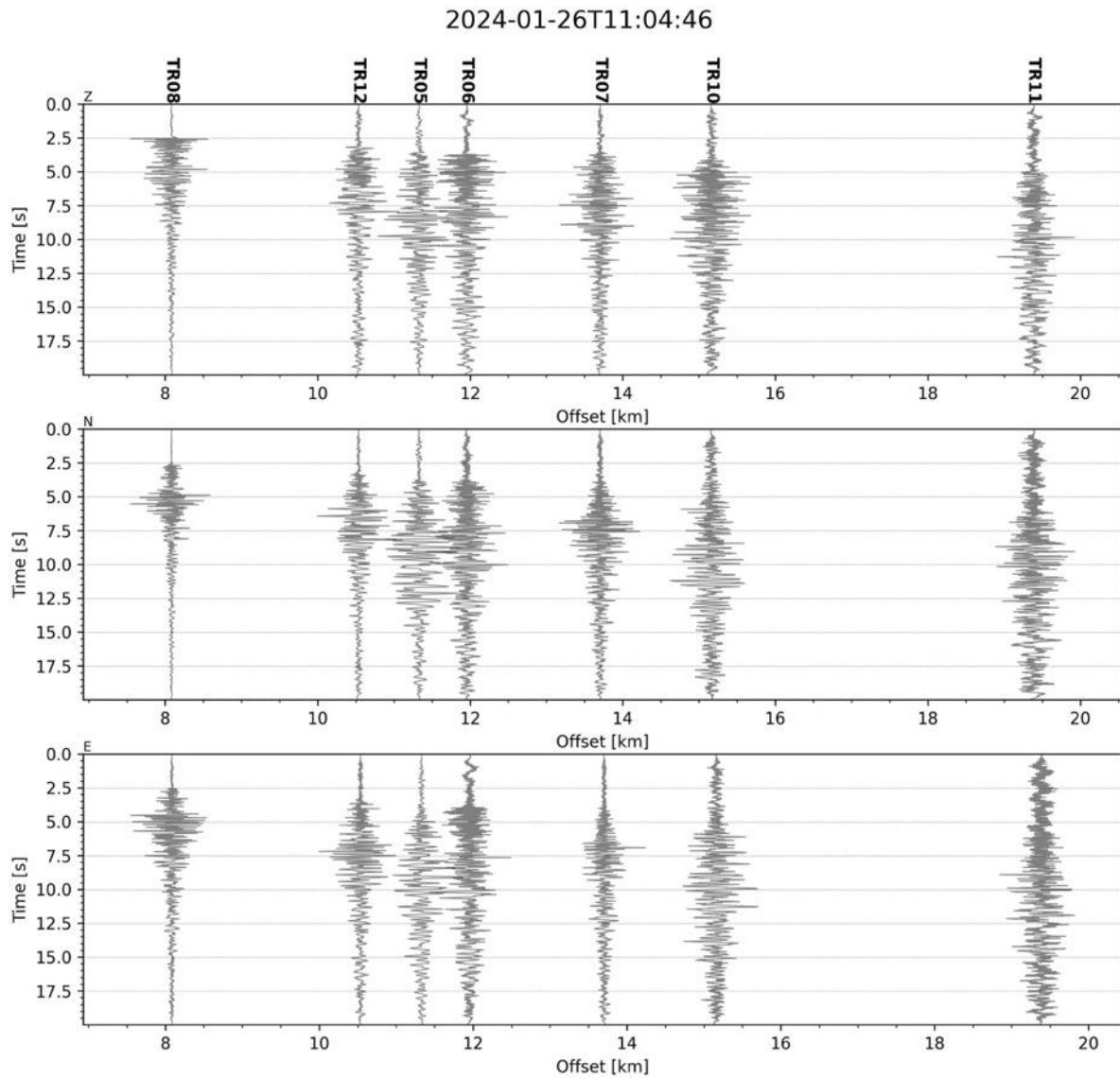


Figura 19 - forme d'onda (segnale raw filtrato) dell'evento 5, registrate dalle stazioni utilizzate per la localizzazione. Dall'alto, componenti Z, N, E.

Evento 6: 28/01/2024 23:42:14 UTC

Id	Tempo Origine [aa/mm/gg hh:mm:ss UTC]	Lat. [°]	Long. [°]	Profondità [km]	RMS [s]	M _i
6	2024-01-28 23:42:14	40.527	15.889	11.72	0.042	0.52±0.24

In Figura 20 sono mostrate le stazioni utilizzate per la localizzazione dell'evento sismico, l'epicentro e i limiti dei Domini di rilevazione e della Concessione

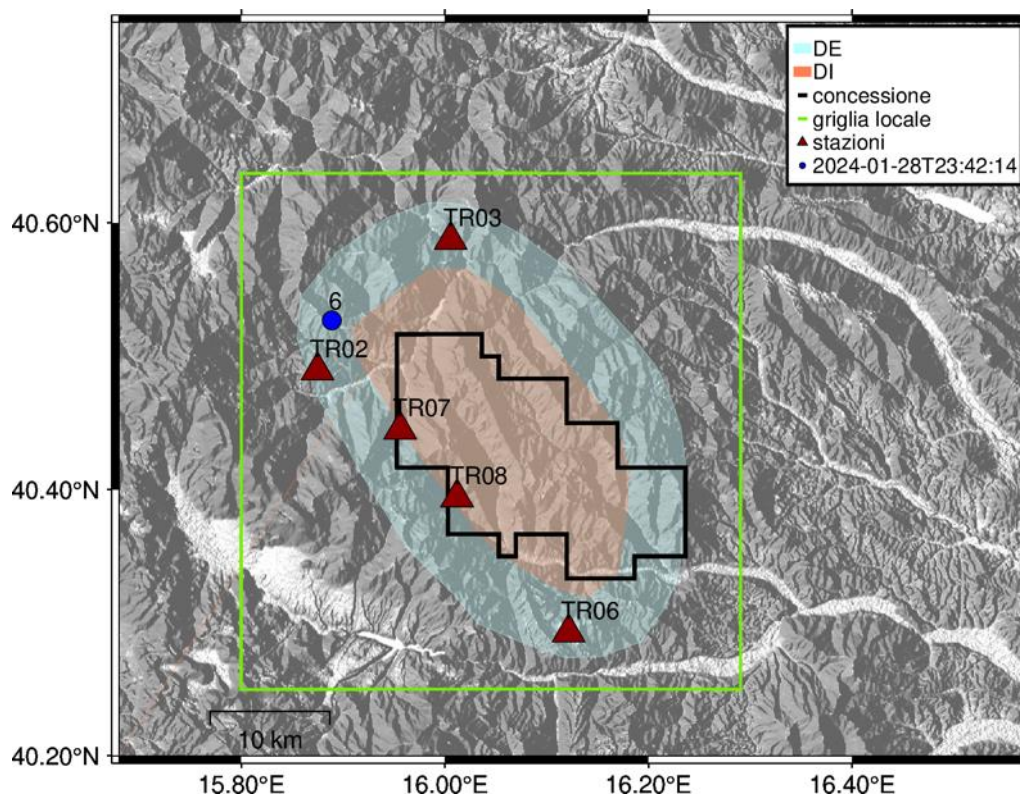


Figura 20 - stazioni utilizzate per la localizzazione, epicentro dell'evento del 28/01/2024 23:42:14 UTC localizzato a profondità 11.72 km

In Figura 21 sono mostrati i segnali acquisiti dalle stazioni usate per la localizzazione dell'evento 6: dall'alto verso il basso, componente Z, N, E

2024-01-28T23:42:14

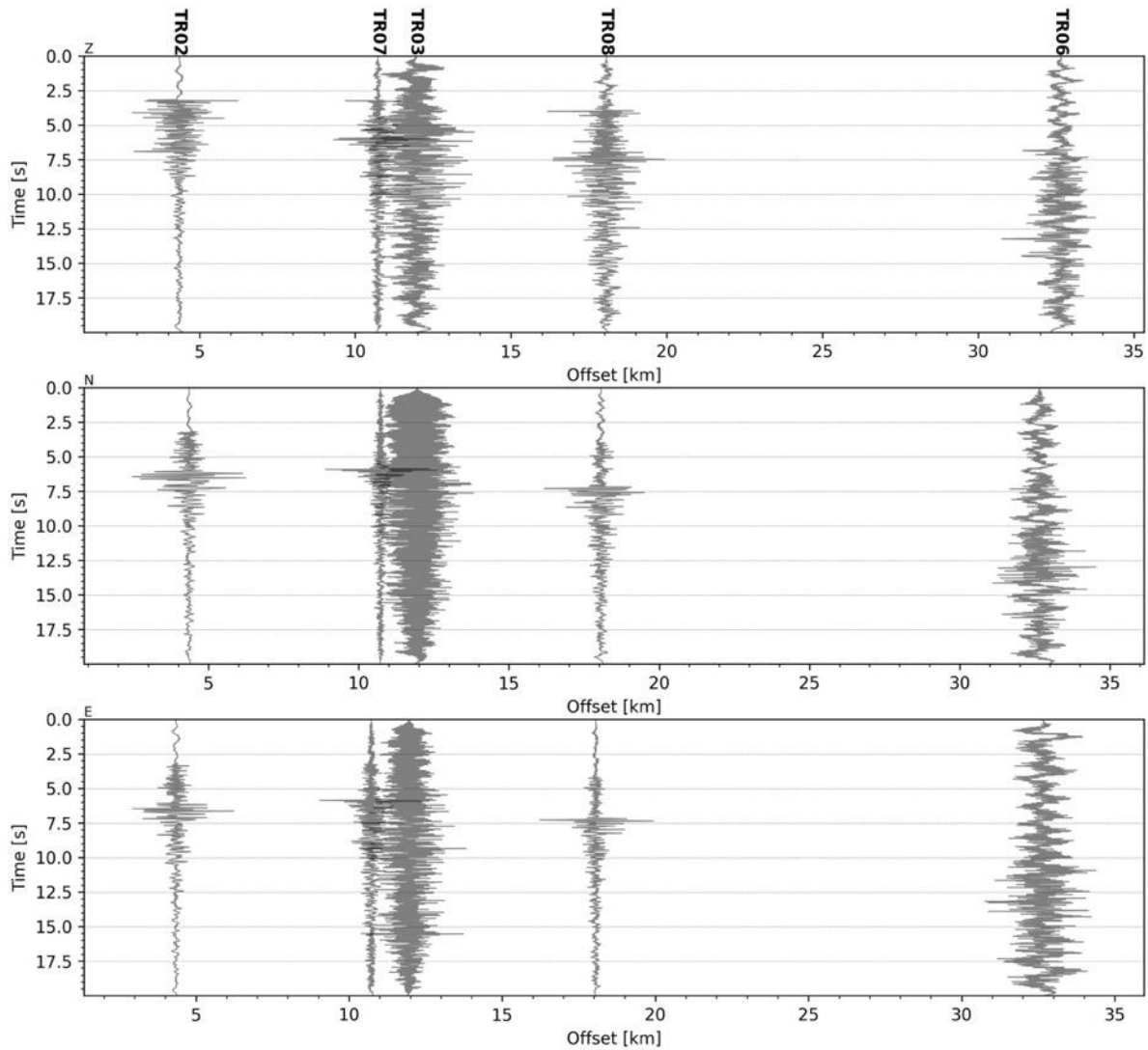


Figura 21 - forme d'onda (segnale raw filtrato) dell'evento 6, registrate dalle stazioni utilizzate per la localizzazione. Dall'alto, componenti Z, N, E.

Evento 7: 01/02/2024 03:51:52 UTC

Id	Tempo Origine [aa/mm/gg hh:mm:ss UTC]	Lat. [°]	Long. [°]	Profondità [km]	RMS [s]	M _i
7	2024-02-01 03:51:52	40.268	15.864	14.19	0.062	2.42±0.20

In Figura 22 sono mostrate le stazioni utilizzate per la localizzazione dell'evento sismico, l'epicentro e i limiti dei Domini di rilevazione e della Concessione

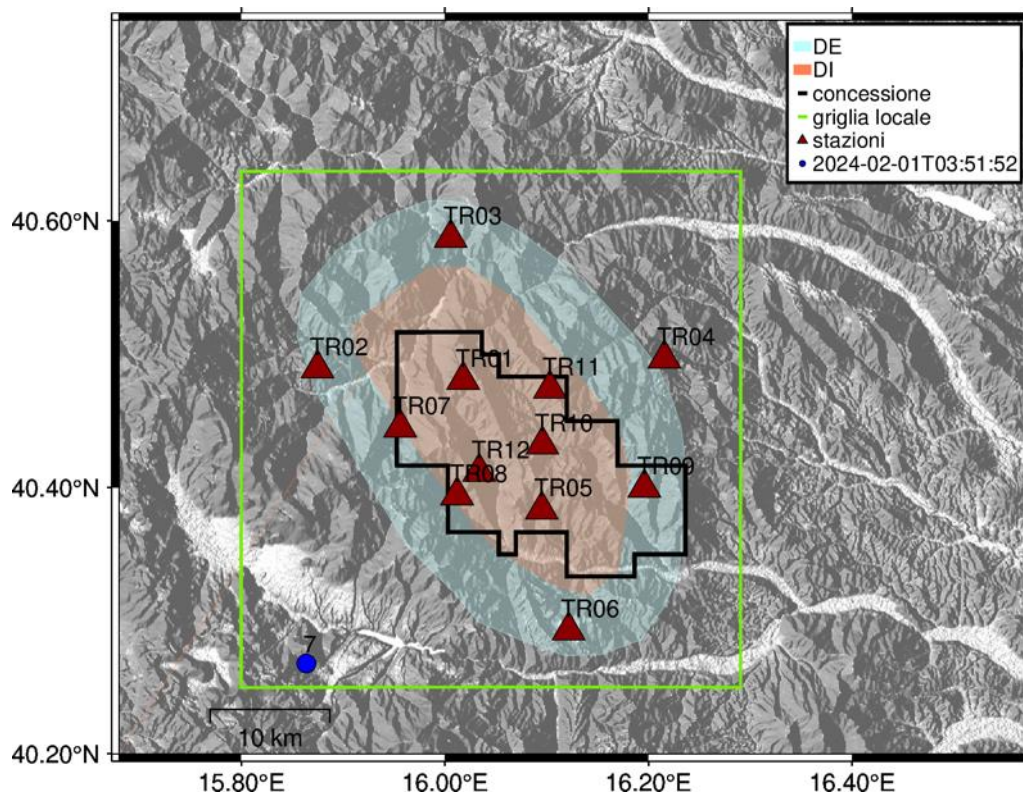


Figura 22 - stazioni utilizzate per la localizzazione, epicentro dell'evento del 01/02/2024 03:51:52 UTC localizzato a profondità 14.19 km

In Figura 23 sono mostrati i segnali acquisiti dalle stazioni usate per la localizzazione dell'evento 7: dall'alto verso il basso, componente Z, N, E

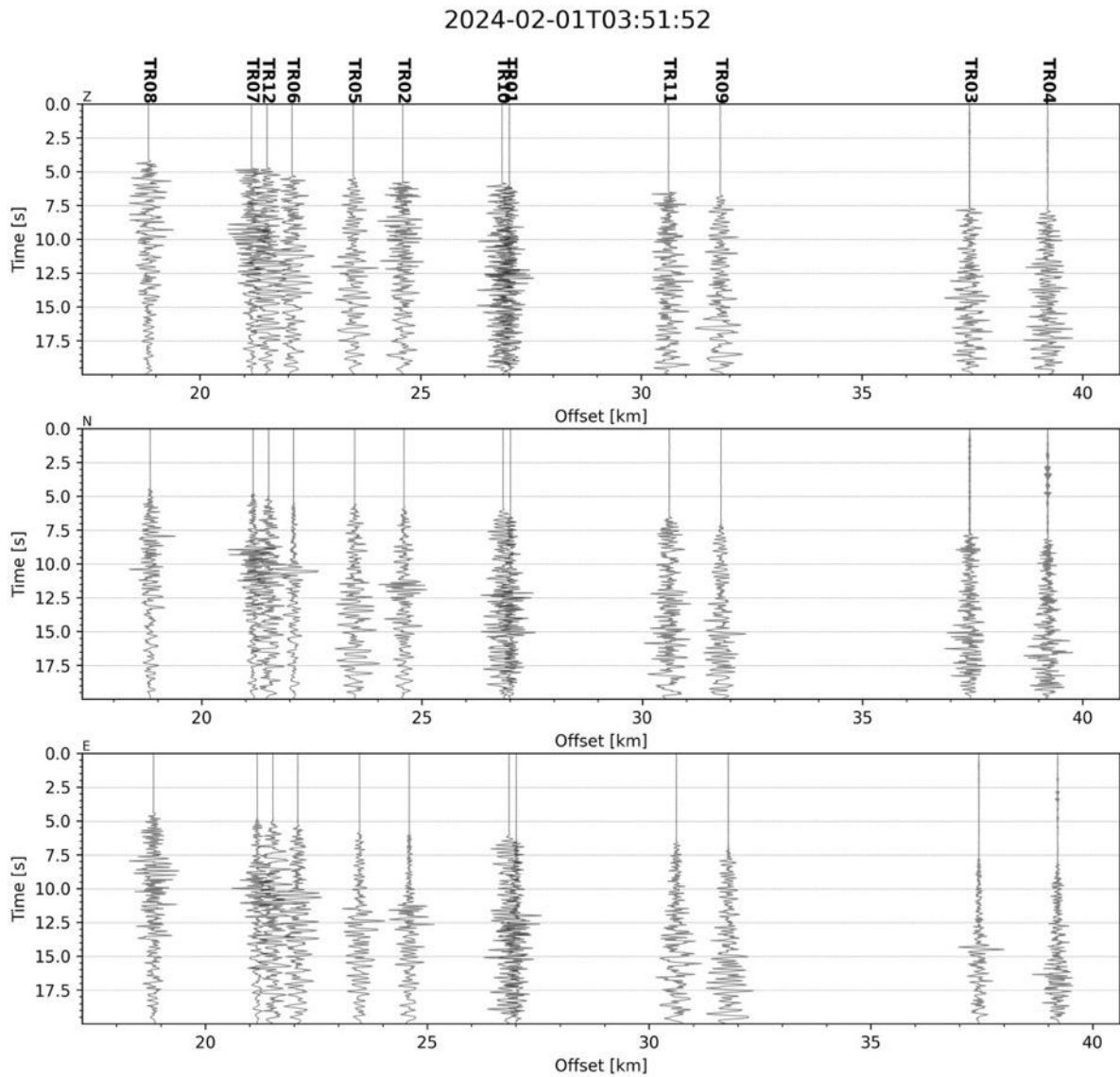


Figura 23 - forme d'onda (segnale raw filtrato) dell'evento 7, registrate dalle stazioni utilizzate per la localizzazione. Dall'alto, componenti Z, N, E.

Evento 8: 01/02/2024 04:06:57 UTC

Id	Tempo Origine [aa/mm/gg hh:mm:ss UTC]	Lat. [°]	Long. [°]	Profondità [km]	RMS [s]	M _i
8	2024-02-01 04:06:57	40.249	15.837	11.44	0.082	1.02±0.21

In Figura 24 sono mostrate le stazioni utilizzate per la localizzazione dell'evento sismico, l'epicentro e i limiti dei Domini di rilevazione e della Concessione

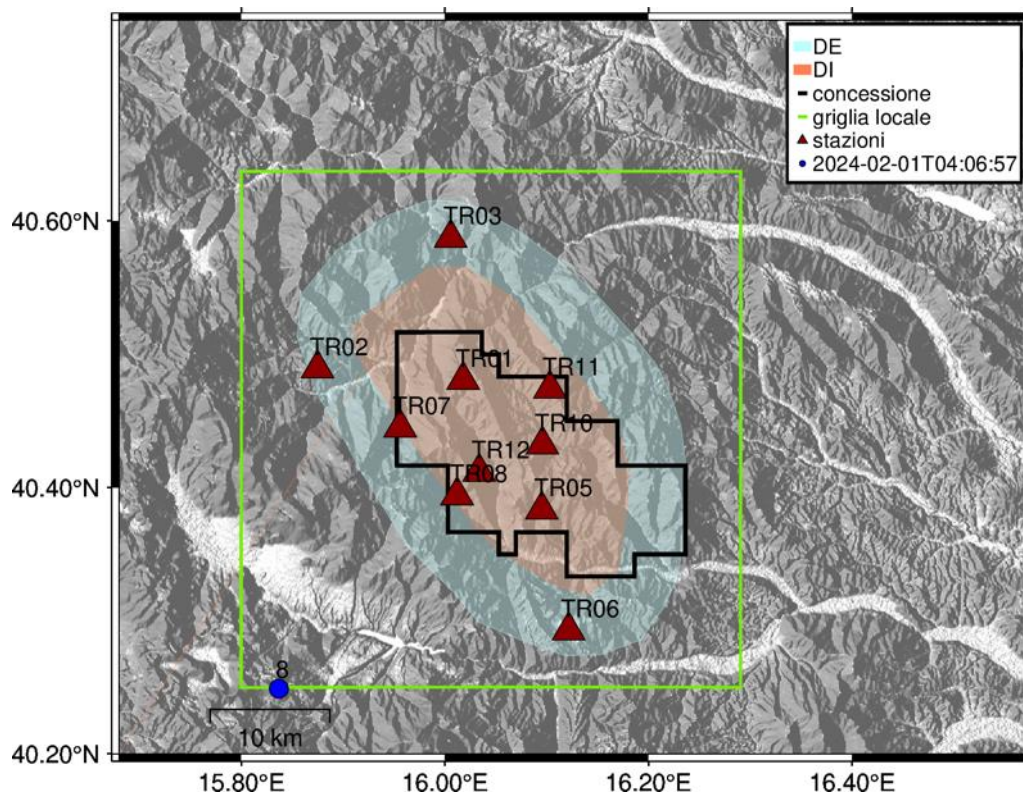


Figura 24 - stazioni utilizzate per la localizzazione, epicentro dell'evento del 01/02/2024 04:06:57 UTC localizzato a profondità 11.44 km

In Figura 25 sono mostrati i segnali acquisiti dalle stazioni usate per la localizzazione dell'evento 8: dall'alto verso il basso, componente Z, N, E

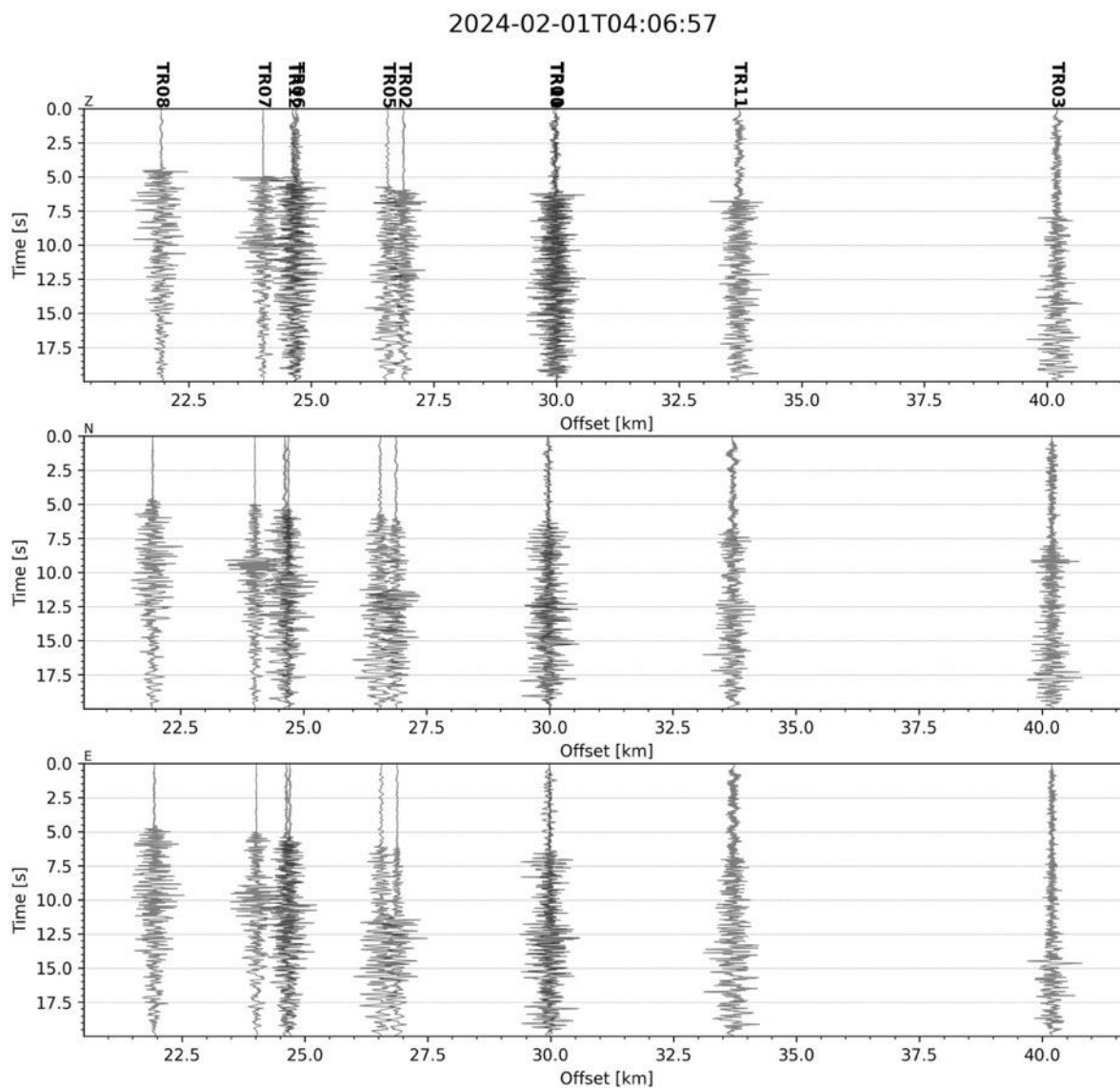


Figura 25 - forme d'onda (segnale raw filtrato) dell'evento 8, registrate dalle stazioni utilizzate per la localizzazione. Dall'alto, componenti Z, N, E.

Evento 9: 01/02/2024 05:18:04 UTC

Id	Tempo Origine [aa/mm/gg hh:mm:ss UTC]	Lat. [°]	Long. [°]	Profondità [km]	RMS [s]	M _i
9	2024-02-01 05:18:04	40.262	15.839	1.25	0.074	1.34±0.21

In Figura 26 sono mostrate le stazioni utilizzate per la localizzazione dell'evento sismico, l'epicentro e i limiti dei Domini di rilevazione e della Concessione

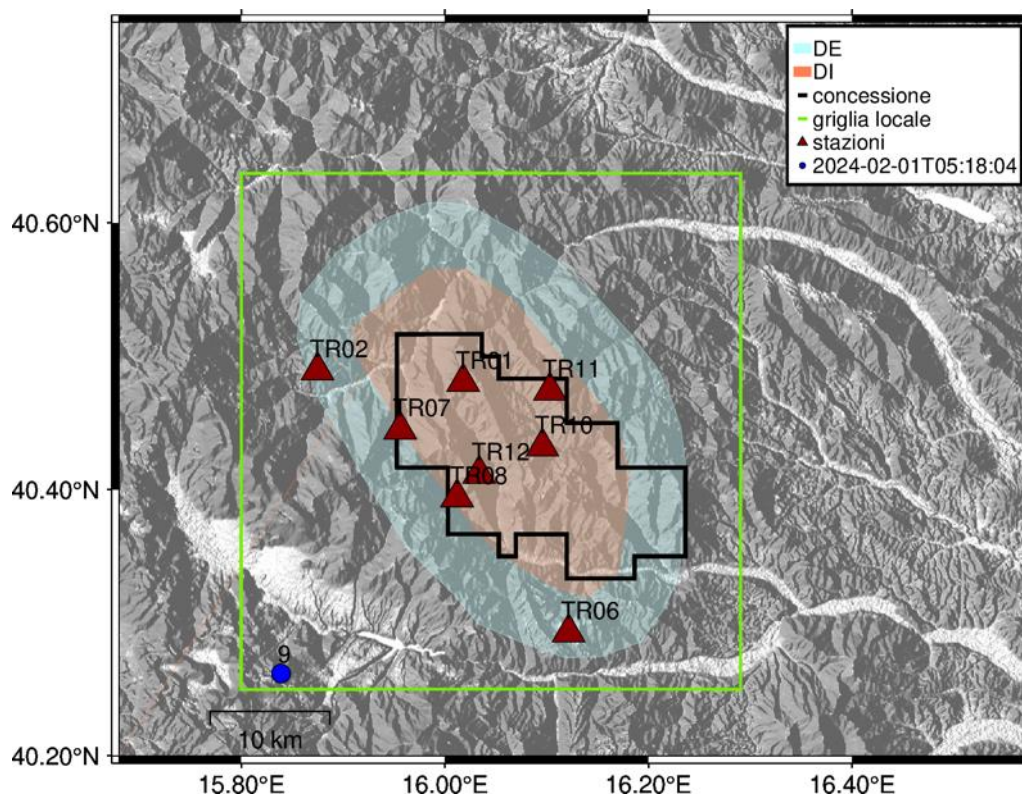


Figura 26 - stazioni utilizzate per la localizzazione, epicentro dell'evento del 01/02/2024 05:18:04 UTC localizzato a profondità 1.25 km

In Figura 27 sono mostrati i segnali acquisiti dalle stazioni usate per la localizzazione dell'evento 9: dall'alto verso il basso, componente Z, N, E

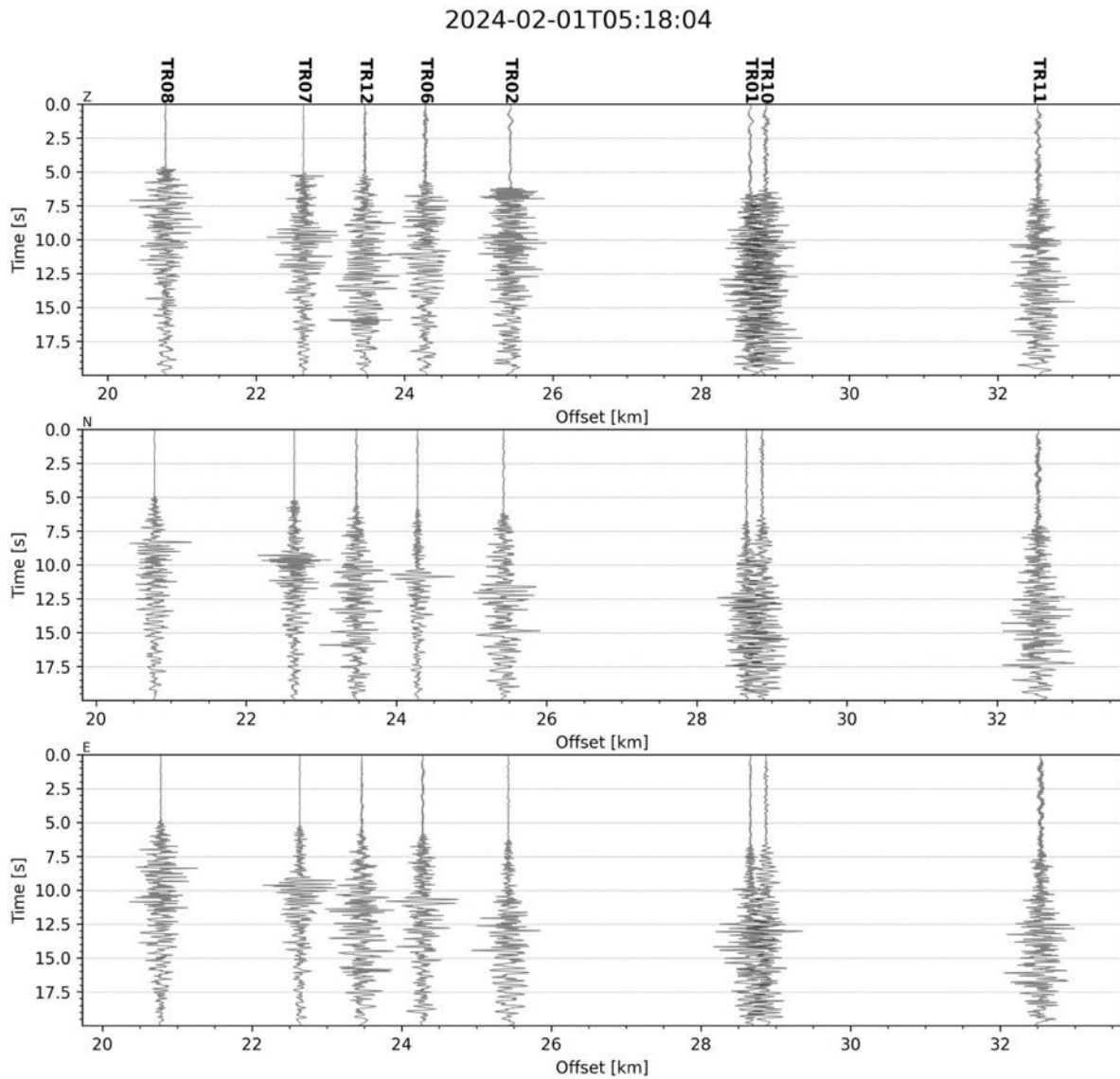


Figura 27 - forme d'onda (segnale raw filtrato) dell'evento 9, registrate dalle stazioni utilizzate per la localizzazione. Dall'alto, componenti Z, N, E.

Evento 10: 01/02/2024 06:05:27 UTC

Id	Tempo Origine [aa/mm/gg hh:mm:ss UTC]	Lat. [°]	Long. [°]	Profondità [km]	RMS [s]	M _i
10	2024-02-01 06:05:27	40.261	15.844	15.81	0.046	0.73±0.19

In Figura 28 sono mostrate le stazioni utilizzate per la localizzazione dell'evento sismico, l'epicentro e i limiti dei Domini di rilevazione e della Concessione

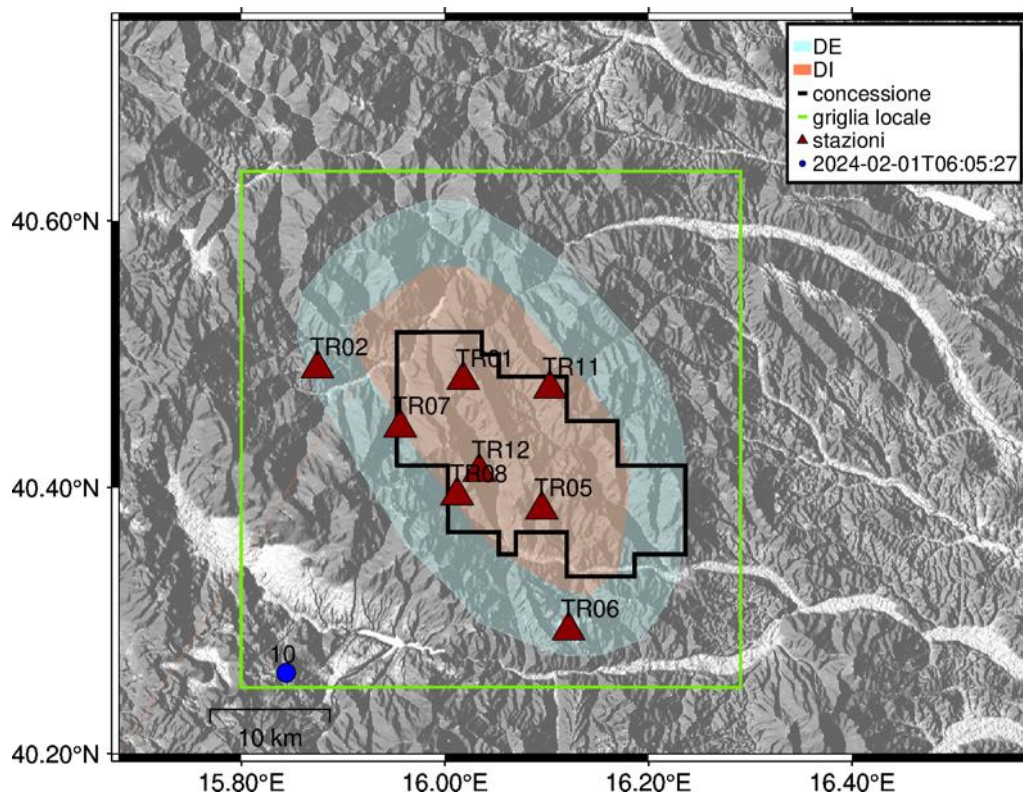


Figura 28 - stazioni utilizzate per la localizzazione, epicentro dell'evento del 01/02/2024 06:05:27 UTC localizzato a profondità 15.81 km

In Figura 29 sono mostrati i segnali acquisiti dalle stazioni usate per la localizzazione dell'evento 10: dall'alto verso il basso, componente Z, N, E

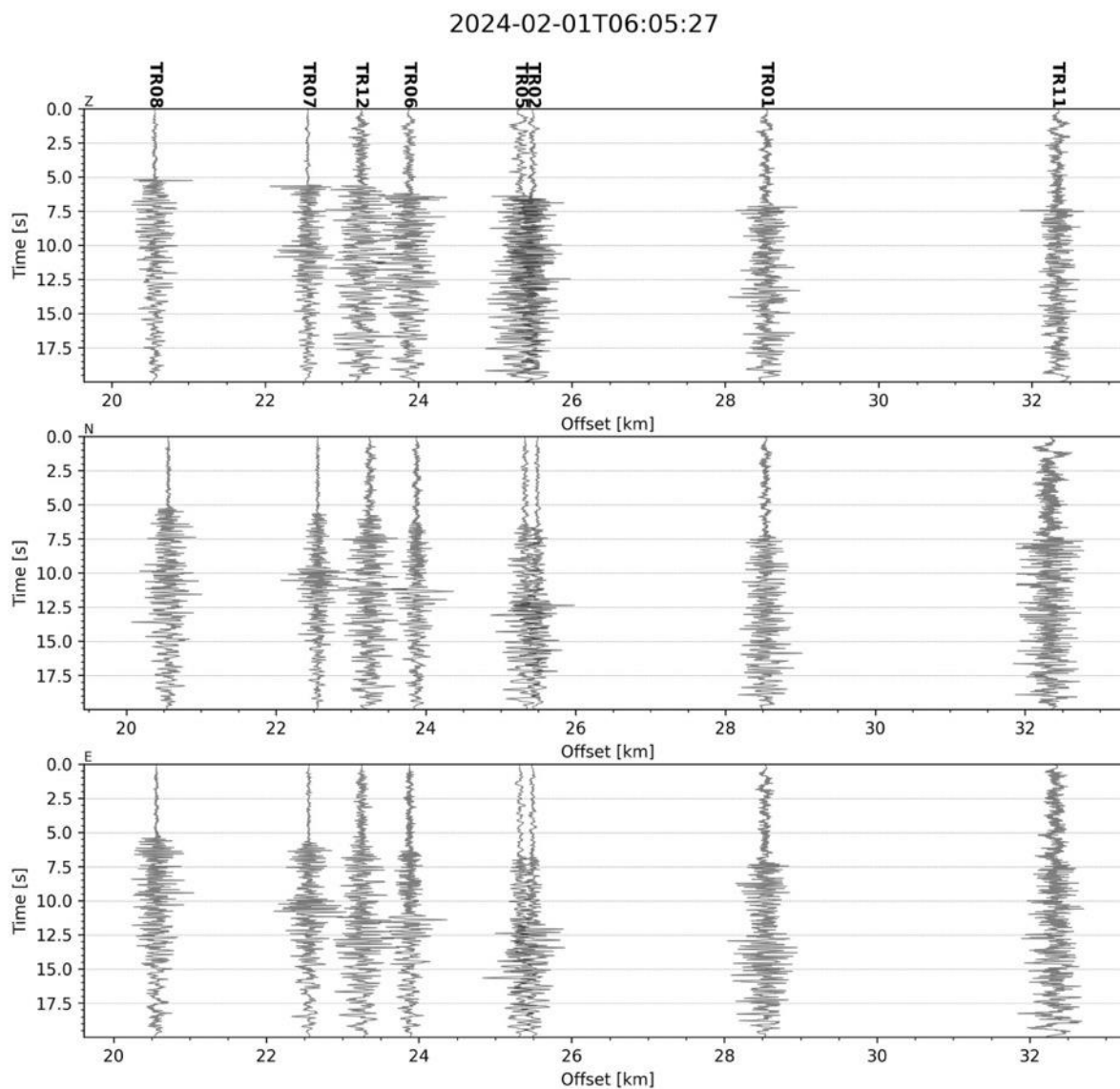


Figura 29 - forme d'onda (segnale raw filtrato) dell'evento 10, registrate dalle stazioni utilizzate per la localizzazione. Dall'alto, componenti Z, N, E.

Evento 11: 02/02/2024 02:20:42 UTC

Id	Tempo Origine [aa/mm/gg hh:mm:ss UTC]	Lat. [°]	Long. [°]	Profondità [km]	RMS [s]	M _i
11	2024-02-02 02:20:42	40.424	16.057	1.72	0.024	-0.07±0.15

In Figura 30 sono mostrate le stazioni utilizzate per la localizzazione dell'evento sismico, l'epicentro e i limiti dei Domini di rilevazione e della Concessione

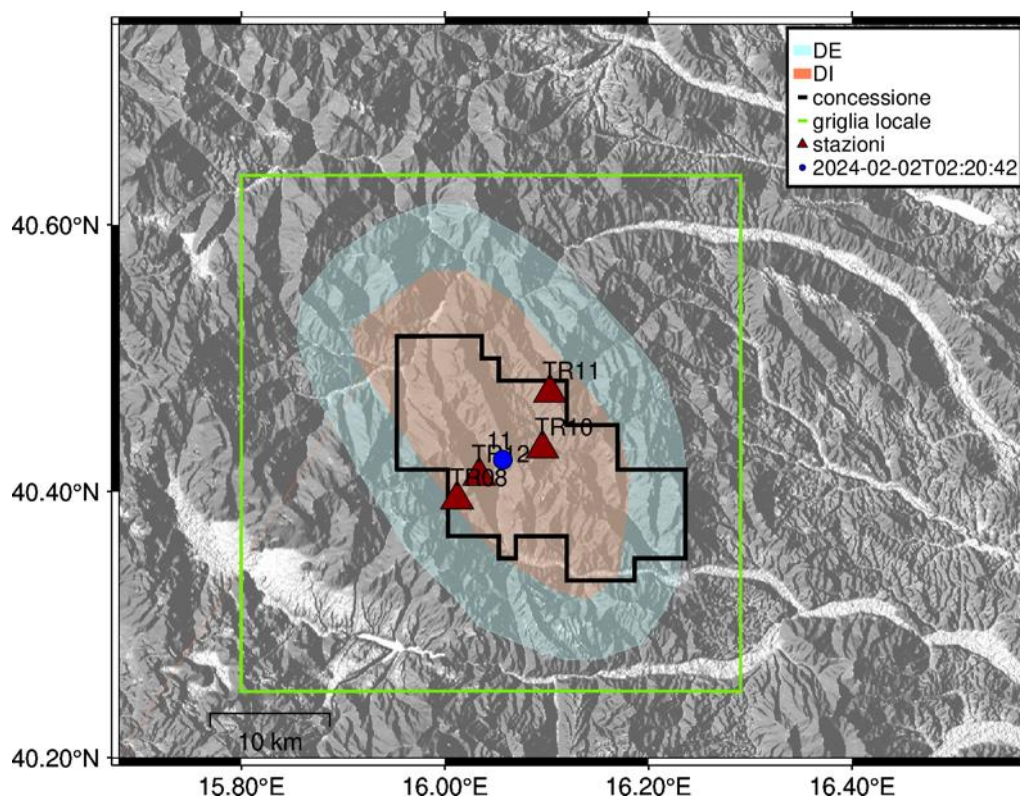


Figura 30 - stazioni utilizzate per la localizzazione, epicentro dell'evento del 02/02/2024 02:20:42 UTC localizzato a profondità 1.72 km

In Figura 31 sono mostrati i segnali acquisiti dalle stazioni usate per la localizzazione dell'evento 11: dall'alto verso il basso, componente Z, N, E

2024-02-02T02:20:42

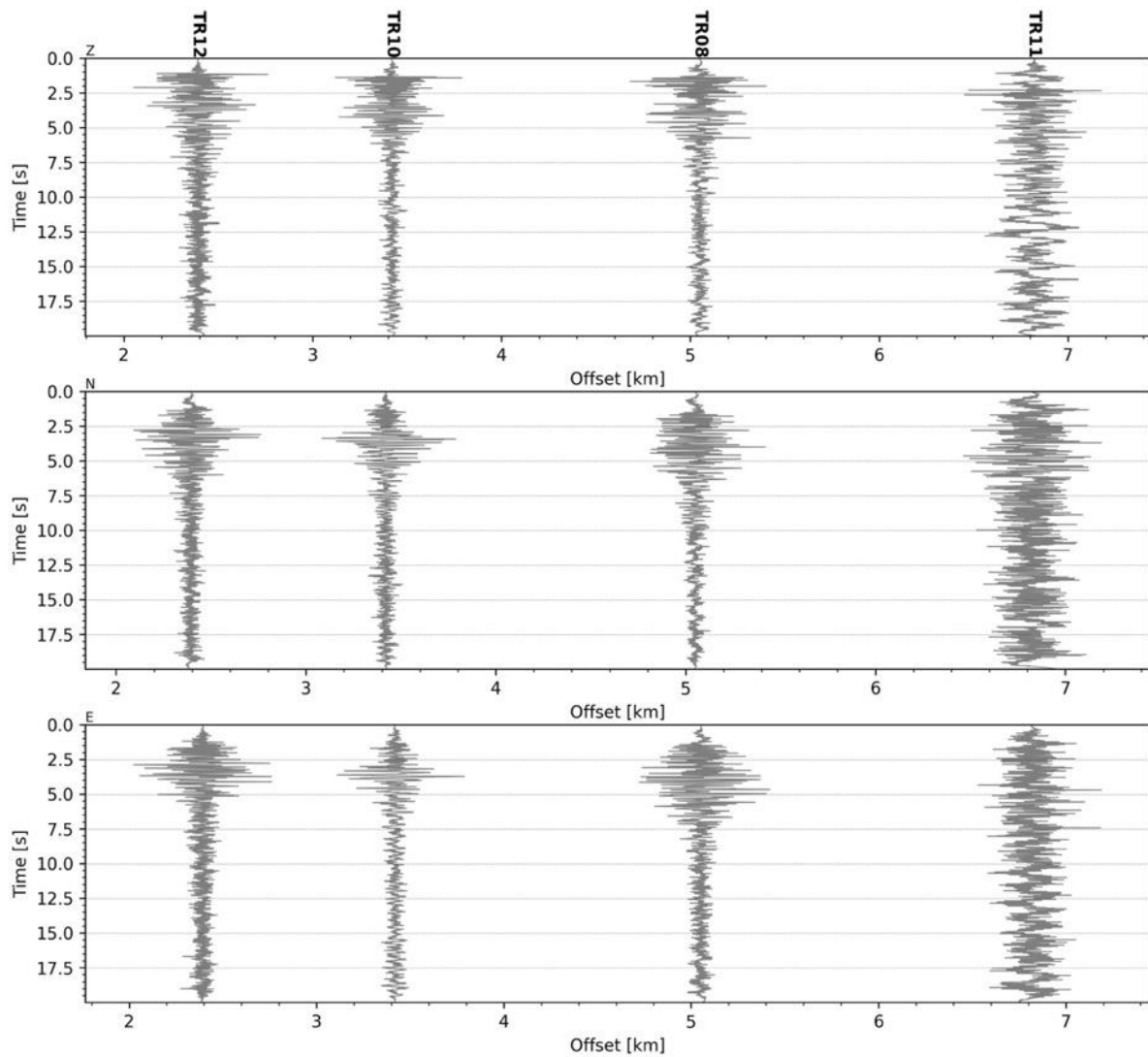


Figura 31 - forme d'onda (segnale raw filtrato) dell'evento 11, registrate dalle stazioni utilizzate per la localizzazione. Dall'alto, componenti Z, N, E.s

Evento 12: 02/02/2024 15:55:40 UTC

Id	Tempo Origine [aa/mm/gg hh:mm:ss UTC]	Lat. [°]	Long. [°]	Profondità [km]	RMS [s]	M _i
12	2024-02-02 15:55:40	40.245	15.829	8.06	0.063	1.34±0.22

In Figura 32 sono mostrate le stazioni utilizzate per la localizzazione dell'evento sismico, l'epicentro e i limiti dei Domini di rilevazione e della Concessione

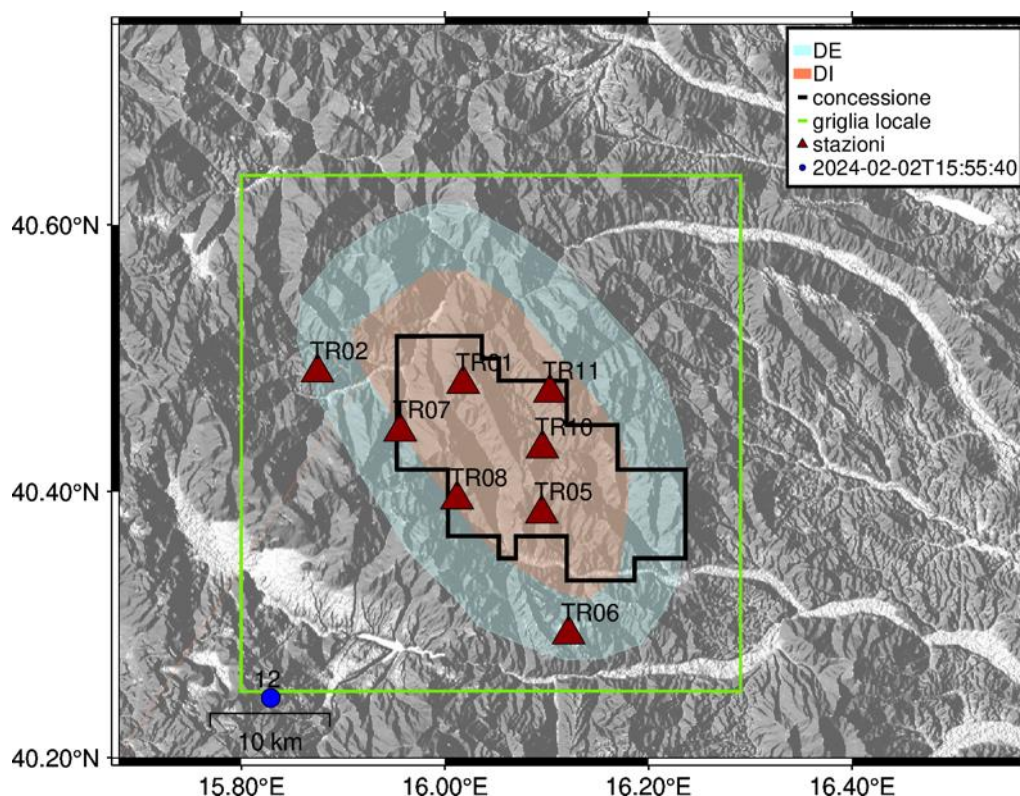


Figura 32 - stazioni utilizzate per la localizzazione, epicentro dell'evento del 02/02/2024 15:55:40 UTC localizzato a profondità 8.06 km

In Figura 33 sono mostrati i segnali acquisiti dalle stazioni usate per la localizzazione dell'evento 12: dall'alto verso il basso, componente Z, N, E

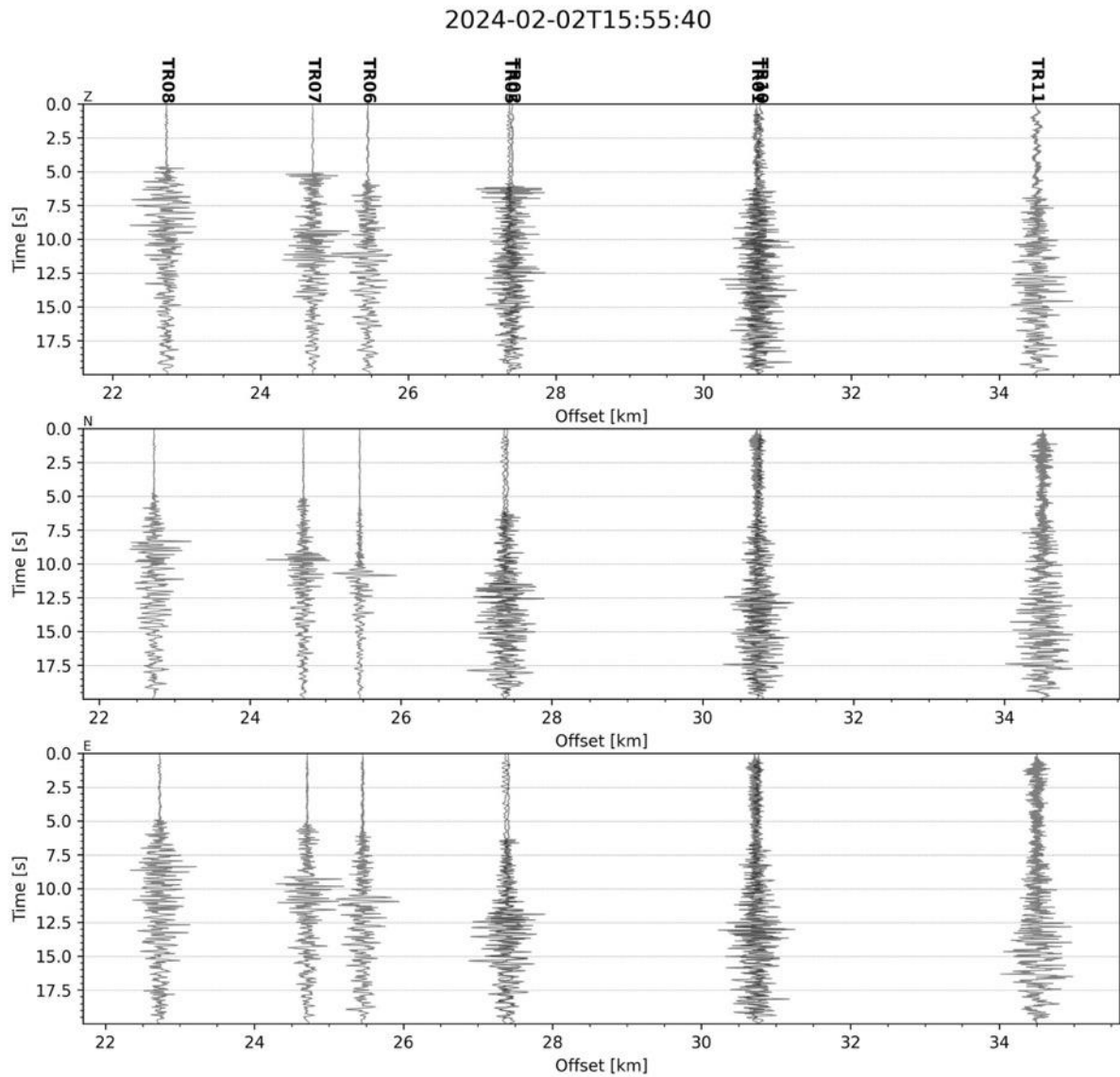


Figura 33 - forme d'onda (segnale raw filtrato) dell'evento 12, registrate dalle stazioni utilizzate per la localizzazione. Dall'alto, componenti Z, N, E.

Evento 13: 02/02/2024 19:50:03 UTC

Id	Tempo Origine [aa/mm/gg hh:mm:ss UTC]	Lat. [°]	Long. [°]	Profondità [km]	RMS [s]	M _i
13	2024-02-02 19:50:03	40.257	15.851	15.53	0.048	1.11±0.22

In Figura 32 sono mostrate le stazioni utilizzate per la localizzazione dell'evento sismico, l'epicentro e i limiti dei Domini di rilevazione e della Concessione

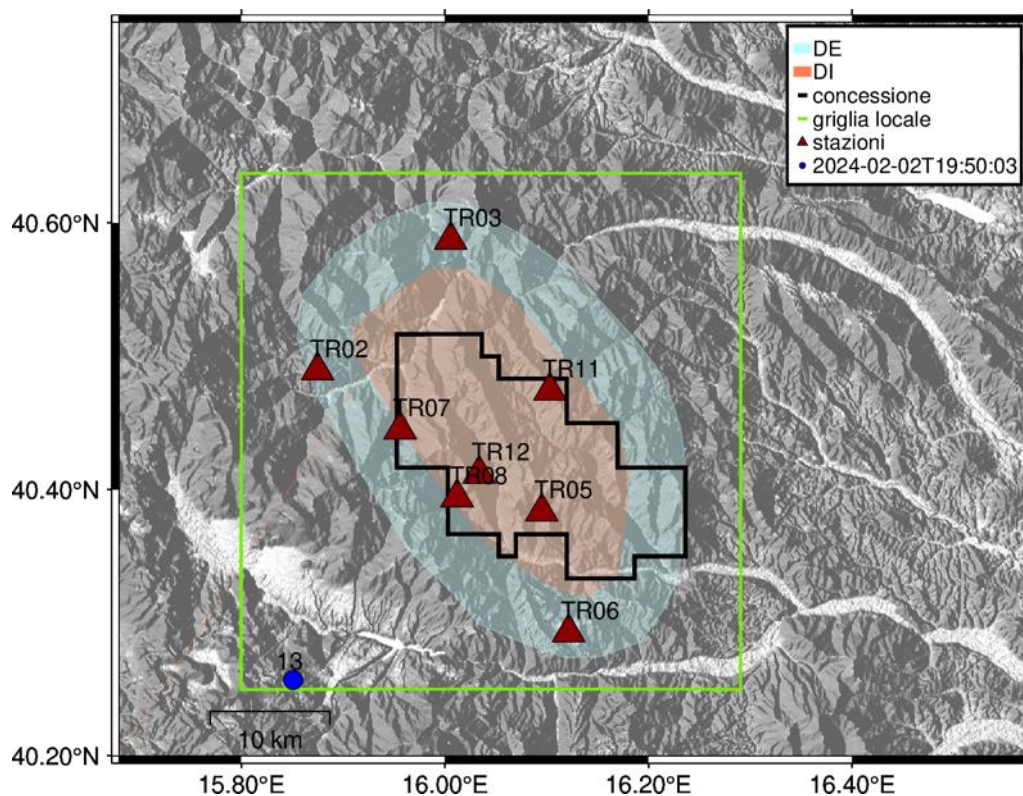


Figura 34 - stazioni utilizzate per la localizzazione, epicentro dell'evento del 02/02/2024 19:50:03 UTC localizzato a profondità 15.53 km

In Figura 35 sono mostrati i segnali acquisiti dalle stazioni usate per la localizzazione dell'evento 13: dall'alto verso il basso, componente Z, N, E

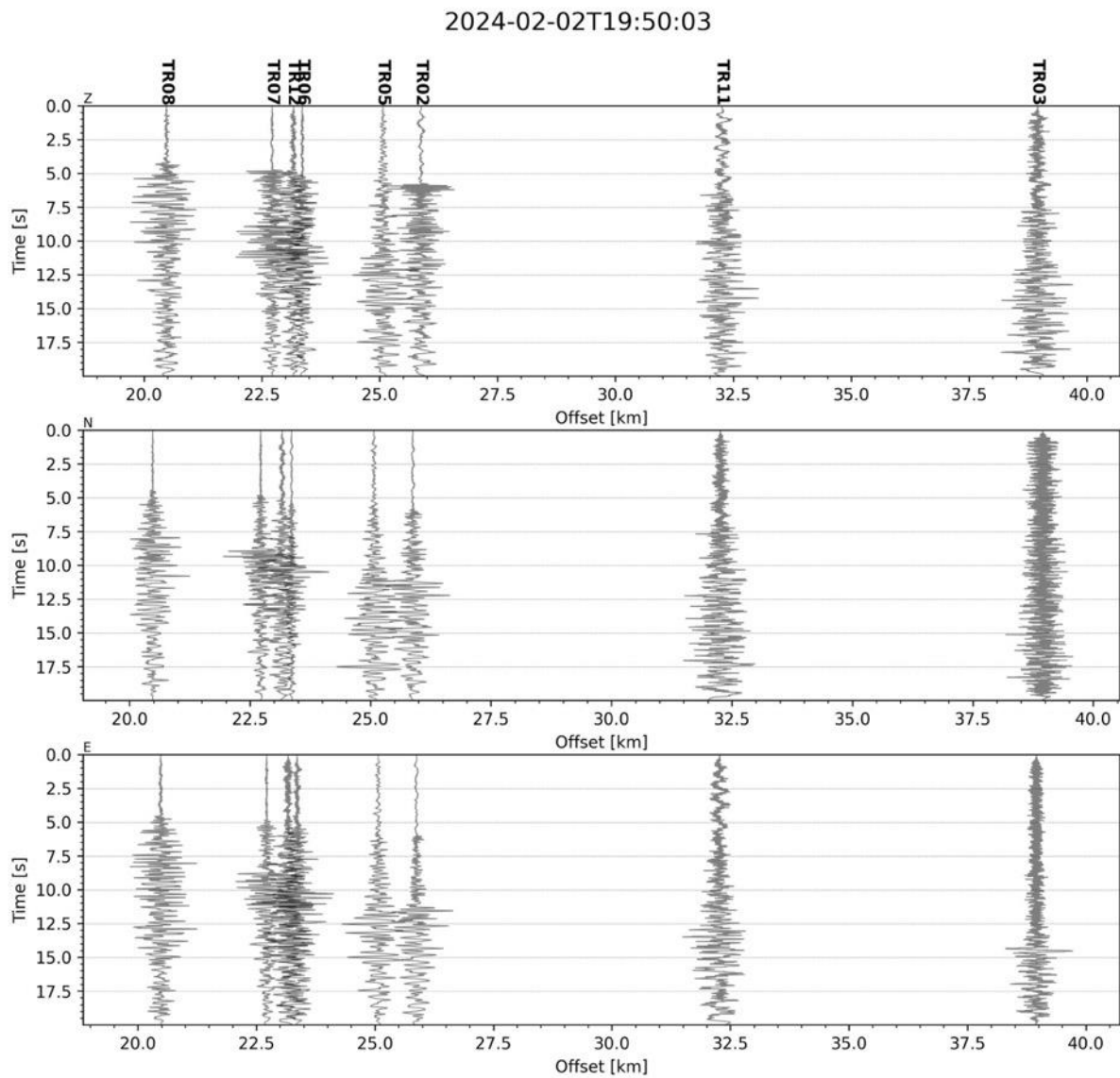


Figura 35 - forme d'onda (segnale raw filtrato) dell'evento 13, registrate dalle stazioni utilizzate per la localizzazione. Dall'alto, componenti Z, N, E.

Evento 14: 03/02/2024 05:16:43 UTC

Id	Tempo Origine [aa/mm/gg hh:mm:ss UTC]	Lat. [°]	Long. [°]	Profondità [km]	RMS [s]	M _i
14	2024-02-03 05:16:43	40.256	15.837	9.19	0.023	0.61±0.19

In Figura 36 sono mostrate le stazioni utilizzate per la localizzazione dell'evento sismico, l'epicentro e i limiti dei Domini di rilevazione e della Concessione

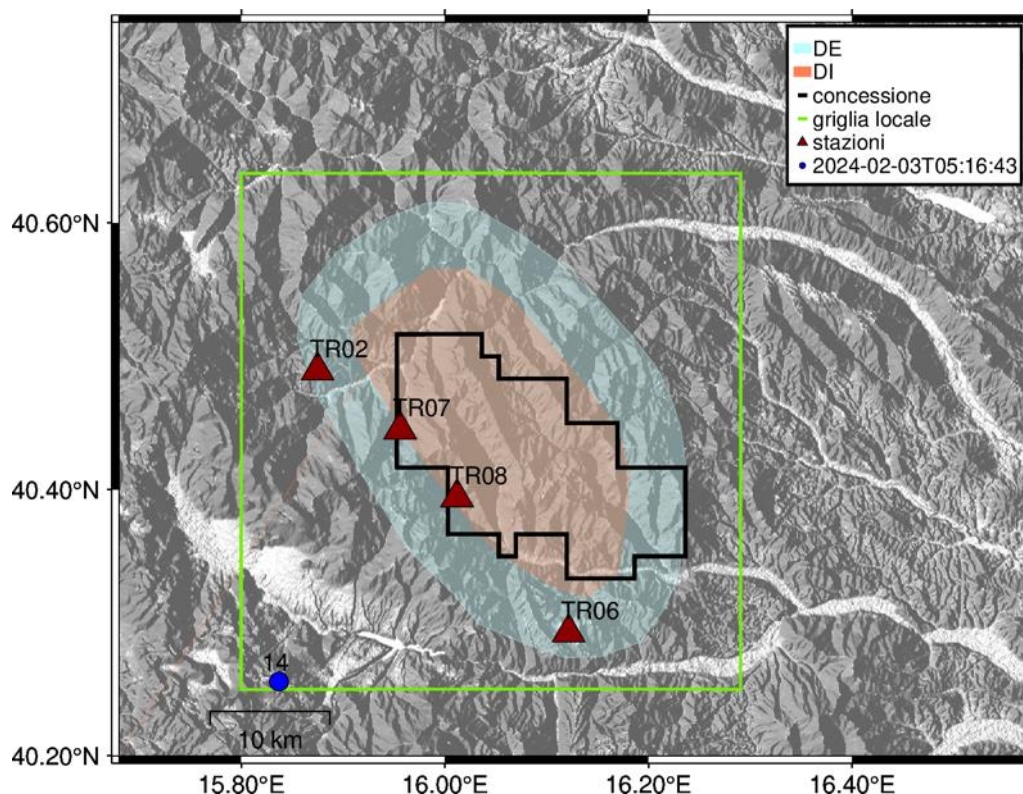


Figura 36 - stazioni utilizzate per la localizzazione, epicentro dell'evento del 03/02/2024 05:16:43 localizzato a profondità 9.19 km

In Figura 37 sono mostrati i segnali acquisiti dalle stazioni usate per la localizzazione dell'evento 14: dall'alto verso il basso, componente Z, N, E

2024-02-03T05:16:43

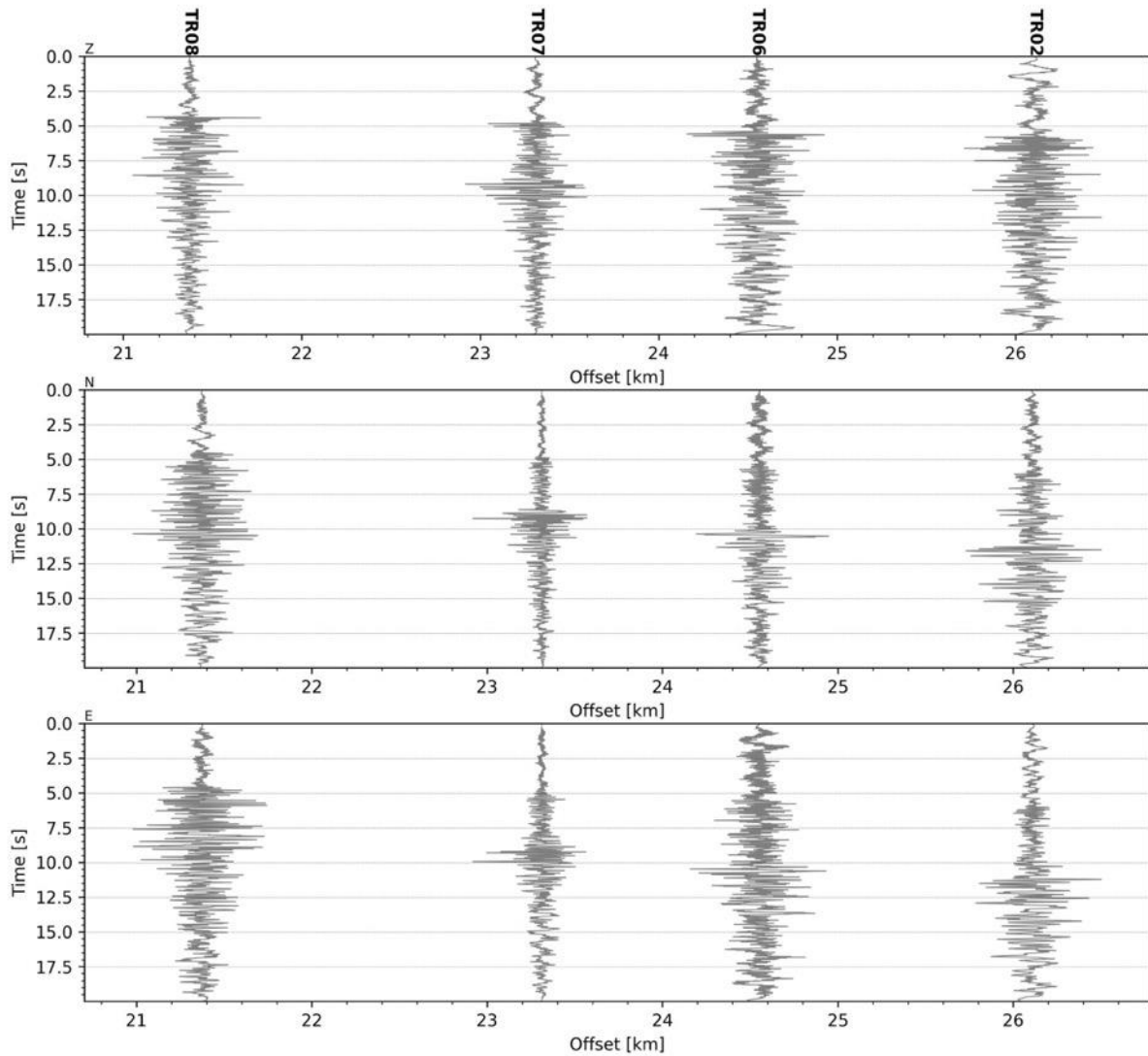


Figura 37 - forme d'onda (segnale raw filtrato) dell'evento 14, registrate dalle stazioni utilizzate per la localizzazione. Dall'alto, componenti Z, N, E.

Evento 15: 05/02/2024 18:05:33 UTC

Id	Tempo Origine [aa/mm/gg hh:mm:ss UTC]	Lat. [°]	Long. [°]	Profondità [km]	RMS [s]	M _i
15	2024-02-05 18:05:33	40.256	15.848	14.56	0.034	0.75±0.24

In Figura 38 sono mostrate le stazioni utilizzate per la localizzazione dell'evento sismico, l'epicentro e i limiti dei Domini di rilevazione e della Concessione

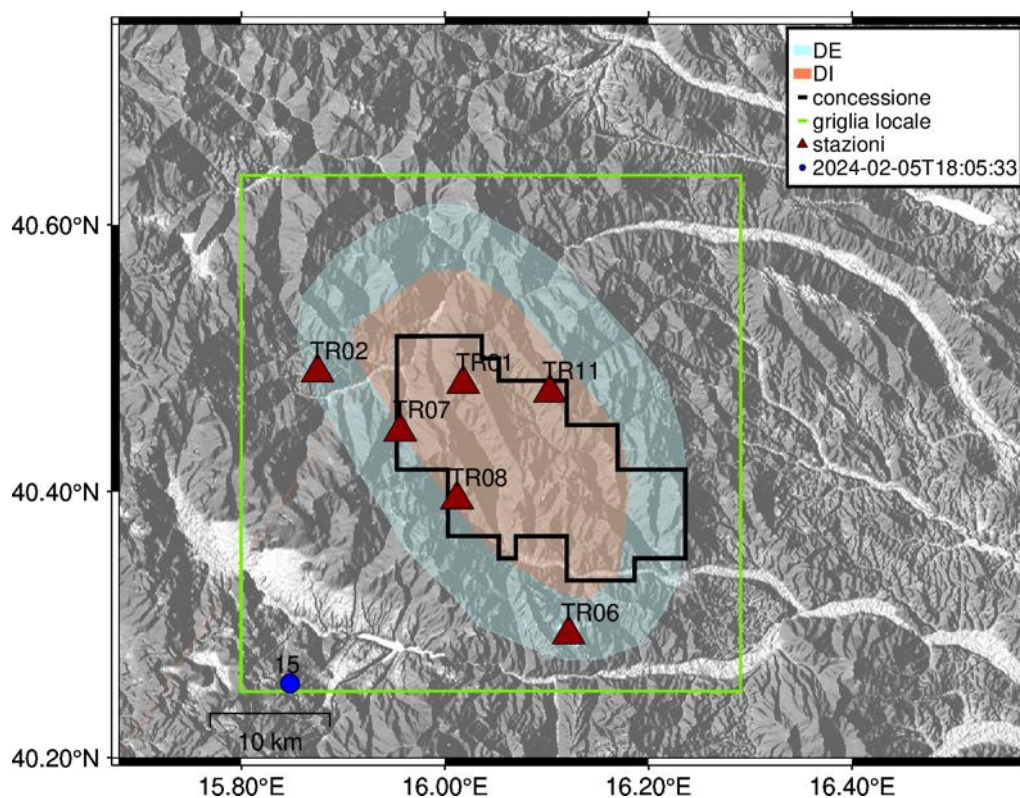


Figura 38 - stazioni utilizzate per la localizzazione, epicentro dell'evento del 05/02/2024 18:05:33 UTC localizzato a profondità 14.56 km

In Figura 39 sono mostrati i segnali acquisiti dalle stazioni usate per la localizzazione dell'evento 15: dall'alto verso il basso, componente Z, N, E

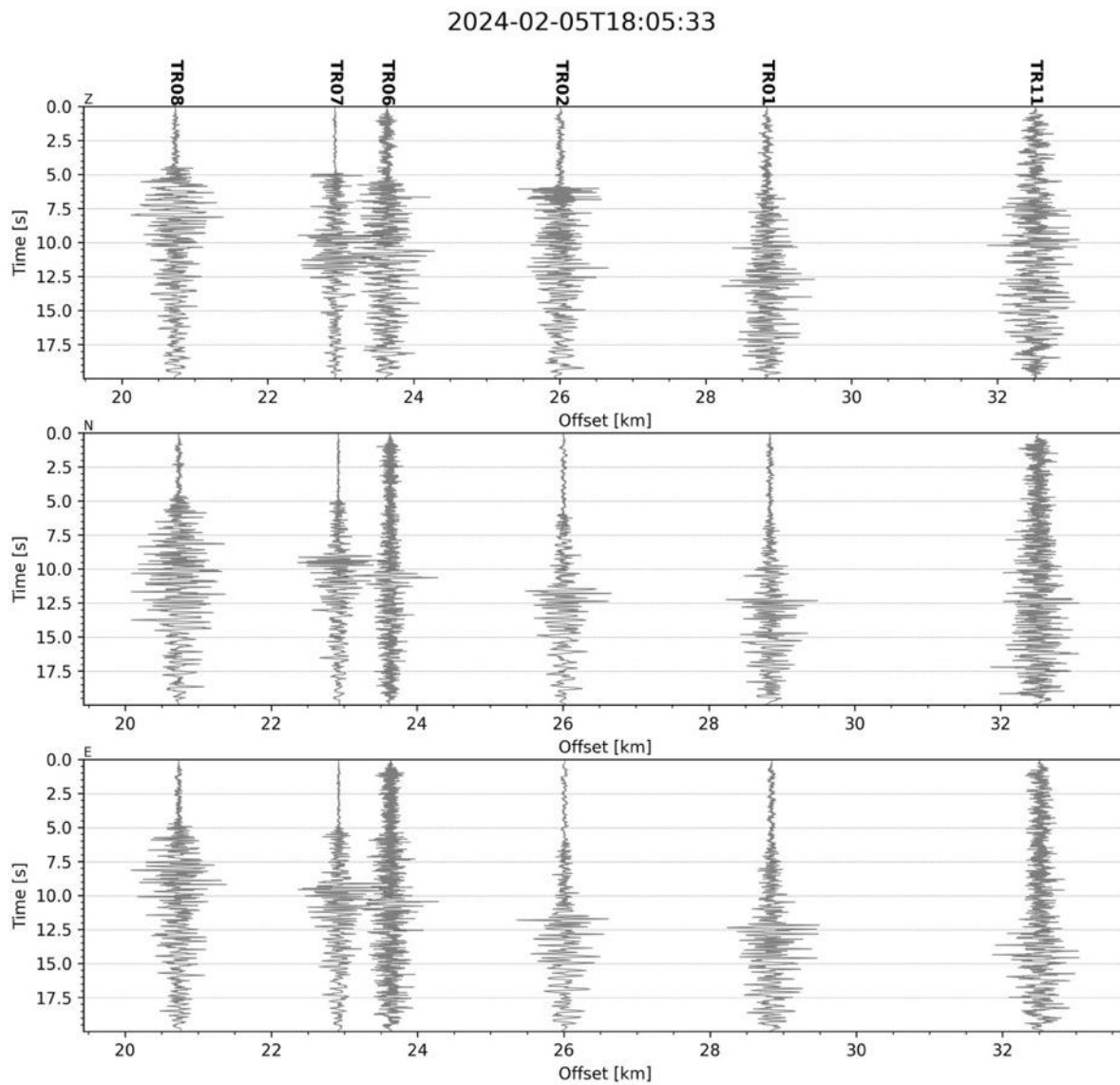


Figura 39 - forme d'onda (segnale raw filtrato) dell'evento 15, registrate dalle stazioni utilizzate per la localizzazione. Dall'alto, componenti Z, N, E.

Evento 16: 05/02/2024 22:12:40 UTC

Id	Tempo Origine [aa/mm/gg hh:mm:ss UTC]	Lat. [°]	Long. [°]	Profondità [km]	RMS [s]	M _i
16	2024-02-05 22:12:40	40.243	15.828	1.69	0.036	0.66±0.16

In Figura 40 sono mostrate le stazioni utilizzate per la localizzazione dell'evento sismico, l'epicentro e i limiti dei Domini di rilevazione e della Concessione

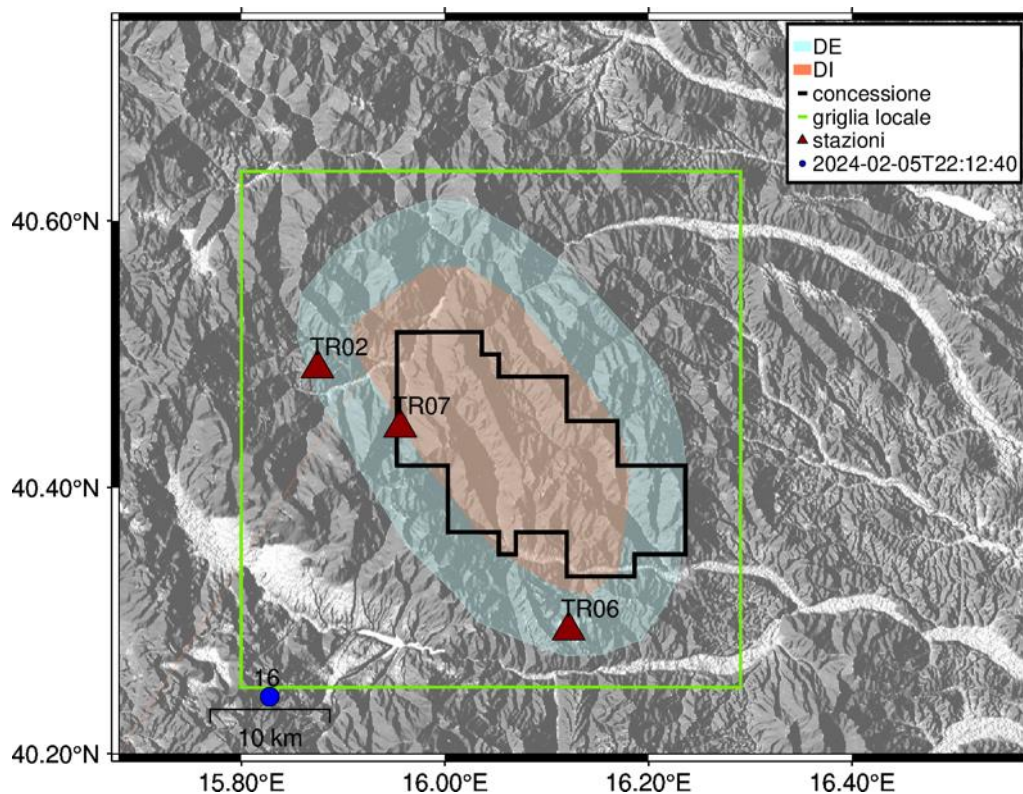


Figura 40 - stazioni utilizzate per la localizzazione, epicentro dell'evento del 05/02/2024 22:12:40 UTC localizzato a profondità 1.69 km

In Figura 41 sono mostrati i segnali acquisiti dalle stazioni usate per la localizzazione dell'evento 16: dall'alto verso il basso, componente Z, N, E

2024-02-05T22:12:40

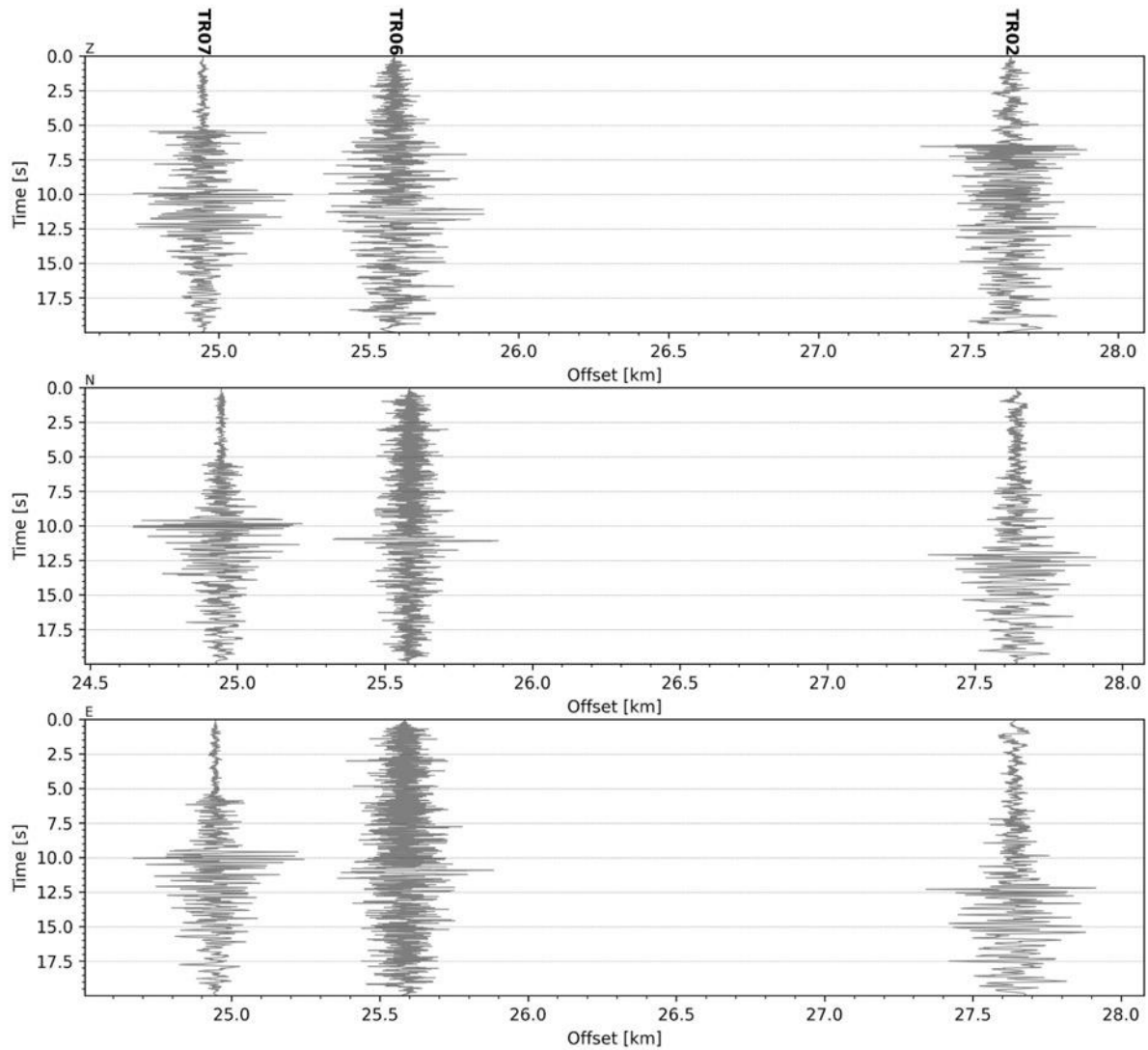


Figura 41 - forme d'onda (segnale raw filtrato) dell'evento 16, registrate dalle stazioni utilizzate per la localizzazione. Dall'alto, componenti Z, N, E.

Evento 17: 05/02/2024 23:21:53 UTC

Id	Tempo Origine [aa/mm/gg hh:mm:ss UTC]	Lat. [°]	Long. [°]	Profondità [km]	RMS [s]	M _i
17	2024-02-05 23:21:53	40.257	15.851	11.81	0.058	1.18±0.22

In Figura 42 sono mostrate le stazioni utilizzate per la localizzazione dell'evento sismico, l'epicentro e i limiti dei Domini di rilevazione e della Concessione

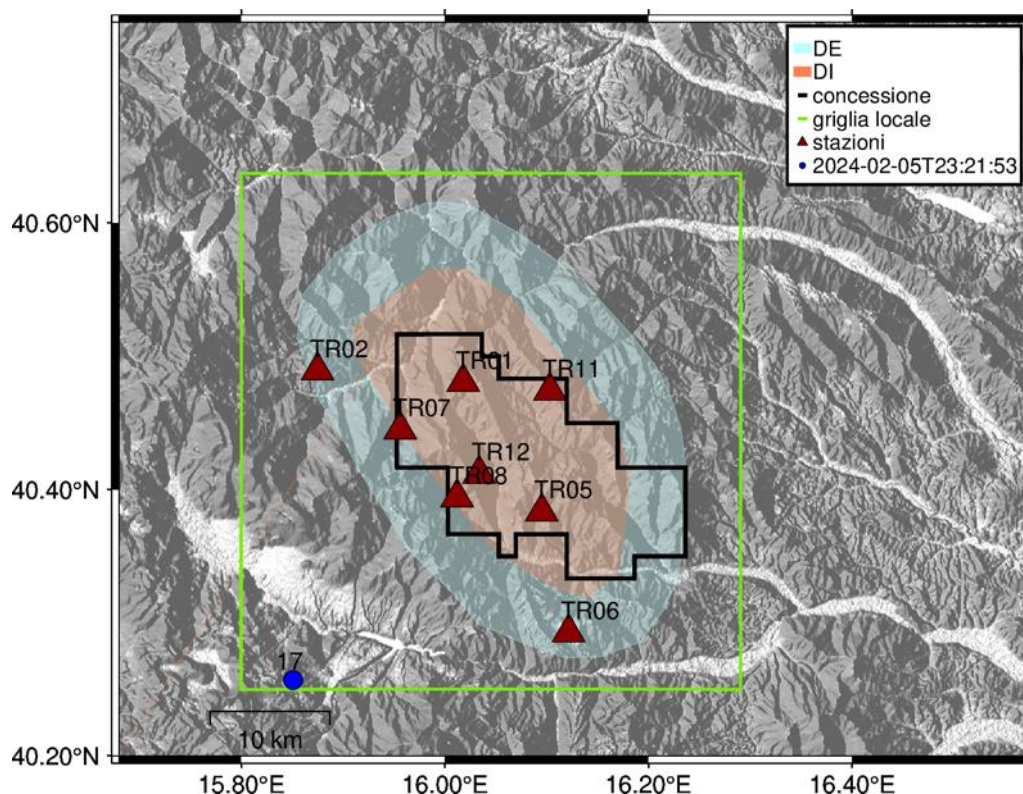


Figura 42 - stazioni utilizzate per la localizzazione, epicentro dell'evento del 05/02/2024 23:21:53 UTC localizzato a profondità 11.81 km

In Figura 43 sono mostrati i segnali acquisiti dalle stazioni usate per la localizzazione dell'evento 17: dall'alto verso il basso, componente Z, N, E

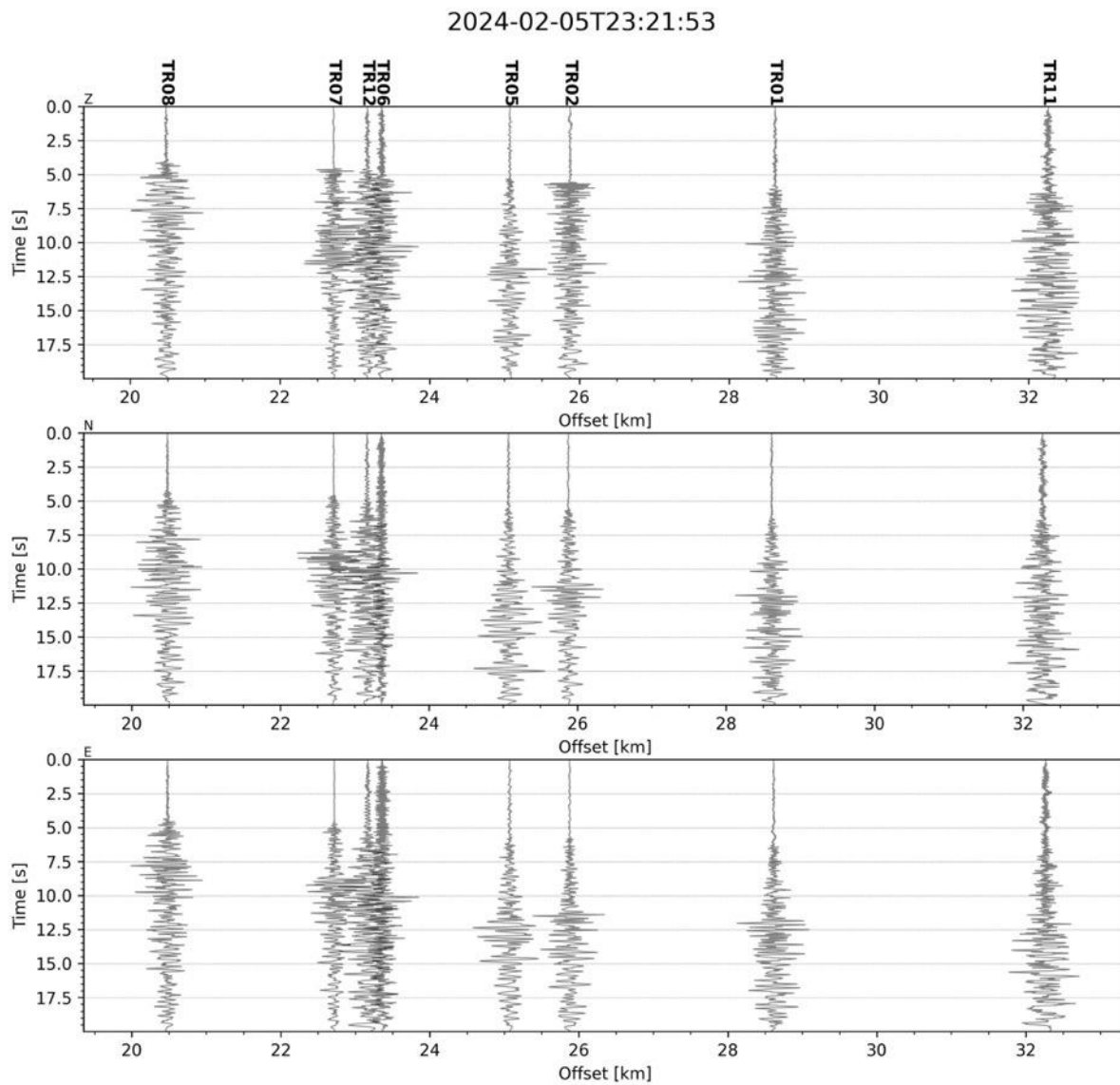


Figura 43 - forme d'onda (segnale raw filtrato) dell'evento 17, registrate dalle stazioni utilizzate per la localizzazione. Dall'alto, componenti Z, N, E.

Evento 18: 07/02/2024 06:02:59 UTC

Id	Tempo Origine [aa/mm/gg hh:mm:ss UTC]	Lat. [°]	Long. [°]	Profondità [km]	RMS [s]	M _i
18	2024-02-07 06:02:59	40.250	15.847	11.44	0.036	0.5±0.19

In Figura 44 sono mostrate le stazioni utilizzate per la localizzazione dell'evento sismico, l'epicentro e i limiti dei Domini di rilevazione e della Concessione

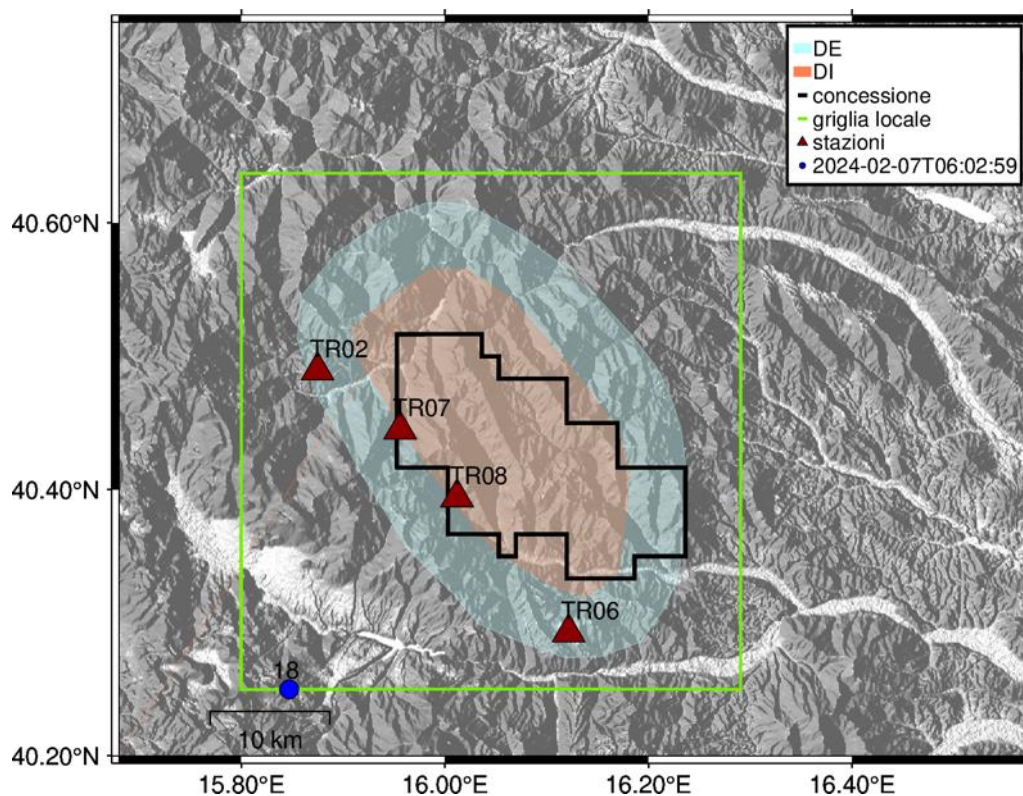


Figura 44 - stazioni utilizzate per la localizzazione, epicentro dell'evento del 07/02/2024 06:02:59 UTC localizzato a profondità 11.44 km

In Figura 45 sono mostrati i segnali acquisiti dalle stazioni usate per la localizzazione dell'evento 18: dall'alto verso il basso, componente Z, N, E

2024-02-07T06:02:59

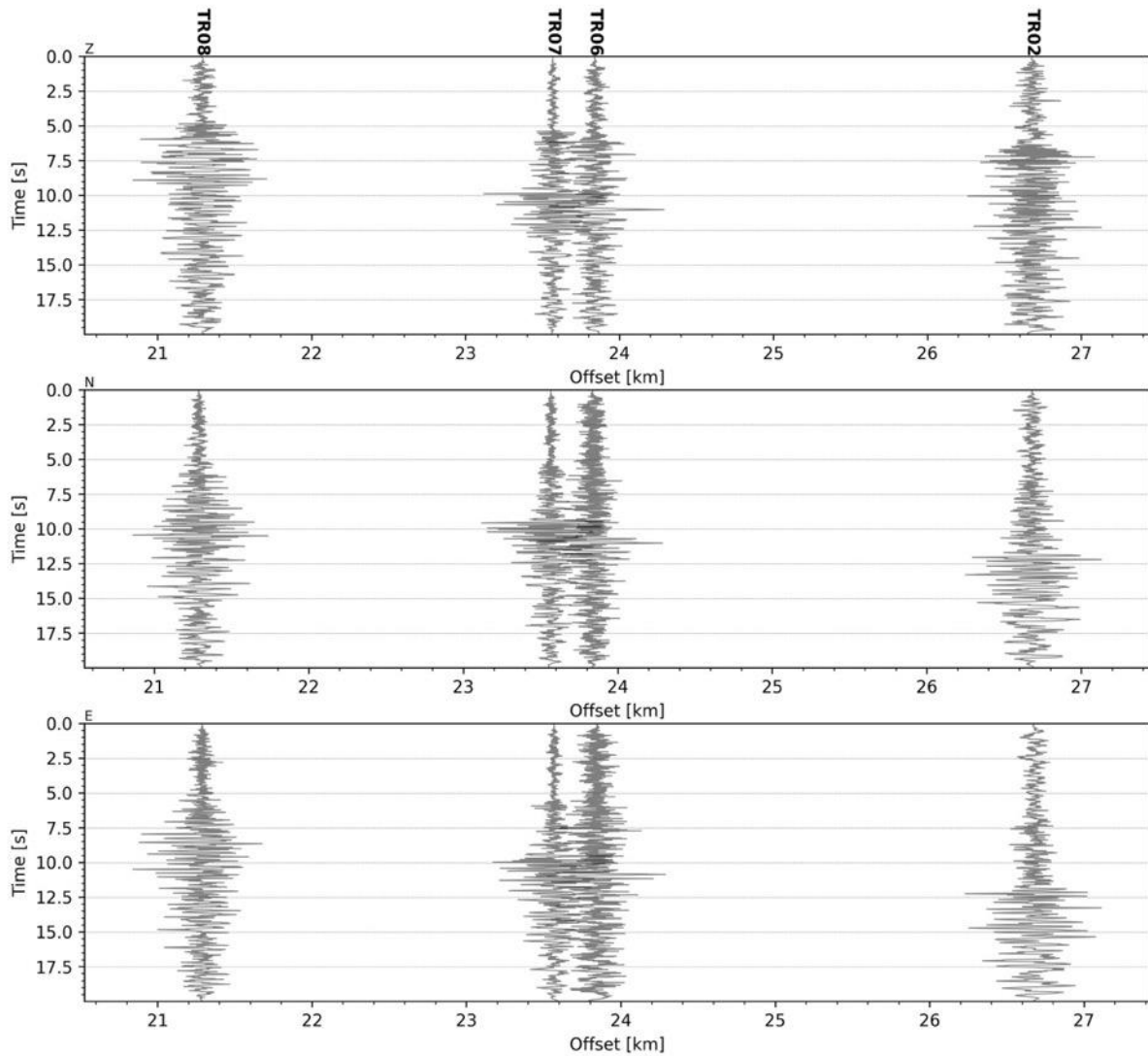


Figura 45 - forme d'onda (segnale raw filtrato) dell'evento 18, registrate dalle stazioni utilizzate per la localizzazione. Dall'alto, componenti Z, N, E.

Evento 19: 07/02/2024 12:24:35 UTC

Id	Tempo Origine [aa/mm/gg hh:mm:ss UTC]	Lat. [°]	Long. [°]	Profondità [km]	RMS [s]	M _i
19	2024-02-07 12:24:35	40.268	15.852	15.88	0.032	0.93±0.27

In Figura 46 sono mostrate le stazioni utilizzate per la localizzazione dell'evento sismico, l'epicentro e i limiti dei Domini di rilevazione e della Concessione.

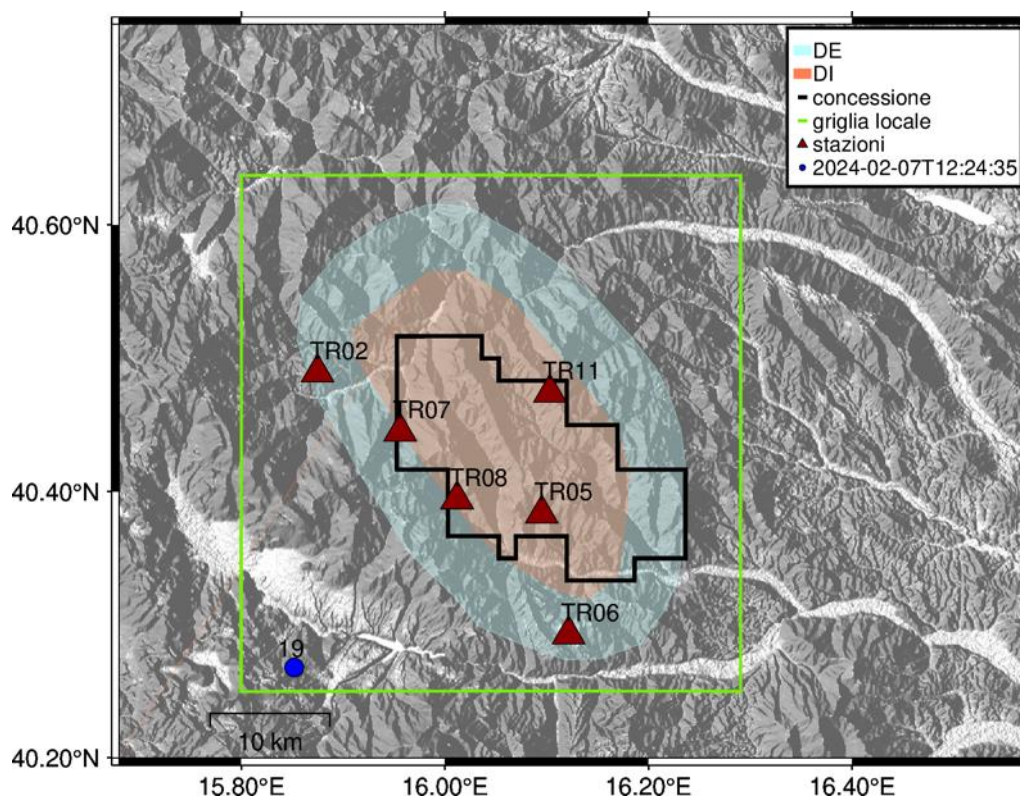


Figura 46 - stazioni utilizzate per la localizzazione, epicentro dell'evento del 07/02/2024 12:24:35 UTC localizzato a profondità 15.88 km

In Figura 47 sono mostrati i segnali acquisiti dalle stazioni usate per la localizzazione dell'evento 19: dall'alto verso il basso, componente Z, N, E

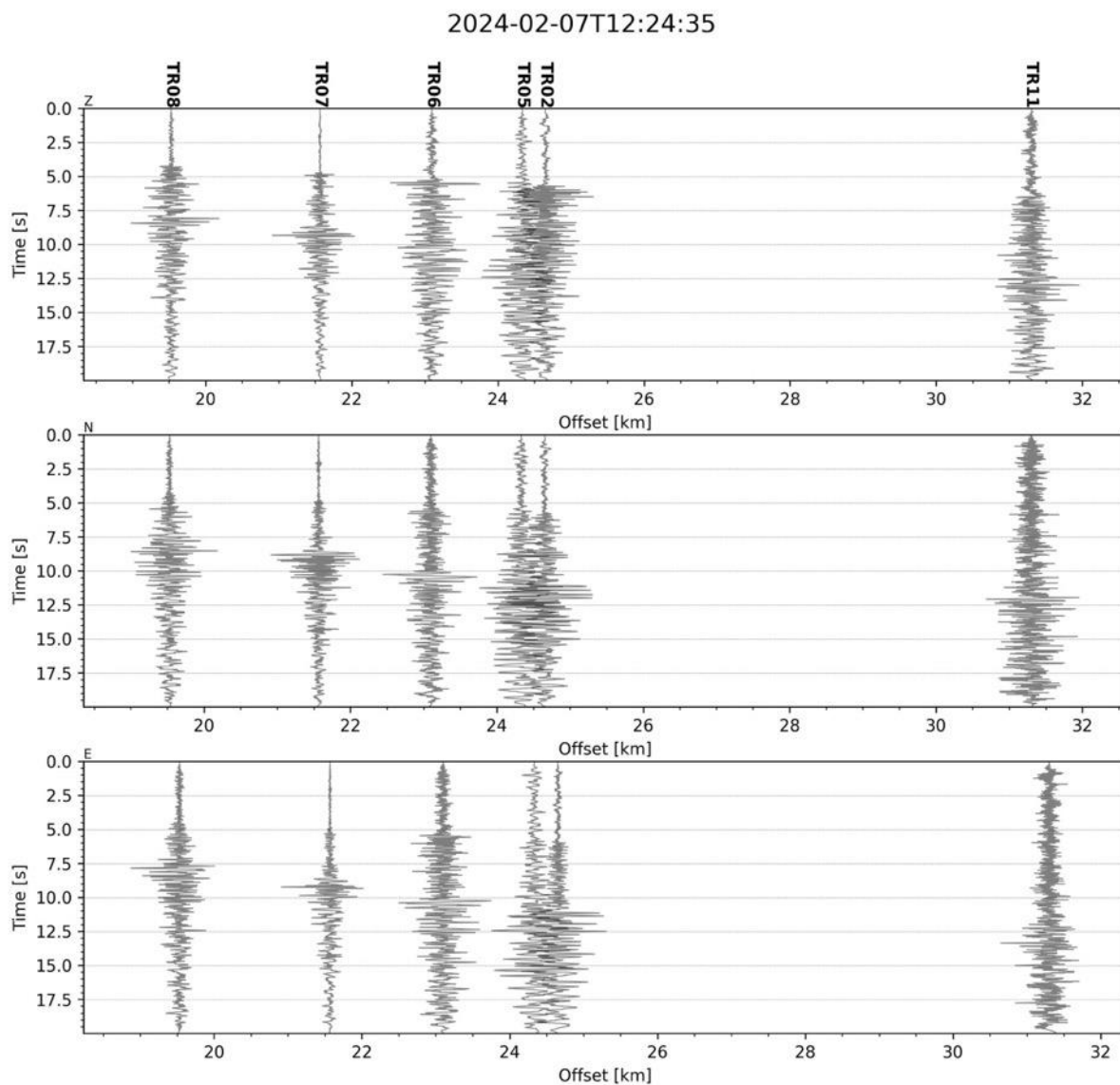


Figura 47 - forme d'onda (segnale raw filtrato) dell'evento 19, registrate dalle stazioni utilizzate per la localizzazione. Dall'alto, componenti Z, N, E.

Evento 20: 13/02/2024 02:41:01 UTC

Id	Tempo Origine [aa/mm/gg hh:mm:ss UTC]	Lat. [°]	Long. [°]	Profondità [km]	RMS [s]	M _i
20	2024-02-13 02:41:01	40.519	16.259	10.41	0.034	0.13±0.22

In Figura 48 sono mostrate le stazioni utilizzate per la localizzazione dell'evento sismico, l'epicentro e i limiti dei Domini di rilevazione e della Concessione.

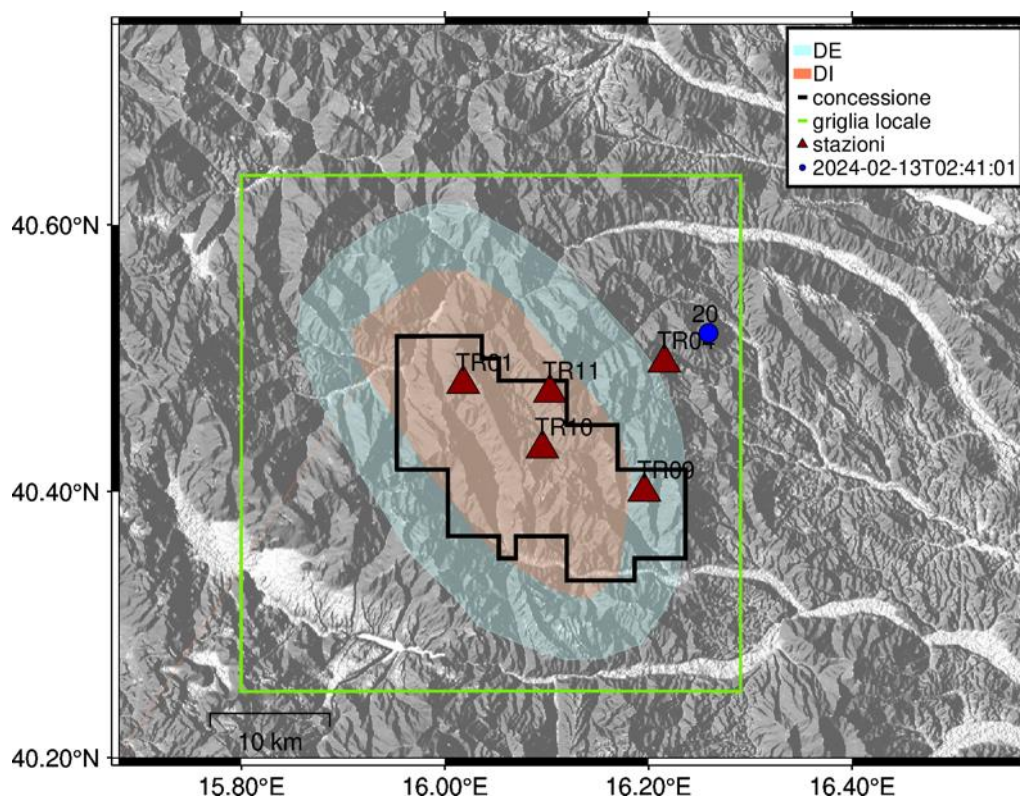


Figura 48 - stazioni utilizzate per la localizzazione, epicentro dell'evento del 13/02/2024 02:41:01 UTC localizzato a profondità 10.41 km

In Figura 49 sono mostrati i segnali acquisiti dalle stazioni usate per la localizzazione dell'evento 20: dall'alto verso il basso, componente Z, N, E

2024-02-13T02:41:01

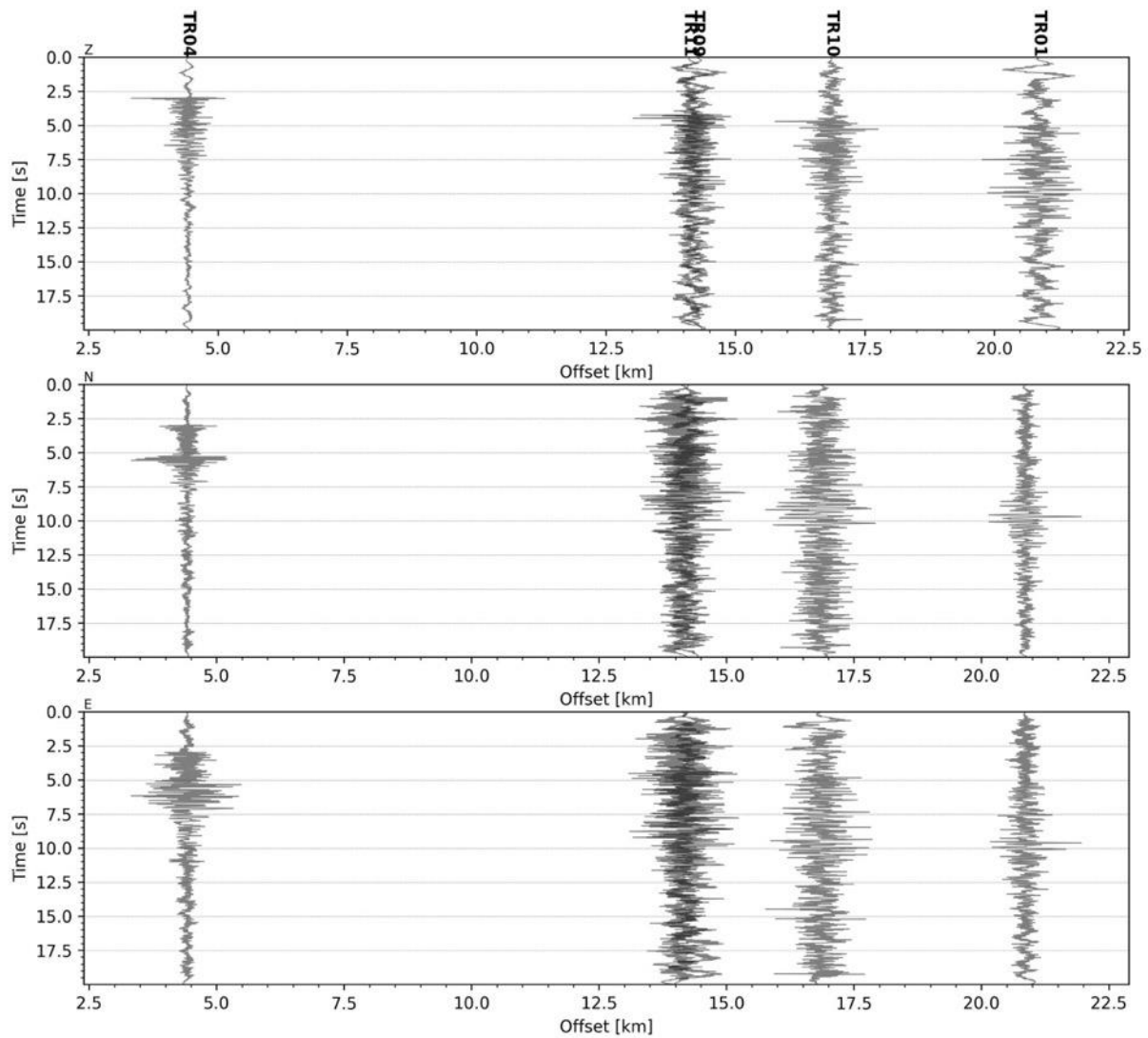


Figura 49 - forme d'onda (segnale raw filtrato) dell'evento 20, registrate dalle stazioni utilizzate per la localizzazione. Dall'alto, componenti Z, N, E.

Evento 21: 13/02/2024 03:11:44 UTC

Id	Tempo Origine [aa/mm/gg hh:mm:ss UTC]	Lat. [°]	Long. [°]	Profondità [km]	RMS [s]	M _i
21	2024-02-13 03:11:44	40.510	16.263	9.69	0.044	0.1±0.24

In Figura 50 sono mostrate le stazioni utilizzate per la localizzazione dell'evento sismico, l'epicentro e i limiti dei Domini di rilevazione e della Concessione.

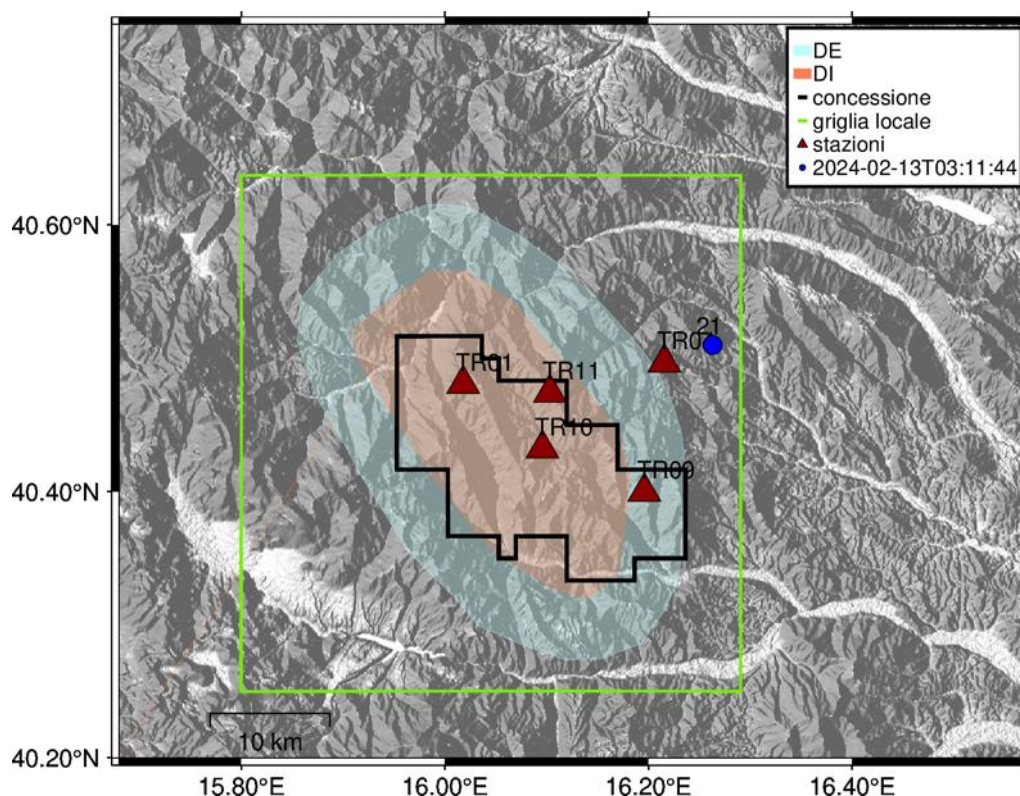


Figura 50 - stazioni utilizzate per la localizzazione, epicentro dell'evento del 13/02/2024 03:11:44 UTC localizzato a profondità 9.69 km

In Figura 51 sono mostrati i segnali acquisiti dalle stazioni usate per la localizzazione dell'evento 21: dall'alto verso il basso, componente Z, N, E

2024-02-13T03:11:44

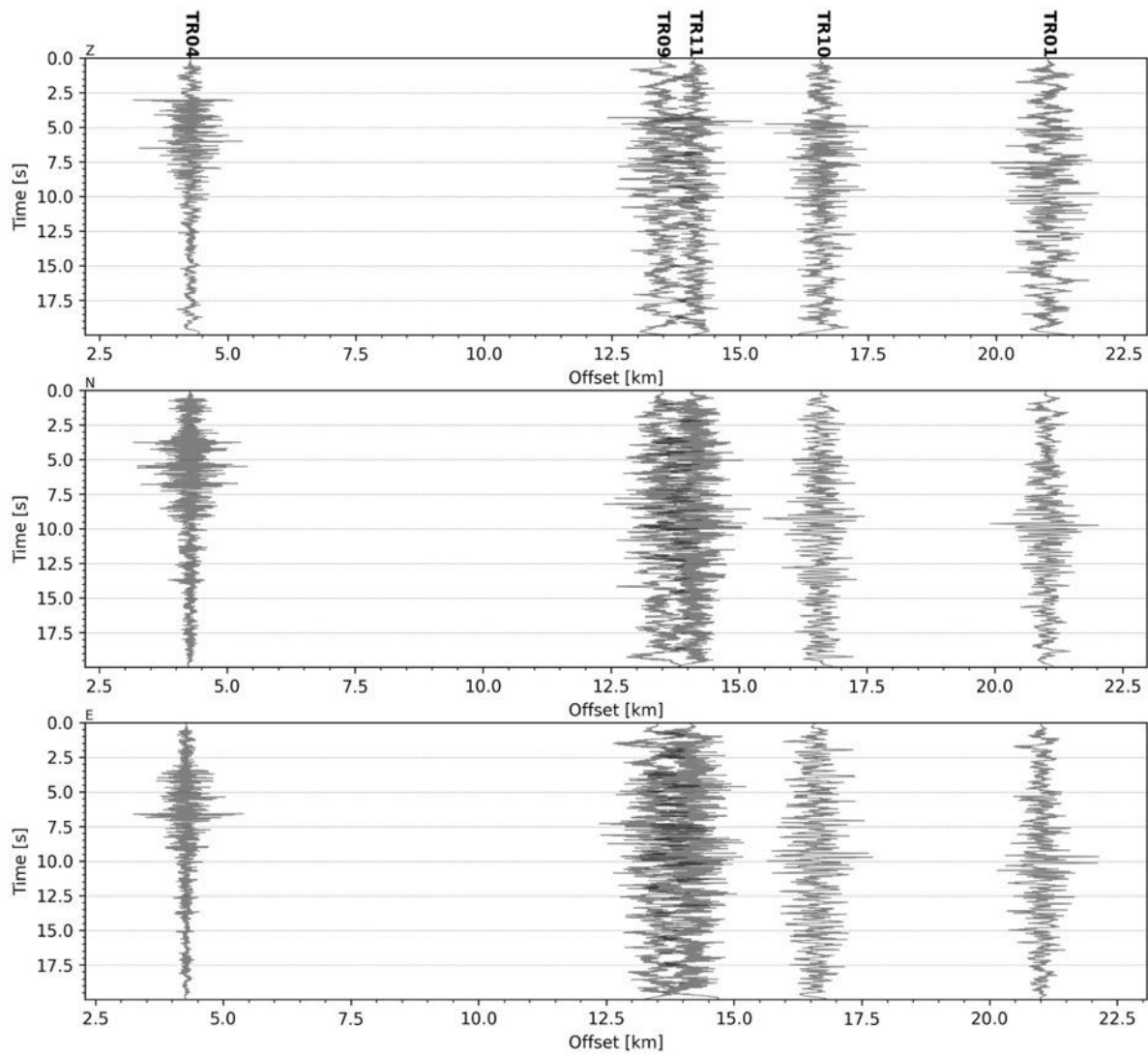


Figura 51 - forme d'onda (segnale raw filtrato) dell'evento 21, registrate dalle stazioni utilizzate per la localizzazione. Dall'alto, componenti Z, N, E.

Evento 22: 16/02/2024 07:40:34 UTC

Id	Tempo Origine [aa/mm/gg hh:mm:ss UTC]	Lat. [°]	Long. [°]	Profondità [km]	RMS [s]	M _i
22	2024-02-16 07:40:34	40.526	16.266	10.84	0.050	0.33±0.24

In Figura 52 sono mostrate le stazioni utilizzate per la localizzazione dell'evento sismico, l'epicentro e i limiti dei Domini di rilevazione e della Concessione.

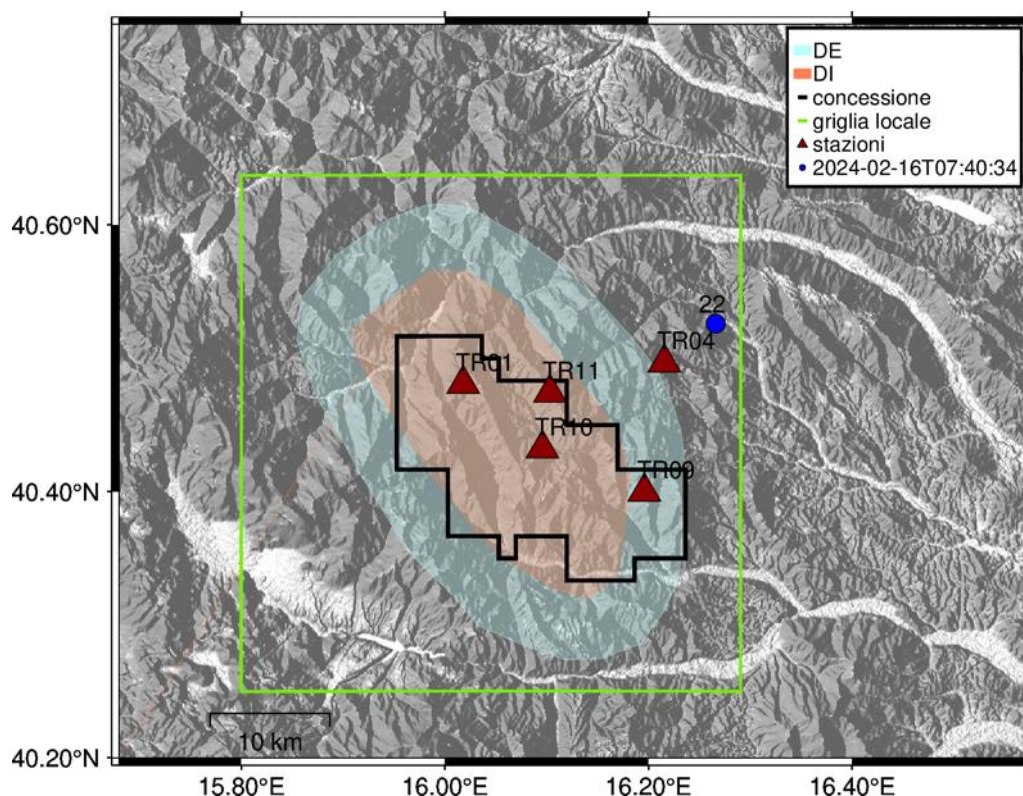


Figura 52 - stazioni utilizzate per la localizzazione, epicentro dell'evento 16/02/2024 07:40:34 UTC localizzato a profondità 10.84 km

In Figura 53 sono mostrati i segnali acquisiti dalle stazioni usate per la localizzazione dell'evento 22: dall'alto verso il basso, componente Z, N, E

2024-02-16T07:40:34

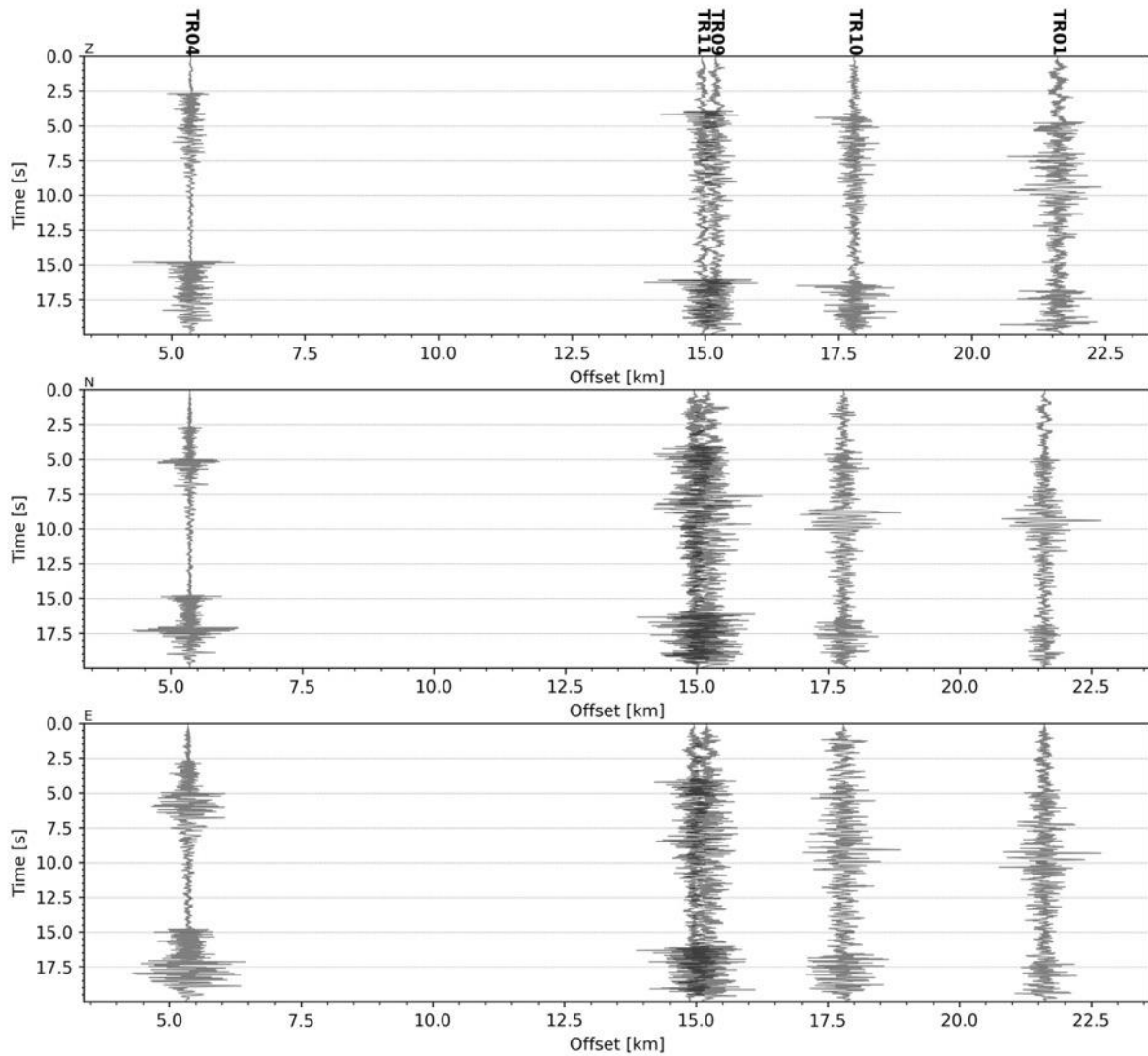


Figura 53 - forme d'onda (segnale raw filtrato) dell'evento 22, registrate dalle stazioni utilizzate per la localizzazione. Dall'alto, componenti Z, N, E.

Evento 23: 16/02/2024 07:40:46 UTC

Id	Tempo Origine [aa/mm/gg hh:mm:ss UTC]	Lat. [°]	Long. [°]	Profondità [km]	RMS [s]	M _i
23	2024-02-16 07:40:46	40.520	16.269	10.34	0.035	0.48±0.24

In Figura 54 sono mostrate le stazioni utilizzate per la localizzazione dell'evento sismico, l'epicentro e i limiti dei Domini di rilevazione e della Concessione.

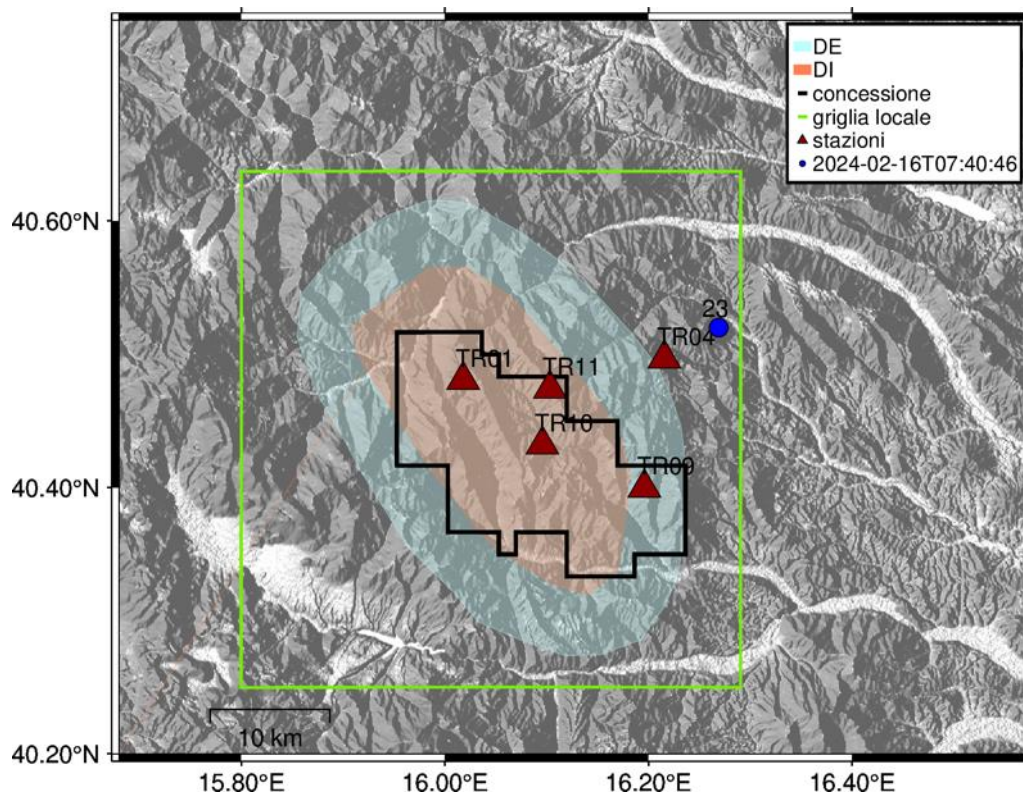


Figura 54 - stazioni utilizzate per la localizzazione, epicentro dell'evento del 16/02/2024 07:40:46 UTC localizzato a profondità 10.34 km

In Figura 55 sono mostrati i segnali acquisiti dalle stazioni usate per la localizzazione dell'evento 23: dall'alto verso il basso, componente Z, N, E

2024-02-16T07:40:46

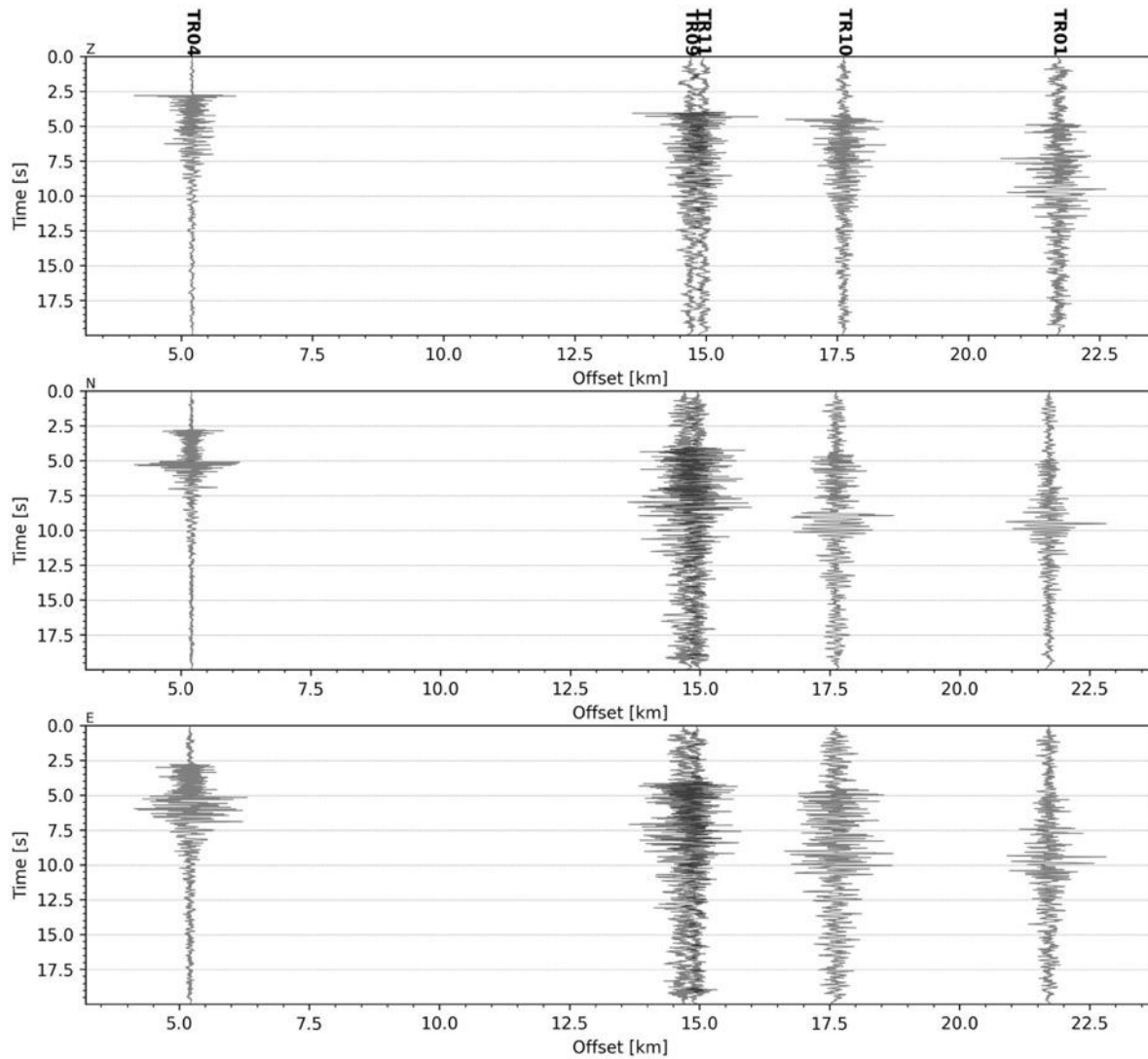


Figura 55 - forme d'onda (segnale raw filtrato) dell'evento 23, registrate dalle stazioni utilizzate per la localizzazione. Dall'alto, componenti Z, N, E.

Evento 24: 17/02/2024 20:17:02 UTC

Id	Tempo Origine [aa/mm/gg hh:mm:ss UTC]	Lat. [°]	Long. [°]	Profondità [km]	RMS [s]	M _i
24	2024-02-17 20:17:02	40.250	15.834	0.81	0.076	0.74±0.15

In Figura 56 sono mostrate le stazioni utilizzate per la localizzazione dell'evento sismico, l'epicentro e i limiti dei Domini di rilevazione e della Concessione.

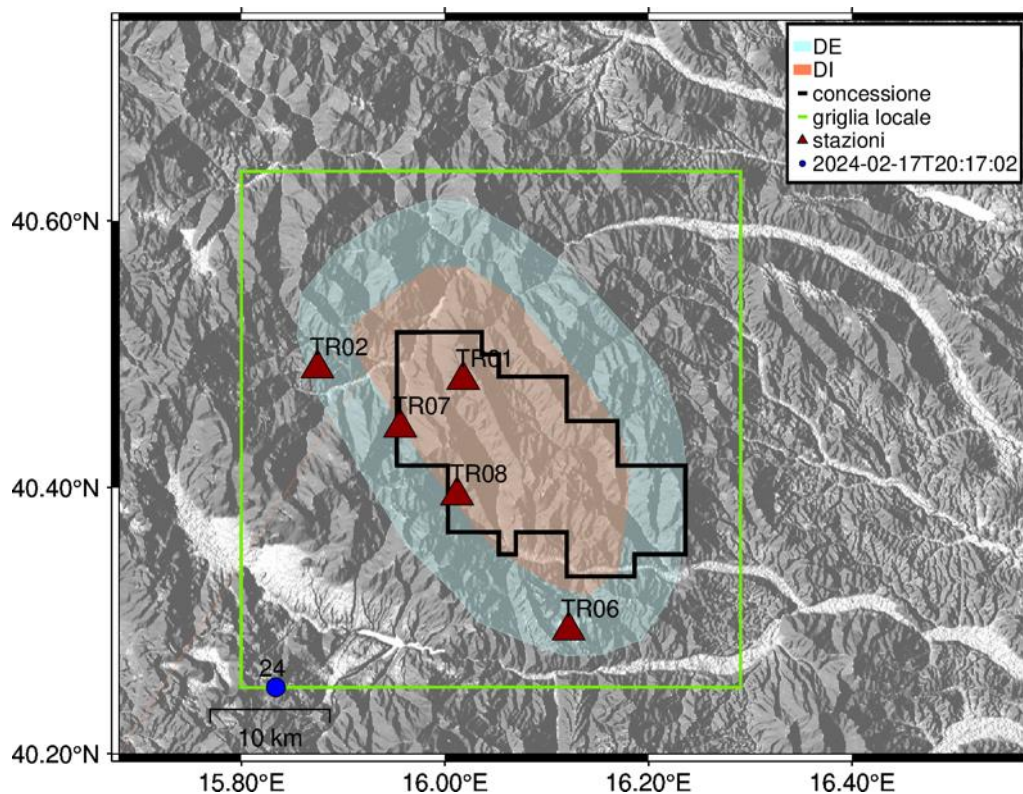


Figura 56 - stazioni utilizzate per la localizzazione, epicentro dell'evento del 17/02/2024 20:17:02 UTC localizzato a profondità 0.81 km

In Figura 57 sono mostrati i segnali acquisiti dalle stazioni usate per la localizzazione dell'evento 24: dall'alto verso il basso, componente Z, N, E

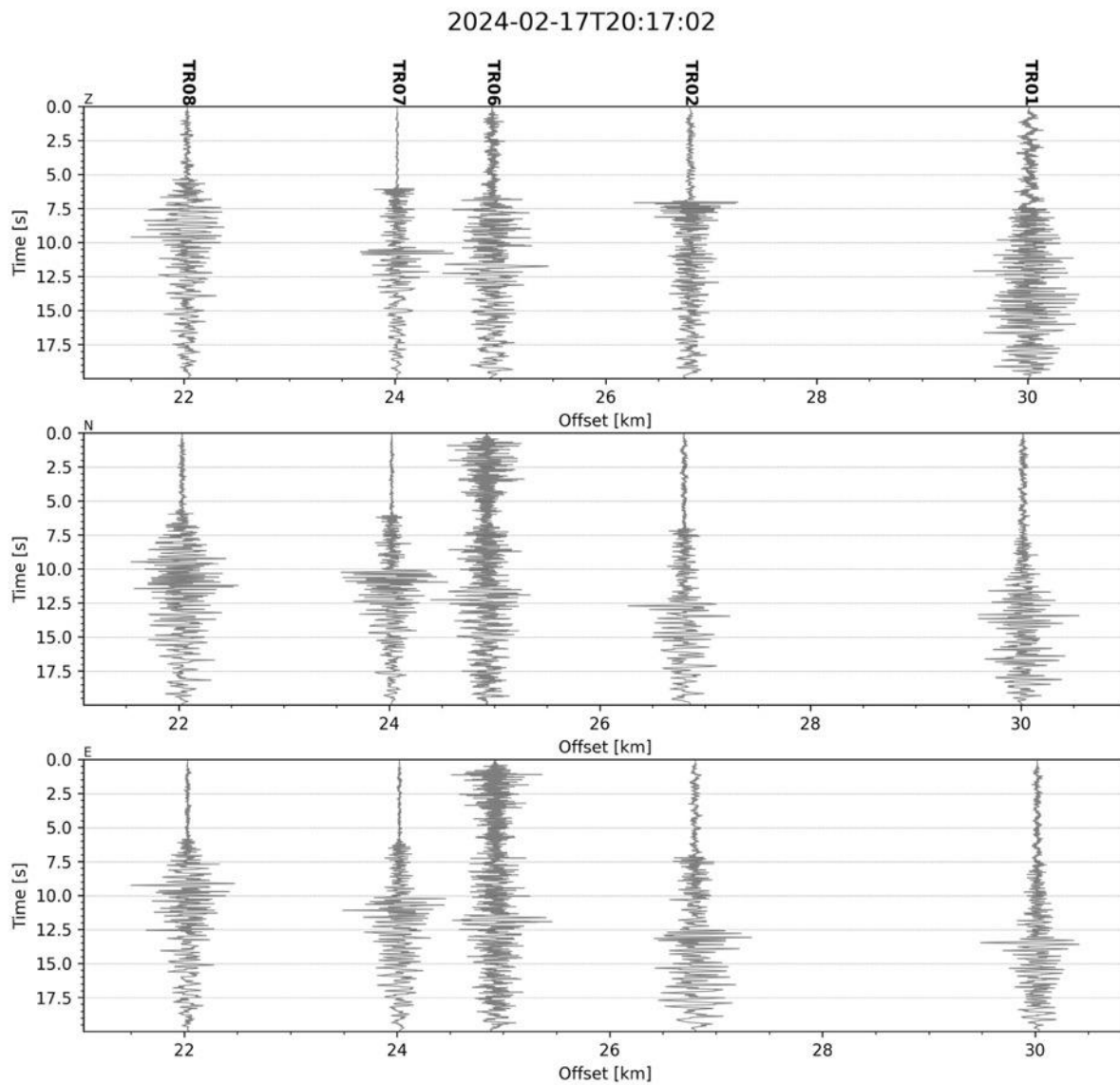


Figura 57 - forme d'onda (segnale raw filtrato) dell'evento 24, registrate dalle stazioni utilizzate per la localizzazione. Dall'alto, componenti Z, N, E.

Evento 25: 21/02/2024 16:50:15 UTC

Id	Tempo Origine [aa/mm/gg hh:mm:ss UTC]	Lat. [°]	Long. [°]	Profondità [km]	RMS [s]	M _i
25	2024-02-21 16:50:15	40.520	16.270	10.44	0.103	1.13±0.23

In Figura 58 sono mostrate le stazioni utilizzate per la localizzazione dell'evento sismico, l'epicentro e i limiti dei Domini di rilevazione e della Concessione.

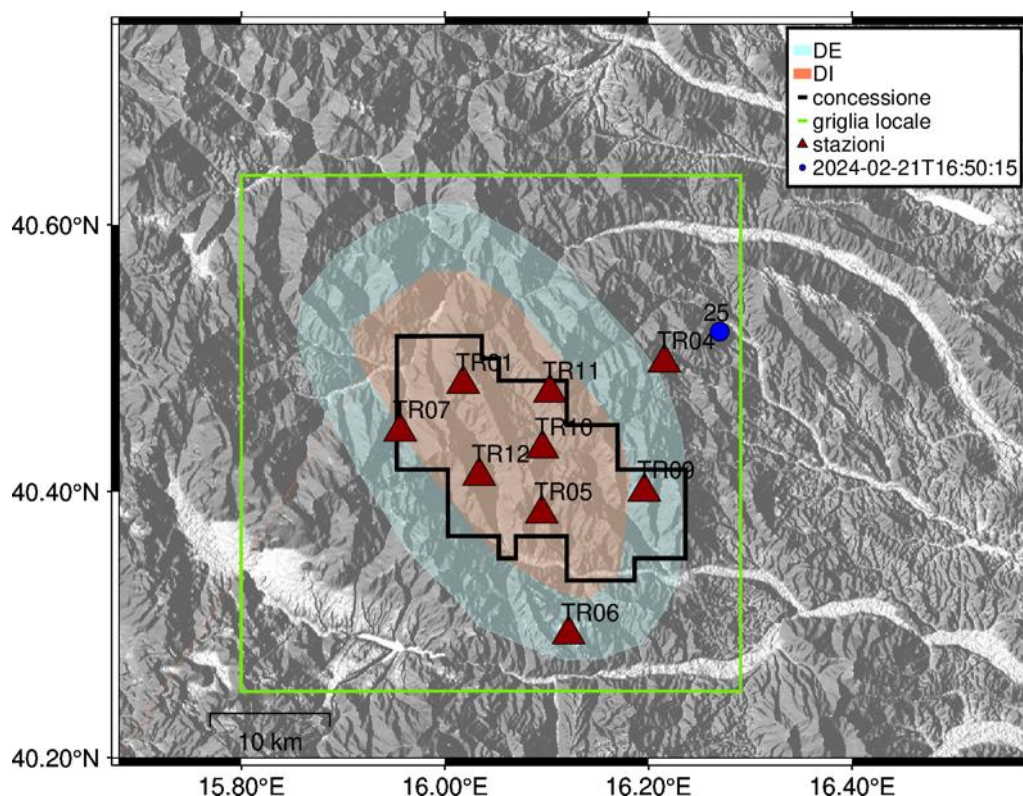


Figura 58 - stazioni utilizzate per la localizzazione, epicentro dell'evento del 21/02/2024 16:50:15 UTC localizzato a profondità 10.44 km

In Figura 59 sono mostrati i segnali acquisiti dalle stazioni usate per la localizzazione dell'evento 25: dall'alto verso il basso, componente Z, N, E

2024-02-21T16:50:15

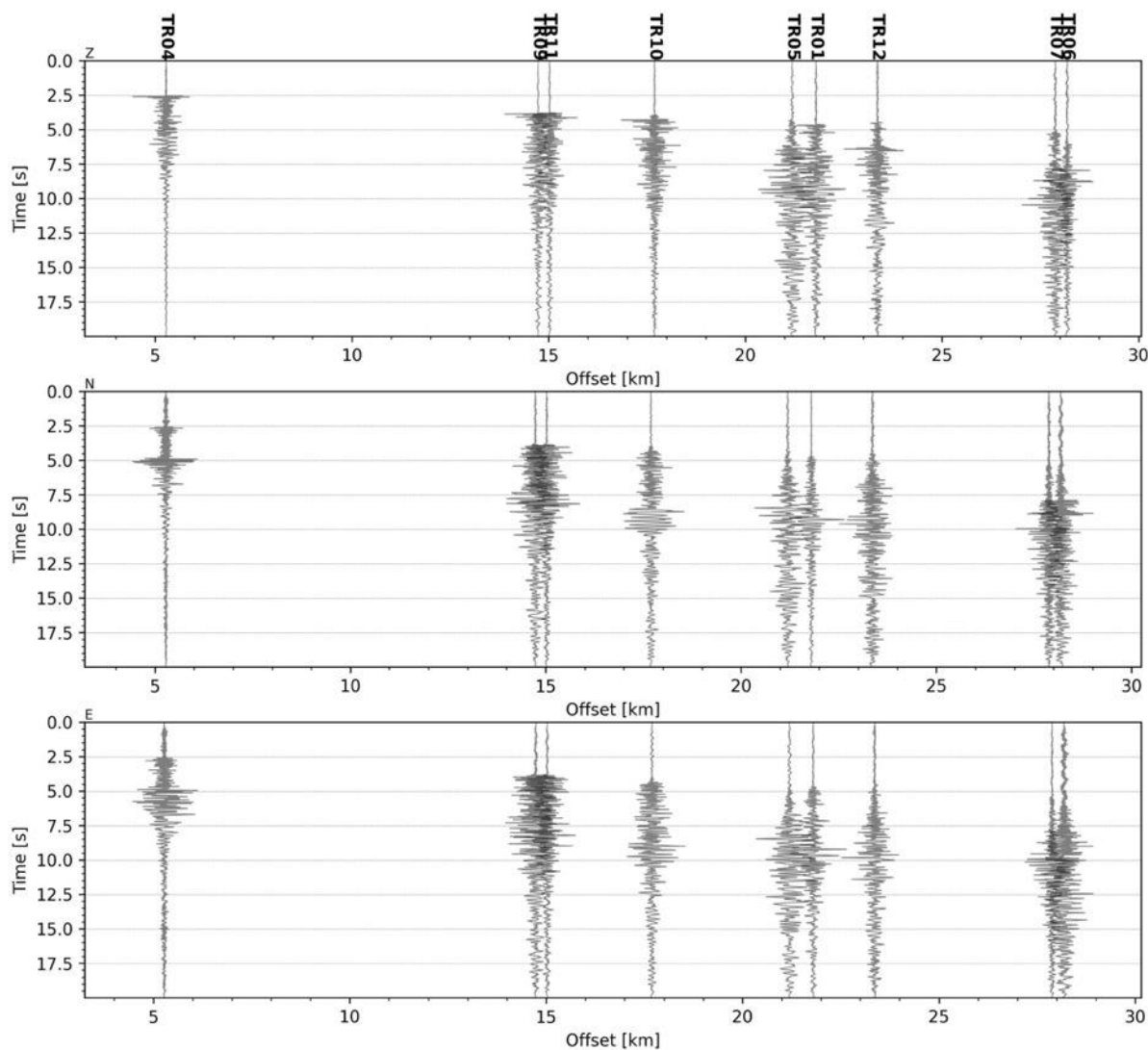


Figura 59 - forme d'onda (segnale raw filtrato) dell'evento 25, registrate dalle stazioni utilizzate per la localizzazione. Dall'alto, componenti Z, N, E.

Evento 26: 26/02/2024 00:36:19 UTC

Id	Tempo Origine [aa/mm/gg hh:mm:ss UTC]	Lat. [°]	Long. [°]	Profondità [km]	RMS [s]	M _i
26	2024-02-26 00:36:19	40.515	16.255	9.94	0.034	0.35±0.15

In Figura 60 sono mostrate le stazioni utilizzate per la localizzazione dell'evento sismico, l'epicentro e i limiti dei Domini di rilevazione e della Concessione.

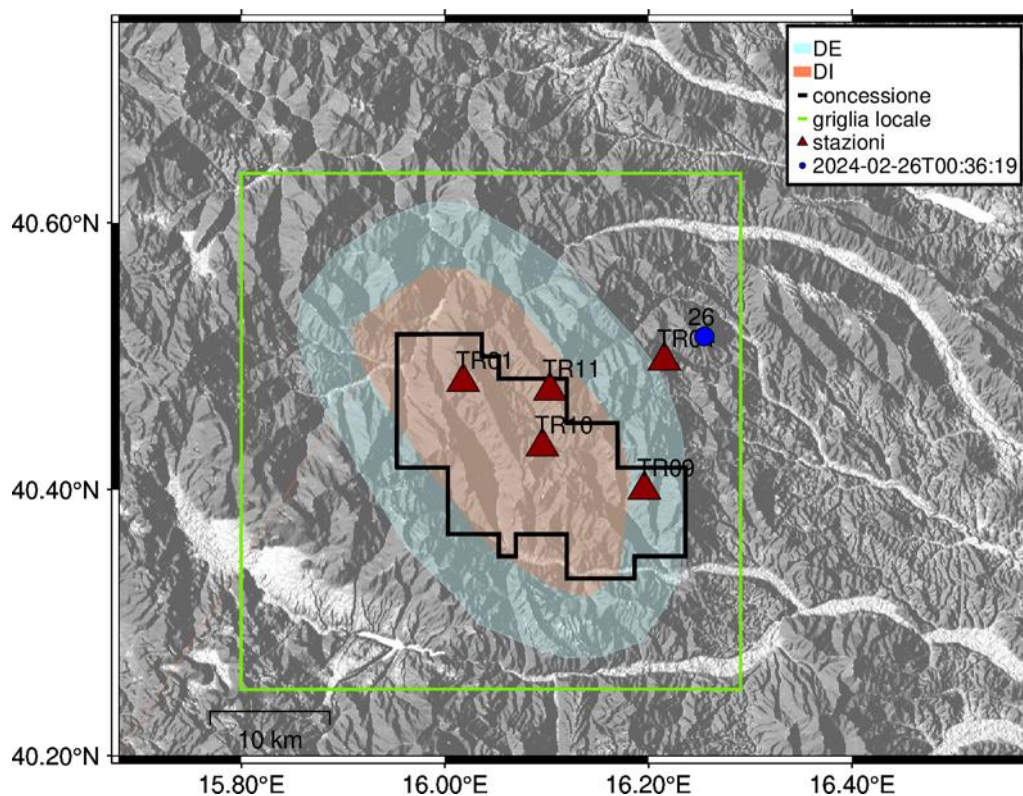


Figura 60 - stazioni utilizzate per la localizzazione, epicentro dell'evento 26/02/2024 00:36:19 UTC localizzato a profondità 9.94 km

In Figura 61 sono mostrati i segnali acquisiti dalle stazioni usate per la localizzazione dell'evento 26: dall'alto verso il basso, componente Z, N, E

2024-02-26T00:36:19

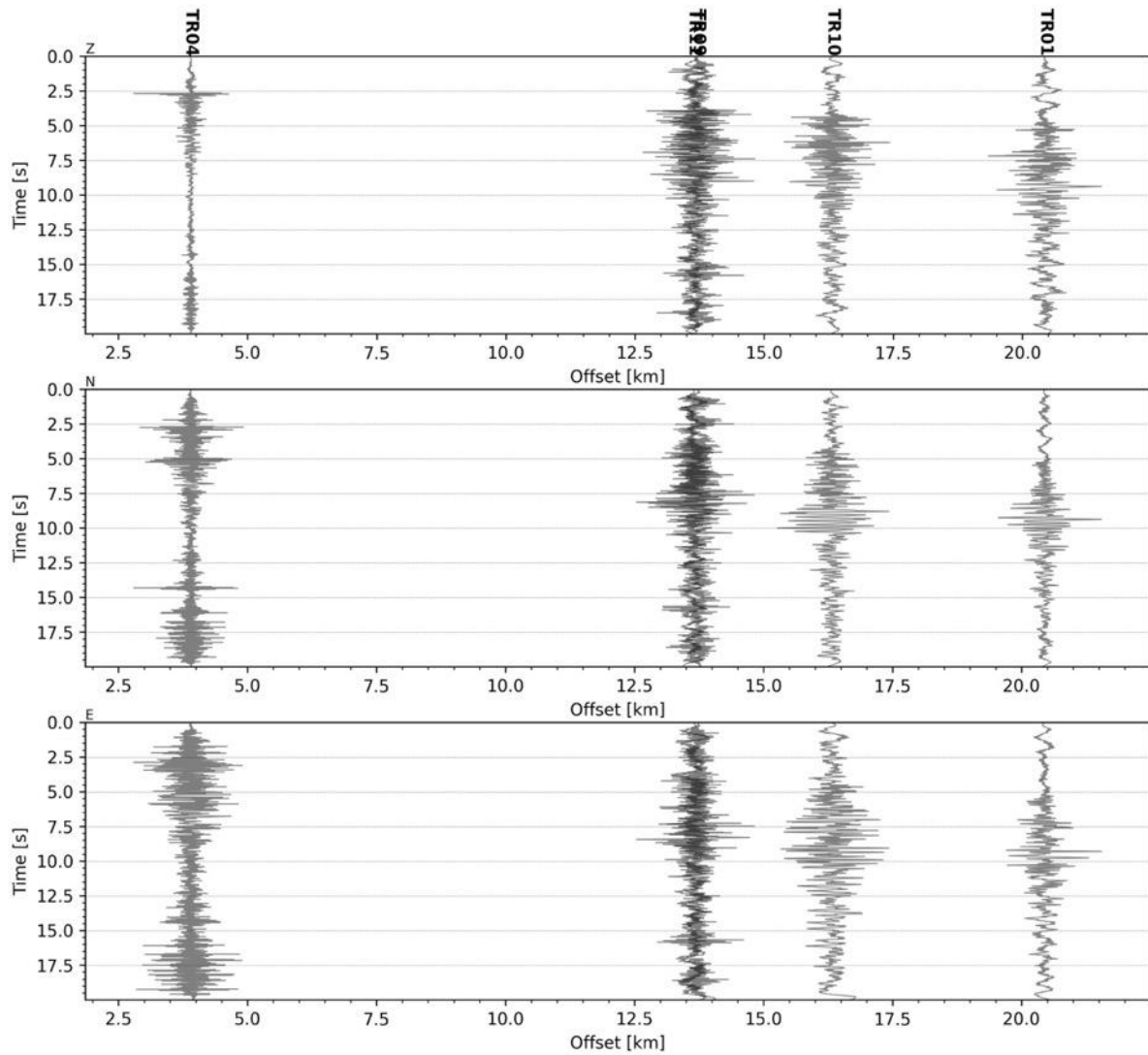


Figura 61 - forme d'onda (segnale raw filtrato) dell'evento 26, registrate dalle stazioni utilizzate per la localizzazione. Dall'alto, componenti Z, N, E.

Evento 27: 26/02/2024 01:26:40 UTC

Id	Tempo Origine [aa/mm/gg hh:mm:ss UTC]	Lat. [°]	Long. [°]	Profondità [km]	RMS [s]	M _i
27	2024-02-26 01:26:40	40.520	16.270	10.31	0.046	0.77±0.23

In Figura 62 sono mostrate le stazioni utilizzate per la localizzazione dell'evento sismico, l'epicentro e i limiti dei Domini di rilevazione e della Concessione.

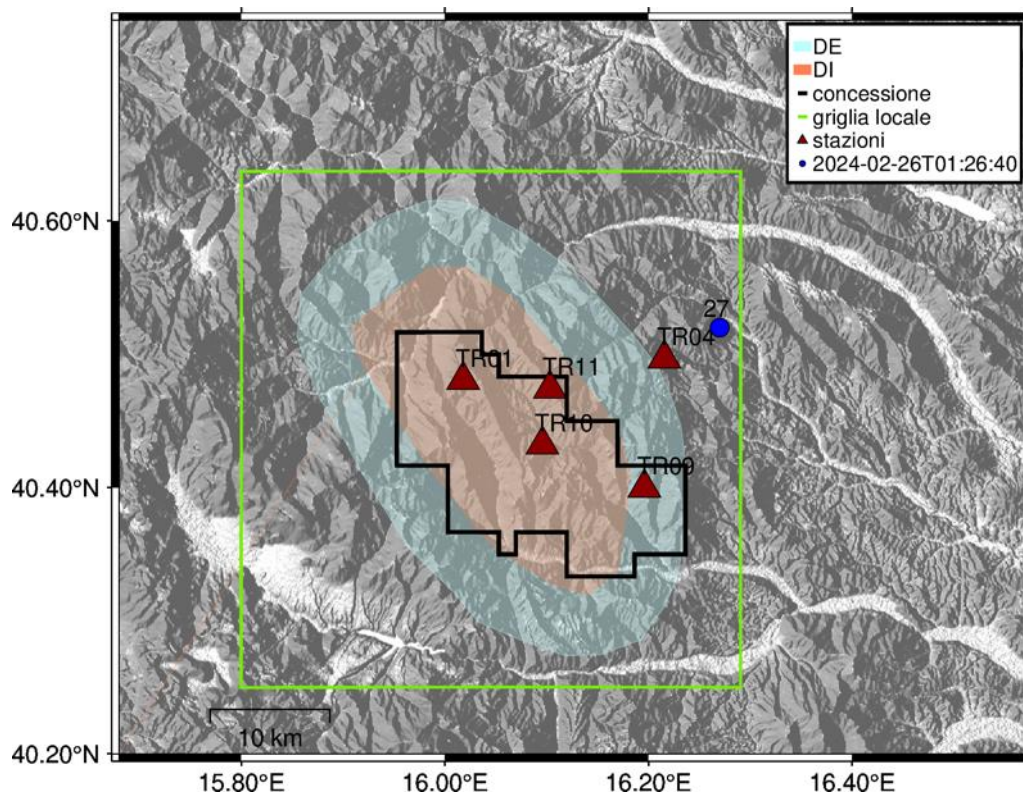


Figura 62 - stazioni utilizzate per la localizzazione, epicentro dell'evento del 26/02/2024 01:26:40 UTC localizzato a profondità 10.31 km

In Figura 63 sono mostrati i segnali acquisiti dalle stazioni usate per la localizzazione dell'evento 27: dall'alto verso il basso, componente Z, N, E

2024-02-26T01:26:40

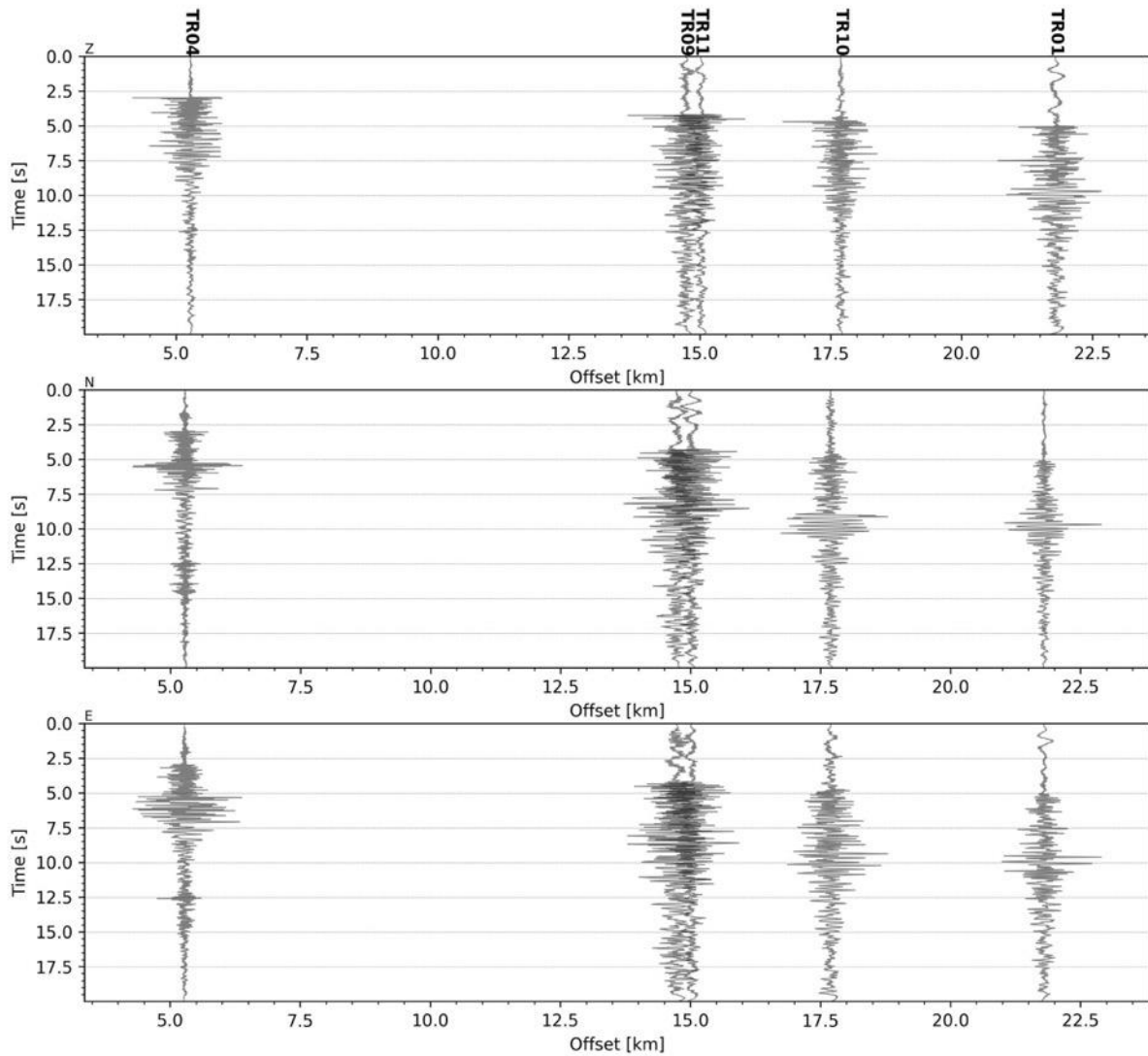


Figura 63 - forme d'onda (segnale raw filtrato) dell'evento 27, registrate dalle stazioni utilizzate per la localizzazione. Dall'alto, componenti Z, N, E.

Evento 28: 26/02/2024 05:33:51 UTC

Id	Tempo Origine [aa/mm/gg hh:mm:ss UTC]	Lat. [°]	Long. [°]	Profondità [km]	RMS [s]	M _i
28	2024-02-26 05:33:51	40.267	15.850	15.81	0.051	0.81±0.24

In Figura 64 sono mostrate le stazioni utilizzate per la localizzazione dell'evento sismico, l'epicentro e i limiti dei Domini di rilevazione e della Concessione.

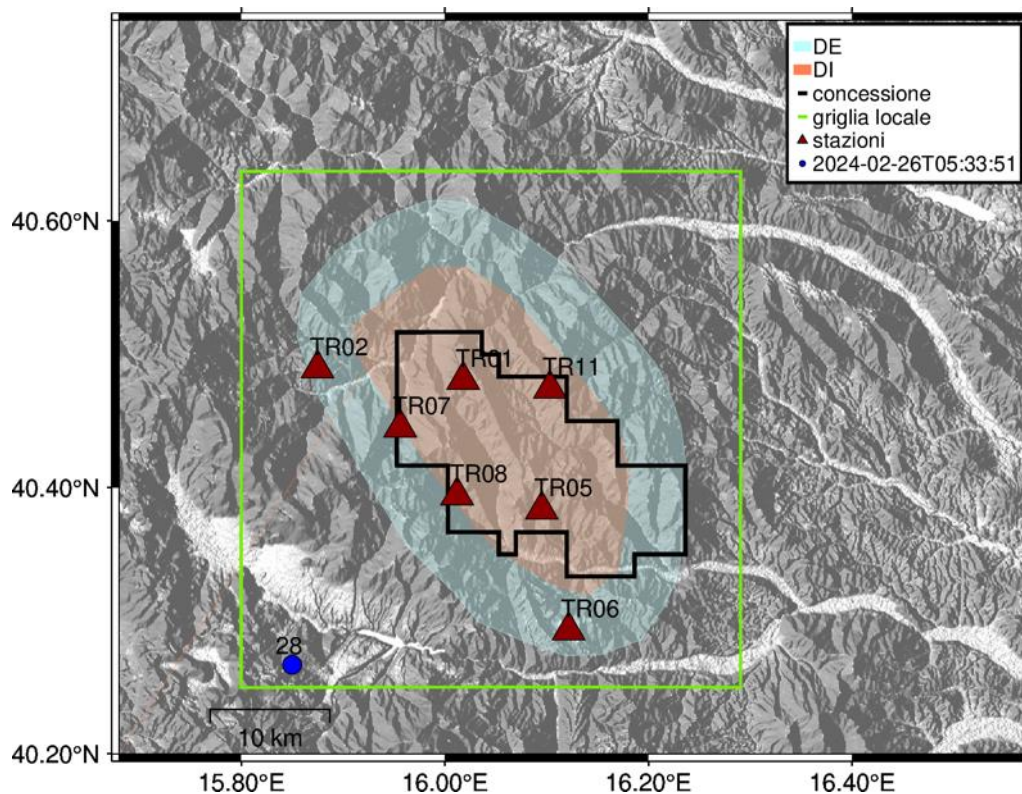


Figura 64 - stazioni utilizzate per la localizzazione, epicentro dell'evento 26/02/2024 05:33:51 UTC localizzato a profondità 15.81 km

In Figura 65 sono mostrati i segnali acquisiti dalle stazioni usate per la localizzazione dell'evento 28: dall'alto verso il basso, componente Z, N, E

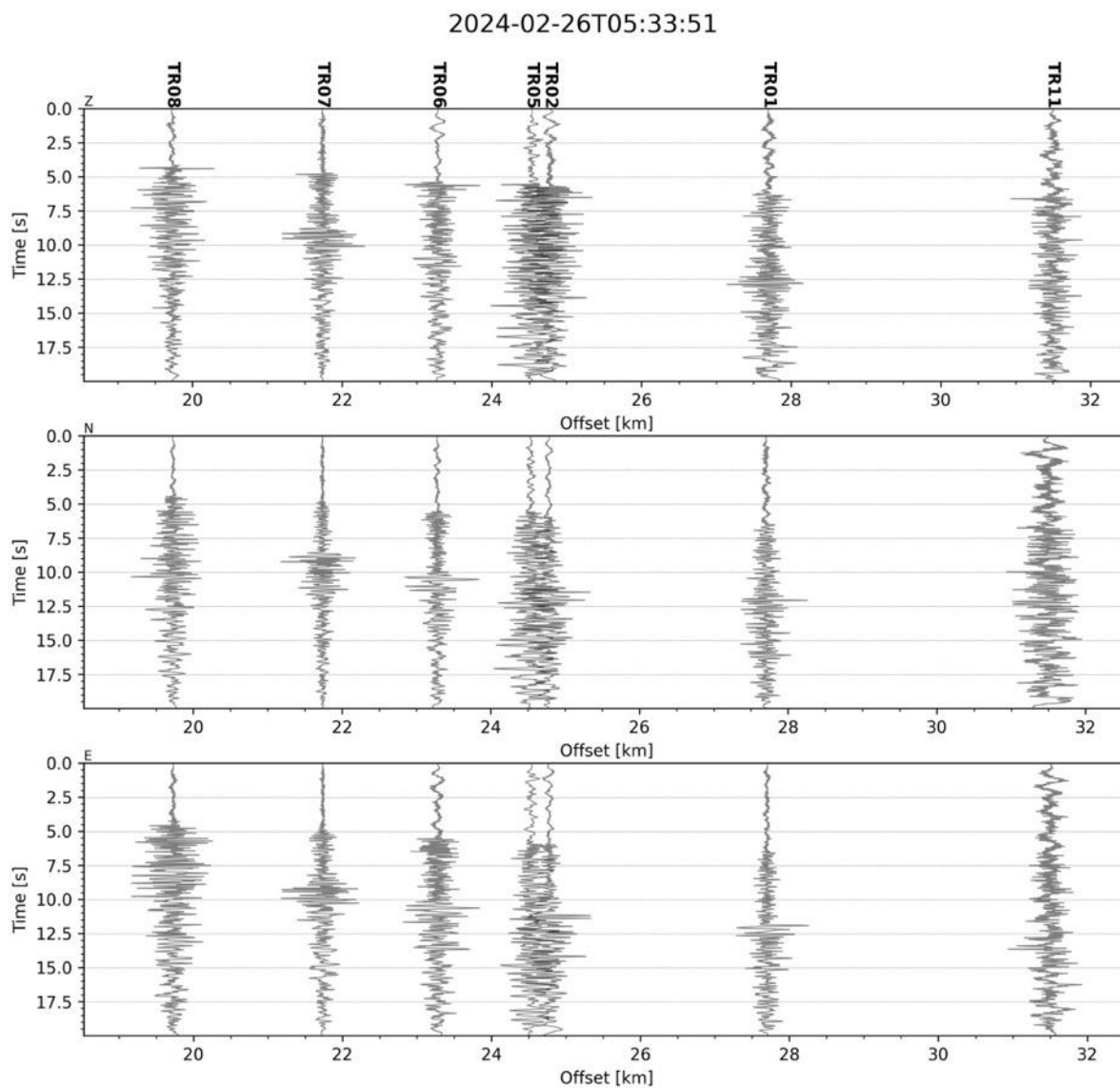


Figura 65 - forme d'onda (segnale raw filtrato) dell'evento 28, registrate dalle stazioni utilizzate per la localizzazione. Dall'alto, componenti Z, N, E.

Evento 29: 27/02/2024 22:04:46 UTC

Id	Tempo Origine [aa/mm/gg hh:mm:ss UTC]	Lat. [°]	Long. [°]	Profondità [km]	RMS [s]	M _i
29	2024-02-27 22:04:46	40.525	16.266	10.69	0.056	0.96±0.24

In Figura 66 sono mostrate le stazioni utilizzate per la localizzazione dell'evento sismico, l'epicentro e i limiti dei Domini di rilevazione e della Concessione.

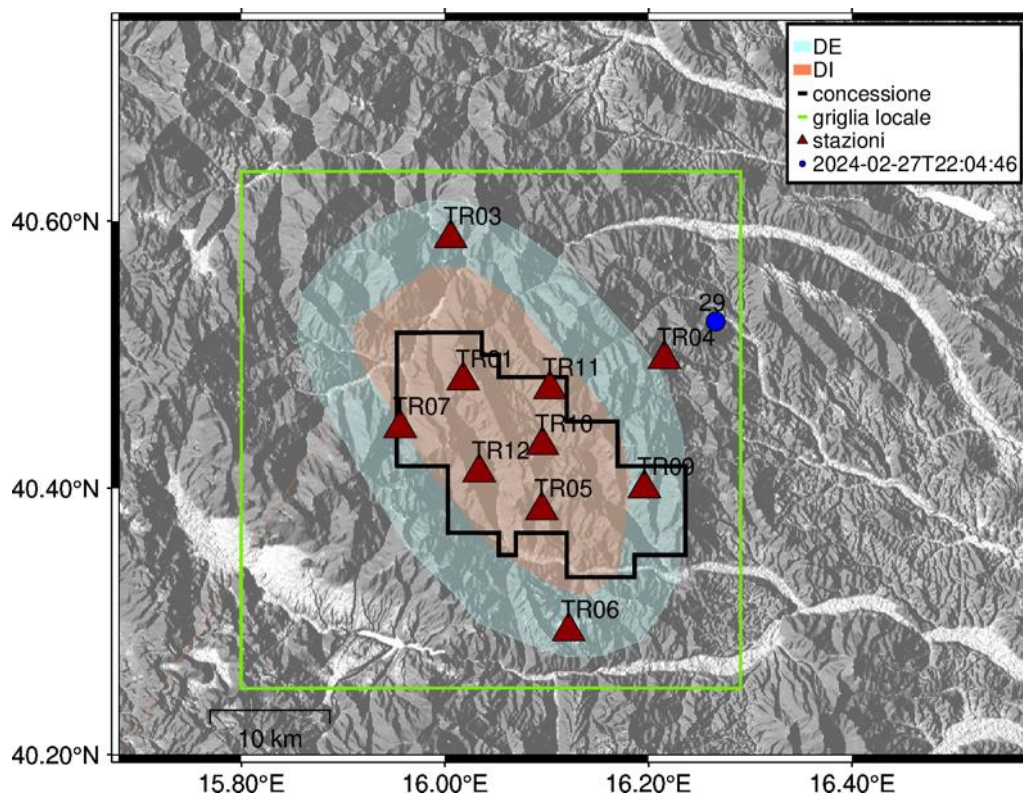


Figura 66 - stazioni utilizzate per la localizzazione, epicentro dell'evento del 27/02/2024 22:04:46 UTC localizzato a profondità 10.69 km

In Figura 67 sono mostrati i segnali acquisiti dalle stazioni usate per la localizzazione dell'evento 29: dall'alto verso il basso, componente Z, N, E

2024-02-27T22:04:46

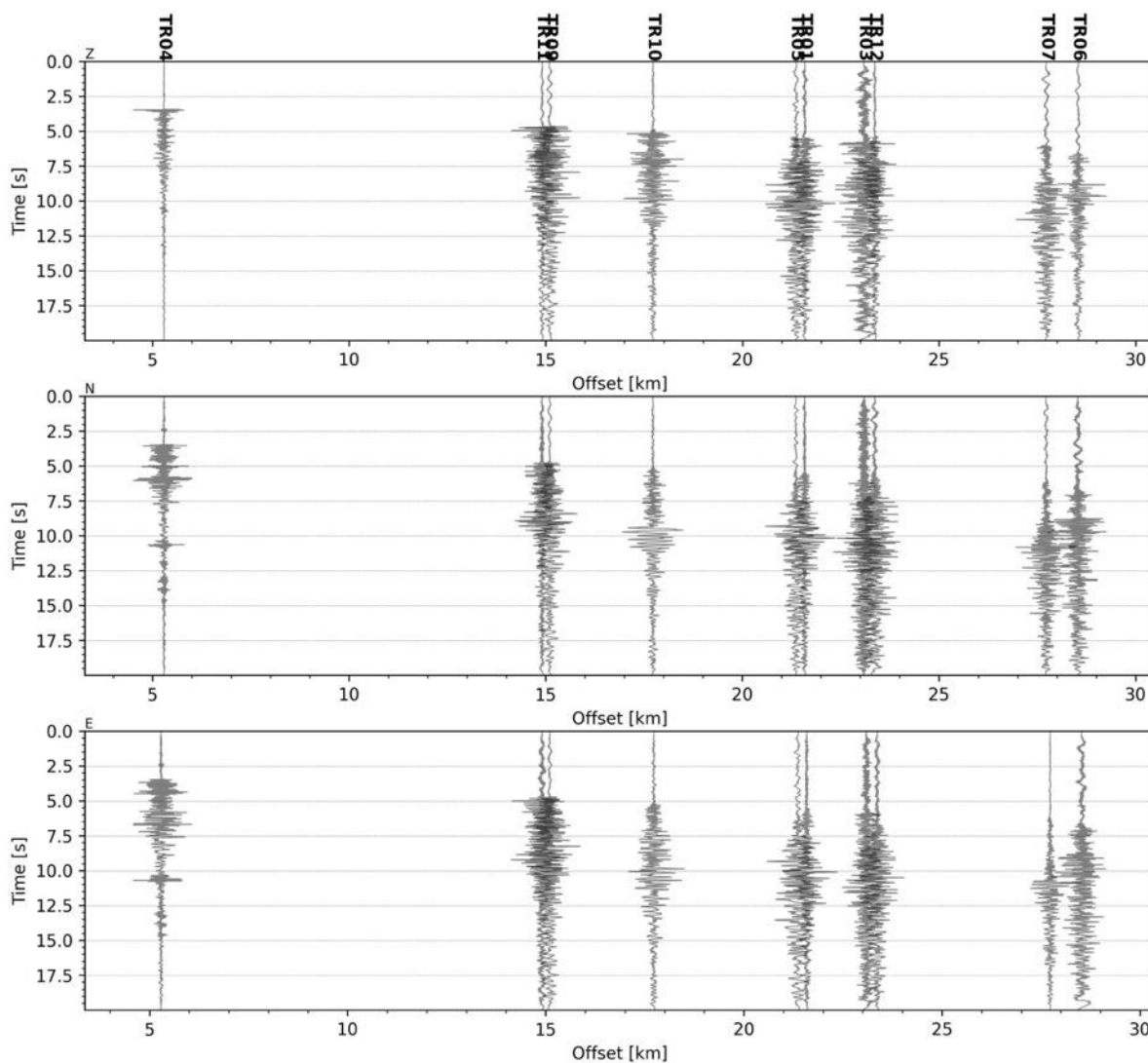


Figura 67 - forme d'onda (segnale raw filtrato) dell'evento 29, registrate dalle stazioni utilizzate per la localizzazione. Dall'alto, componenti Z, N, E.

Evento 30: 01/03/2024 00:43:05 UTC

Id	Tempo Origine [aa/mm/gg hh:mm:ss UTC]	Lat. [°]	Long. [°]	Profondità [km]	RMS [s]	M _i
30	2024-03-01 00:43:05	40.547	15.926	42.97	0.290	0.7±0.30

In Figura 68 sono mostrate le stazioni utilizzate per la localizzazione dell'evento sismico, l'epicentro e i limiti dei Domini di rilevazione e della Concessione.

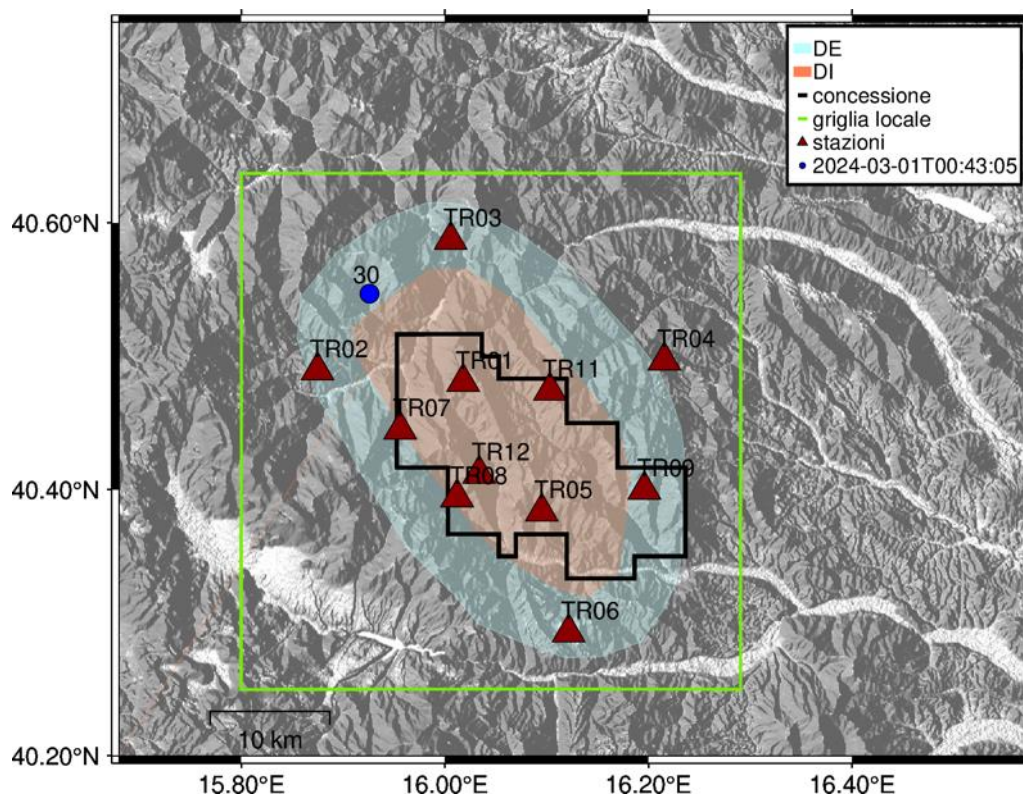


Figura 68 - stazioni utilizzate per la localizzazione, epicentro dell'evento 01/03/2024 00:43:05 UTC localizzato a profondità 42.97 km

In Figura 69 sono mostrati i segnali acquisiti dalle stazioni usate per la localizzazione dell'evento 30: dall'alto verso il basso, componente Z, N, E

2024-03-01T00:43:05

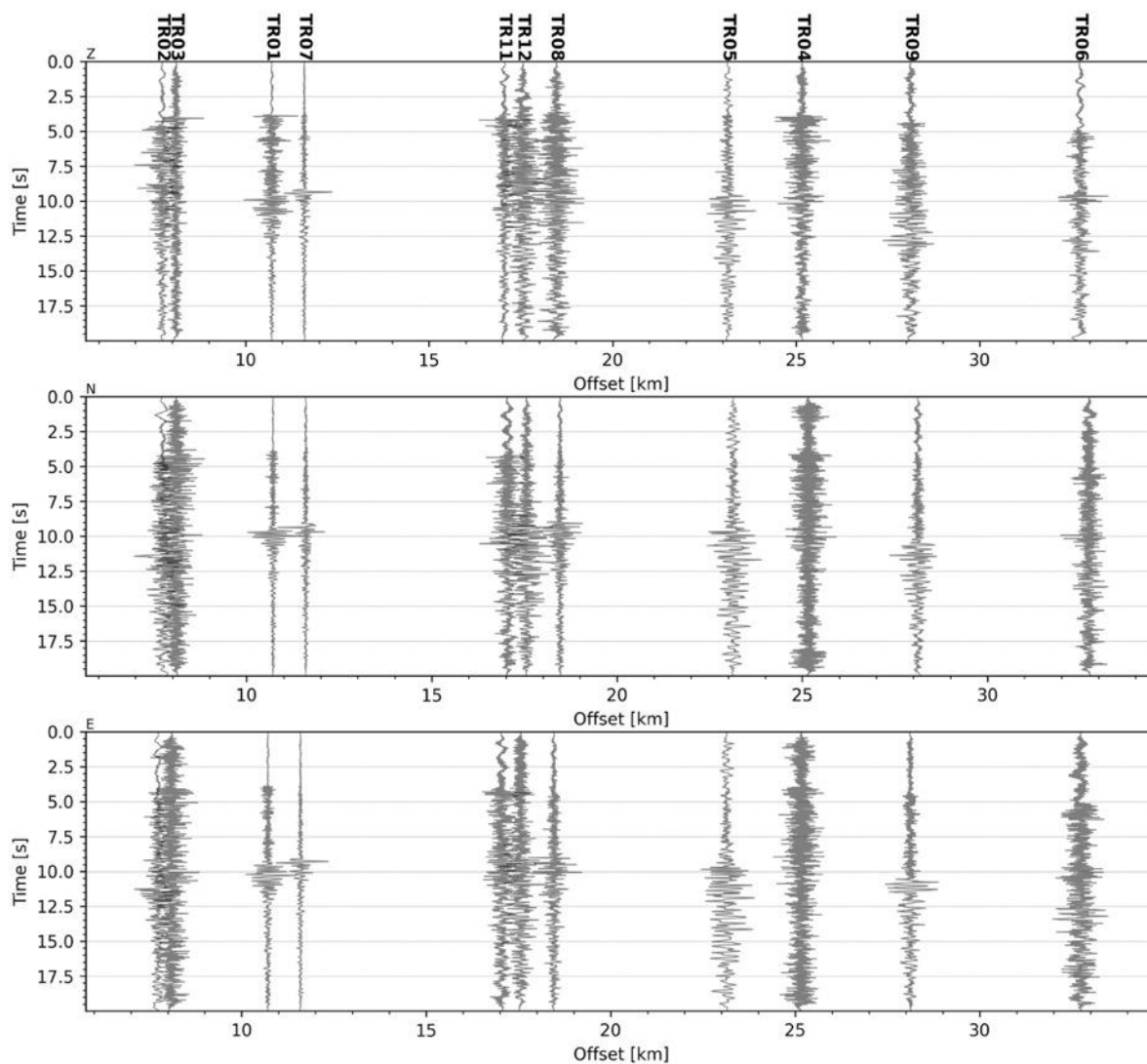


Figura 69 - forme d'onda (segnale raw filtrato) dell'evento 30, registrate dalle stazioni utilizzate per la localizzazione. Dall'alto, componenti Z, N, E.

Evento 31: 06/03/2024 06:09:50 UTC

Id	Tempo Origine [aa/mm/gg hh:mm:ss UTC]	Lat. [°]	Long. [°]	Profondità [km]	RMS [s]	M _i
31	2024-03-06 06:09:50	40.245	15.832	0.94	0.072	0.92±0.20

In Figura 70 sono mostrate le stazioni utilizzate per la localizzazione dell'evento sismico, l'epicentro e i limiti dei Domini di rilevazione e della Concessione.

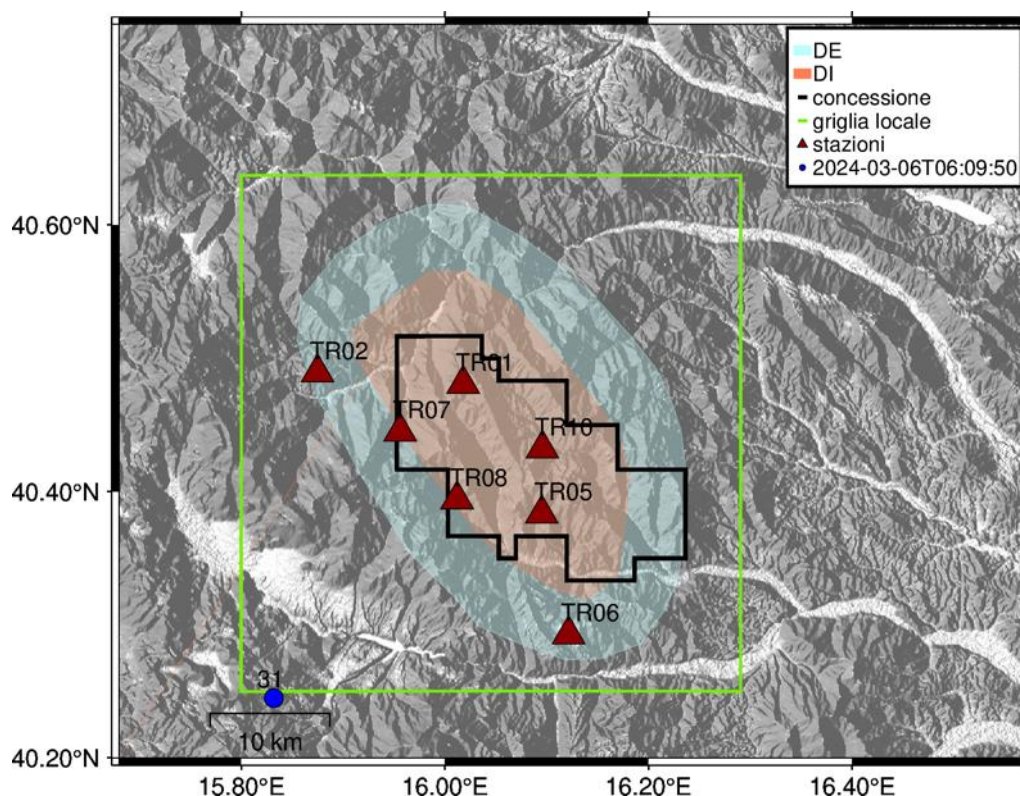


Figura 70 - stazioni utilizzate per la localizzazione, epicentro dell'evento del 06/03/2024 06:09:50 UTC localizzato a profondità 0.94 km

In Figura 71 sono mostrati i segnali acquisiti dalle stazioni usate per la localizzazione dell'evento 31: dall'alto verso il basso, componente Z, N, E

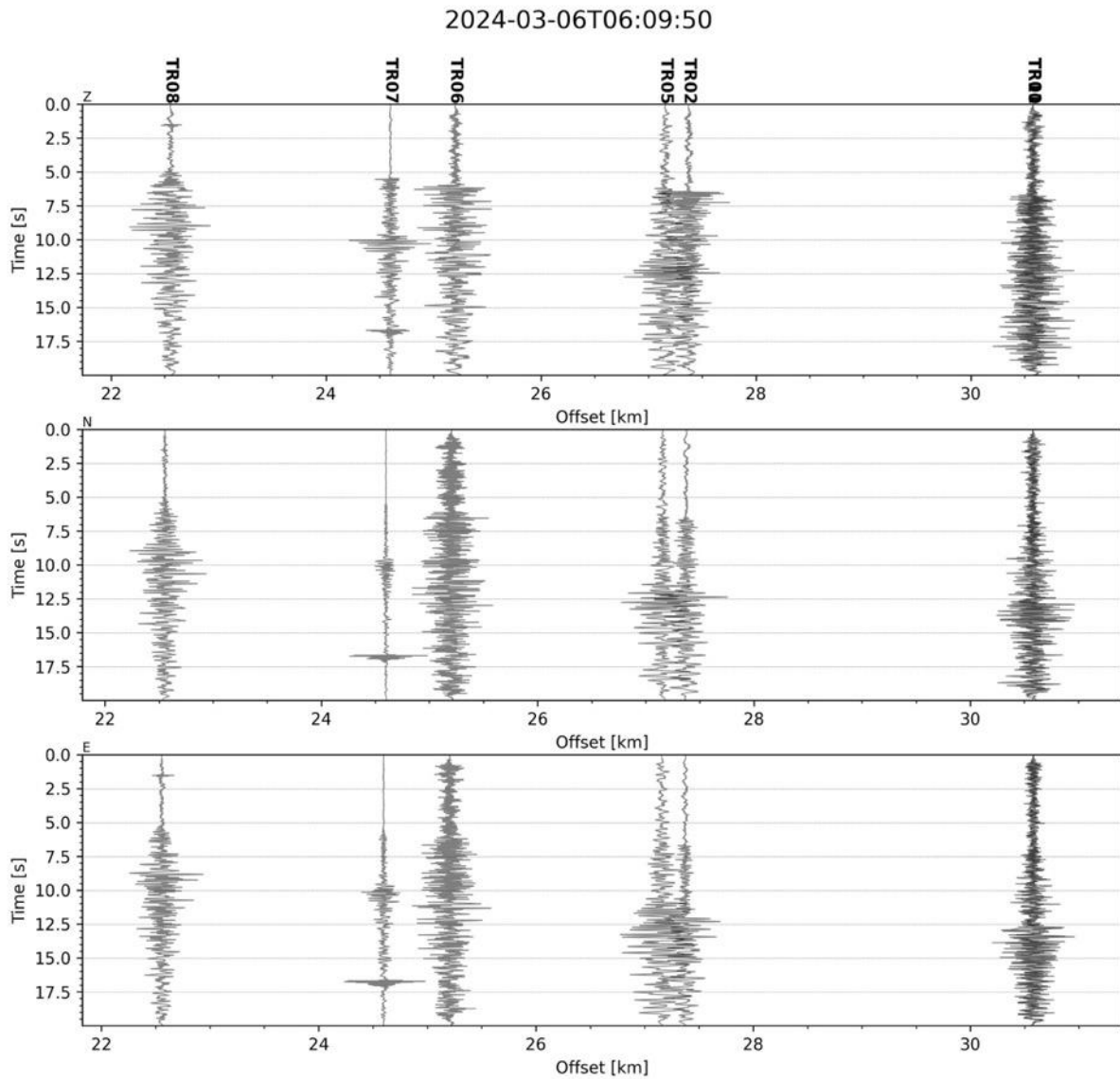


Figura 71 - forme d'onda (segnale raw filtrato) dell'evento 31, registrate dalle stazioni utilizzate per la localizzazione. Dall'alto, componenti Z, N, E.

Evento 32: 08/03/2024 02:08:04 UTC

Id	Tempo Origine [aa/mm/gg hh:mm:ss UTC]	Lat. [°]	Long. [°]	Profondità [km]	RMS [s]	M _i
32	2024-03-08 02:08:04	40.529	16.280	10.56	0.078	0.85±0.12

In Figura 72 sono mostrate le stazioni utilizzate per la localizzazione dell'evento sismico, l'epicentro e i limiti dei Domini di rilevazione e della Concessione.

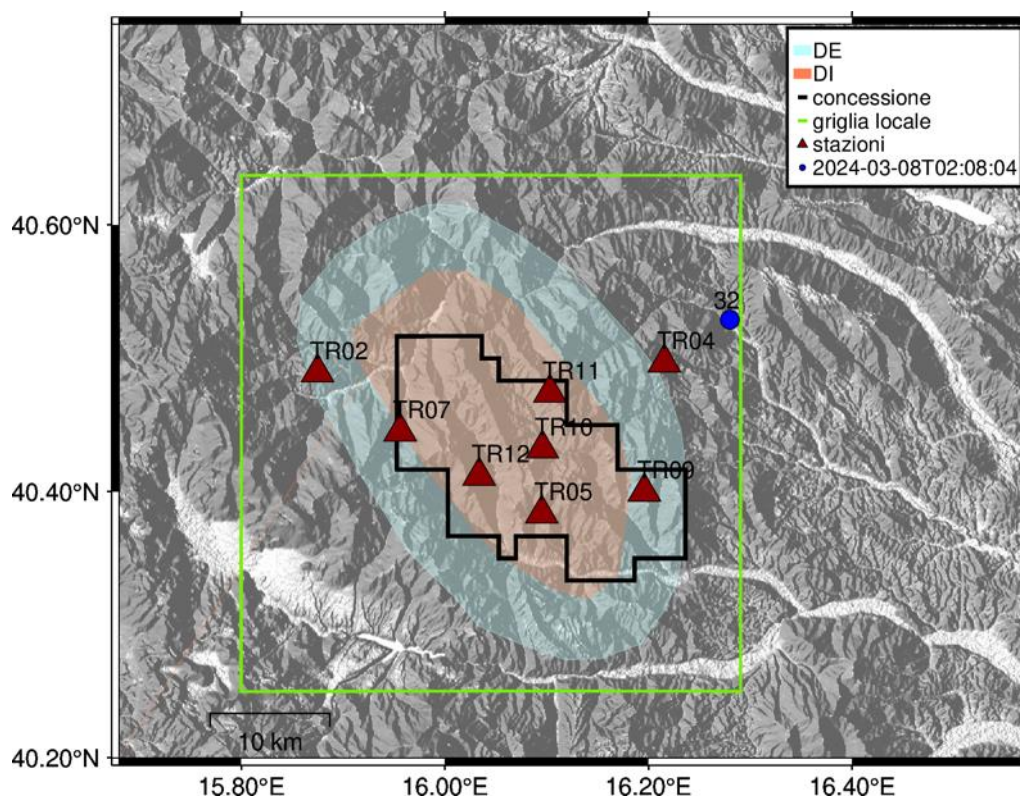


Figura 72 - stazioni utilizzate per la localizzazione, epicentro dell'evento del: 08/03/2024 02:08:04 UTC localizzato a profondità 10.56 km

In Figura 73 sono mostrati i segnali acquisiti dalle stazioni usate per la localizzazione dell'evento 32: dall'alto verso il basso, componente Z, N, E

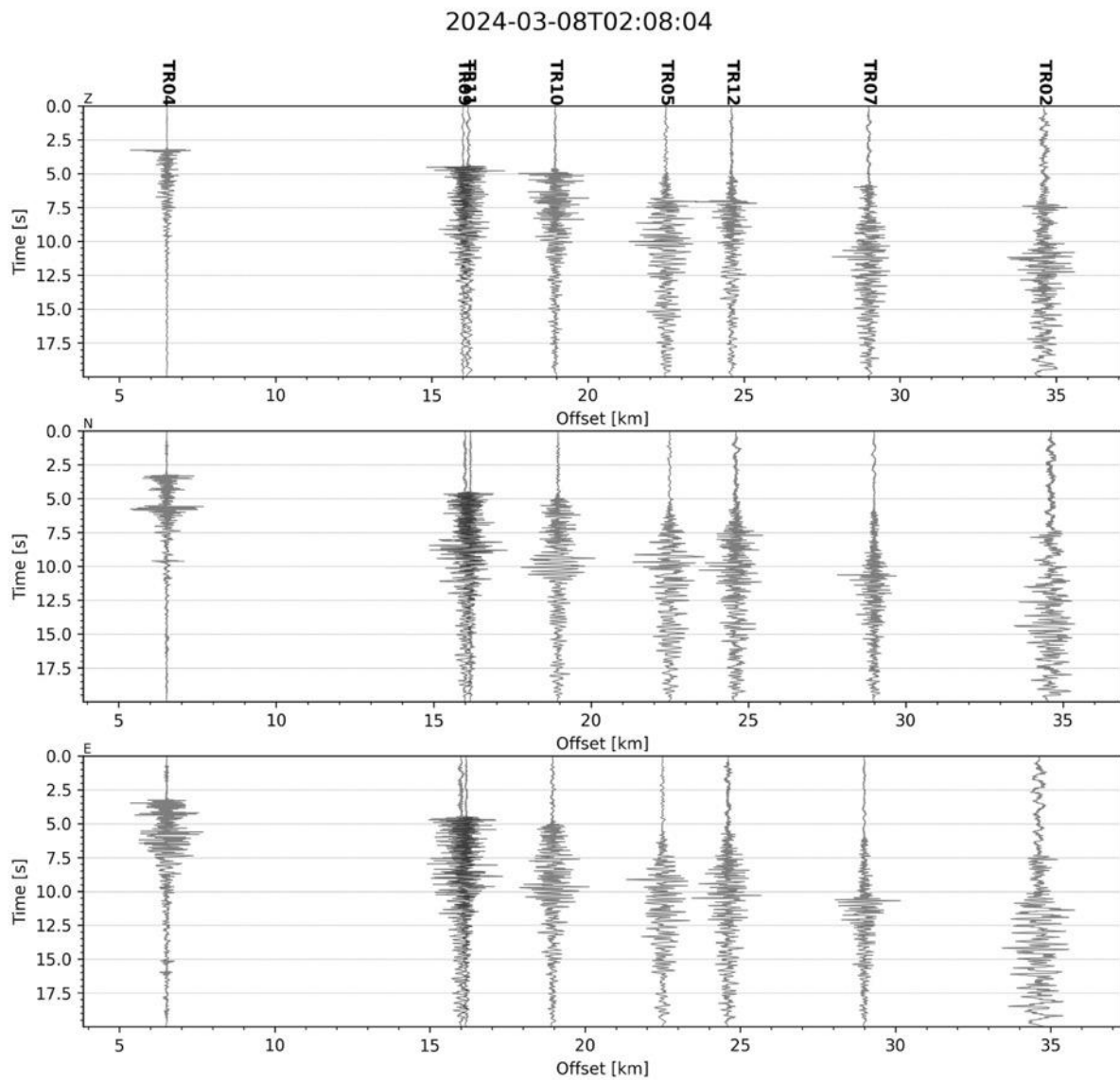


Figura 73 - forme d'onda (segnale raw filtrato) dell'evento 32, registrate dalle stazioni utilizzate per la localizzazione. Dall'alto, componenti Z, N, E.

Evento 33: 08/03/2024 02:08:28 UTC

Id	Tempo Origine [aa/mm/gg hh:mm:ss UTC]	Lat. [°]	Long. [°]	Profondità [km]	RMS [s]	M _i
33	2024-03-08 02:08:28	40.542	16.297	13.94	0.061	1.15±0.17

In Figura 74 sono mostrate le stazioni utilizzate per la localizzazione dell'evento sismico, l'epicentro e i limiti dei Domini di rilevazione e della Concessione.

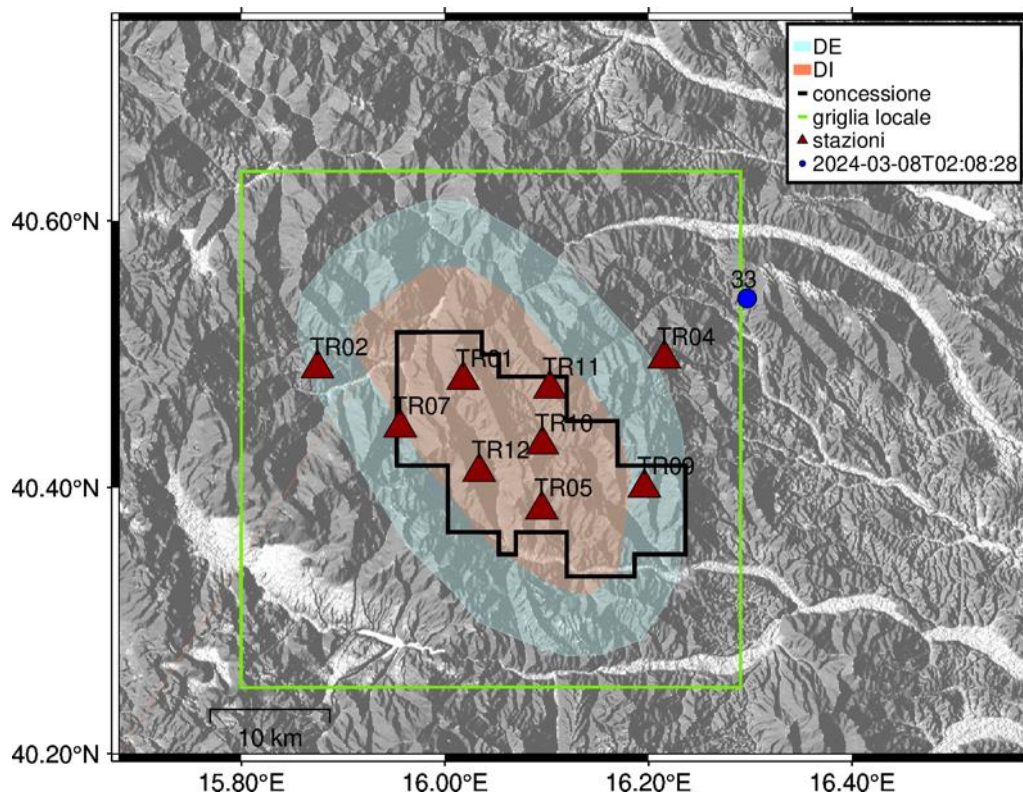


Figura 74 - stazioni utilizzate per la localizzazione, epicentro dell'evento del 08/03/2024 02:08:28 UTC localizzato a profondità 13.94 km

In Figura 75 sono mostrati i segnali acquisiti dalle stazioni usate per la localizzazione dell'evento 33: dall'alto verso il basso, componente Z, N, E

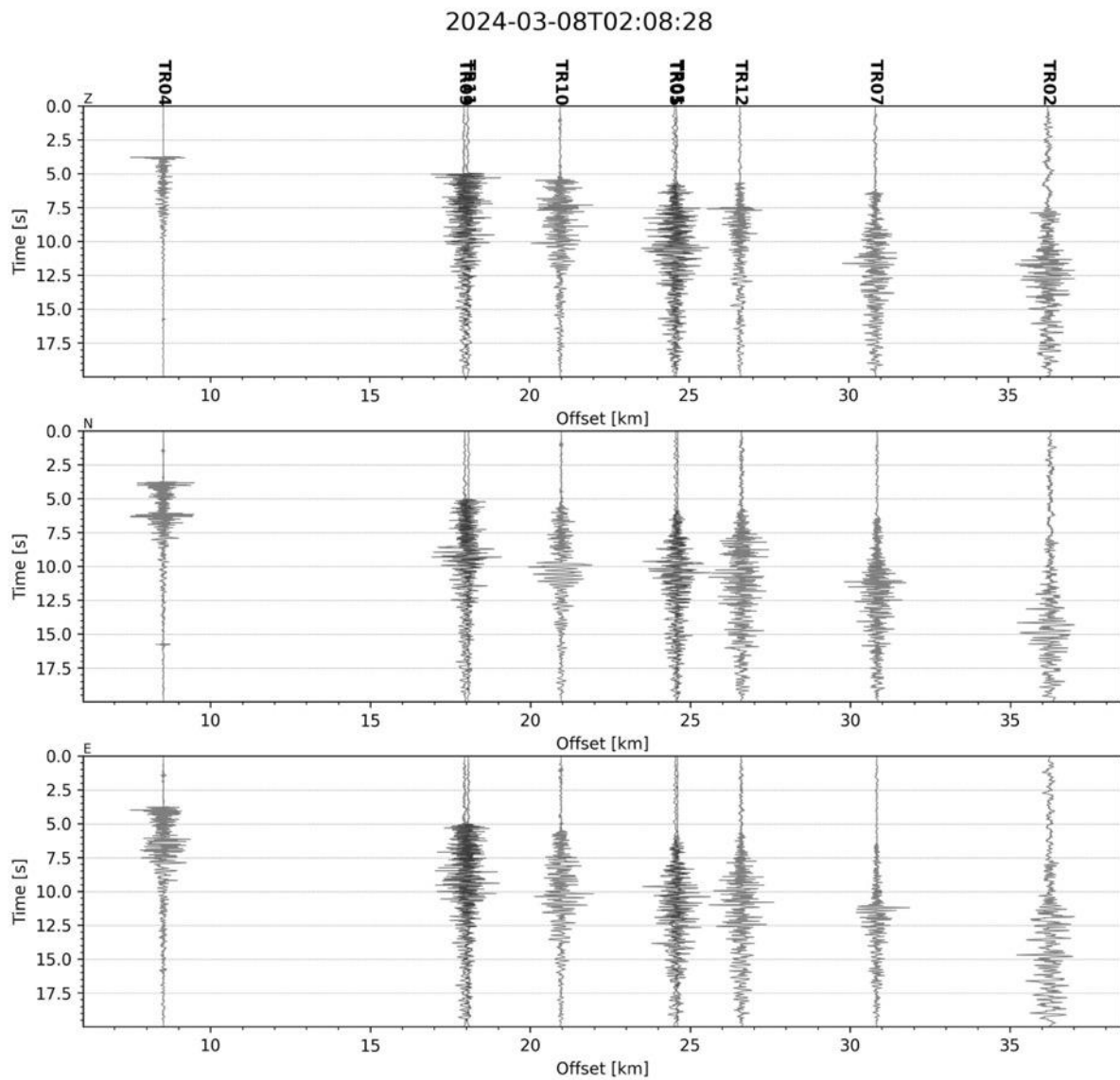


Figura 75 - forme d'onda (segnale raw filtrato) dell'evento 33, registrate dalle stazioni utilizzate per la localizzazione. Dall'alto, componenti Z, N, E.

Evento 34: 08/03/2024 19:34:29 UTC

Id	Tempo Origine [aa/mm/gg hh:mm:ss UTC]	Lat. [°]	Long. [°]	Profondità [km]	RMS [s]	M _i
34	2024-03-08 19:34:29	40.400	16.079	5.97	0.055	0.16±0.23

In Figura 76 sono mostrate le stazioni utilizzate per la localizzazione dell'evento sismico, l'epicentro e i limiti dei Domini di rilevazione e della Concessione.

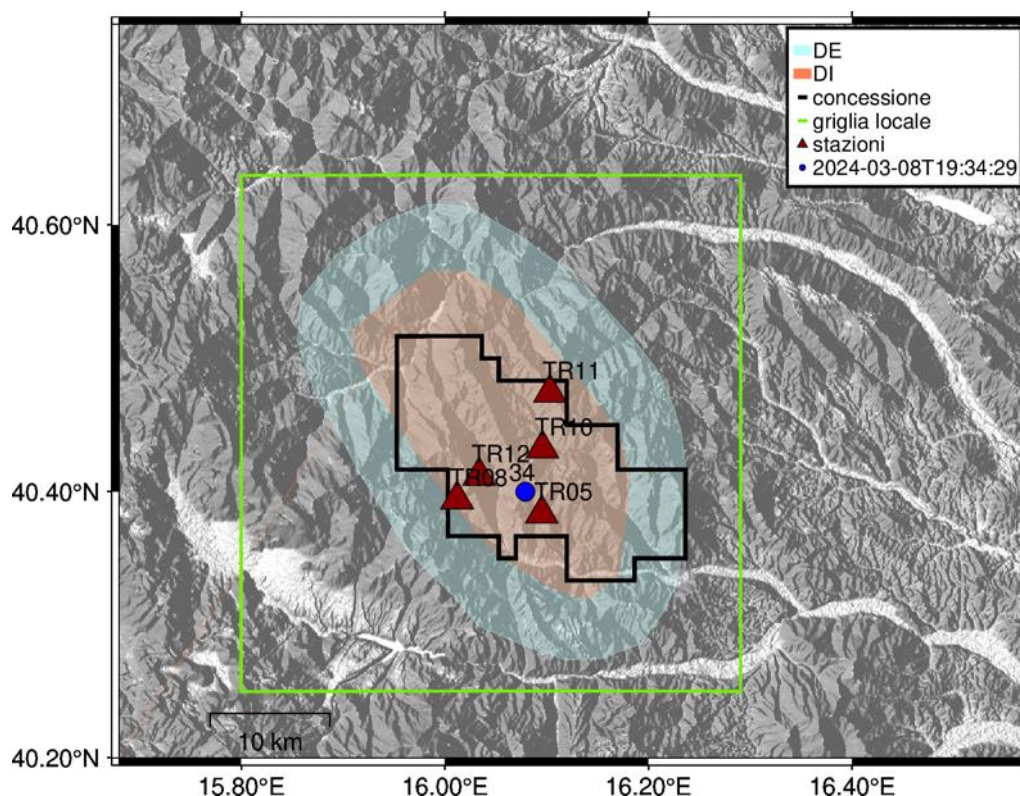


Figura 76 - stazioni utilizzate per la localizzazione, epicentro dell'evento del 08/03/2024 19:34:29 UTC localizzato a profondità 5.97 km

In Figura 77 sono mostrati i segnali acquisiti dalle stazioni usate per la localizzazione dell'evento 34: dall'alto verso il basso, componente Z, N, E

2024-03-08T19:34:29

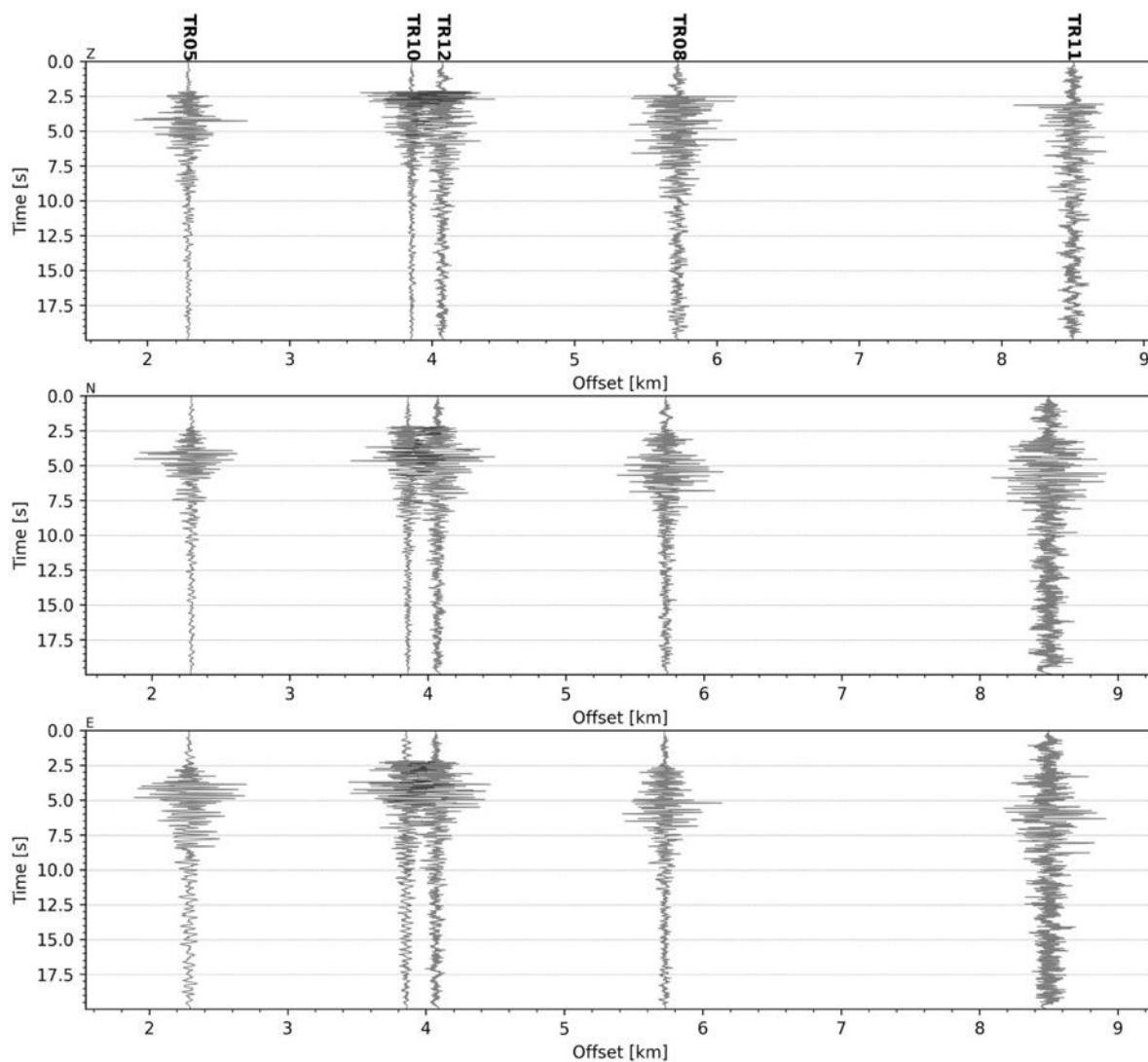


Figura 77 - forme d'onda (segnale raw filtrato) dell'evento 34, registrate dalle stazioni utilizzate per la localizzazione. Dall'alto, componenti Z, N, E.

Evento 35: 18/03/2024 07:26:35 UTC

Id	Tempo Origine [aa/mm/gg hh:mm:ss UTC]	Lat. [°]	Long. [°]	Profondità [km]	RMS [s]	M _i
35	2024-03-18 07:26:35	40.353	15.849	3.03	0.057	0.77±0.10

In Figura 78 sono mostrate le stazioni utilizzate per la localizzazione dell'evento sismico, l'epicentro e i limiti dei Domini di rilevazione e della Concessione.

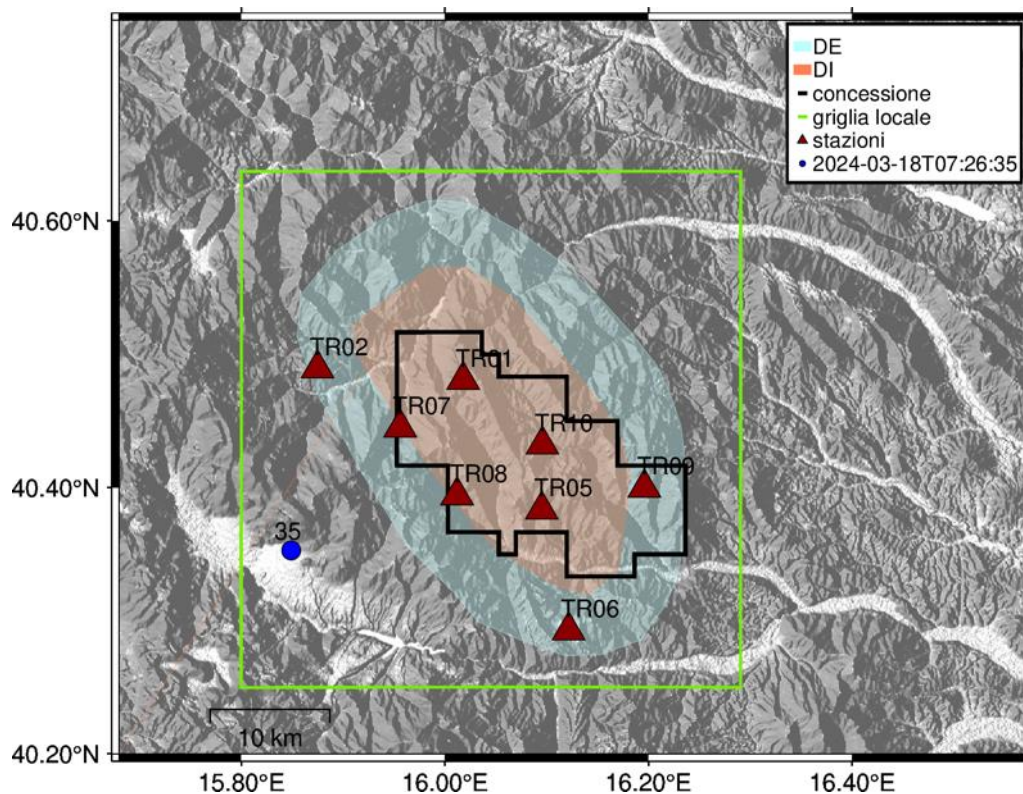


Figura 78 - stazioni utilizzate per la localizzazione, epicentro dell'evento del 18/03/2024 07:26:35 UTC localizzato a profondità 3.03 km

In Figura 79 sono mostrati i segnali acquisiti dalle stazioni usate per la localizzazione dell'evento 35: dall'alto verso il basso, componente Z, N, E

2024-03-18T07:26:35

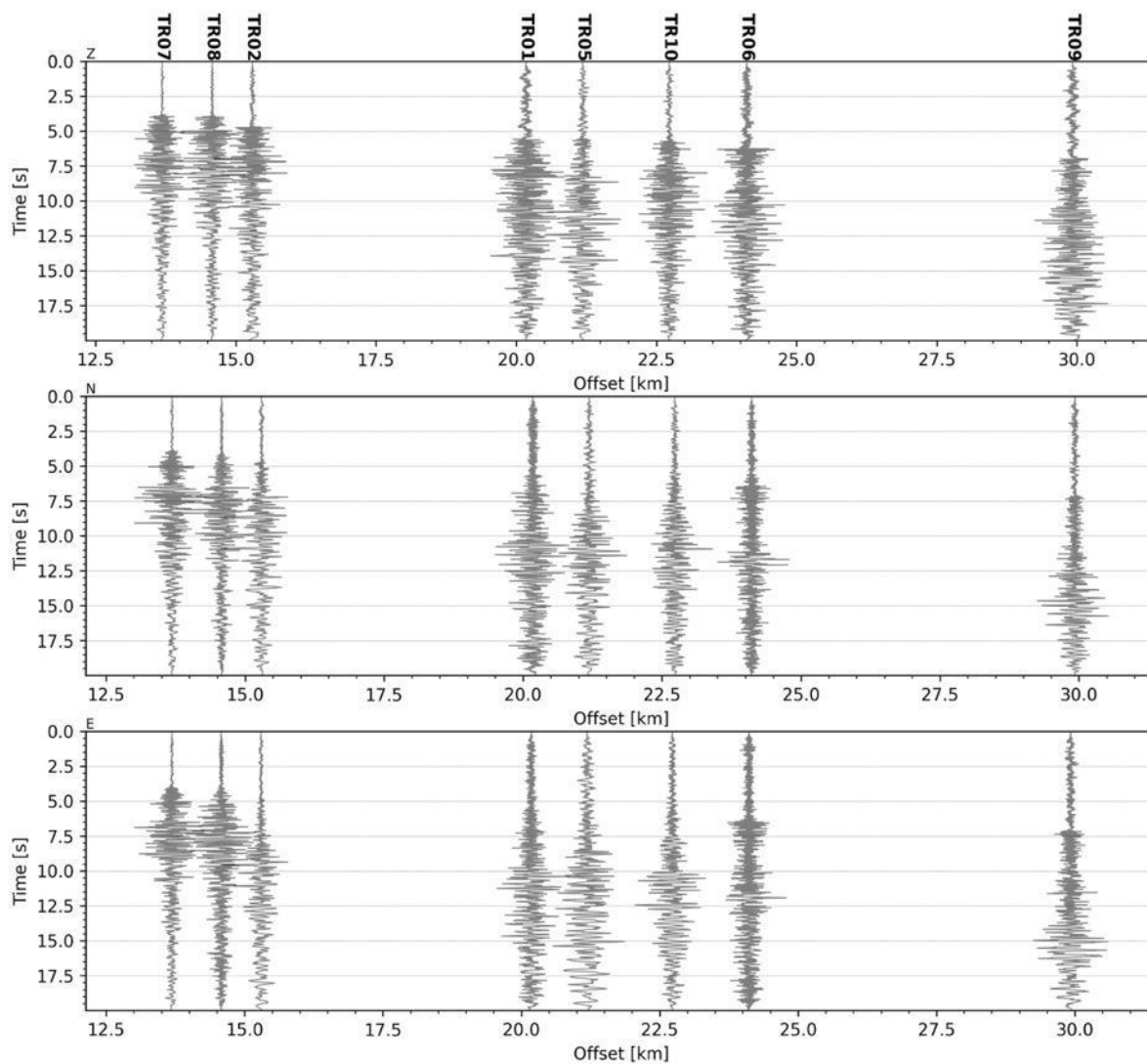


Figura 79 - forme d'onda (segnale raw filtrato) dell'evento 35, registrate dalle stazioni utilizzate per la localizzazione. Dall'alto, componenti Z, N, E.

Evento 36: 22/03/2024 16:40:05 UTC

Id	Tempo Origine [aa/mm/gg hh:mm:ss UTC]	Lat. [°]	Long. [°]	Profondità [km]	RMS [s]	M _i
36	2024-03-22 16:40:05	40.498	15.848	11.44	0.067	0.82±0.24

In Figura 80 sono mostrate le stazioni utilizzate per la localizzazione dell'evento sismico, l'epicentro e i limiti dei Domini di rilevazione e della Concessione.

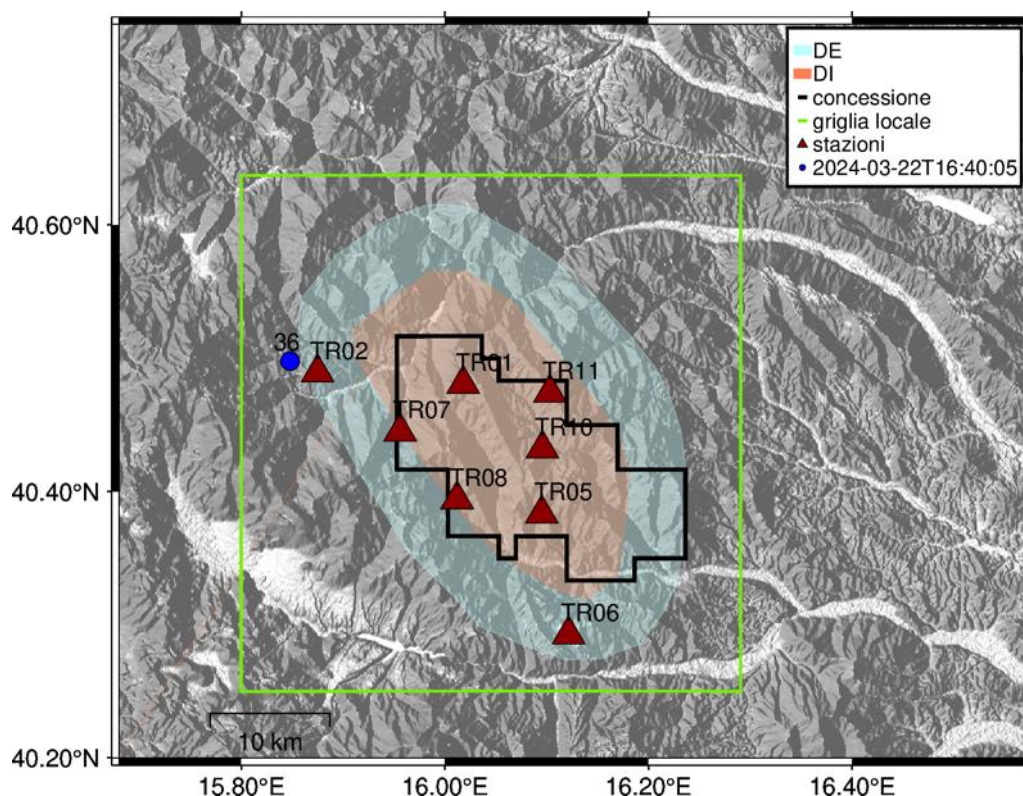


Figura 80 - stazioni utilizzate per la localizzazione, epicentro dell'evento del 22/03/2024 16:40:05 UTC localizzato a profondità 11.44 km

In Figura 81 sono mostrati i segnali acquisiti dalle stazioni usate per la localizzazione dell'evento 36: dall'alto verso il basso, componente Z, N, E

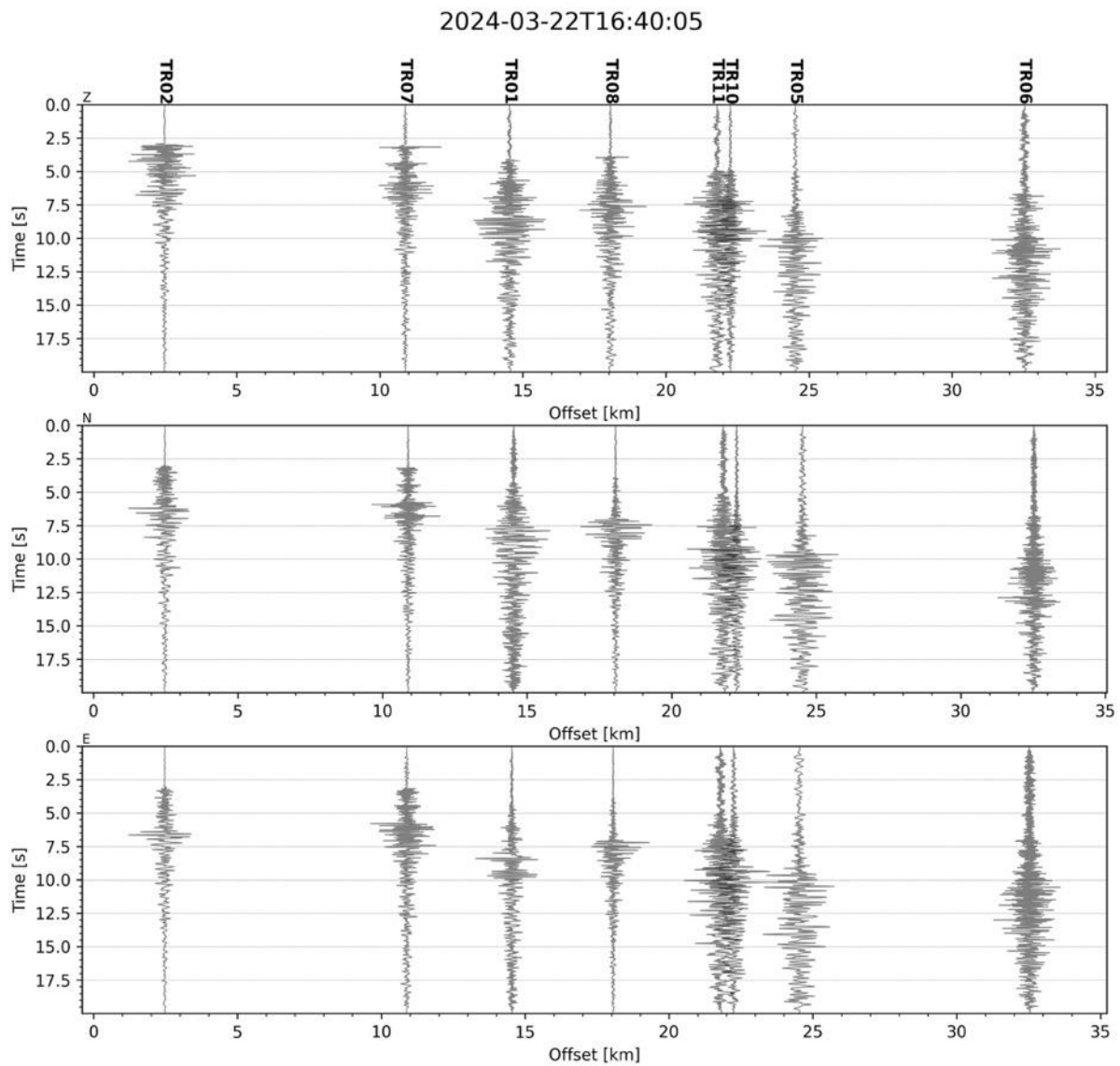


Figura 81 - forme d'onda (segnale raw filtrato) dell'evento 36, registrate dalle stazioni utilizzate per la localizzazione. Dall'alto, componenti Z, N, E.

Evento 37: 26/03/2024 12:12:09 UTC

Id	Tempo Origine [aa/mm/gg hh:mm:ss UTC]	Lat. [°]	Long. [°]	Profondità [km]	RMS [s]	M _i
37	2024-03-26 12:12:09	40.436	16.032	3.34	0.050	0.21±0.24

In Figura 82 sono mostrate le stazioni utilizzate per la localizzazione dell'evento sismico, l'epicentro e i limiti dei Domini di rilevazione e della Concessione.

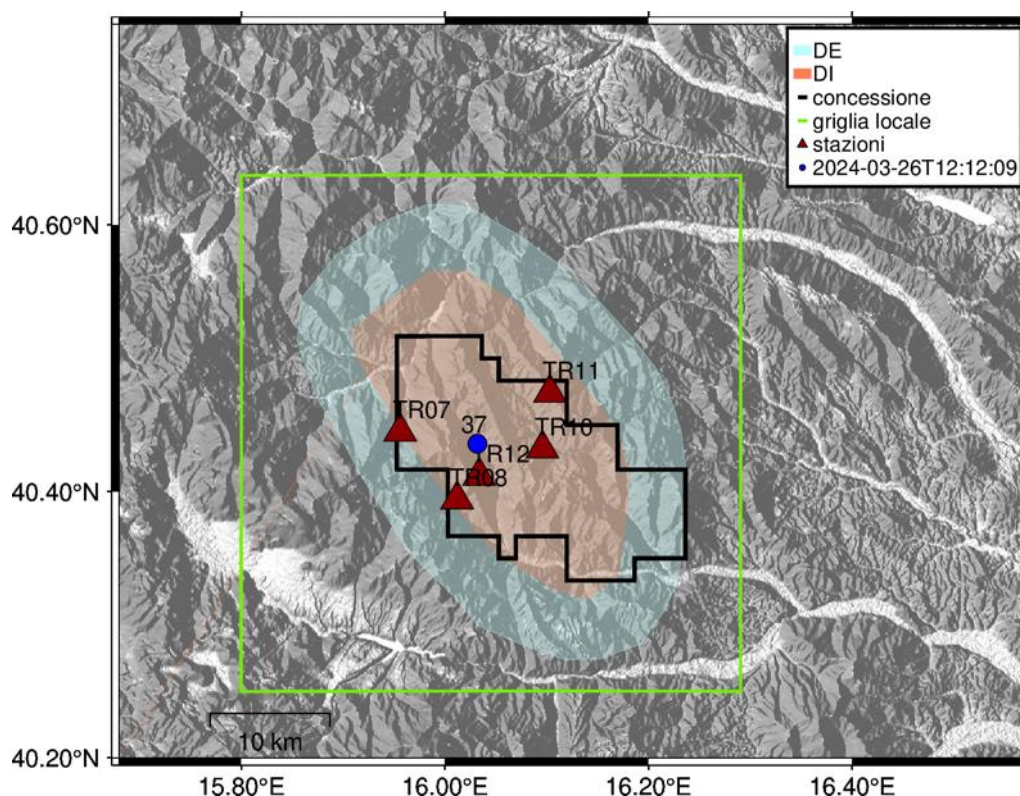


Figura 82 - stazioni utilizzate per la localizzazione, epicentro dell'evento del 26/03/2024 12:12:09 UTC localizzato a profondità 3.34 km

In Figura 83 sono mostrati i segnali acquisiti dalle stazioni usate per la localizzazione dell'evento 37: dall'alto verso il basso, componente Z, N, E

2024-03-26T12:12:09

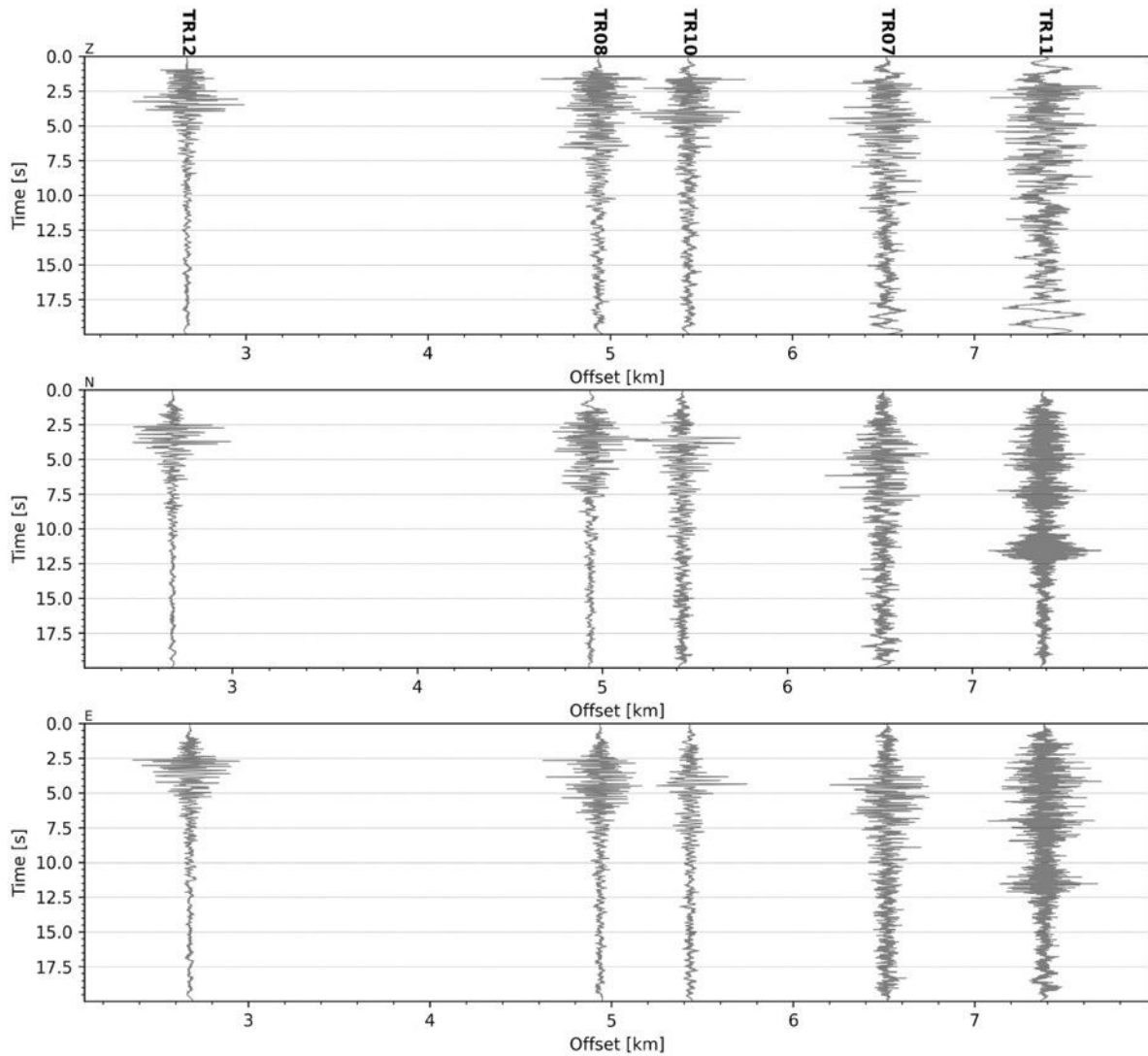


Figura 83 - forme d'onda (segnale raw filtrato) dell'evento 37, registrate dalle stazioni utilizzate per la localizzazione. Dall'alto, componenti Z, N, E.

Evento 38: 11/04/2024 00:47:33 UTC

Id	Tempo Origine [aa/mm/gg hh:mm:ss UTC]	Lat. [°]	Long. [°]	Profondità [km]	RMS [s]	M _i
38	2024-04-11 00:47:33	40.625	15.954	6.69	0.057	0.68±0.29

In Figura 84 sono mostrate le stazioni utilizzate per la localizzazione dell'evento sismico, l'epicentro e i limiti dei Domini di rilevazione e della Concessione.

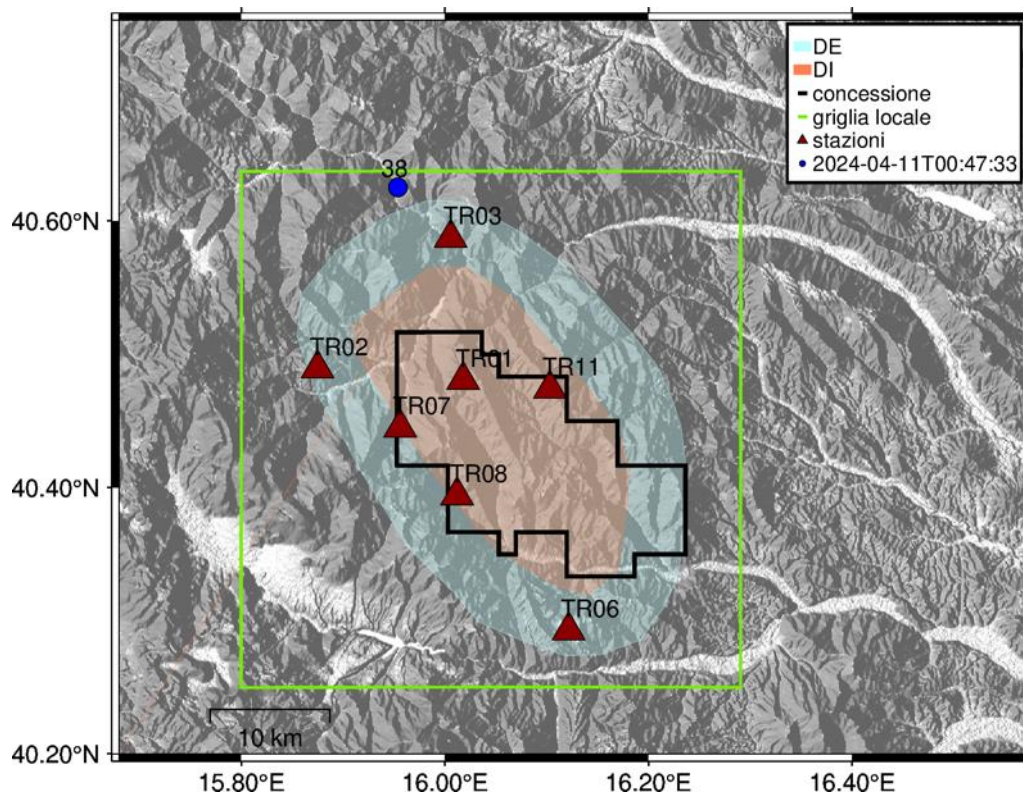


Figura 84 - stazioni utilizzate per la localizzazione, epicentro dell'evento del 11/04/2024 00:47:33 UTC localizzato a profondità 6.69 km

In Figura 85 sono mostrati i segnali acquisiti dalle stazioni usate per la localizzazione dell'evento 38: dall'alto verso il basso, componente Z, N, E

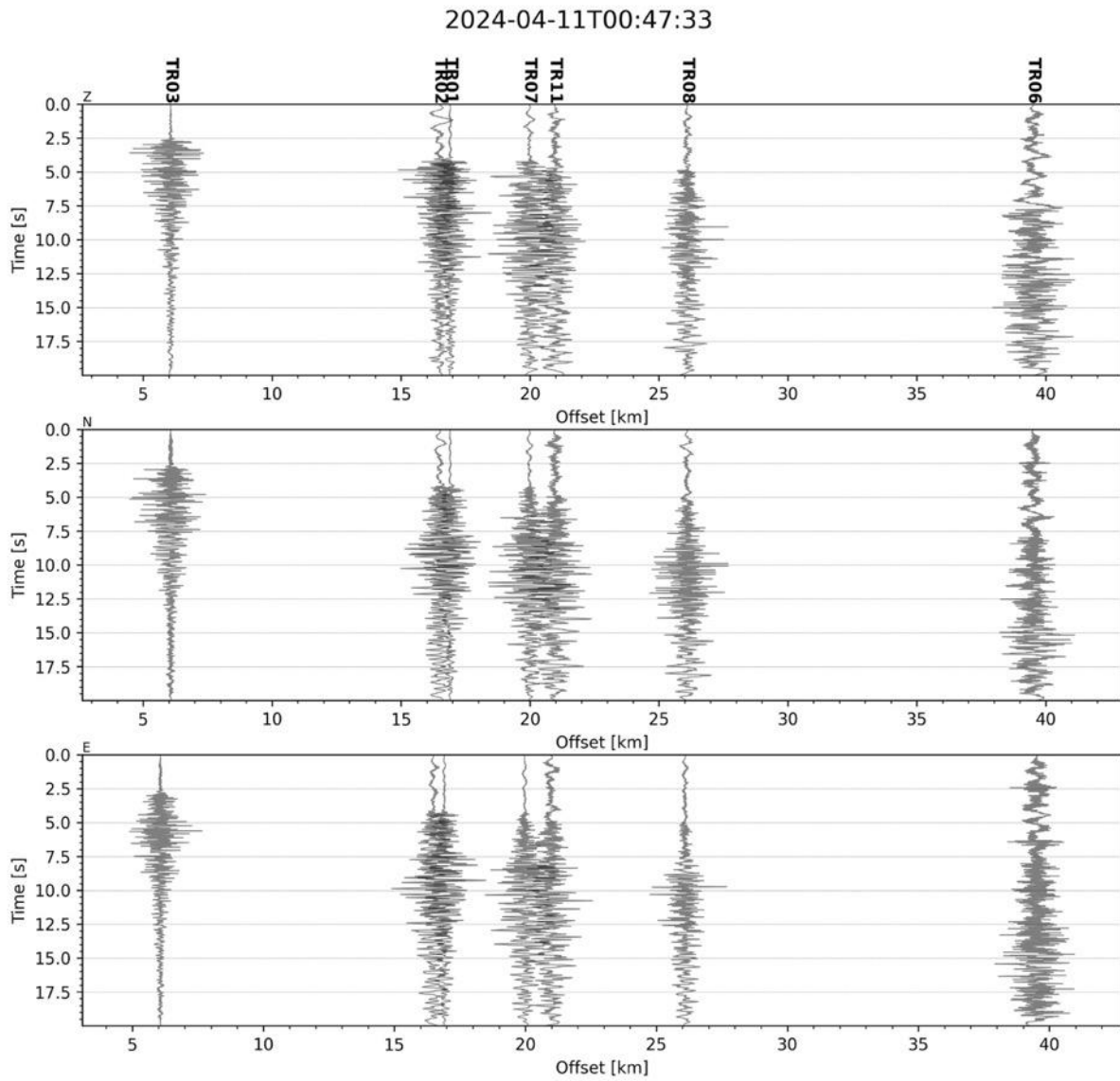


Figura 85 - forme d'onda (segnale raw filtrato) dell'evento 38, registrate dalle stazioni utilizzate per la localizzazione. Dall'alto, componenti Z, N, E.

Evento 39: 14/04/2024 06:20:36 UTC

Id	Tempo Origine [aa/mm/gg hh:mm:ss UTC]	Lat. [°]	Long. [°]	Profondità [km]	RMS [s]	M _i
39	2024-04-14 06:20:36	40.449	16.148	7.41	0.040	0.05±0.17

In Figura 86 sono mostrate le stazioni utilizzate per la localizzazione dell'evento sismico, l'epicentro e i limiti dei Domini di rilevazione e della Concessione.

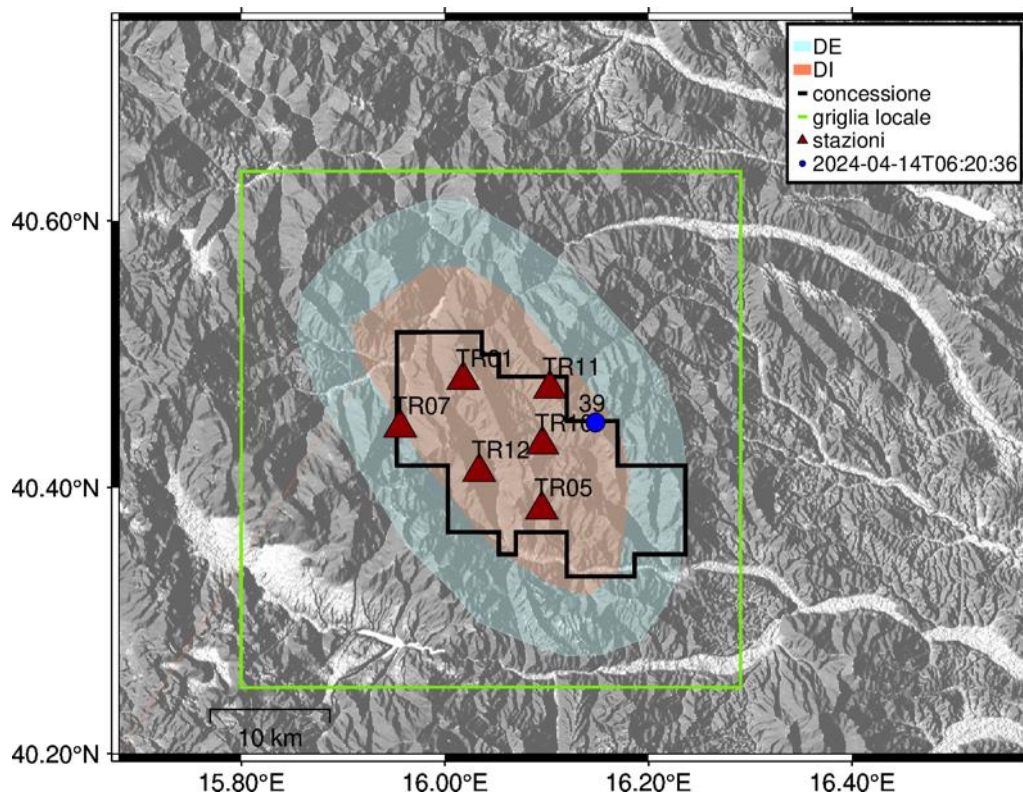


Figura 86 - stazioni utilizzate per la localizzazione, epicentro dell'evento del 14/04/2024 06:20:36 UTC localizzato a profondità 7.41 km

In Figura 87 sono mostrati i segnali acquisiti dalle stazioni usate per la localizzazione dell'evento 39: dall'alto verso il basso, componente Z, N, E

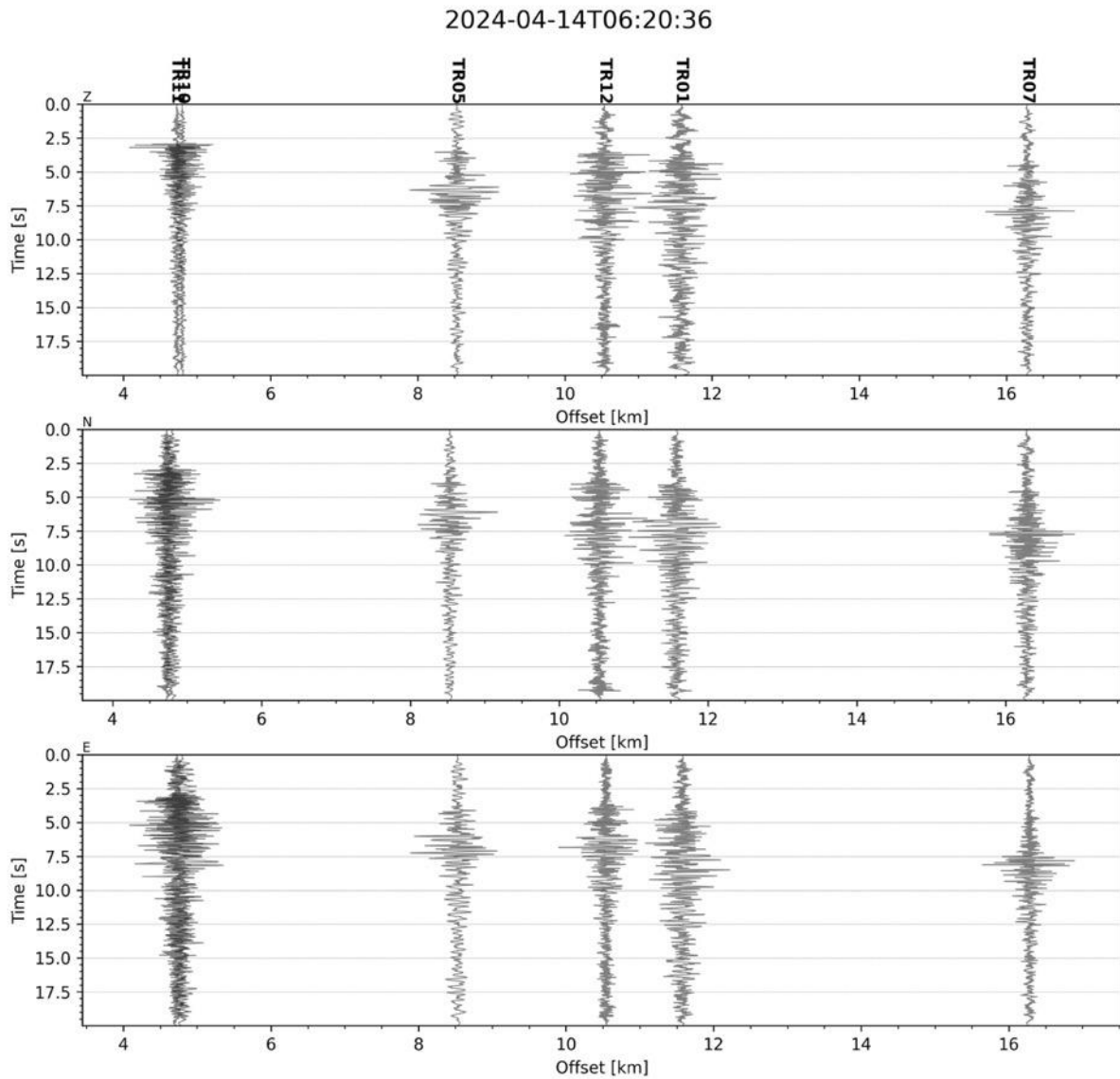


Figura 87 - forme d'onda (segnale raw filtrato) dell'evento 39, registrate dalle stazioni utilizzate per la localizzazione. Dall'alto, componenti Z, N, E.

Evento 40: 14/04/2024 09:24:10 UTC

Id	Tempo Origine [aa/mm/gg hh:mm:ss UTC]	Lat. [°]	Long. [°]	Profondità [km]	RMS [s]	M _i
40	2024-04-14 09:24:10	40.401	16.084	2.91	0.055	0.18±0.17

In Figura 88 sono mostrate le stazioni utilizzate per la localizzazione dell'evento sismico, l'epicentro e i limiti dei Domini di rilevazione e della Concessione.

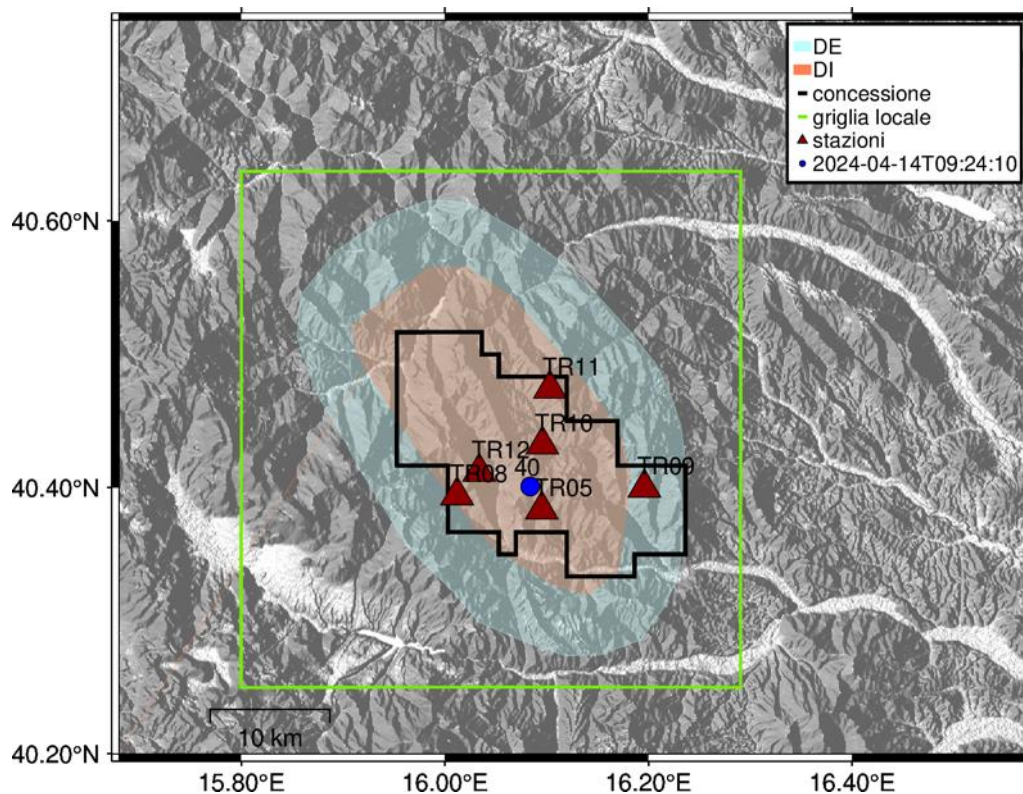


Figura 88 - stazioni utilizzate per la localizzazione, epicentro dell'evento del 14/04/2024 09:24:10 UTC localizzato a profondità 2.91 km

In Figura 89 sono mostrati i segnali acquisiti dalle stazioni usate per la localizzazione dell'evento 40: dall'alto verso il basso, componente Z, N, E

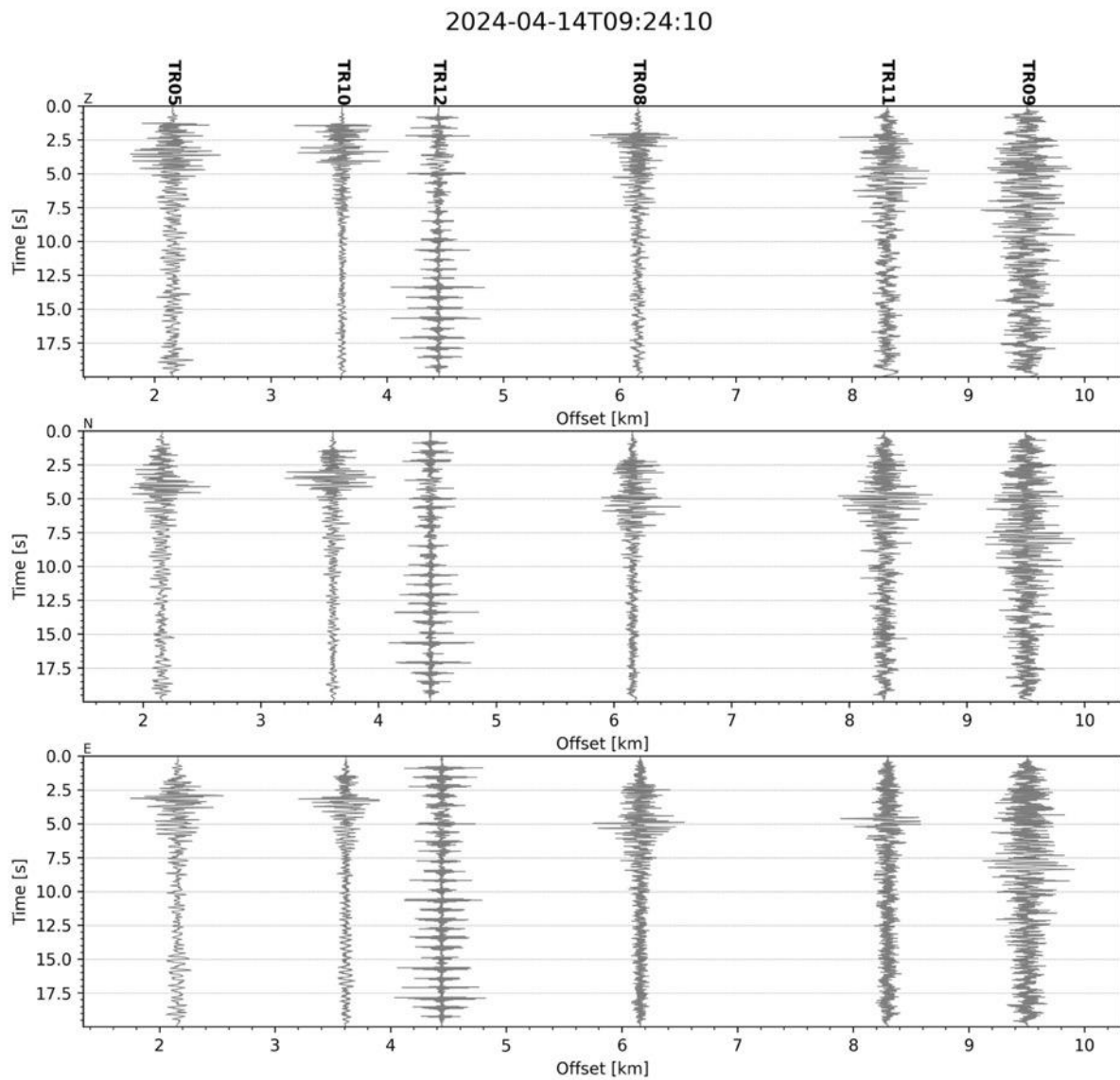


Figura 89 - forme d'onda (segnale raw filtrato) dell'evento 40, registrate dalle stazioni utilizzate per la localizzazione. Dall'alto, componenti Z, N, E.

Evento 41: 14/04/2024 22:45:42 UTC

Id	Tempo Origine [aa/mm/gg hh:mm:ss UTC]	Lat. [°]	Long. [°]	Profondità [km]	RMS [s]	M _i
41	2024-04-14 22:45:42	40.418	15.795	17.22	0.079	0.94±0.19

In Figura 90 sono mostrate le stazioni utilizzate per la localizzazione dell'evento sismico, l'epicentro e i limiti dei Domini di rilevazione e della Concessione.

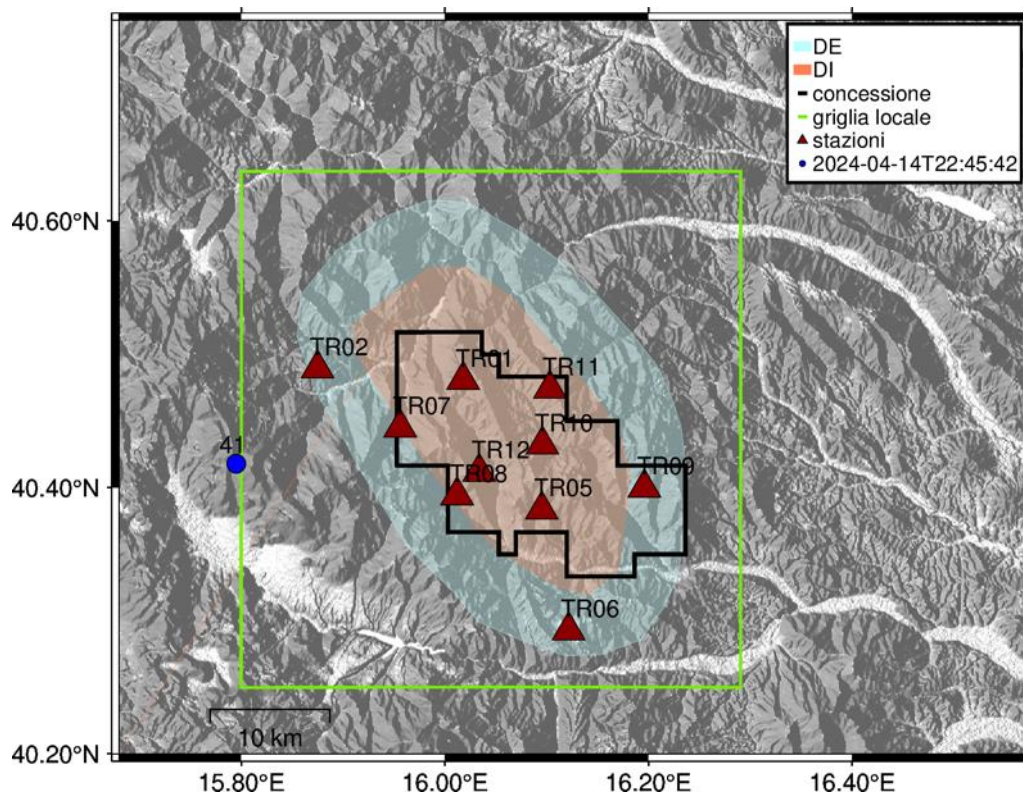


Figura 90 - stazioni utilizzate per la localizzazione, epicentro dell'evento del 14/04/2024 22:45:42 UTC localizzato a profondità 17.22 km

In Figura 91 sono mostrati i segnali acquisiti dalle stazioni usate per la localizzazione dell'evento 41: dall'alto verso il basso, componente Z, N, E

2024-04-14T22:45:42

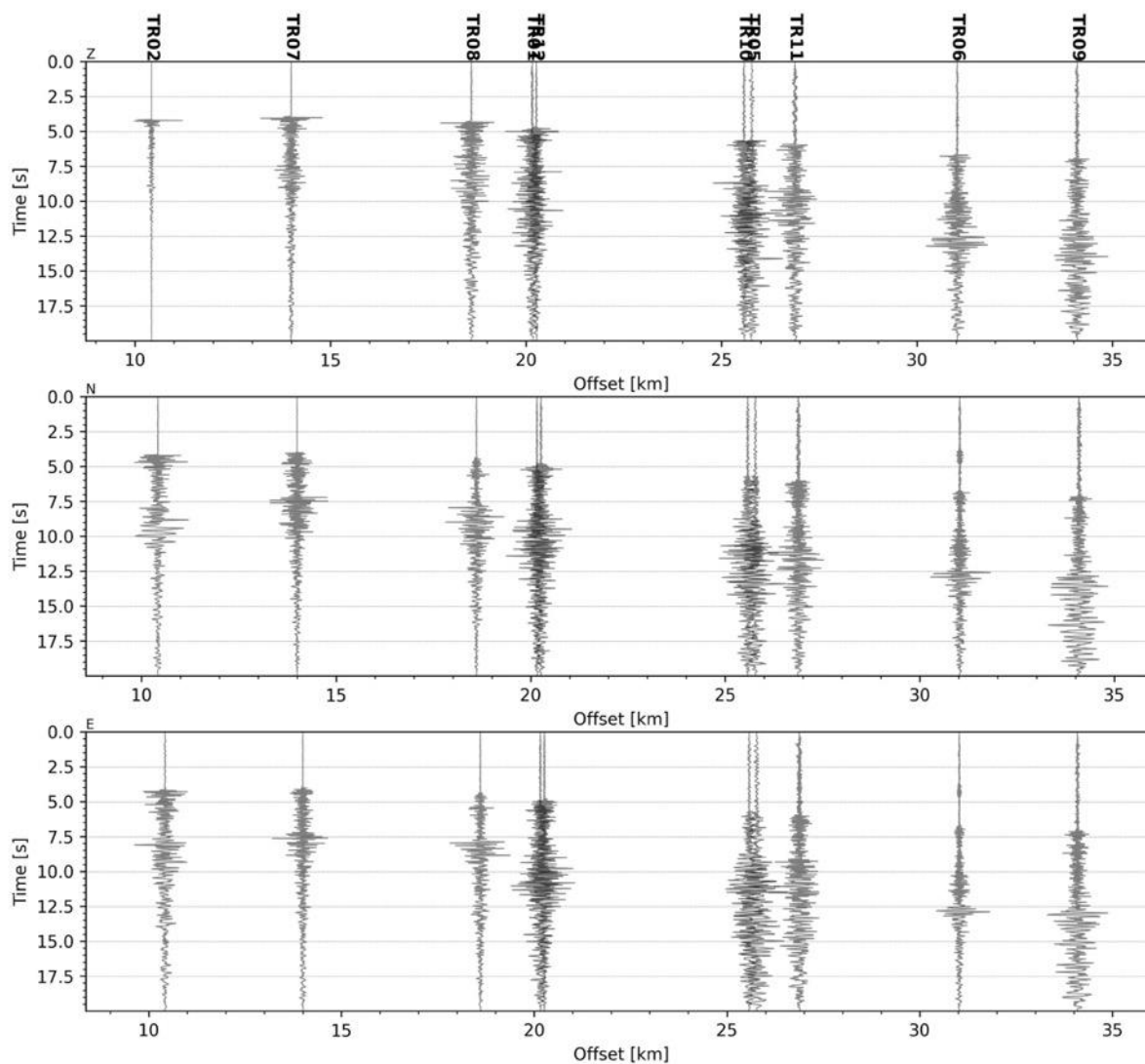


Figura 91 - forme d'onda (segnale raw filtrato) dell'evento 41, registrate dalle stazioni utilizzate per la localizzazione. Dall'alto, componenti Z, N, E.

Evento 42: 15/04/2024 00:49:37 UTC

Id	Tempo Origine [aa/mm/gg hh:mm:ss UTC]	Lat. [°]	Long. [°]	Profondità [km]	RMS [s]	M _i
42	2024-04-15 00:49:37	40.423	15.796	17.59	0.057	1.72±0.26

In Figura 92 sono mostrate le stazioni utilizzate per la localizzazione dell'evento sismico, l'epicentro e i limiti dei Domini di rilevazione e della Concessione.

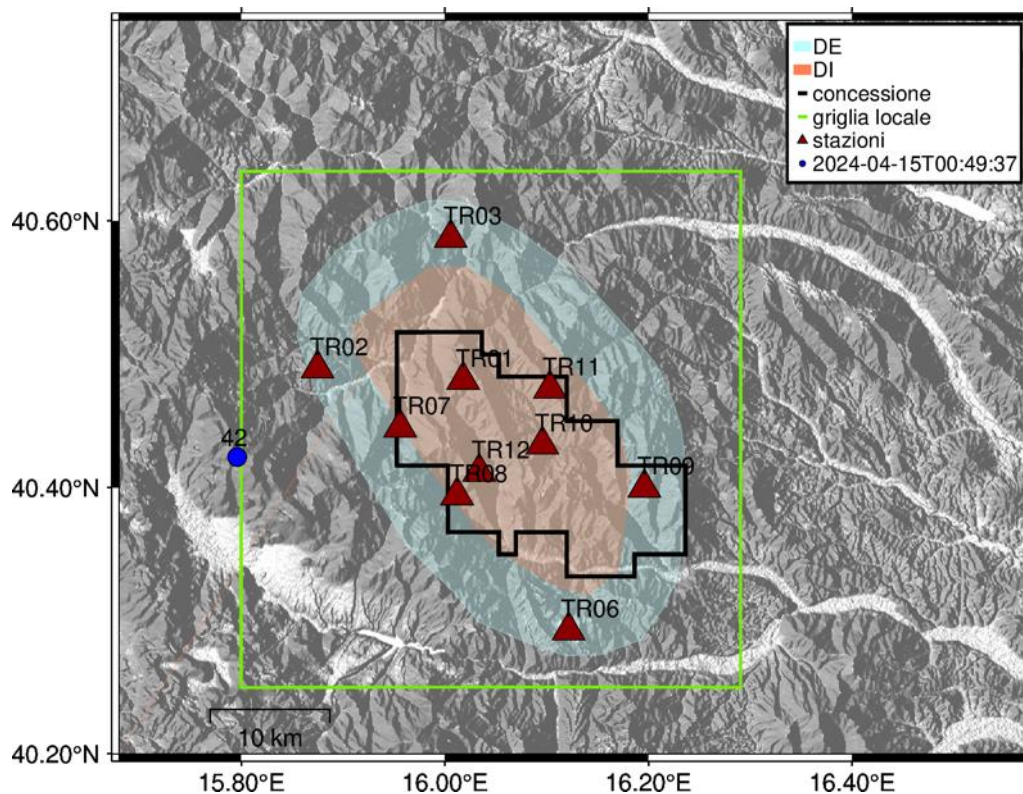


Figura 92 - stazioni utilizzate per la localizzazione, epicentro dell'evento del 15/04/2024 00:49:37 UTC localizzato a profondità 17.59 km

In Figura 93 sono mostrati i segnali acquisiti dalle stazioni usate per la localizzazione dell'evento 42: dall'alto verso il basso, componente Z, N, E

2024-04-15T00:49:37

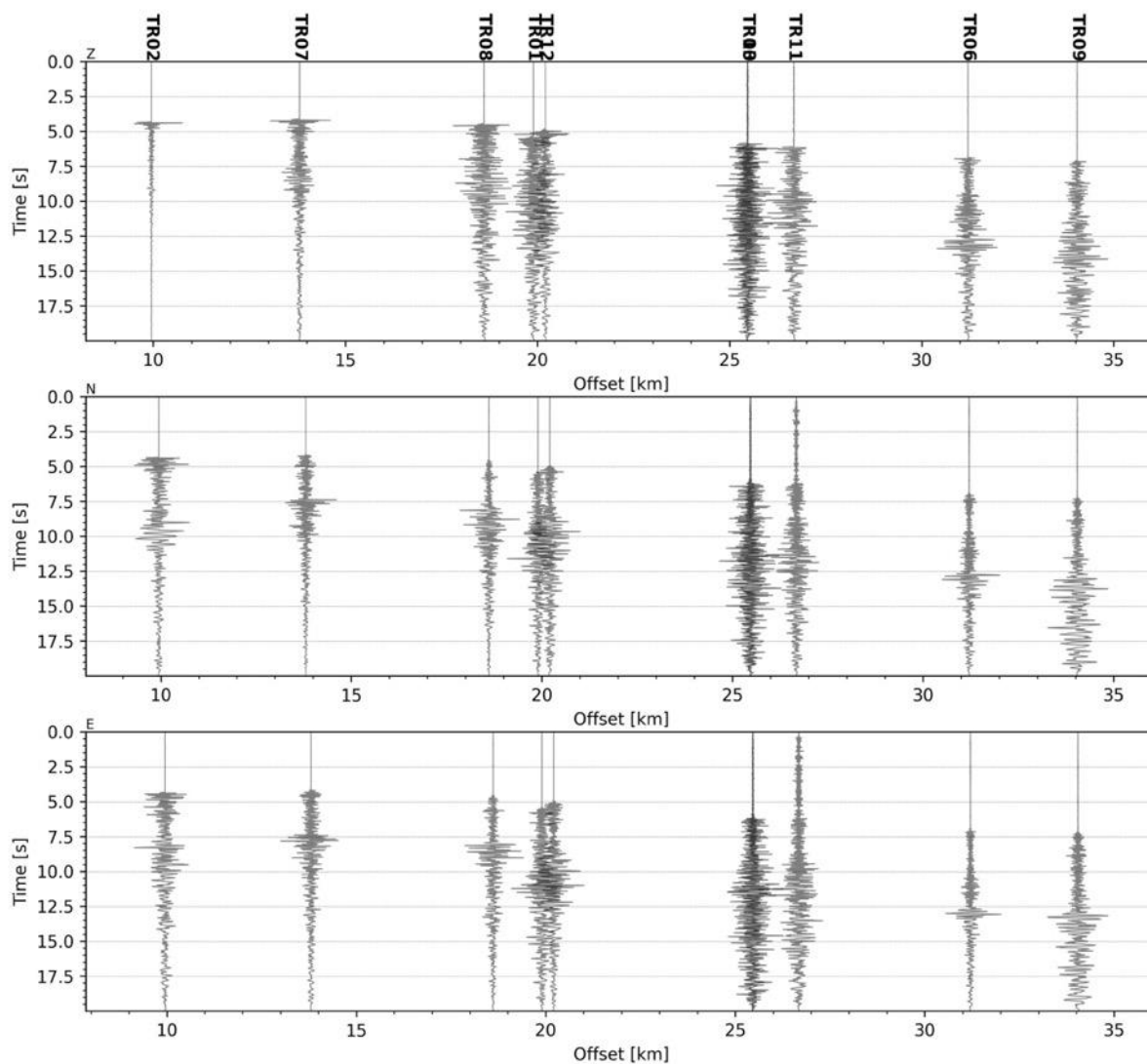


Figura 93 - forme d'onda (segnale raw filtrato) dell'evento 42, registrate dalle stazioni utilizzate per la localizzazione. Dall'alto, componenti Z, N, E.

Evento 43: 18/04/2024 22:00:40 UTC

Id	Tempo Origine [aa/mm/gg hh:mm:ss UTC]	Lat. [°]	Long. [°]	Profondità [km]	RMS [s]	M _i
43	2024-04-18 22:00:40	40.313	15.982	7.42	0.068	1.66±0.18

In Figura 94 sono mostrate le stazioni utilizzate per la localizzazione dell'evento sismico, l'epicentro e i limiti dei Domini di rilevazione e della Concessione.

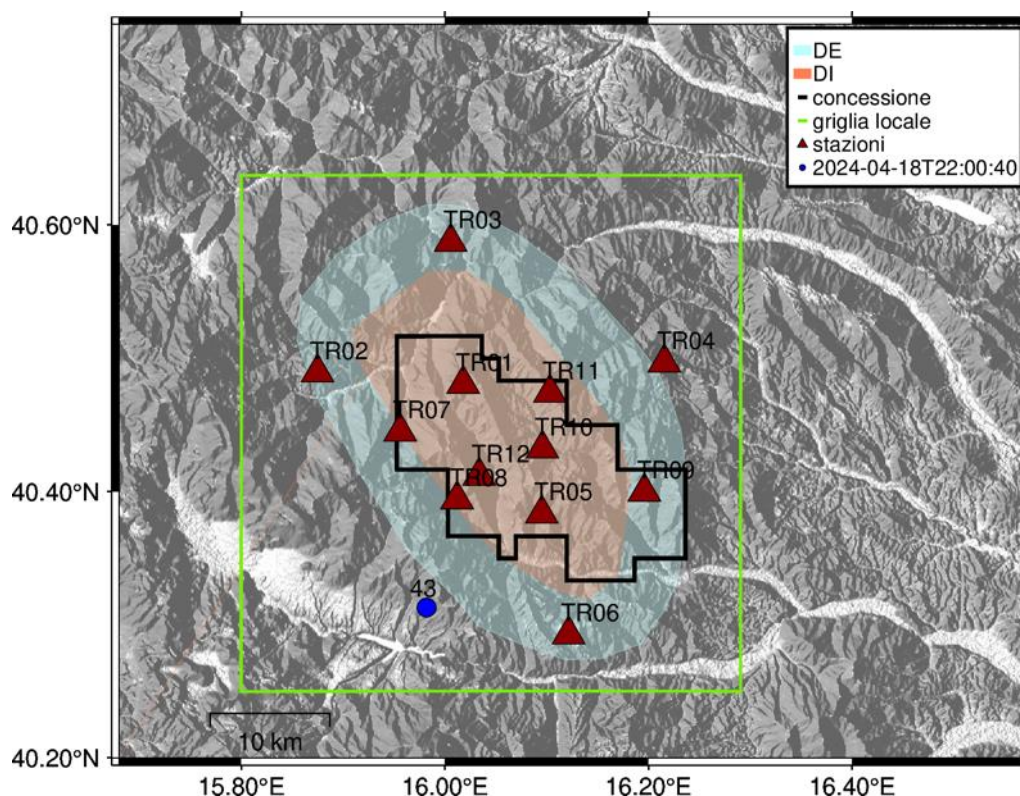


Figura 94 - stazioni utilizzate per la localizzazione, epicentro dell'evento del 18/04/2024 22:00:40 UTC localizzato a profondità 7.42 km

In Figura 95 sono mostrati i segnali acquisiti dalle stazioni usate per la localizzazione dell'evento 43: dall'alto verso il basso, componente Z, N, E

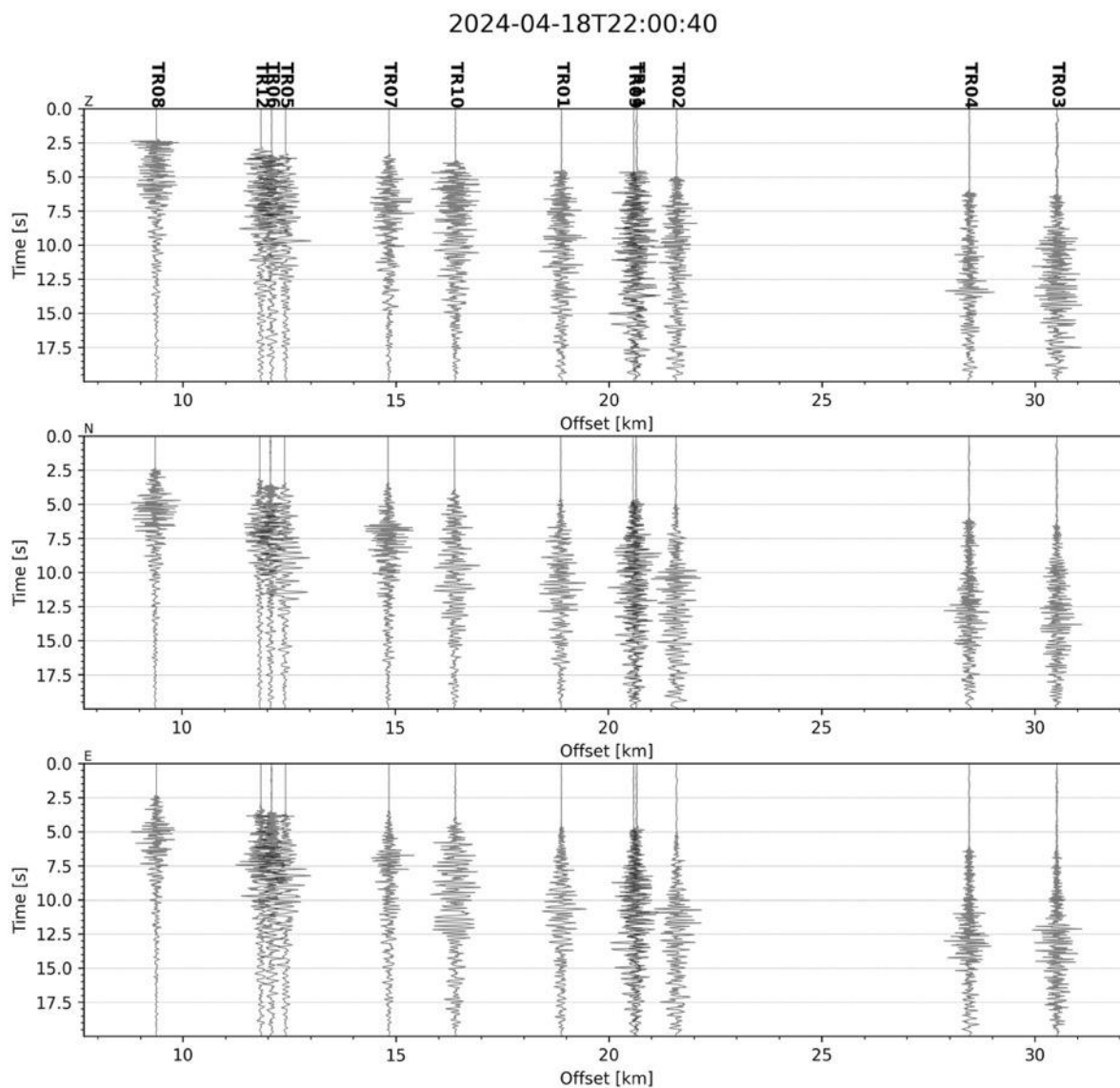


Figura 95 - forme d'onda (segnale raw filtrato) dell'evento 43, registrate dalle stazioni utilizzate per la localizzazione. Dall'alto, componenti Z, N, E.

Evento 44: 20/04/2024 04:16:37 UTC

Id	Tempo Origine [aa/mm/gg hh:mm:ss UTC]	Lat. [°]	Long. [°]	Profondità [km]	RMS [s]	M _i
44	2024-04-20 04:16:37	40.636	15.964	11.91	0.056	1.37±0.27

In Figura 96 sono mostrate le stazioni utilizzate per la localizzazione dell'evento sismico, l'epicentro e i limiti dei Domini di rilevazione e della Concessione.

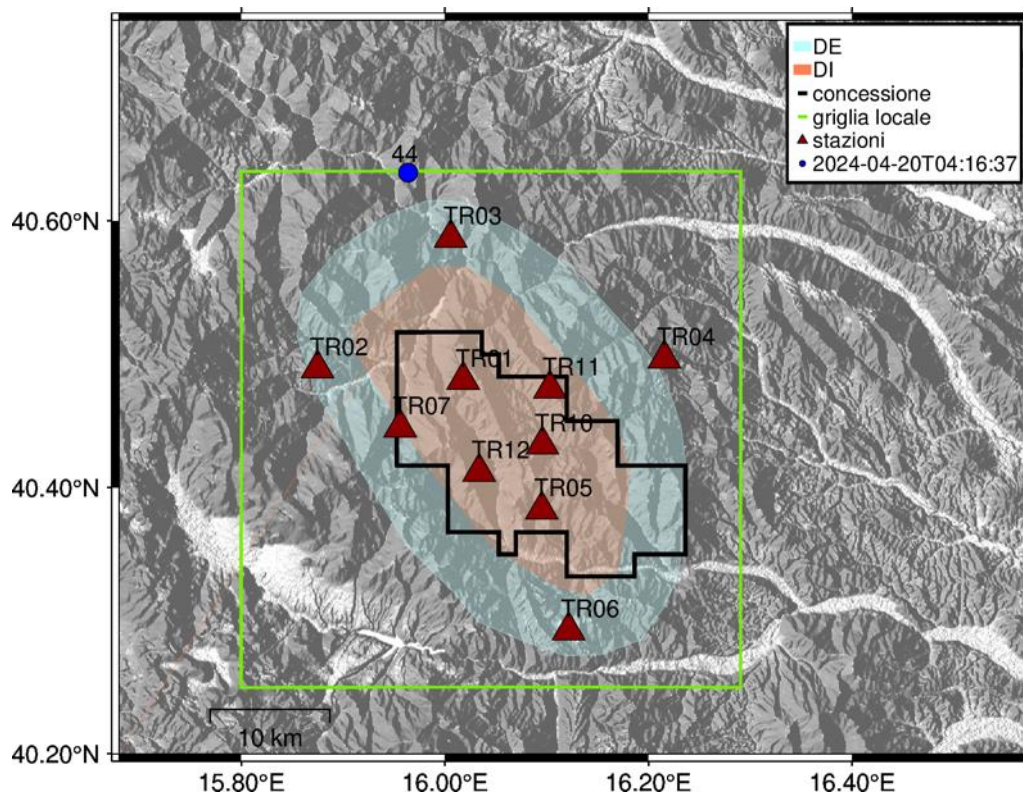


Figura 96 - stazioni utilizzate per la localizzazione, epicentro dell'evento del 20/04/2024 04:16:37 UTC localizzato a profondità 11.91 km

In Figura 97 sono mostrati i segnali acquisiti dalle stazioni usate per la localizzazione dell'evento 44: dall'alto verso il basso, componente Z, N, E

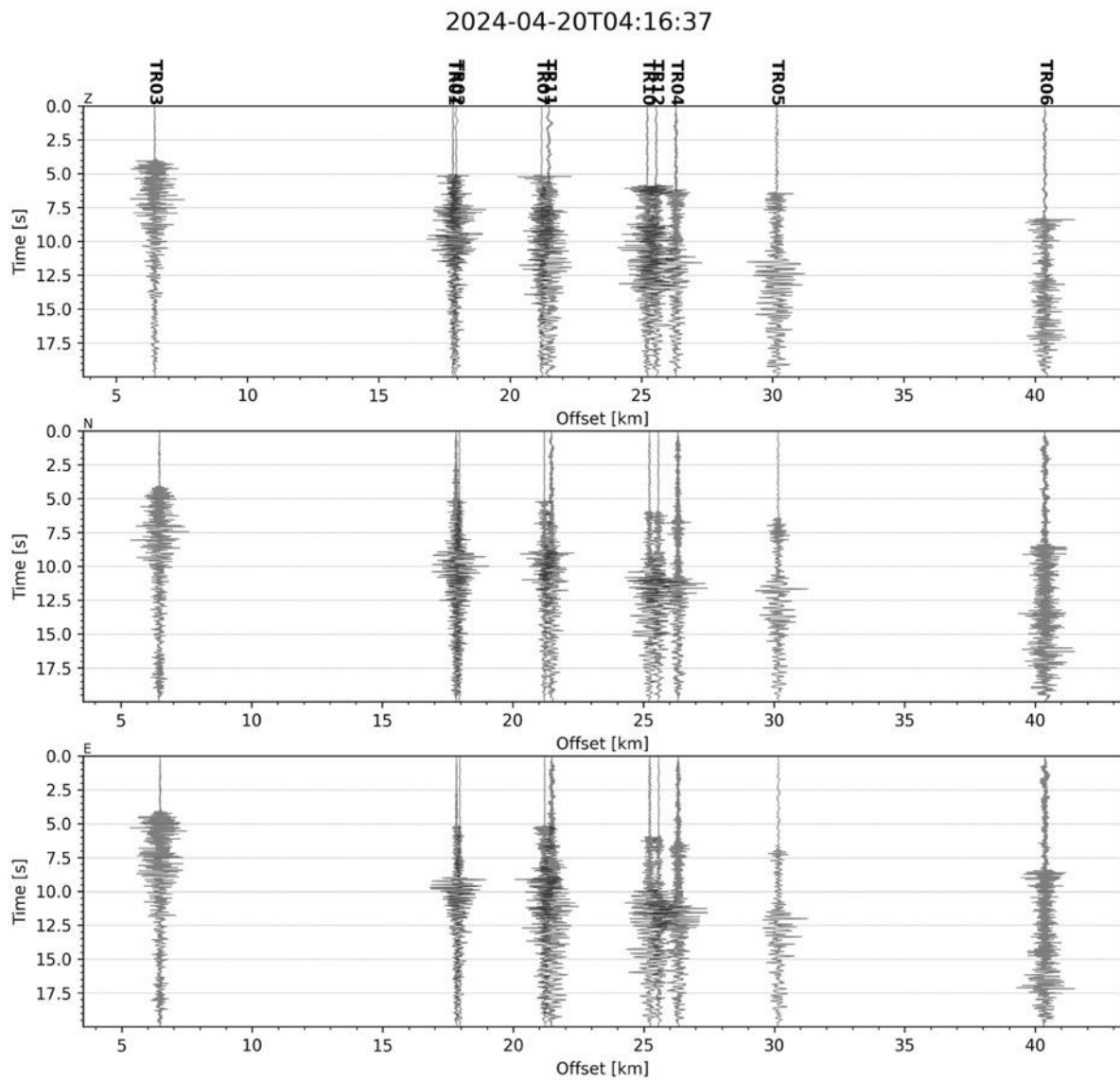


Figura 97 - forme d'onda (segnale raw filtrato) dell'evento 44, registrate dalle stazioni utilizzate per la localizzazione. Dall'alto, componenti Z, N, E.

Evento 45: 25/04/2024 09:51:41 UTC

Id	Tempo Origine [aa/mm/gg hh:mm:ss UTC]	Lat. [°]	Long. [°]	Profondità [km]	RMS [s]	M _i
45	2024-04-25 09:51:41	40.523	16.271	10.59	0.049	1.19±0.18

In Figura 98 sono mostrate le stazioni utilizzate per la localizzazione dell'evento sismico, l'epicentro e i limiti dei Domini di rilevazione e della Concessione.

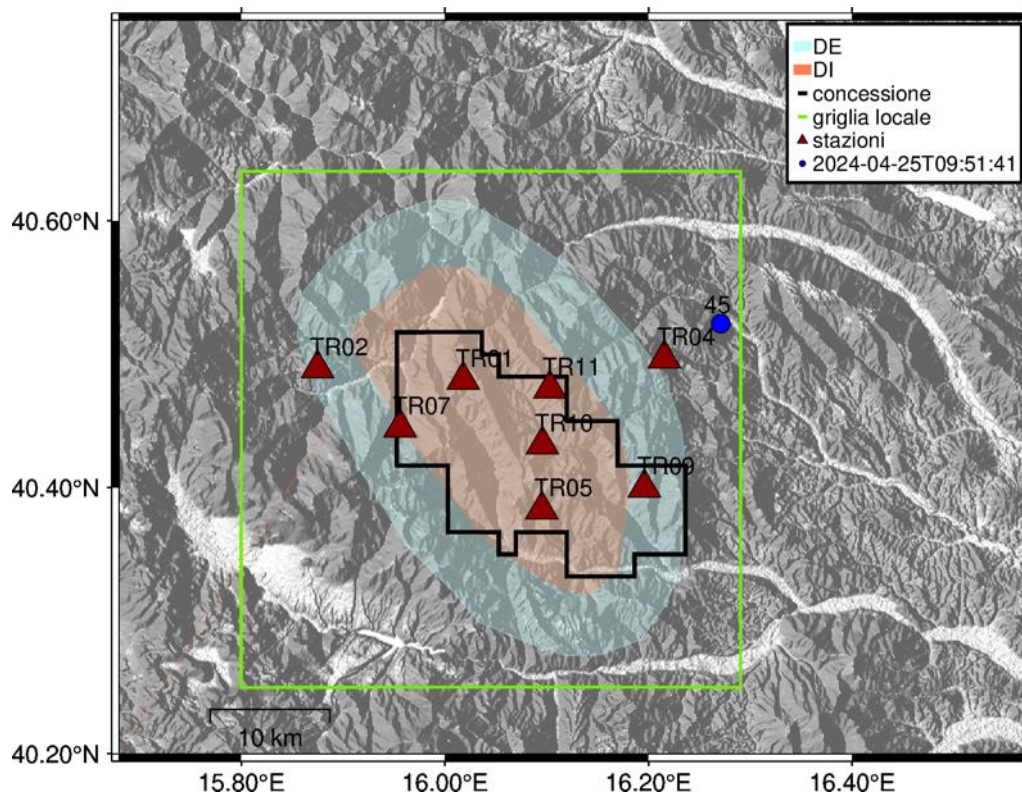


Figura 98 - stazioni utilizzate per la localizzazione, epicentro dell'evento del 25/04/2024 09:51:41 UTC localizzato a profondità 10.59 km

In Figura 99 sono mostrati i segnali acquisiti dalle stazioni usate per la localizzazione dell'evento 45: dall'alto verso il basso, componente Z, N, E

2024-04-25T09:51:41

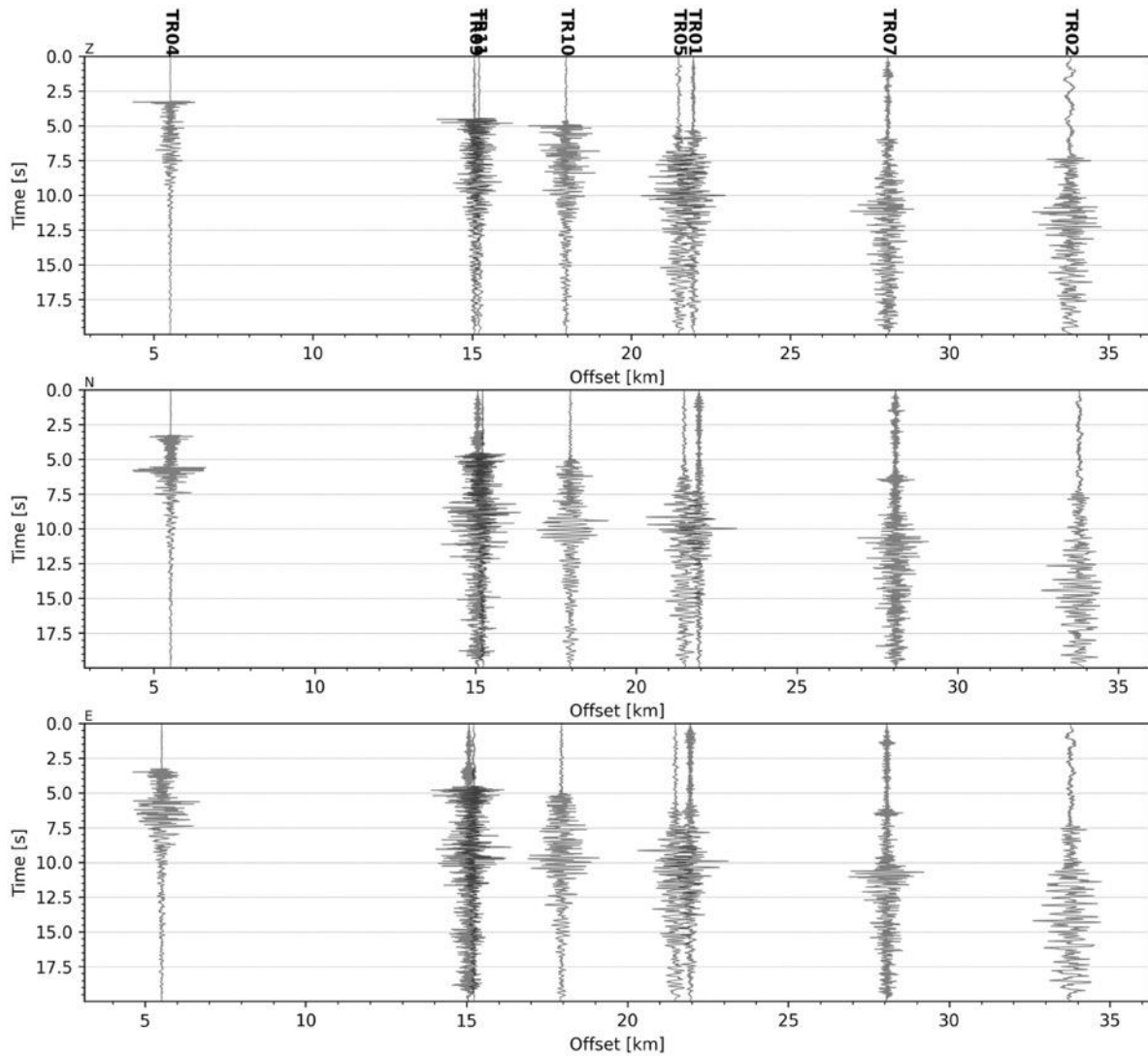


Figura 99 - forme d'onda (segnale raw filtrato) dell'evento 45, registrate dalle stazioni utilizzate per la localizzazione. Dall'alto, componenti Z, N, E.

Evento 46: 27/04/2024 05:18:39 UTC

Id	Tempo Origine [aa/mm/gg hh:mm:ss UTC]	Lat. [°]	Long. [°]	Profondità [km]	RMS [s]	M _i
46	2024-04-27 05:18:39	40.555	15.986	8.97	0.065	0.43±0.22

In Figura 100 sono mostrate le stazioni utilizzate per la localizzazione dell'evento sismico, l'epicentro e i limiti dei Domini di rilevazione e della Concessione.

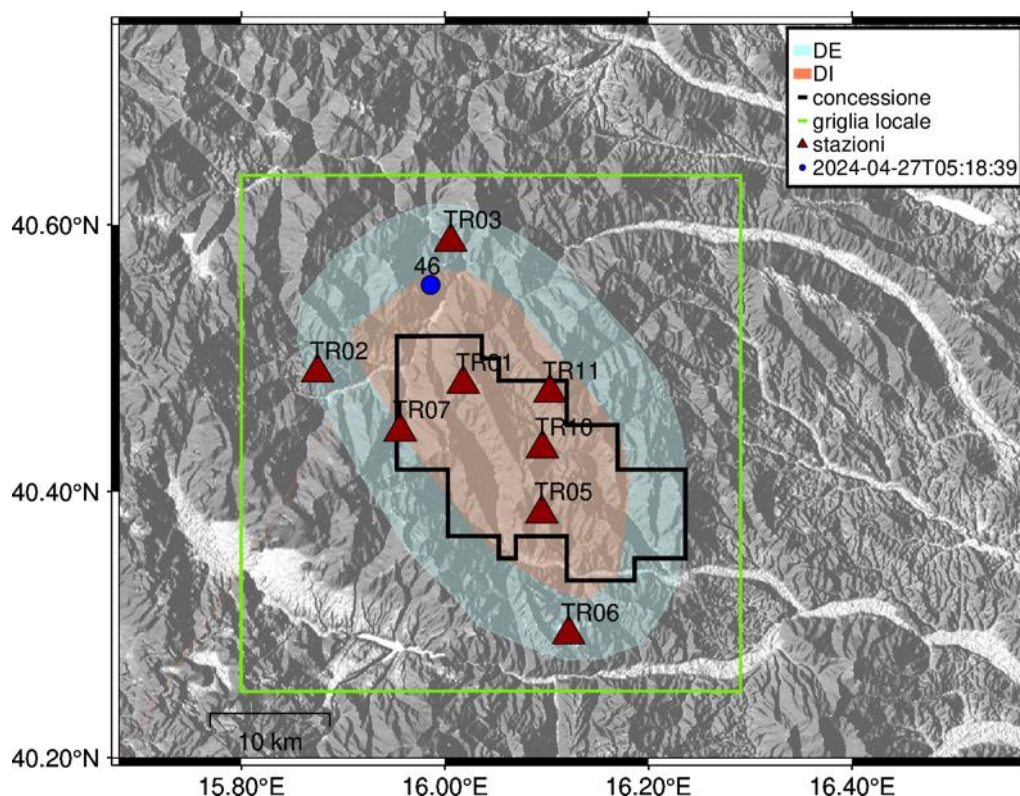


Figura 100 - stazioni utilizzate per la localizzazione, epicentro dell'evento del 27/04/2024 05:18:39 UTC localizzato a profondità 8.97 km

In Figura 101 sono mostrati i segnali acquisiti dalle stazioni usate per la localizzazione dell'evento 46: dall'alto verso il basso, componente Z, N, E

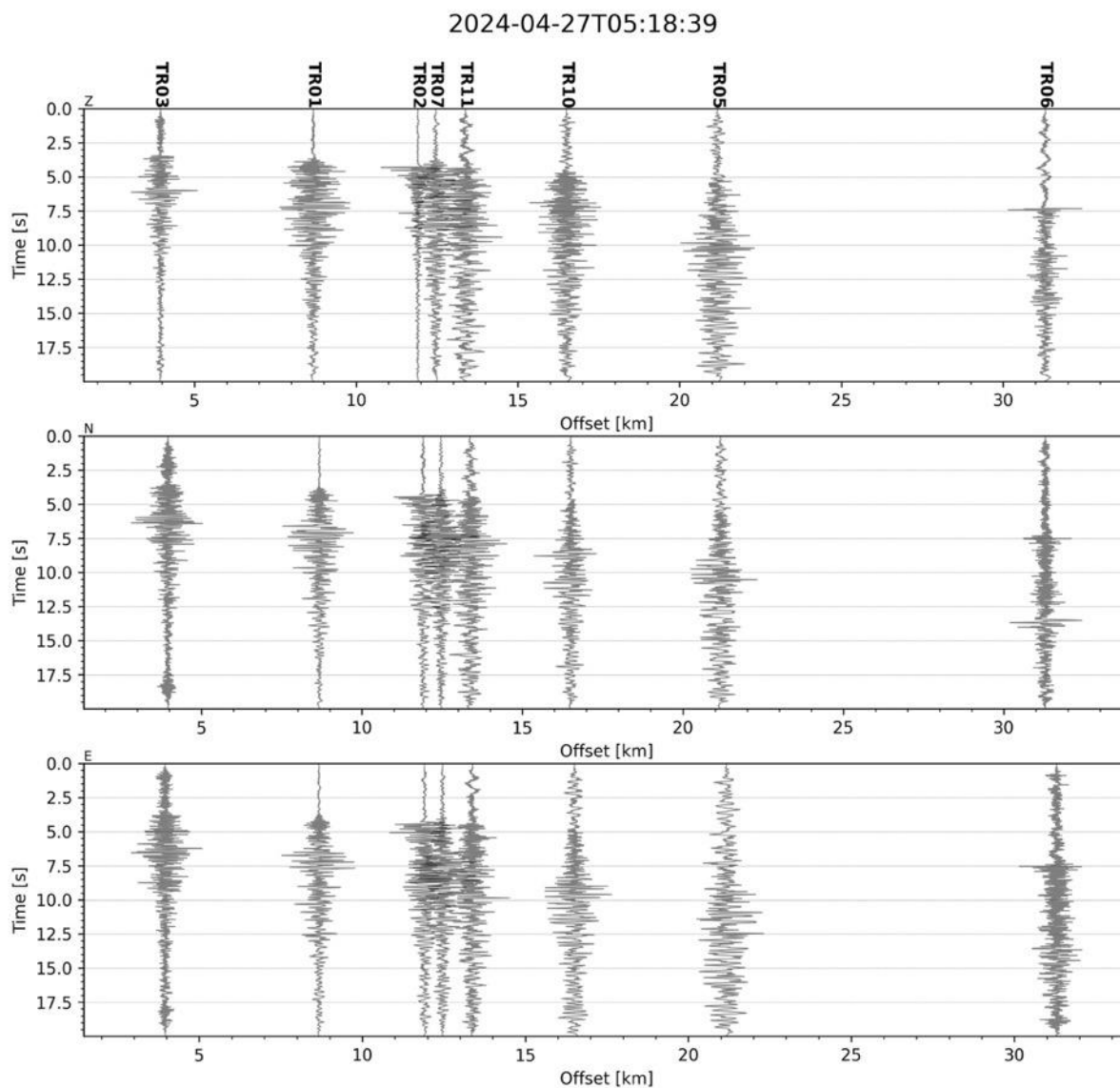


Figura 101 - forme d'onda (segnale raw filtrato) dell'evento 46, registrate dalle stazioni utilizzate per la localizzazione. Dall'alto, componenti Z, N, E.

Evento 47: 27/04/2024 23:43:03 UTC

Id	Tempo Origine [aa/mm/gg hh:mm:ss UTC]	Lat. [°]	Long. [°]	Profondità [km]	RMS [s]	M _i
47	2024-04-27 23:43:03	40.533	16.043	1.91	0.048	0.4±0.39

In Figura 102 sono mostrate le stazioni utilizzate per la localizzazione dell'evento sismico, l'epicentro e i limiti dei Domini di rilevazione e della Concessione.

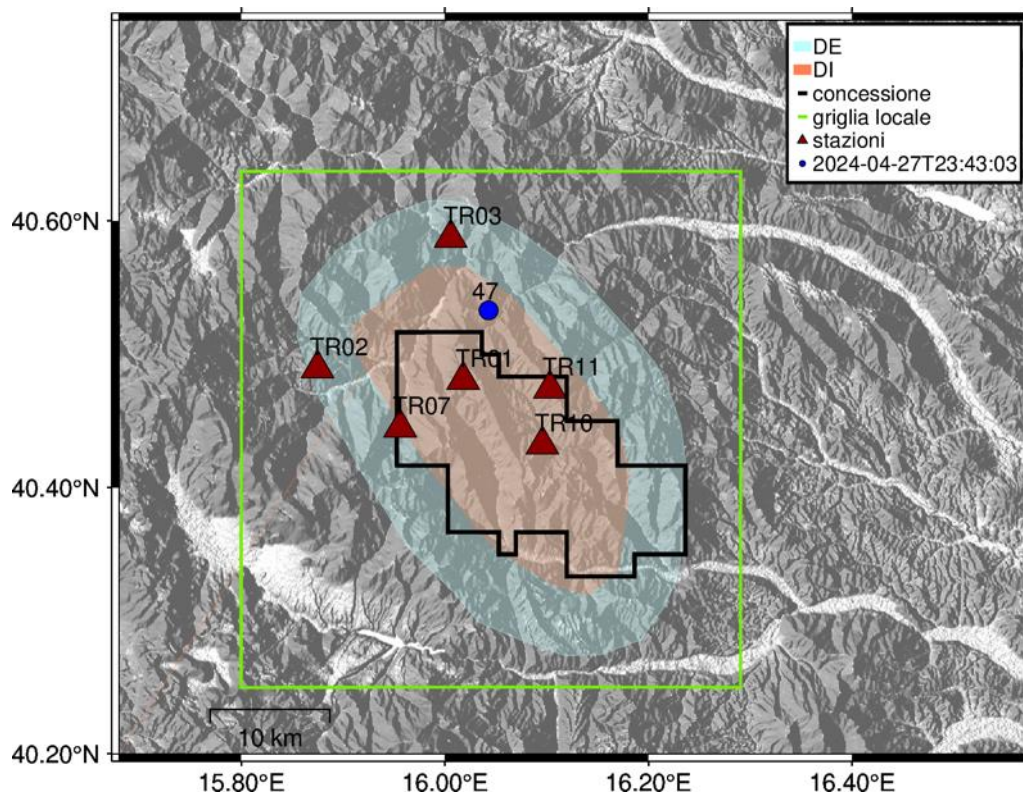


Figura 102 - stazioni utilizzate per la localizzazione, epicentro dell'evento 27/04/2024 23:43:03 UTC localizzato a profondità 1.91 km

In Figura 103 sono mostrati i segnali acquisiti dalle stazioni usate per la localizzazione dell'evento 47: dall'alto verso il basso, componente Z, N, E

2024-04-27T23:43:03

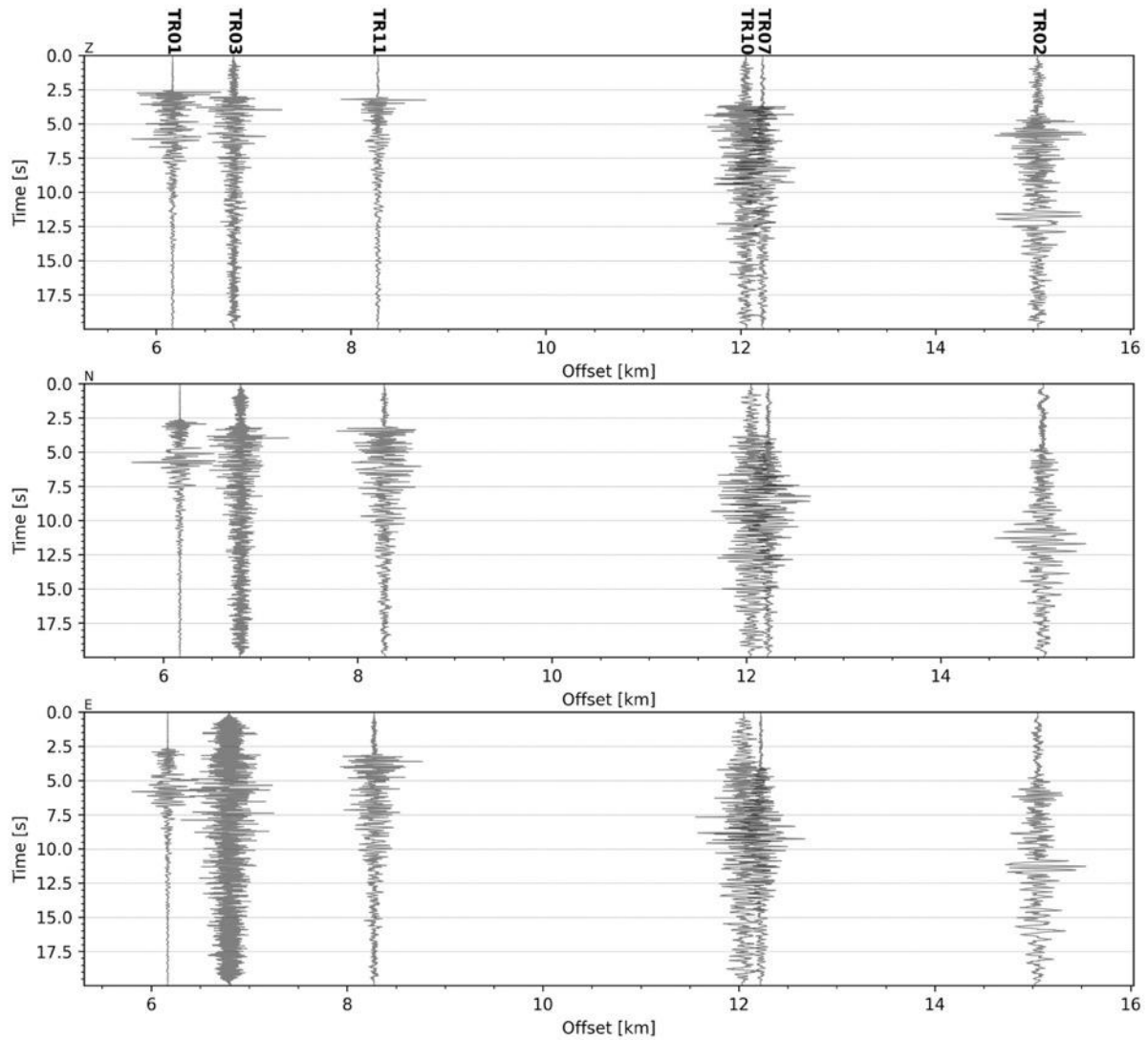


Figura 103 - forme d'onda (segnale raw filtrato) dell'evento 47, registrate dalle stazioni utilizzate per la localizzazione. Dall'alto, componenti Z, N, E.

Evento 48: 13/05/2024 12:11:08 UTC

Id	Tempo Origine [aa/mm/gg hh:mm:ss UTC]	Lat. [°]	Long. [°]	Profondità [km]	RMS [s]	M _i
48	2024-05-13 12:11:08	40.516	16.160	15.44	0.066	0.33±0.30

In Figura 104 sono mostrate le stazioni utilizzate per la localizzazione dell'evento sismico, l'epicentro e i limiti dei Domini di rilevazione e della Concessione.

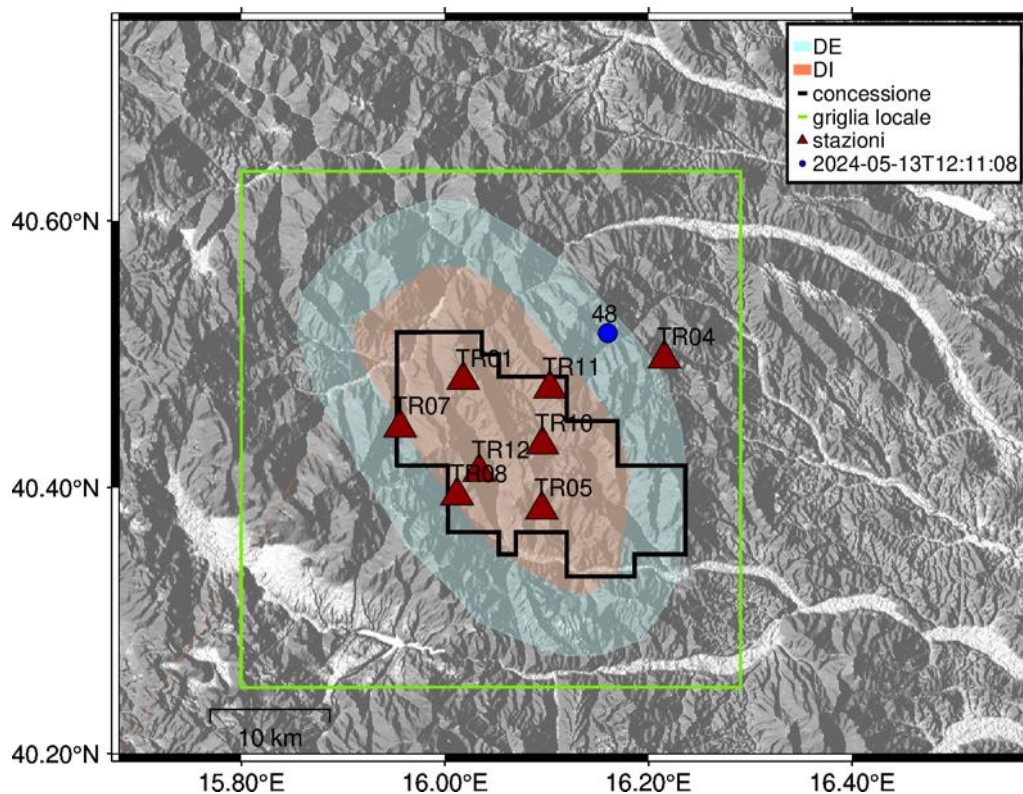


Figura 104 - stazioni utilizzate per la localizzazione, epicentro dell'evento del 13/05/2024 12:11:08 UTC localizzato a profondità 15.44 km

In Figura 105 sono mostrati i segnali acquisiti dalle stazioni usate per la localizzazione dell'evento 48: dall'alto verso il basso, componente Z, N, E

2024-05-13T12:11:08

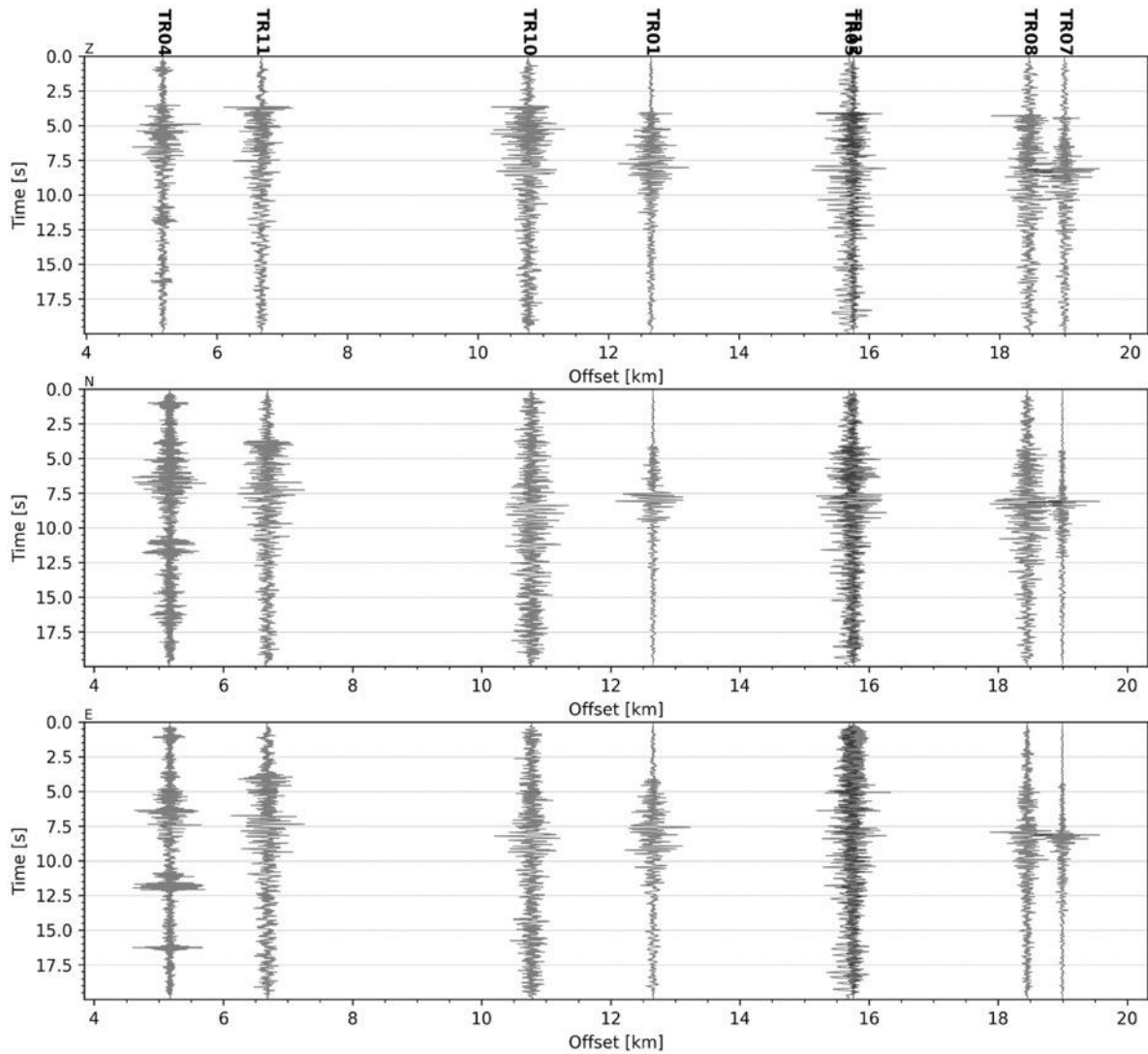


Figura 105 - forme d'onda (segnale raw filtrato) dell'evento 48, registrate dalle stazioni utilizzate per la localizzazione. Dall'alto, componenti Z, N, E.

Evento 49: 20/05/2024 02:05:00 UTC

Id	Tempo Origine [aa/mm/gg hh:mm:ss UTC]	Lat. [°]	Long. [°]	Profondità [km]	RMS [s]	M _i
49	2024-05-20 02:05:00	40.454	16.109	4.91	0.065	0.04±0.18

In Figura 106 sono mostrate le stazioni utilizzate per la localizzazione dell'evento sismico, l'epicentro e i limiti dei Domini di rilevazione e della Concessione.

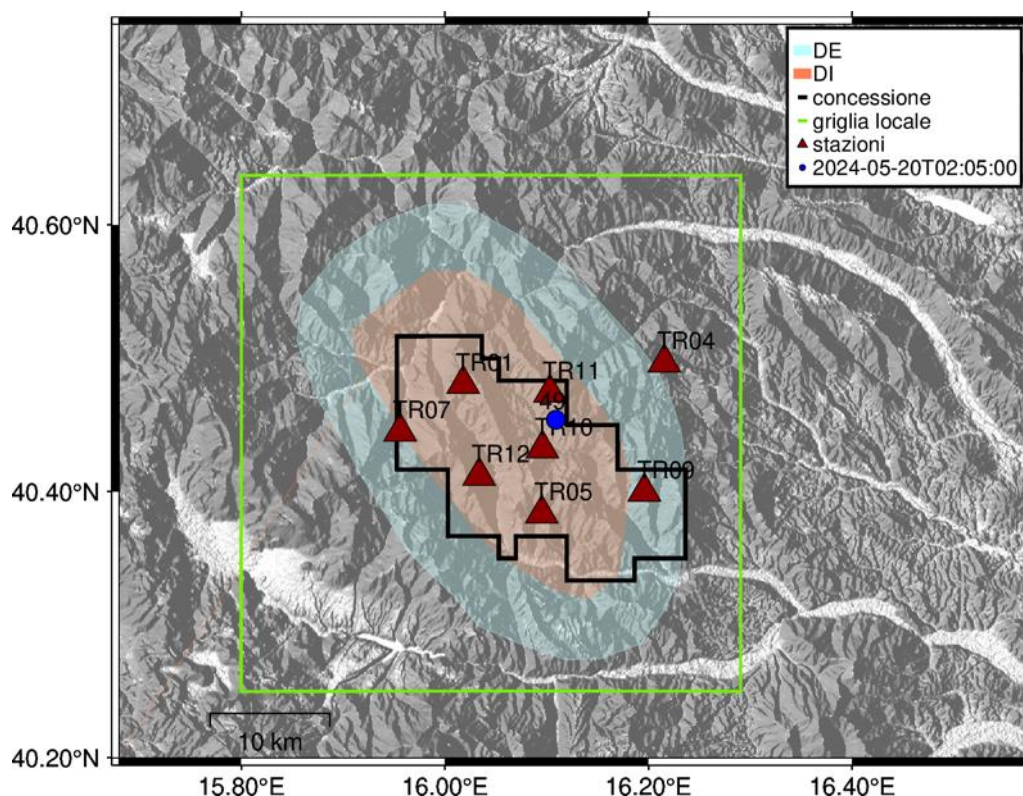


Figura 106 - stazioni utilizzate per la localizzazione, epicentro dell'evento del 20/05/2024 02:05:00 UTC localizzato a profondità 4.91 km

In Figura 107 sono mostrati i segnali acquisiti dalle stazioni usate per la localizzazione dell'evento 49: dall'alto verso il basso, componente Z, N, E

2024-05-20T02:05:00

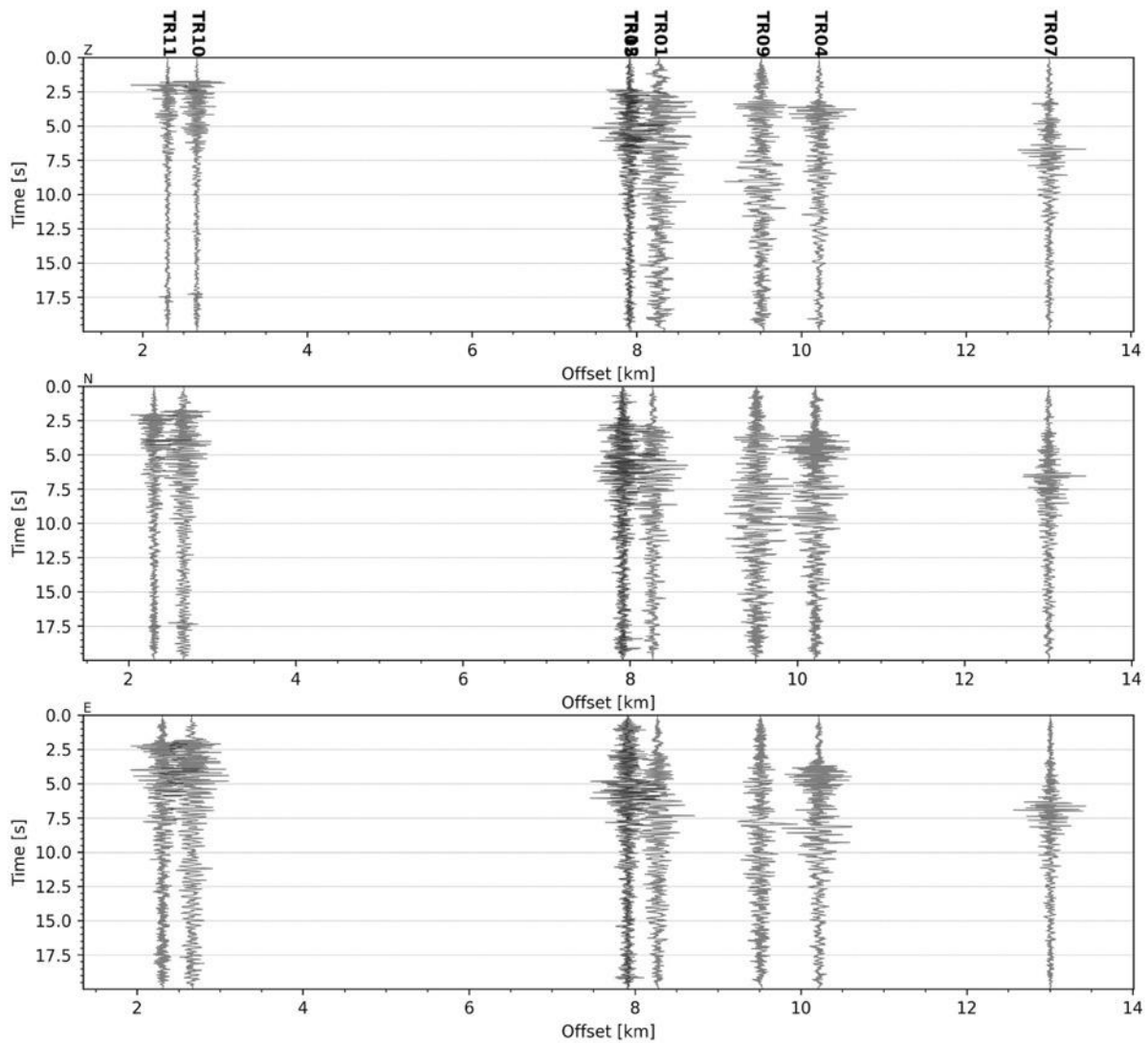


Figura 107 - forme d'onda (segnale raw filtrato) dell'evento 49, registrate dalle stazioni utilizzate per la localizzazione. Dall'alto, componenti Z, N, E.

Evento 50: 26/05/2024 12:46:25 UTC

Id	Tempo Origine [aa/mm/gg hh:mm:ss UTC]	Lat. [°]	Long. [°]	Profondità [km]	RMS [s]	M _i
50	2024-05-26 12:46:25	40.525	16.154	14.44	0.071	0.77±0.25

In Figura 108 sono mostrate le stazioni utilizzate per la localizzazione dell'evento sismico, l'epicentro e i limiti dei Domini di rilevazione e della Concessione.

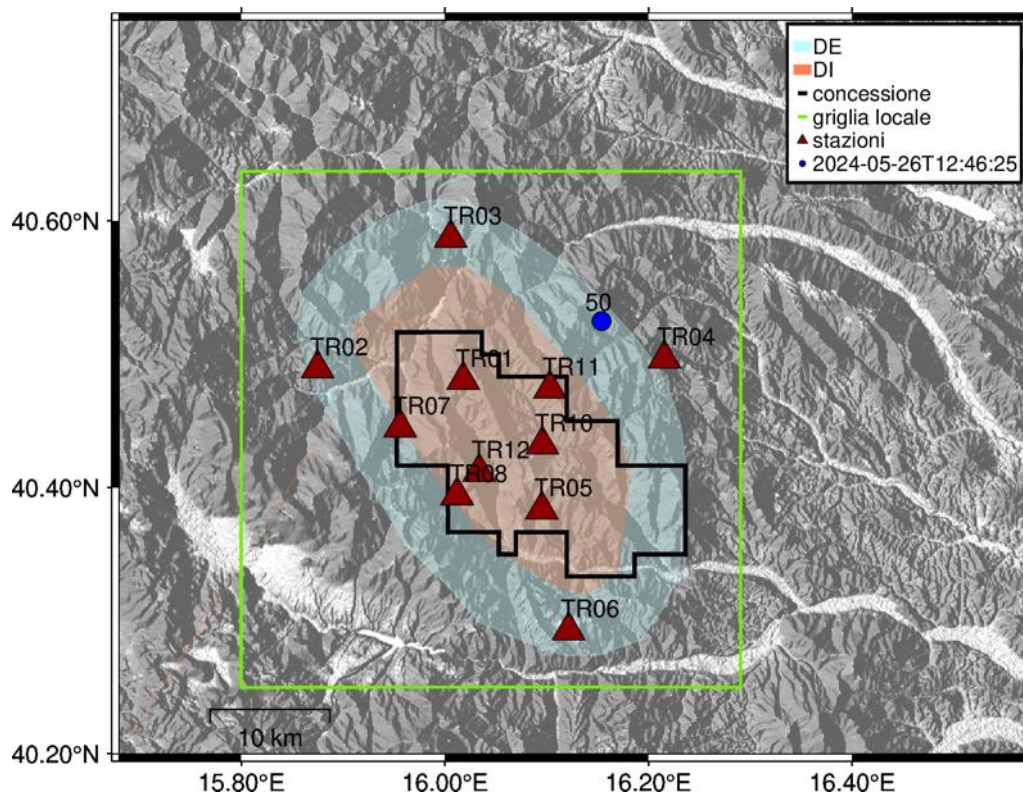


Figura 108 - stazioni utilizzate per la localizzazione, epicentro dell'evento del 26/05/2024 12:46:25 UTC localizzato a profondità 14.44 km

In Figura 109 sono mostrati i segnali acquisiti dalle stazioni usate per la localizzazione dell'evento 50: dall'alto verso il basso, componente Z, N, E

2024-05-26T12:46:25

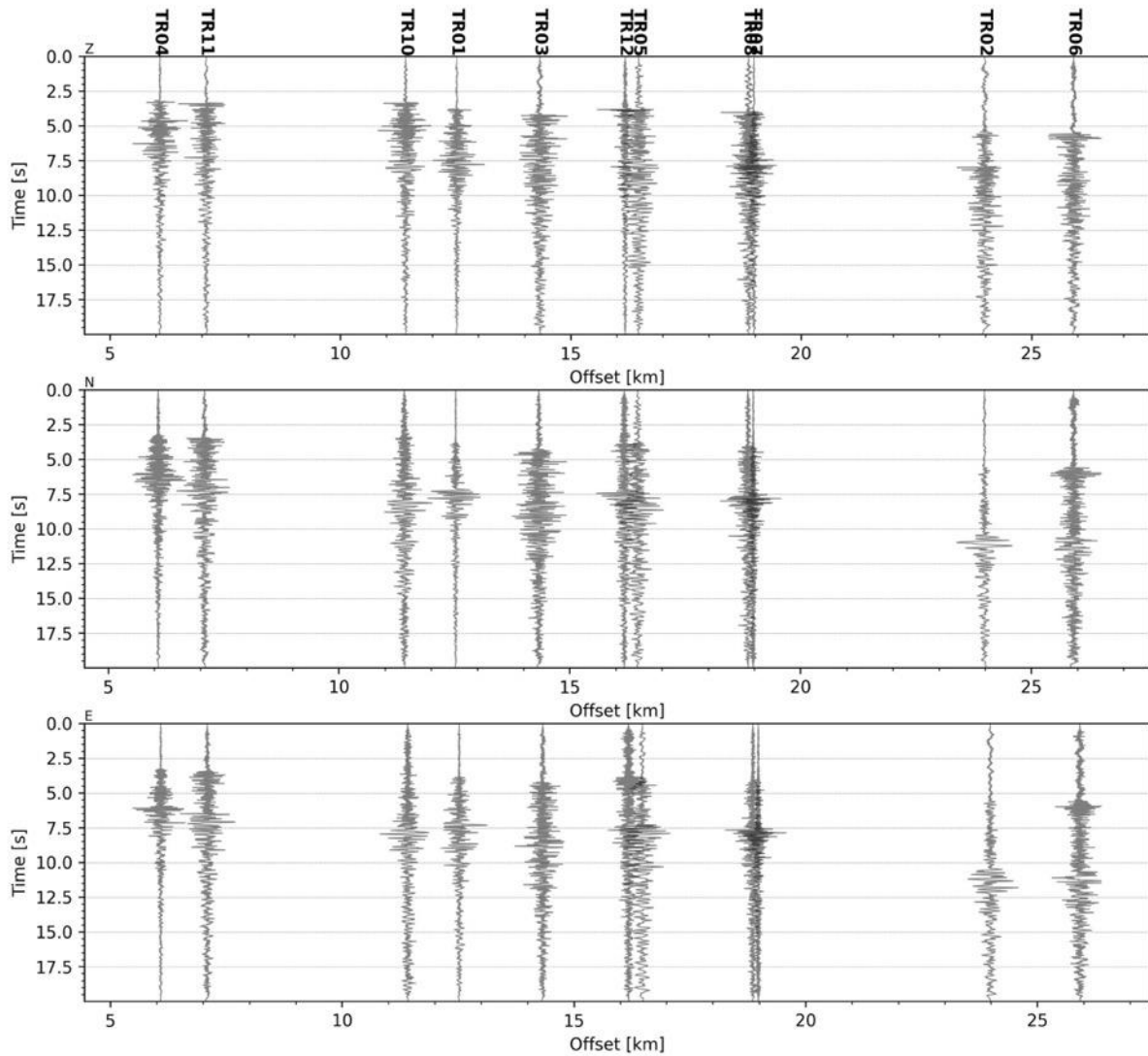


Figura 109 - forme d'onda (segnale raw filtrato) dell'evento 50, registrate dalle stazioni utilizzate per la localizzazione. Dall'alto, componenti Z, N, E.

Evento 51: 26/05/2024 12:50:36 UTC

Id	Tempo Origine [aa/mm/gg hh:mm:ss UTC]	Lat. [°]	Long. [°]	Profondità [km]	RMS [s]	M _i
51	2024-05-26 12:50:36	40.528	16.155	14.91	0.069	0.76±0.12

In Figura 110 sono mostrate le stazioni utilizzate per la localizzazione dell'evento sismico, l'epicentro e i limiti dei Domini di rilevazione e della Concessione.

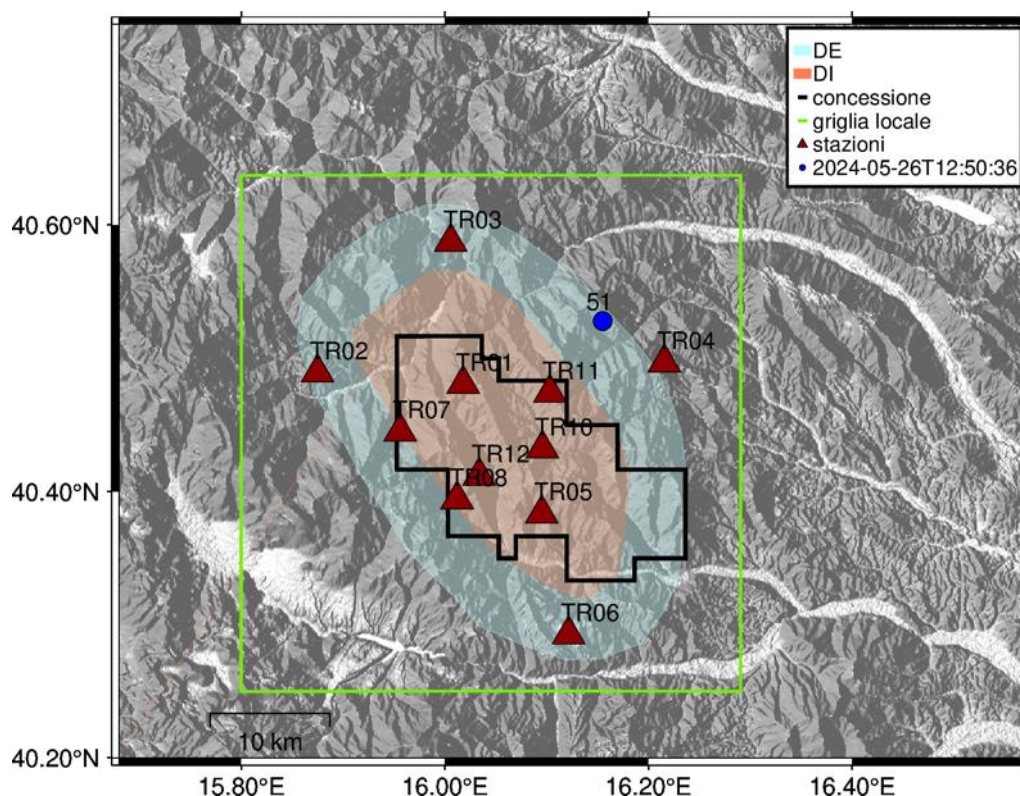


Figura 110 - stazioni utilizzate per la localizzazione, epicentro dell'evento del 26/05/2024 12:50:36 UTC localizzato a profondità 14.91 km

In Figura 111 sono mostrati i segnali acquisiti dalle stazioni usate per la localizzazione dell'evento 51: dall'alto verso il basso, componente Z, N, E

2024-05-26T12:50:36

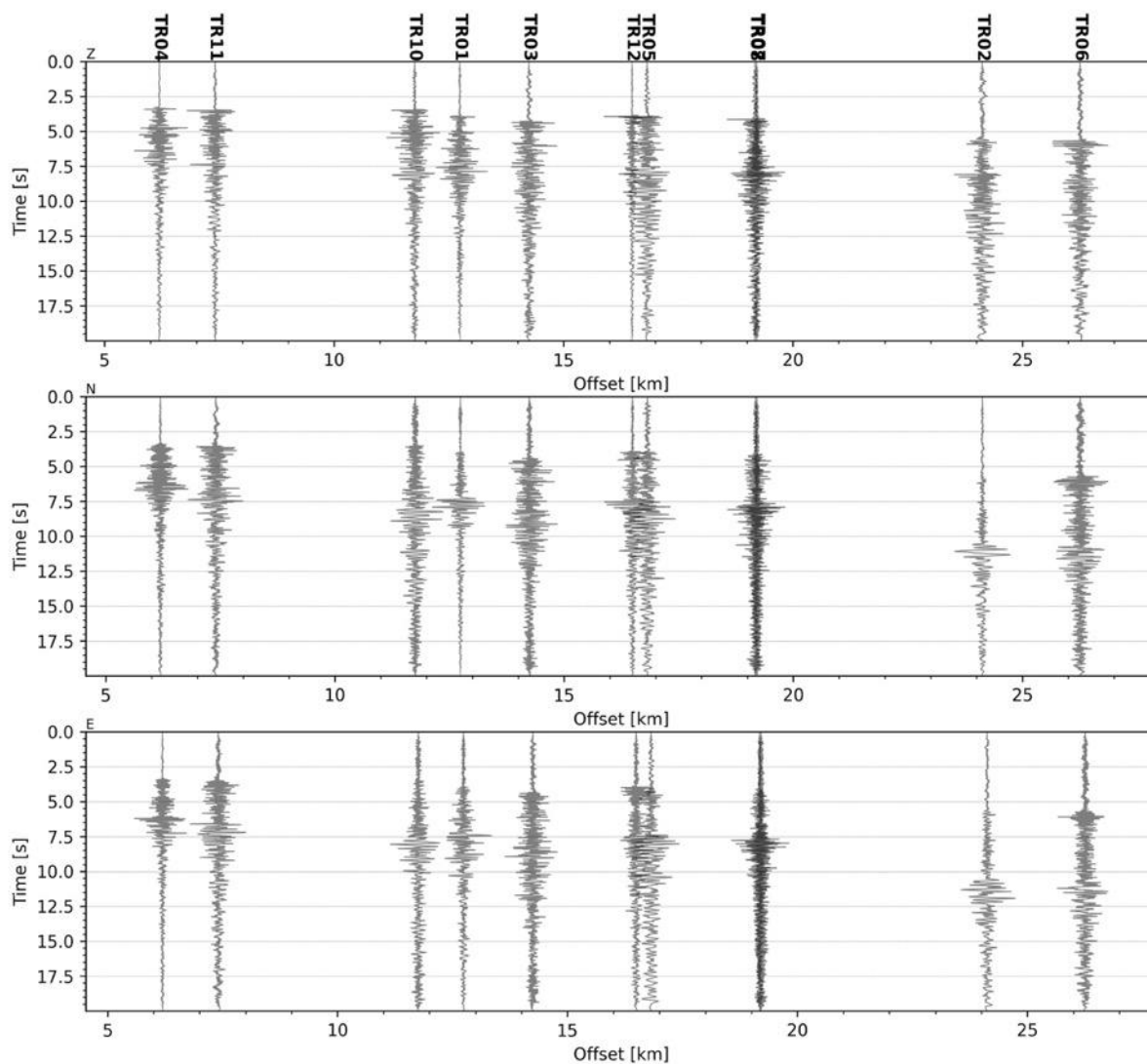


Figura 111 - forme d'onda (segnale raw filtrato) dell'evento 51, registrate dalle stazioni utilizzate per la localizzazione. Dall'alto, componenti Z, N, E.

Evento 52: 26/05/2024 13:05:12 UTC

Id	Tempo Origine [aa/mm/gg hh:mm:ss UTC]	Lat. [°]	Long. [°]	Profondità [km]	RMS [s]	M _i
52	2024-05-26 13:05:12	40.525	16.150	15.11	0.064	1.42±0.13

In Figura 112 sono mostrate le stazioni utilizzate per la localizzazione dell'evento sismico, l'epicentro e i limiti dei Domini di rilevazione e della Concessione.

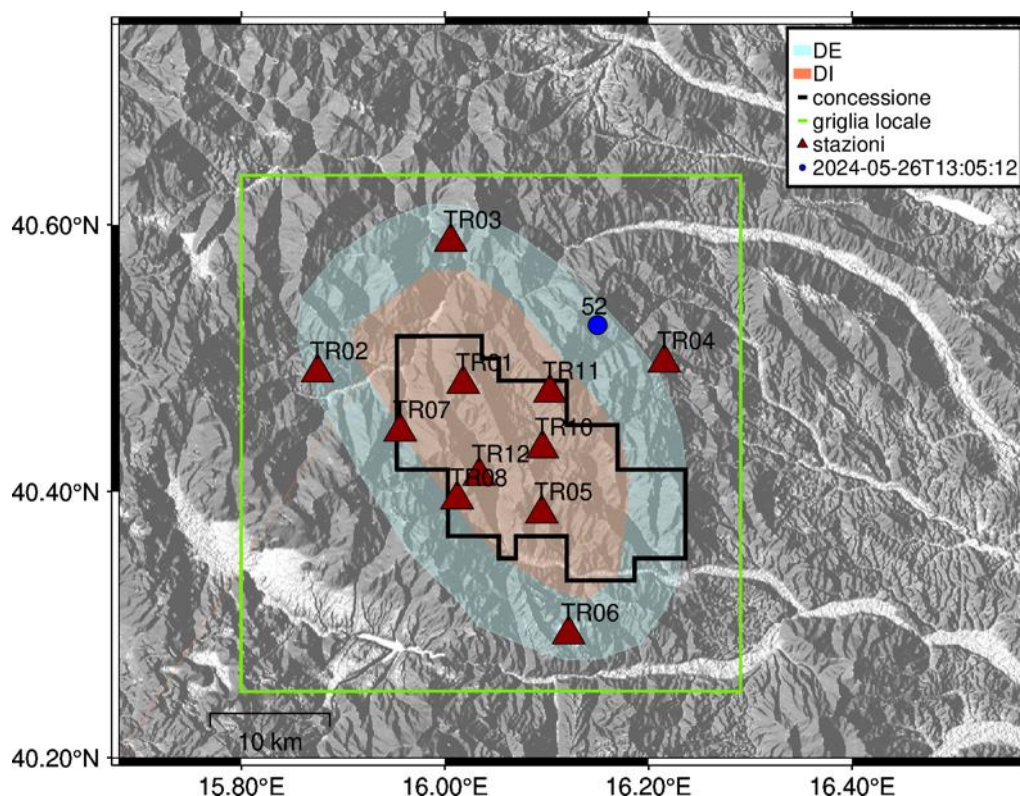


Figura 112 - stazioni utilizzate per la localizzazione, epicentro dell'evento del 26/05/2024 26 13:05:12 UTC localizzato a profondità 15.11 km

In Figura 113 sono mostrati i segnali acquisiti dalle stazioni usate per la localizzazione dell'evento 52: dall'alto verso il basso, componente Z, N, E

2024-05-26T13:05:12

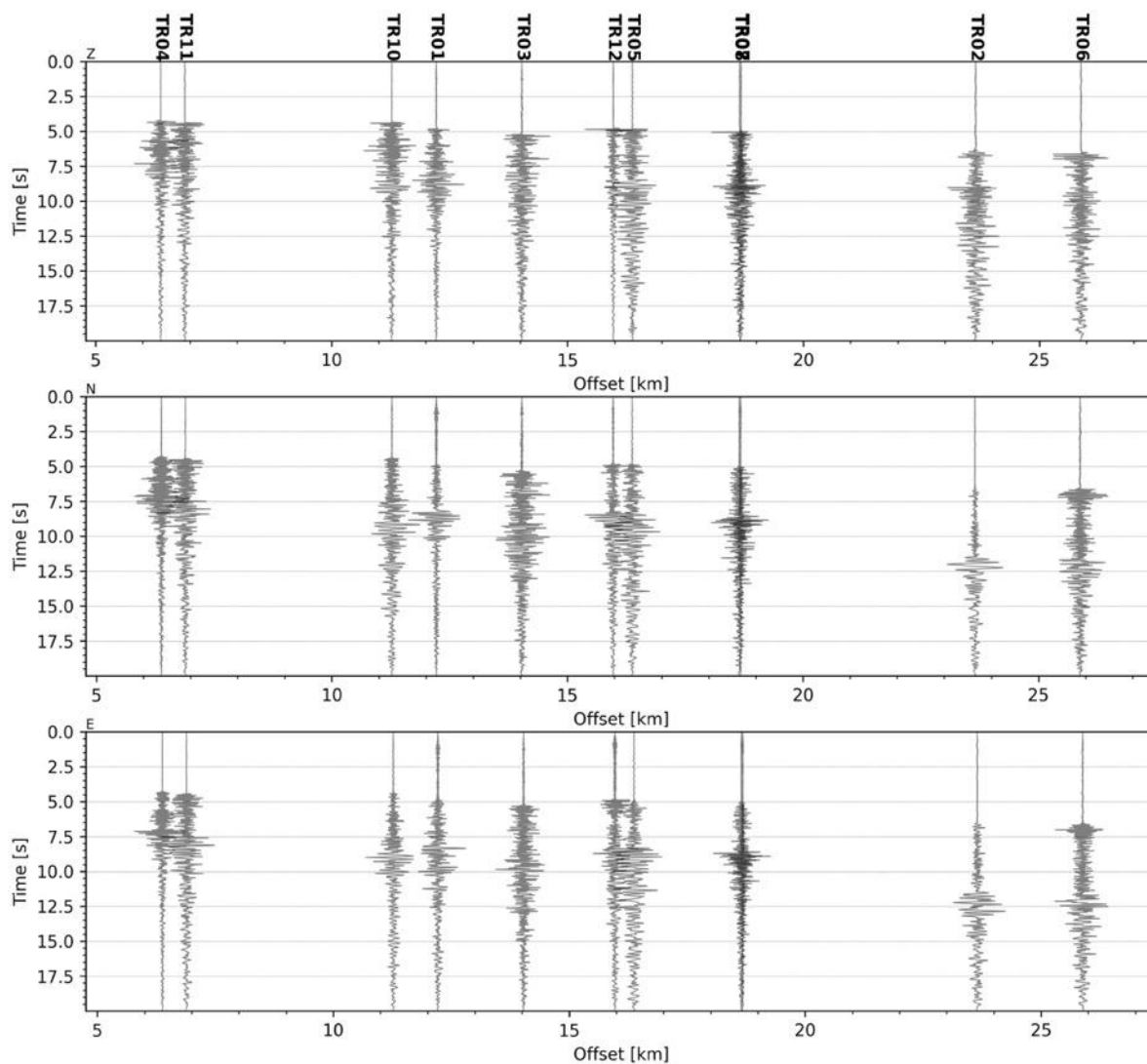


Figura 113 - forme d'onda (segnale raw filtrato) dell'evento 52, registrate dalle stazioni utilizzate per la localizzazione. Dall'alto, componenti Z, N, E.

Evento 53: 26/05/2024 13:10:08 UTC

Id	Tempo Origine [aa/mm/gg hh:mm:ss UTC]	Lat. [°]	Long. [°]	Profondità [km]	RMS [s]	M _i
53	2024-05-26 13:10:08	40.526	16.154	14.92	0.060	1.06±0.13

In Figura 114 sono mostrate le stazioni utilizzate per la localizzazione dell'evento sismico, l'epicentro e i limiti dei Domini di rilevazione e della Concessione.

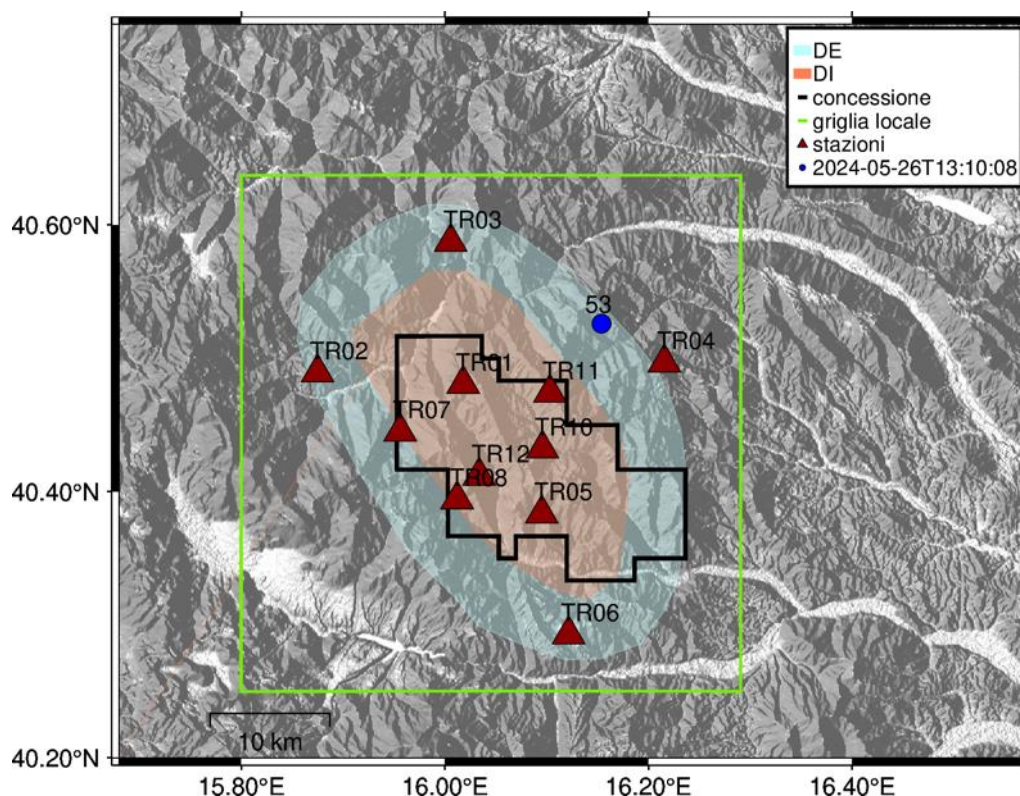


Figura 114 - stazioni utilizzate per la localizzazione, epicentro dell'evento del 26/05/2024 13:10:08 UTC localizzato a profondità 14.92 km

In Figura 115 sono mostrati i segnali acquisiti dalle stazioni usate per la localizzazione dell'evento 53: dall'alto verso il basso, componente Z, N, E

2024-05-26T13:10:08

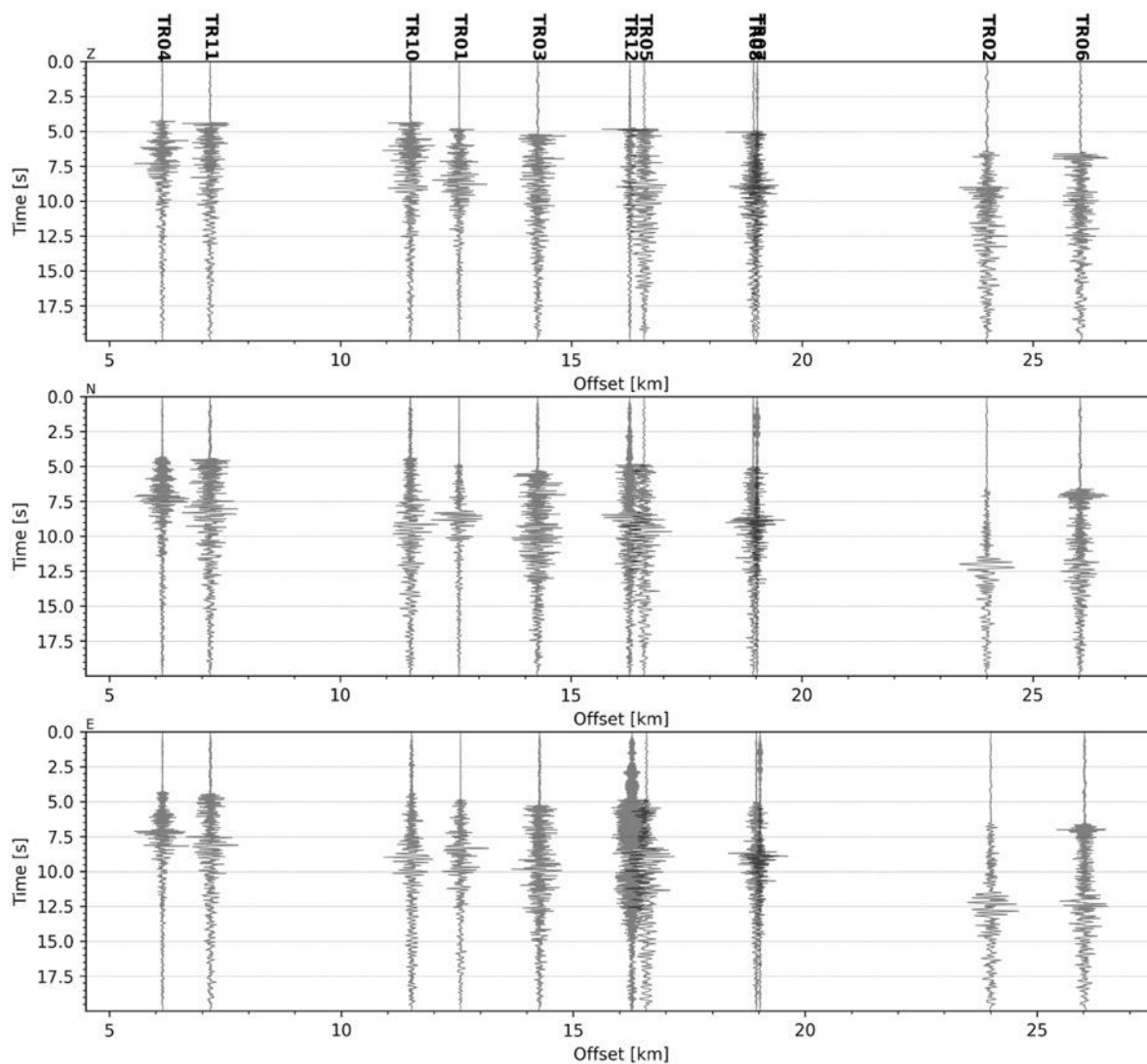


Figura 115 - forme d'onda (segnale raw filtrato) dell'evento 53, registrate dalle stazioni utilizzate per la localizzazione. Dall'alto, componenti Z, N, E.

Evento 54: 26/05/2024 13:15:49 UTC

Id	Tempo Origine [aa/mm/gg hh:mm:ss UTC]	Lat. [°]	Long. [°]	Profondità [km]	RMS [s]	M _i
54	2024-05-26 13:15:49	40.522	16.144	14.70	0.044	2.83±0.14

In Figura 116 sono mostrate le stazioni utilizzate per la localizzazione dell'evento sismico, l'epicentro e i limiti dei Domini di rilevazione e della Concessione.

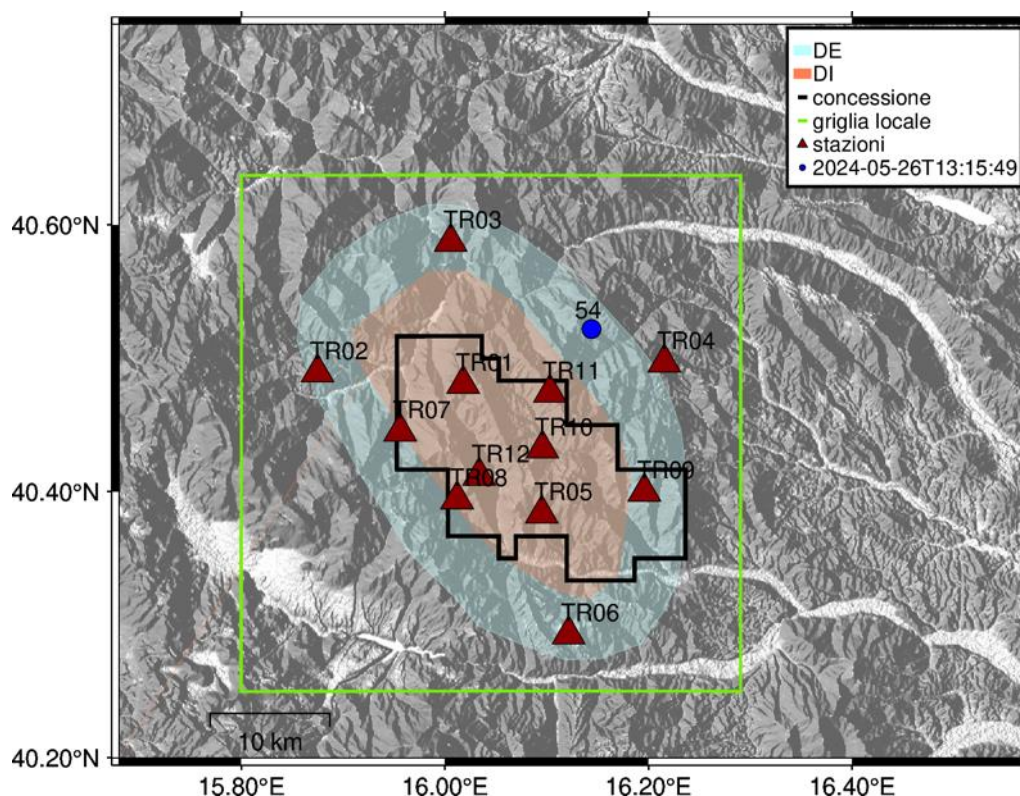


Figura 116 - stazioni utilizzate per la localizzazione, epicentro dell'evento del 26/05/2024 13:15:49 UTC localizzato a profondità 14.70 km

In Figura 117 sono mostrati i segnali acquisiti dalle stazioni usate per la localizzazione dell'evento 54: dall'alto verso il basso, componente Z, N, E

2024-05-26T13:15:49

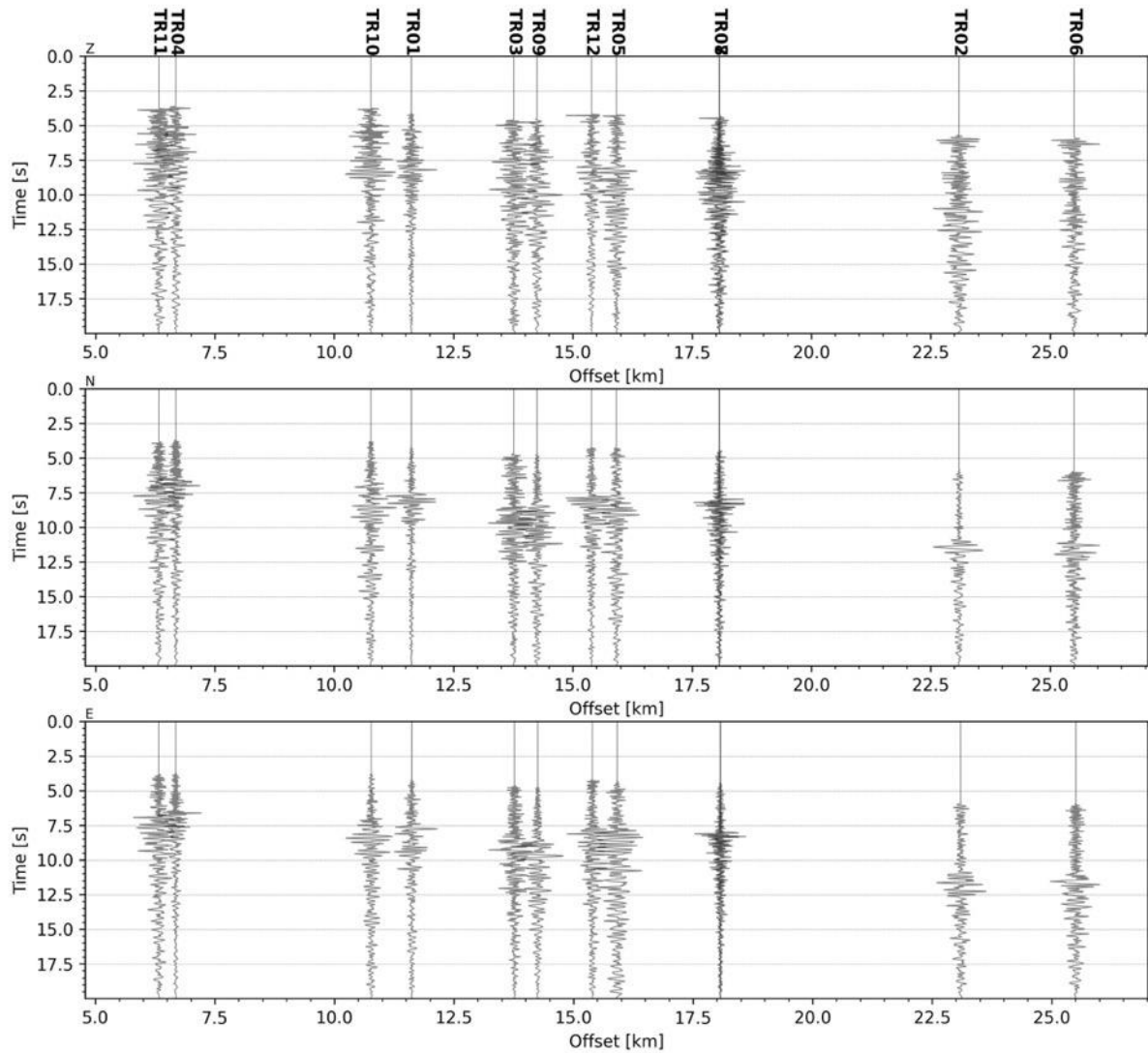


Figura 117 - forme d'onda (segnale raw filtrato) dell'evento 54, registrate dalle stazioni utilizzate per la localizzazione. Dall'alto, componenti Z, N, E.

Evento 55: 26/05/2024 13:18:49 UTC

Id	Tempo Origine [aa/mm/gg hh:mm:ss UTC]	Lat. [°]	Long. [°]	Profondità [km]	RMS [s]	M _i
55	2024-05-26 13:18:49	40.525	16.148	14.09	0.060	0.52±0.15

In Figura 118 sono mostrate le stazioni utilizzate per la localizzazione dell'evento sismico, l'epicentro e i limiti dei Domini di rilevazione e della Concessione.

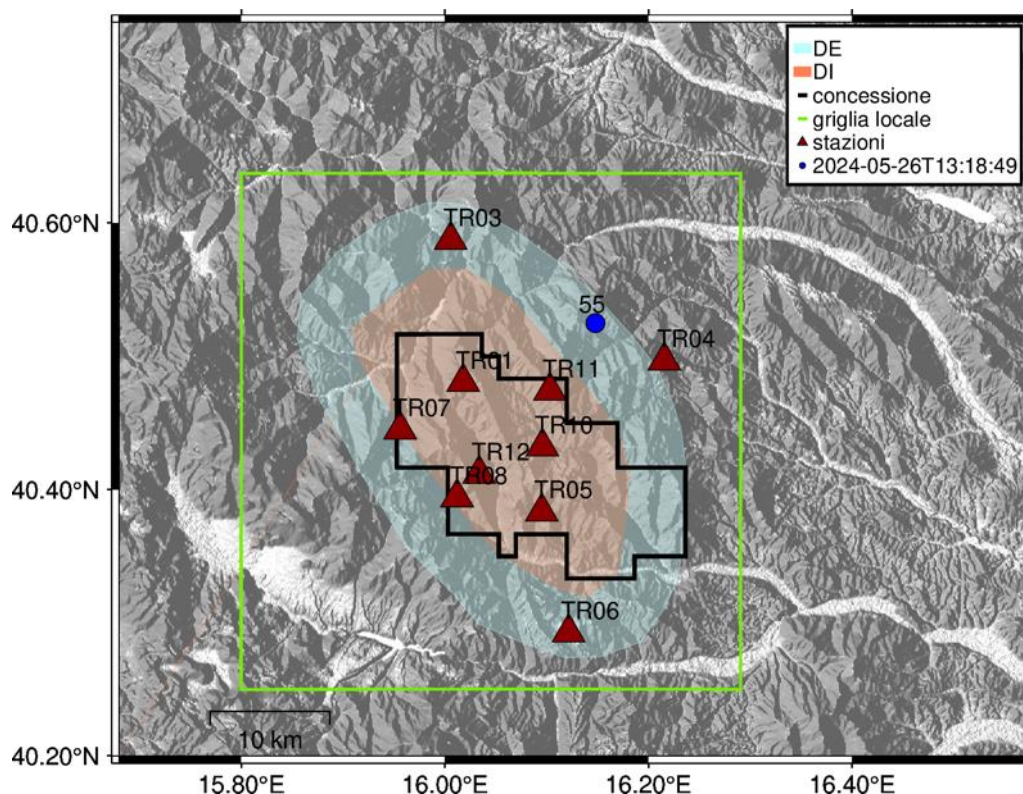


Figura 118 - stazioni utilizzate per la localizzazione, epicentro dell'evento del 26/05/2024 13:18:49 UTC localizzato a profondità 14.09 km

In Figura 119 sono mostrati i segnali acquisiti dalle stazioni usate per la localizzazione dell'evento 55: dall'alto verso il basso, componente Z, N, E

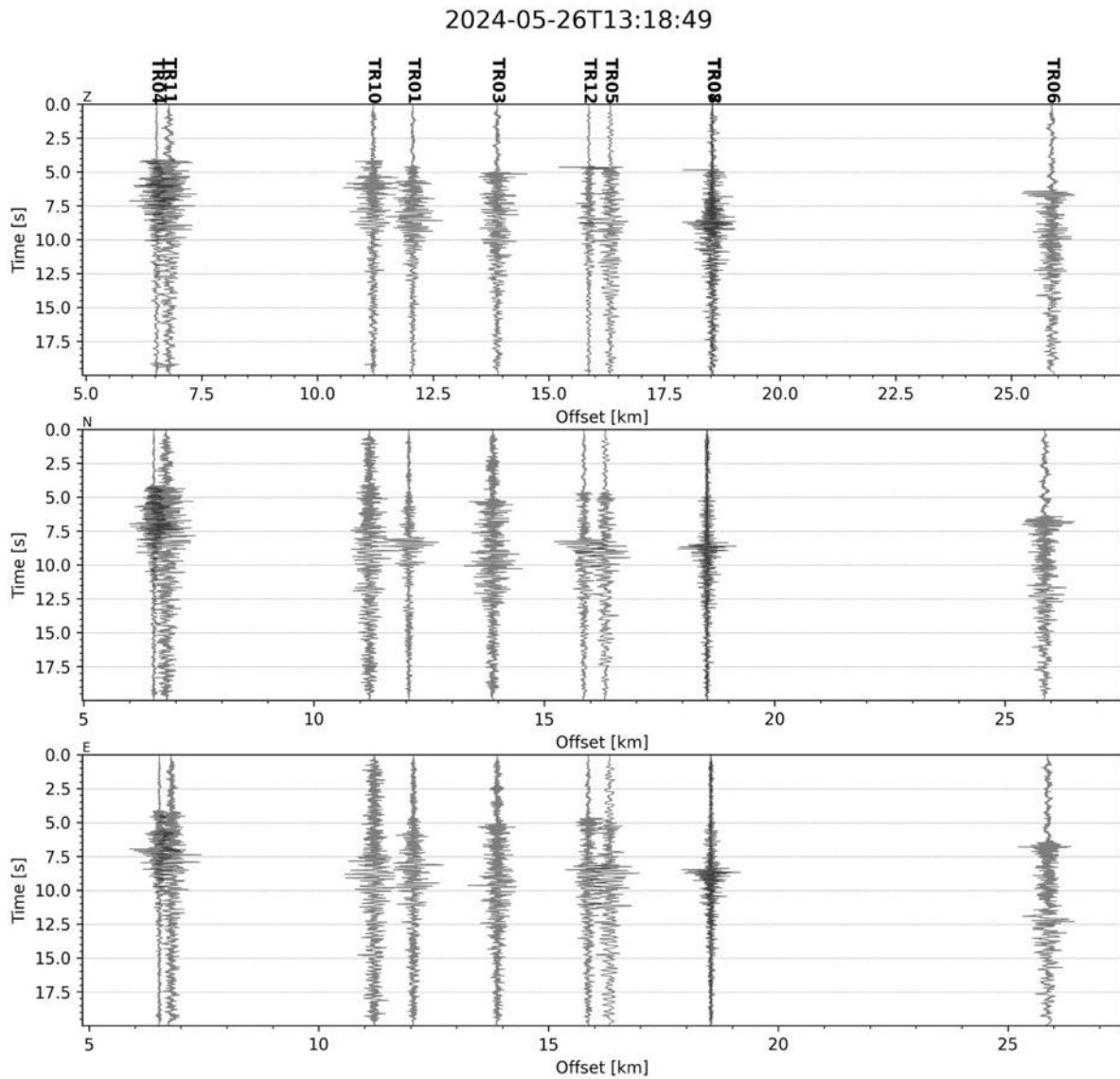


Figura 119 - forme d'onda (segnale raw filtrato) dell'evento 55, registrate dalle stazioni utilizzate per la localizzazione. Dall'alto, componenti Z, N, E.

Evento 56: 26/05/2024 13:20:55 UTC

Id	Tempo Origine [aa/mm/gg hh:mm:ss UTC]	Lat. [°]	Long. [°]	Profondità [km]	RMS [s]	M _i
56	2024-05-26 13:20:55	40.497	16.163	15.56	0.065	0.05±0.29

In Figura 120 sono mostrate le stazioni utilizzate per la localizzazione dell'evento sismico, l'epicentro e i limiti dei Domini di rilevazione e della Concessione.

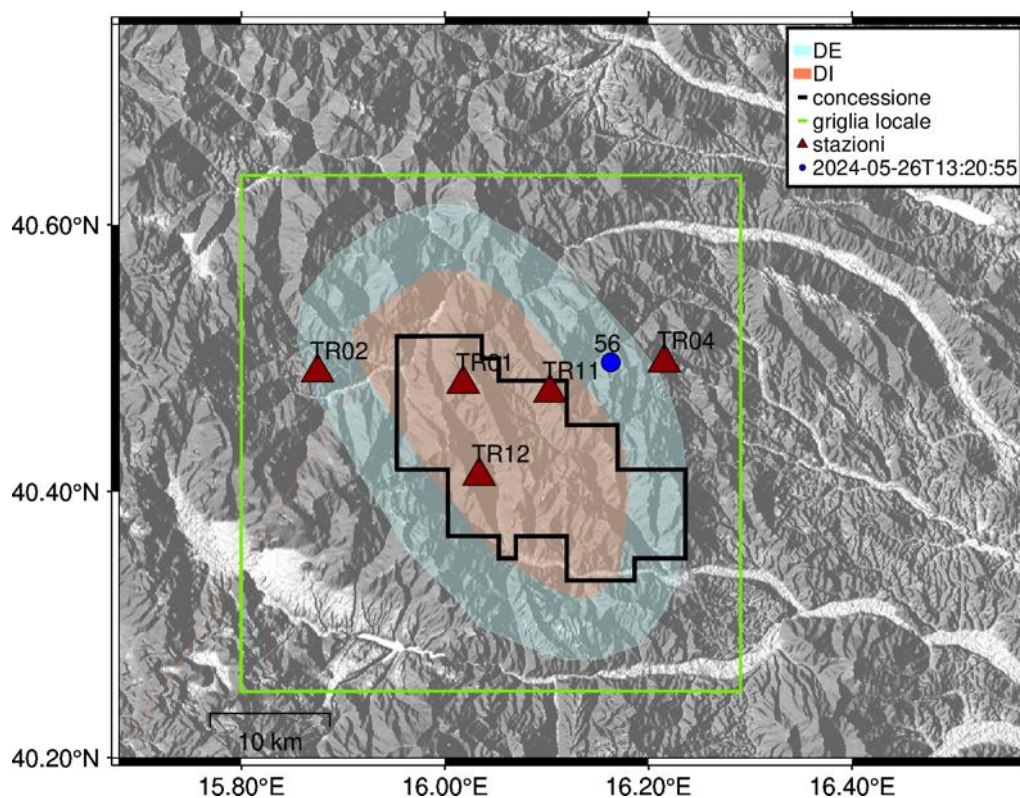


Figura 120 - stazioni utilizzate per la localizzazione, epicentro dell'evento del 26/05/2024 13:20:55 UTC localizzato a profondità 15.56km

In Figura 121 sono mostrati i segnali acquisiti dalle stazioni usate per la localizzazione dell'evento 56: dall'alto verso il basso, componente Z, N, E

2024-05-26T13:20:55

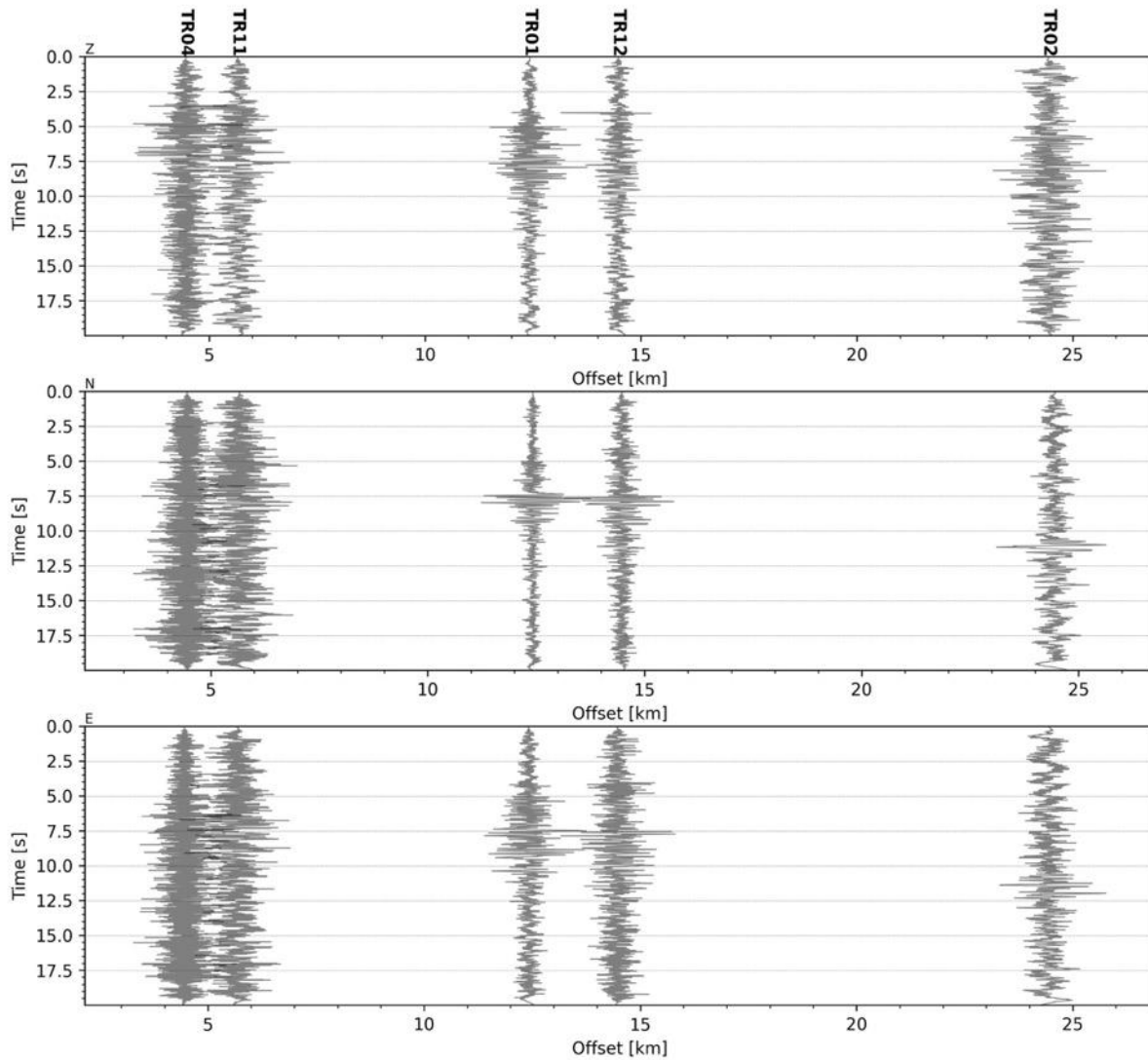


Figura 121 - forme d'onda (segnale raw filtrato) dell'evento 56, registrate dalle stazioni utilizzate per la localizzazione. Dall'alto, componenti Z, N, E.

Evento 57: 26/05/2024 13:23:19 UTC

Id	Tempo Origine [aa/mm/gg hh:mm:ss UTC]	Lat. [°]	Long. [°]	Profondità [km]	RMS [s]	M _i
57	2024-05-26 13:23:19	40.525	16.148	14.03	0.053	0.57±0.11

In Figura 122 sono mostrate le stazioni utilizzate per la localizzazione dell'evento sismico, l'epicentro e i limiti dei Domini di rilevazione e della Concessione.

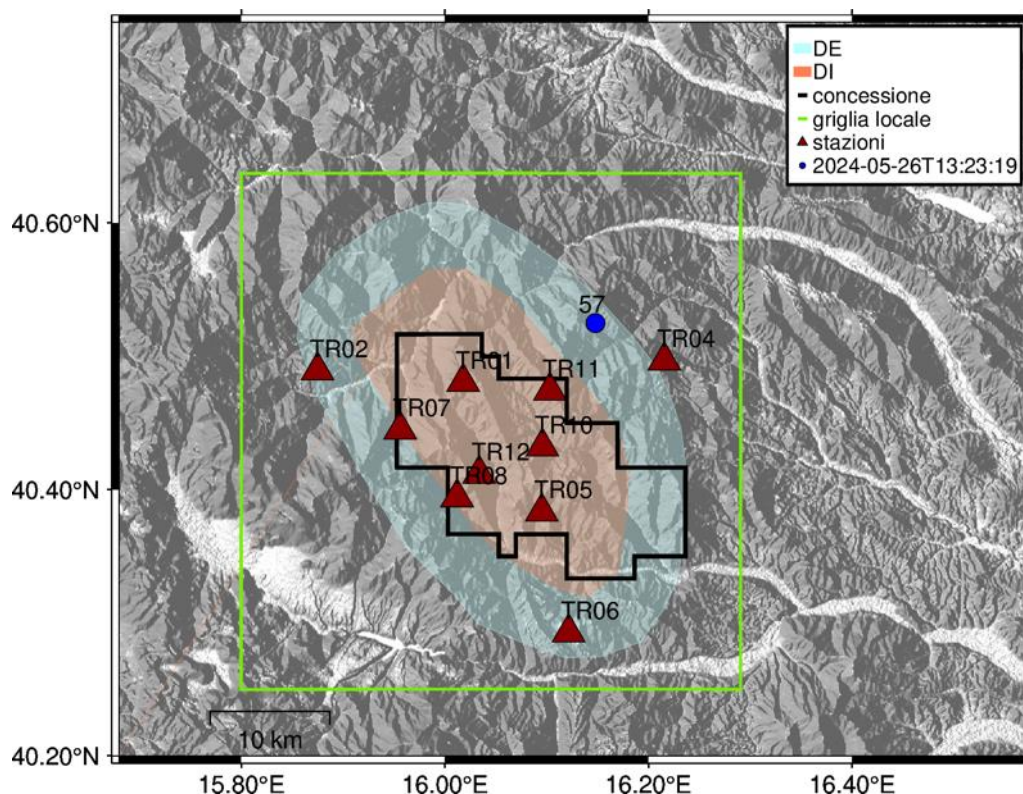


Figura 122 - stazioni utilizzate per la localizzazione, epicentro dell'evento del 26/05/2024 13:23:19 UTC localizzato a profondità 14.03 km

In Figura 123 sono mostrati i segnali acquisiti dalle stazioni usate per la localizzazione dell'evento 57: dall'alto verso il basso, componente Z, N, E

2024-05-26T13:23:19

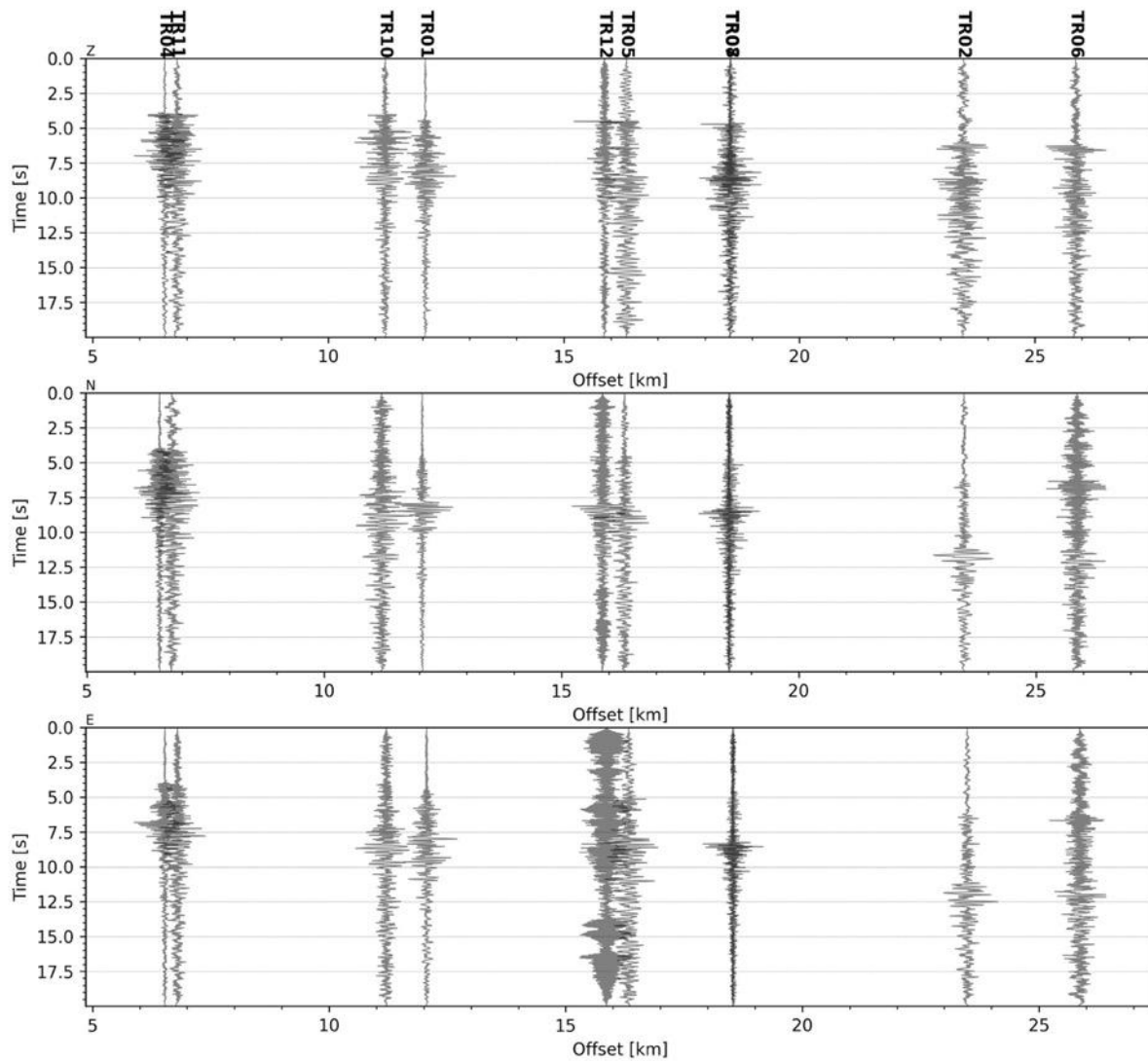


Figura 123 - forme d'onda (segnale raw filtrato) dell'evento 57, registrate dalle stazioni utilizzate per la localizzazione. Dall'alto, componenti Z, N, E.

Evento 58: 26/05/2024 13:26:31 UTC

Id	Tempo Origine [aa/mm/gg hh:mm:ss UTC]	Lat. [°]	Long. [°]	Profondità [km]	RMS [s]	M _i
58	2024-05-26 13:26:31	40.527	16.147	14.16	0.060	0.3±0.18

In Figura 124 sono mostrate le stazioni utilizzate per la localizzazione dell'evento sismico, l'epicentro e i limiti dei Domini di rilevazione e della Concessione.

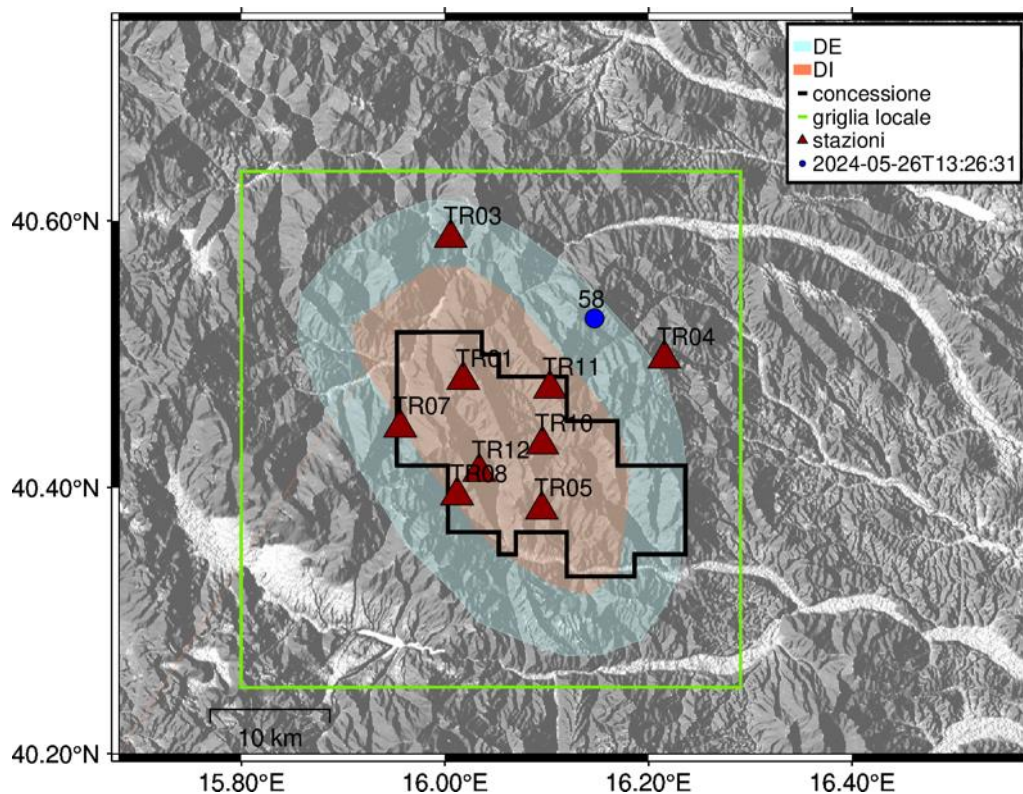


Figura 124 - stazioni utilizzate per la localizzazione, epicentro dell'evento del 26/05/2024 13:26:31 UTC localizzato a profondità 14.16 km

In Figura 125 sono mostrati i segnali acquisiti dalle stazioni usate per la localizzazione dell'evento 58: dall'alto verso il basso, componente Z, N, E

2024-05-26T13:26:31

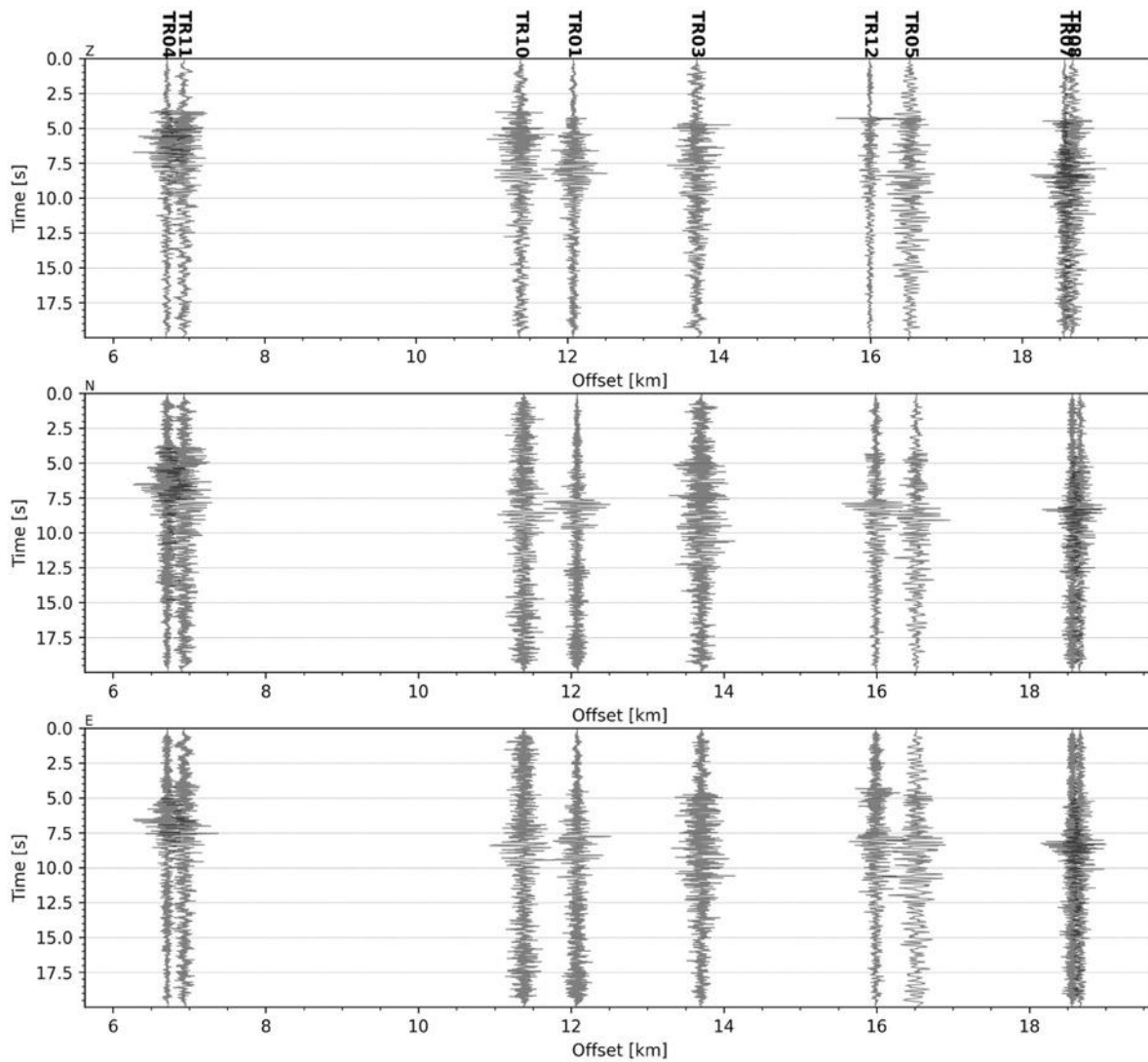


Figura 125 - forme d'onda (segnale raw filtrato) dell'evento 58, registrate dalle stazioni utilizzate per la localizzazione. Dall'alto, componenti Z, N, E.

Evento 59: 26/05/2024 13:27:47 UTC

Id	Tempo Origine [aa/mm/gg hh:mm:ss UTC]	Lat. [°]	Long. [°]	Profondità [km]	RMS [s]	M _i
59	2024-05-26 13:27:47	40.514	16.147	14.19	0.060	0.15±0.18

In Figura 126 sono mostrate le stazioni utilizzate per la localizzazione dell'evento sismico, l'epicentro e i limiti dei Domini di rilevazione e della Concessione.

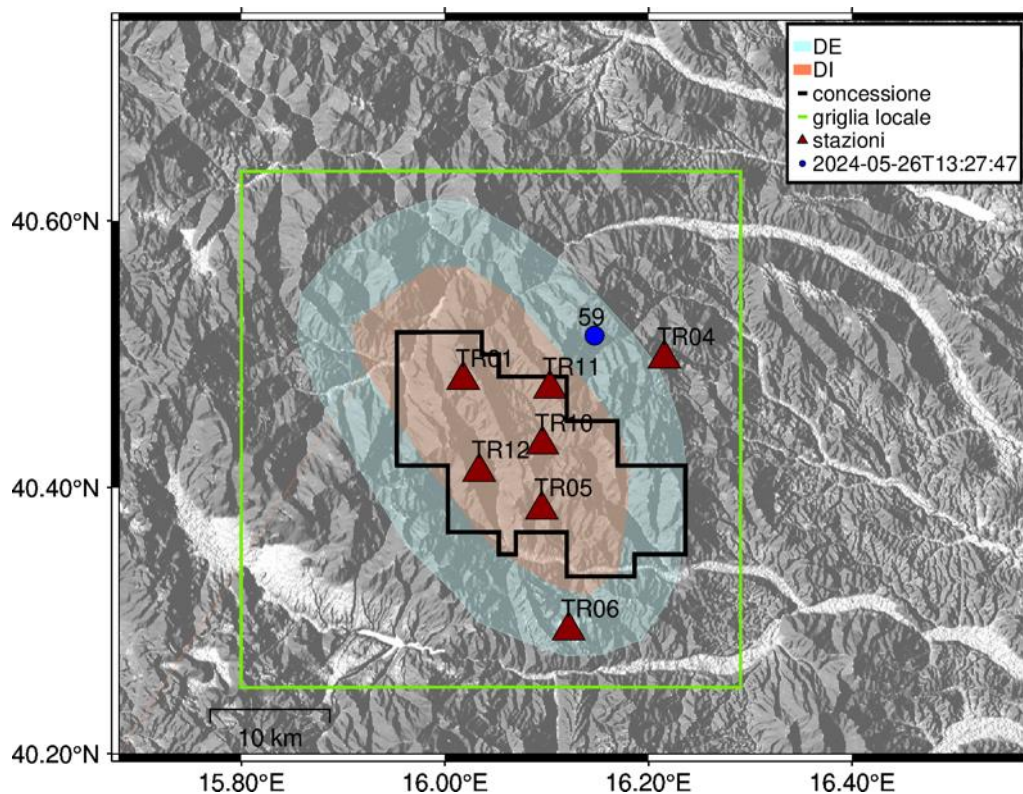


Figura 126 - stazioni utilizzate per la localizzazione, epicentro dell'evento del 26/05/2024 13:27:47 UTC localizzato a profondità 14.19 km

In Figura 127 sono mostrati i segnali acquisiti dalle stazioni usate per la localizzazione dell'evento 59: dall'alto verso il basso, componente Z, N, E

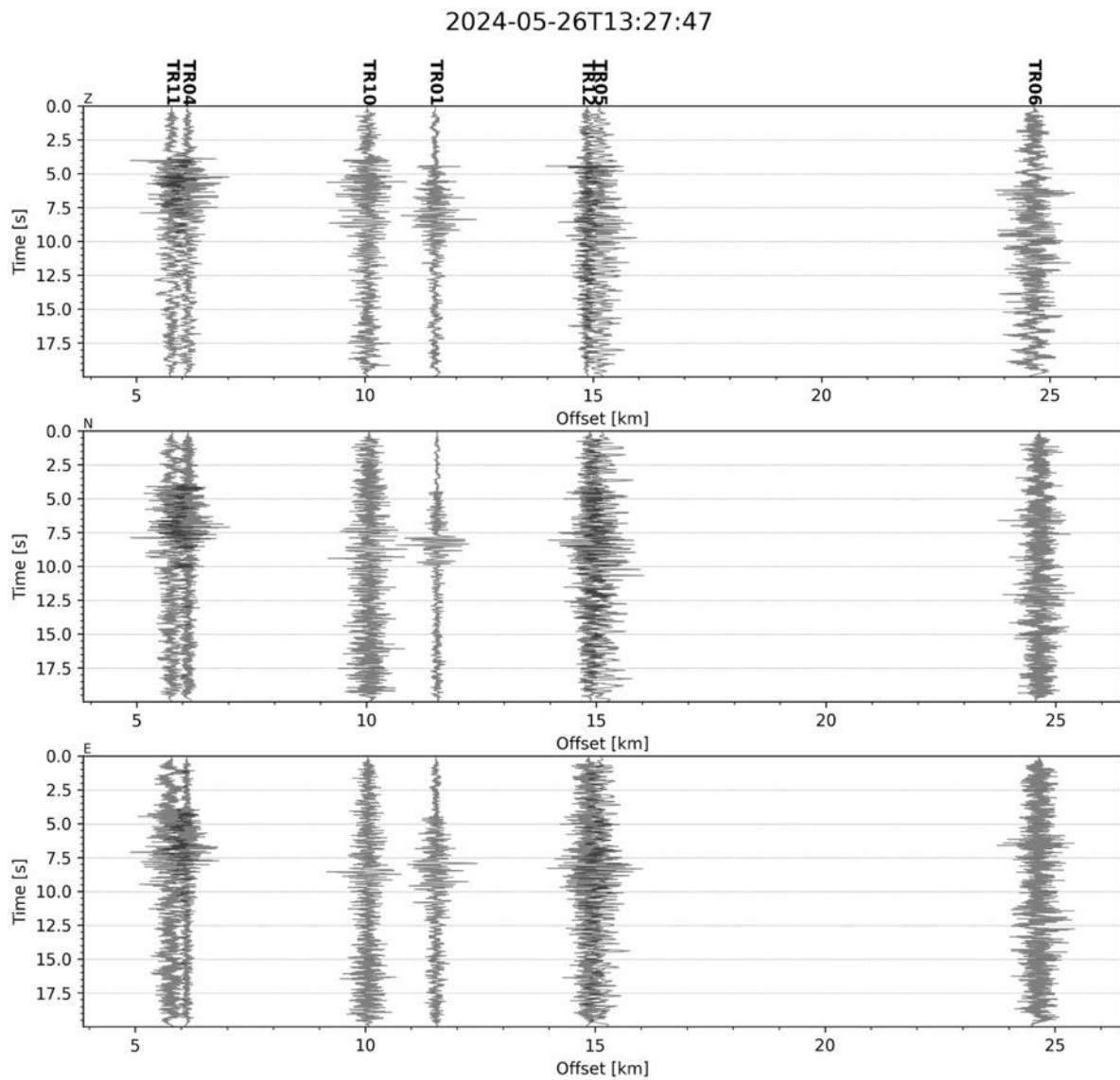


Figura 127 - forme d'onda (segnale raw filtrato) dell'evento 59, registrate dalle stazioni utilizzate per la localizzazione. Dall'alto, componenti Z, N, E.

Evento 60: 26/05/2024 13:29:02 UTC

Id	Tempo Origine [aa/mm/gg hh:mm:ss UTC]	Lat. [°]	Long. [°]	Profondità [km]	RMS [s]	M _i
60	2024-05-26 13:29:02	40.52	16.141	14.41	0.044	2.13±0.13

In Figura 128 sono mostrate le stazioni utilizzate per la localizzazione dell'evento sismico, l'epicentro e i limiti dei Domini di rilevazione e della Concessione.

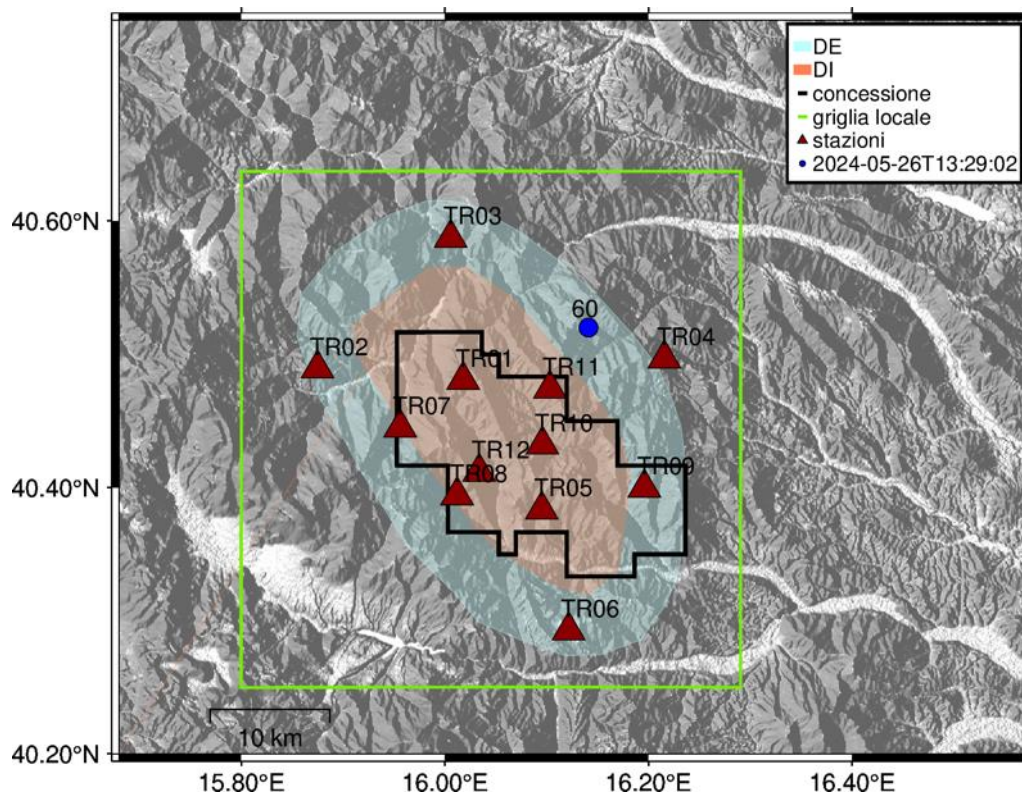


Figura 128 - stazioni utilizzate per la localizzazione, epicentro dell'evento del 26/05/2024 13:29:02 UTC localizzato a profondità 14.41 km

In Figura 129 sono mostrati i segnali acquisiti dalle stazioni usate per la localizzazione dell'evento 60: dall'alto verso il basso, componente Z, N, E

2024-05-26T13:29:02

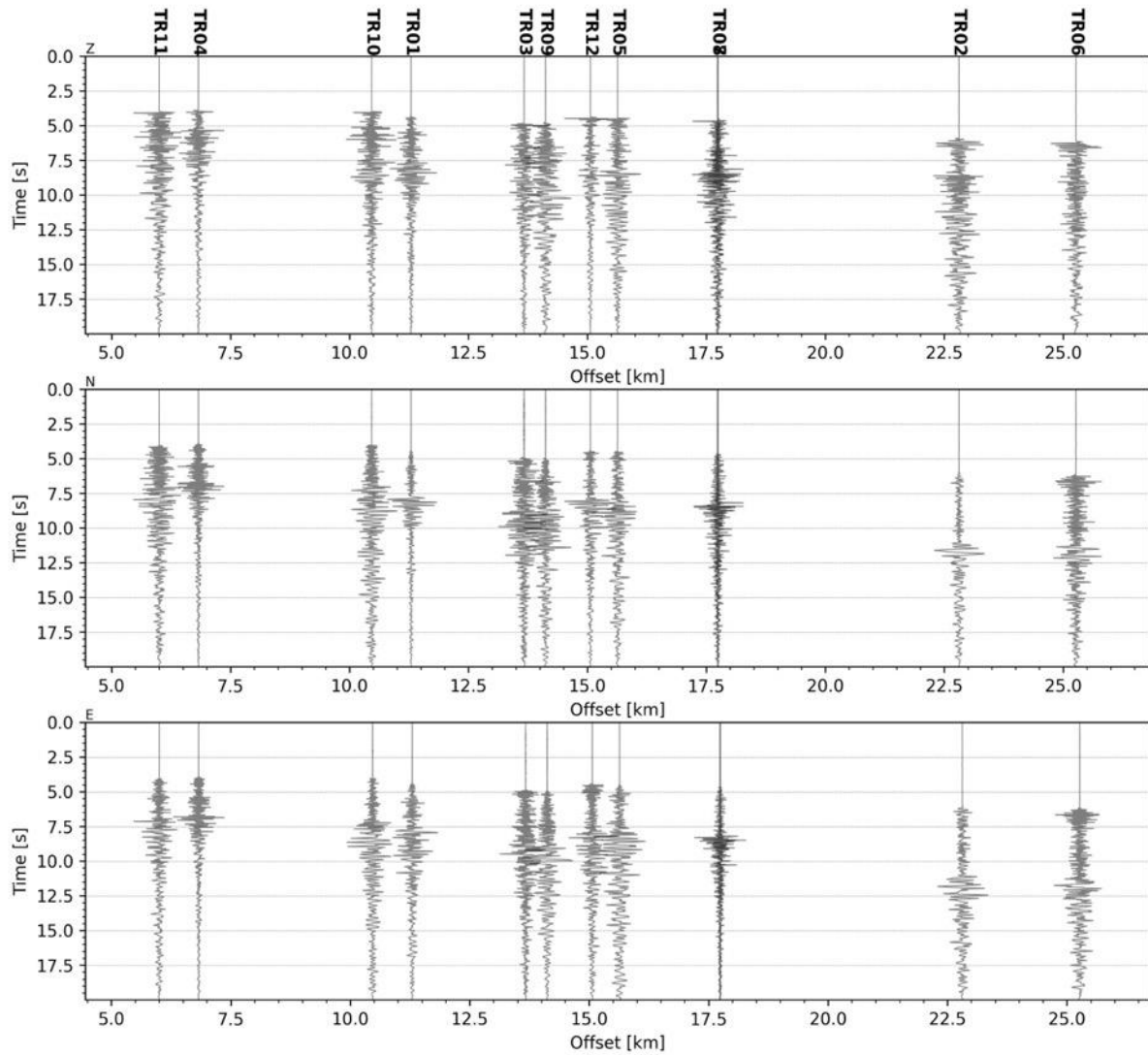


Figura 129 - forme d'onda (segnale raw filtrato) dell'evento 60, registrate dalle stazioni utilizzate per la localizzazione. Dall'alto, componenti Z, N, E.

Evento 61: 26/05/2024 13:35:03 UTC

Id	Tempo Origine [aa/mm/gg hh:mm:ss UTC]	Lat. [°]	Long. [°]	Profondità [km]	RMS [s]	M _i
61	2024-05-26 13:35:03	40.492	16.160	15.31	0.055	-0.03±0.30

In Figura 130 sono mostrate le stazioni utilizzate per la localizzazione dell'evento sismico, l'epicentro e i limiti dei Domini di rilevazione e della Concessione.

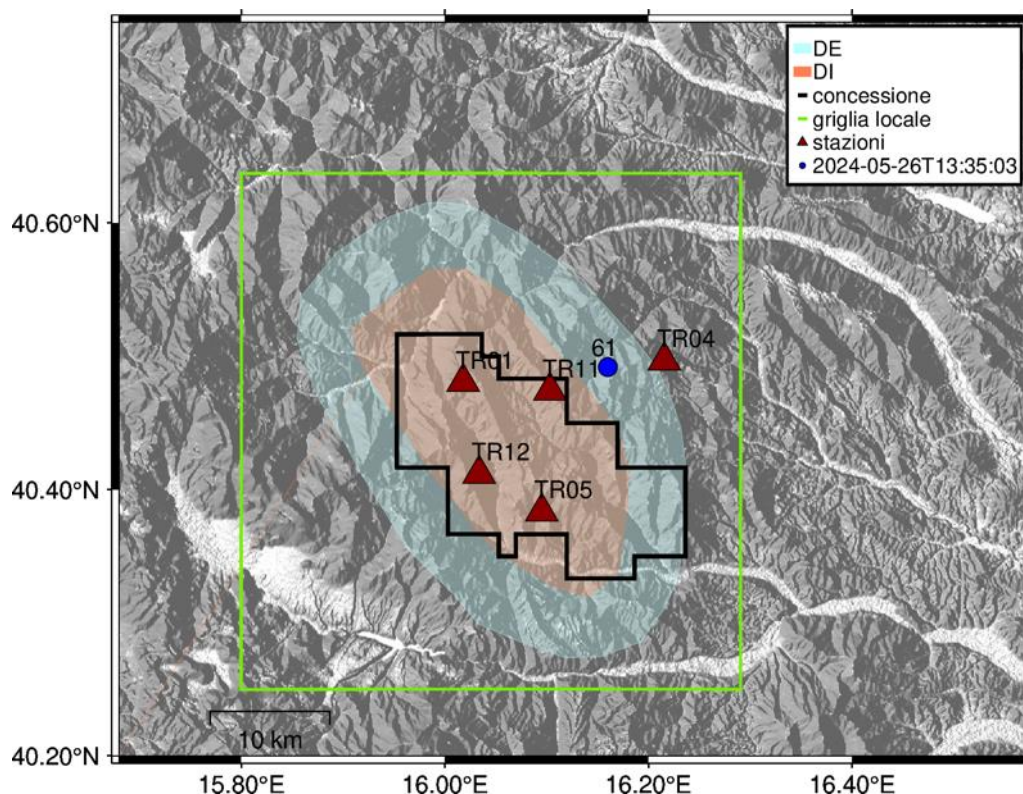


Figura 130 – stazioni utilizzate per la localizzazione, epicentro dell'evento del 26/05/2024 13:35:03 UTC localizzato a profondità 15.31 km

In Figura 131 sono mostrati i segnali acquisiti dalle stazioni usate per la localizzazione dell'evento 61: dall'alto verso il basso, componente Z, N, E

2024-05-26T13:35:03

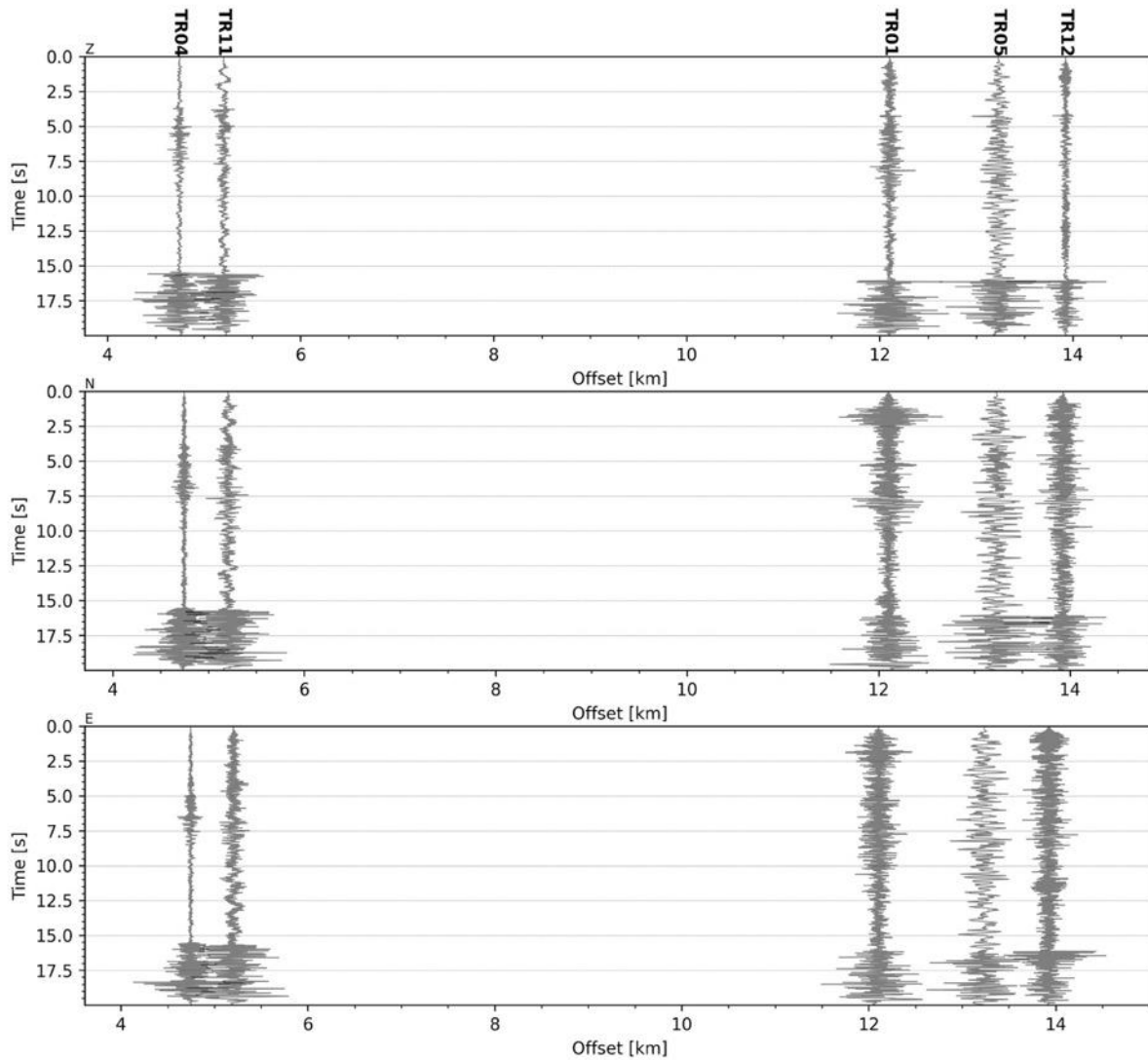


Figura 131 - forme d'onda (segnale raw filtrato) dell'evento 61, registrate dalle stazioni utilizzate per la localizzazione. Dall'alto, componenti Z, N, E.

Evento 62: 26/05/2024 13:35:15 UTC

Id	Tempo Origine [aa/mm/gg hh:mm:ss UTC]	Lat. [°]	Long. [°]	Profondità [km]	RMS [s]	M _i
62	2024-05-26 13:35:15	40.524	16.152	14.09	0.059	0.57±0.17

In Figura 132 sono mostrate le stazioni utilizzate per la localizzazione dell'evento sismico, l'epicentro e i limiti dei Domini di rilevazione e della Concessione.

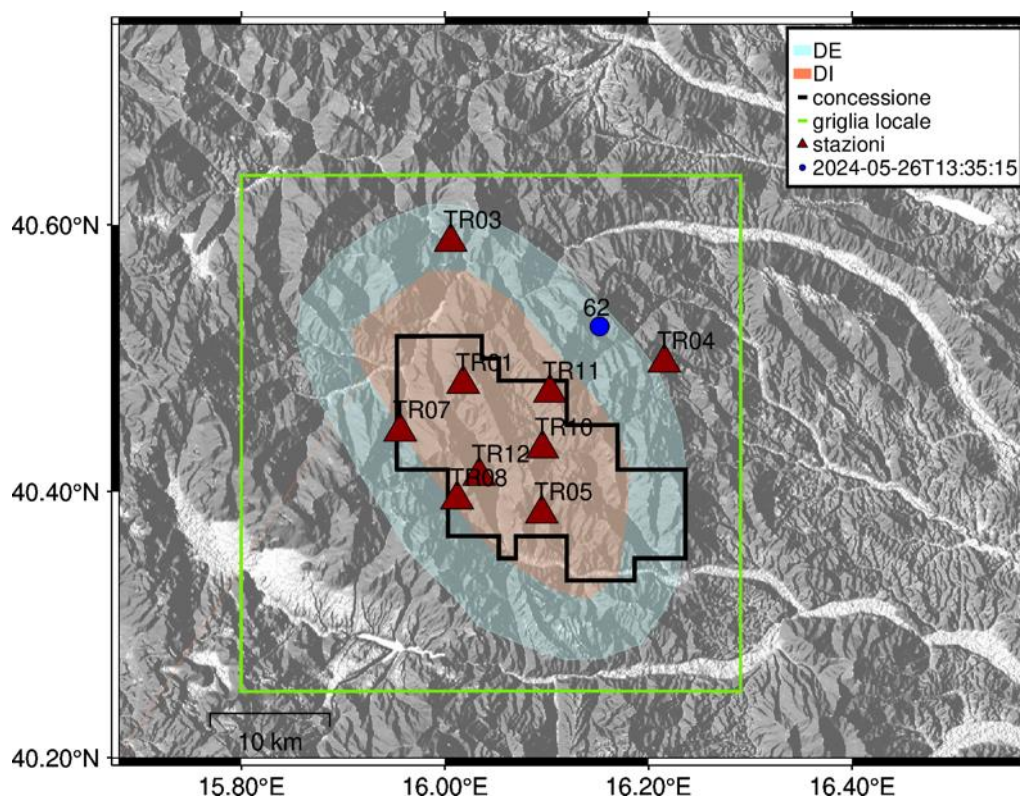


Figura 132 - stazioni utilizzate per la localizzazione, epicentro dell'evento del 26/05/2024 13:35:15 UTC localizzato a profondità 14.09 km

In Figura 133 sono mostrati i segnali acquisiti dalle stazioni usate per la localizzazione dell'evento 62: dall'alto verso il basso, componente Z, N, E

2024-05-26T13:35:15

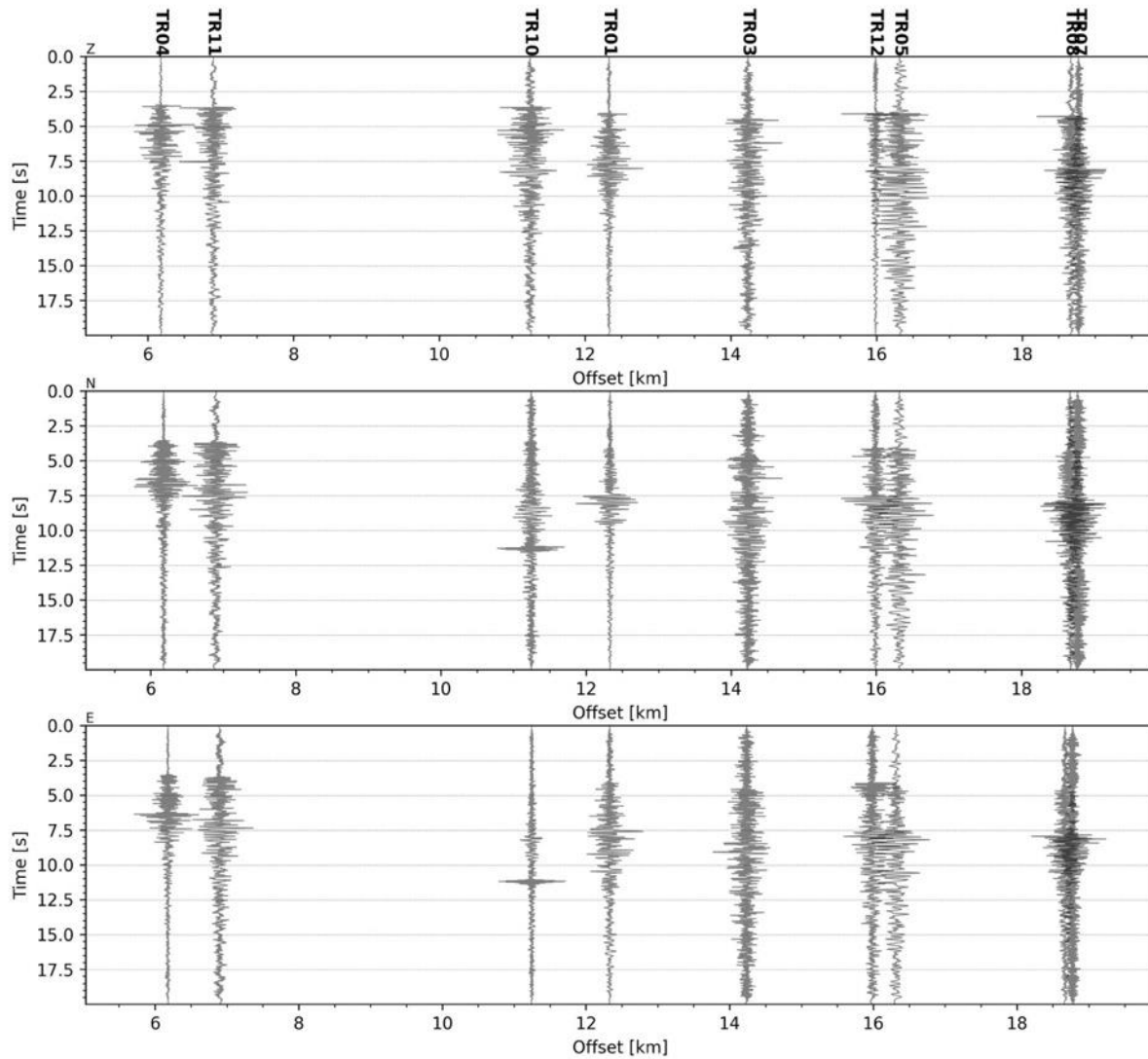


Figura 133 - forme d'onda (segnale raw filtrato) dell'evento 62, registrate dalle stazioni utilizzate per la localizzazione. Dall'alto, componenti Z, N, E.

Evento 63: 26/05/2024 13:41:13 UTC

Id	Tempo Origine [aa/mm/gg hh:mm:ss UTC]	Lat. [°]	Long. [°]	Profondità [km]	RMS [s]	M _i
63	2024-05-26 13:41:13	40.525	16.150	14.59	0.070	0.9±0.27

In Figura 134 sono mostrate le stazioni utilizzate per la localizzazione dell'evento sismico, l'epicentro e i limiti dei Domini di rilevazione e della Concessione.

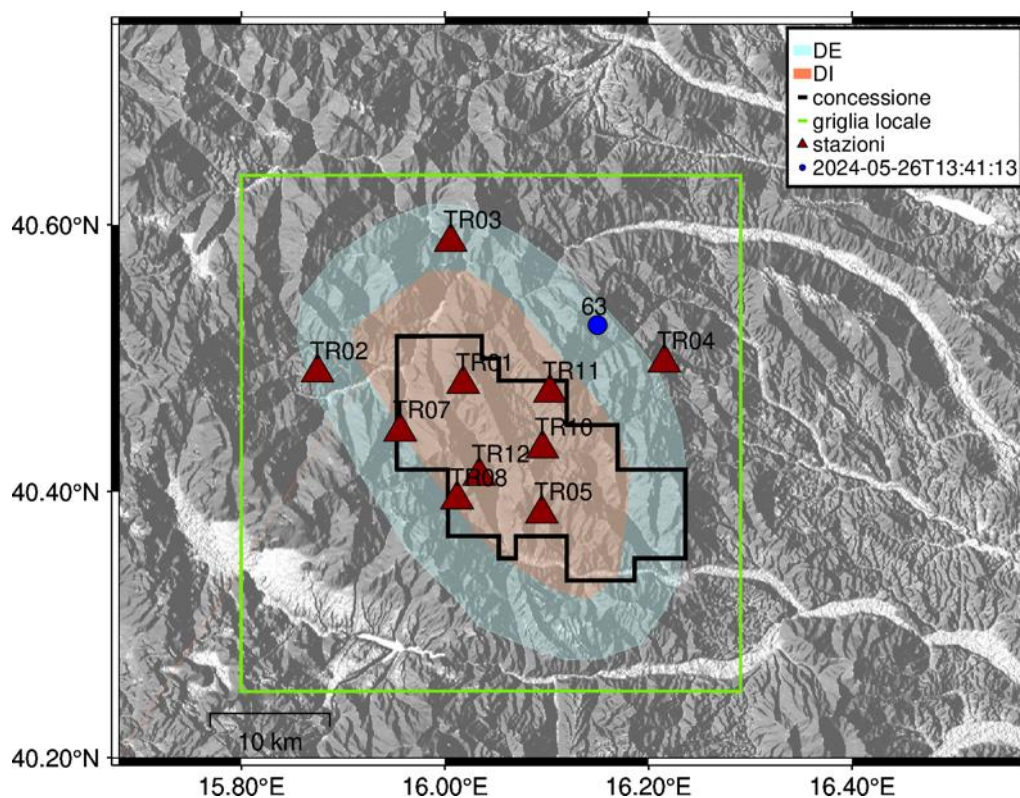


Figura 134 - stazioni utilizzate per la localizzazione, epicentro dell'evento del 26/05/2024 13:41:13 UTC localizzato a profondità 14.59 km

In Figura 135 sono mostrati i segnali acquisiti dalle stazioni usate per la localizzazione dell'evento 63: dall'alto verso il basso, componente Z, N, E

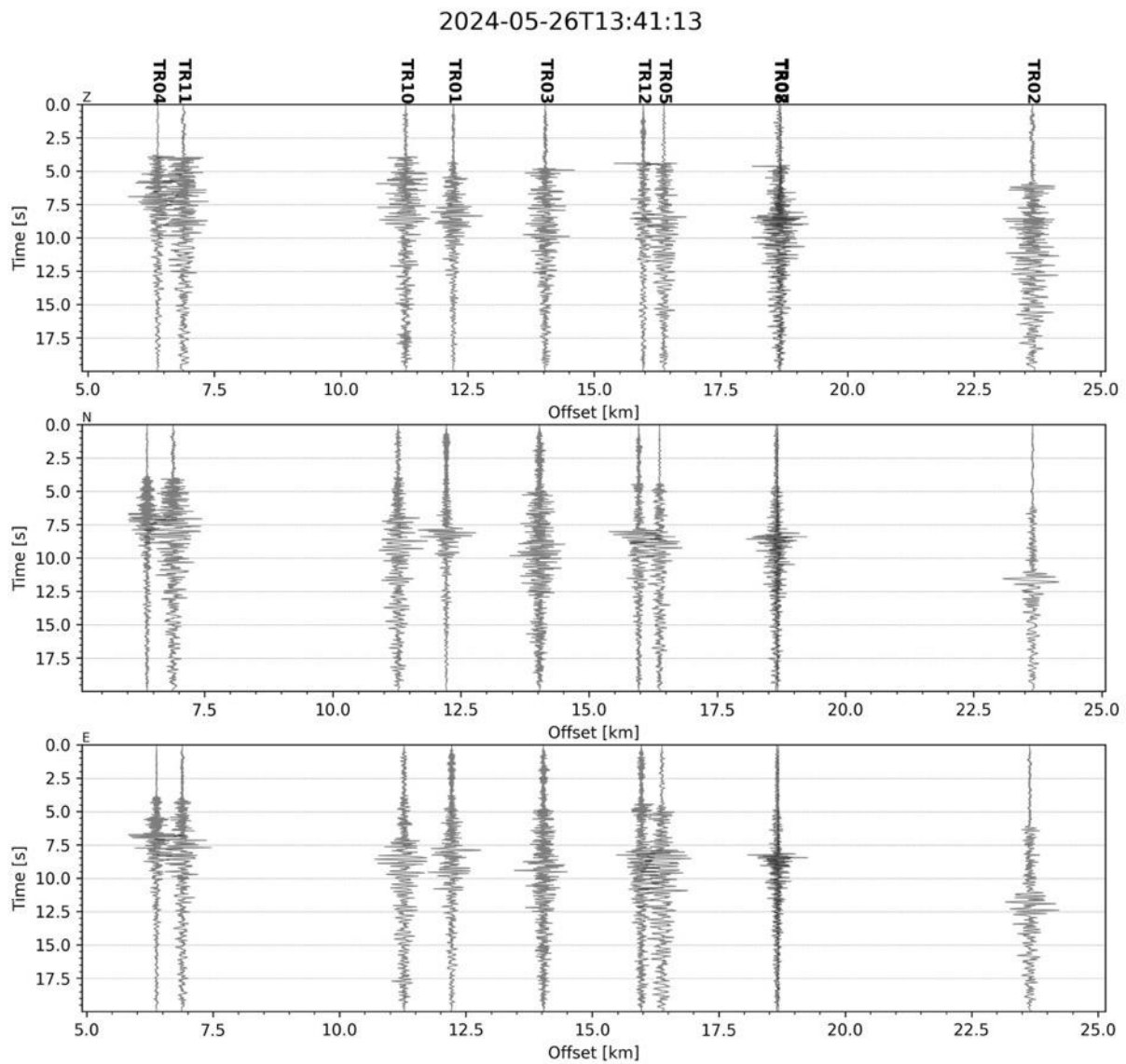


Figura 135 - forme d'onda (segnale raw filtrato) dell'evento 63, registrate dalle stazioni utilizzate per la localizzazione. Dall'alto, componenti Z, N, E.

Evento 64: 26/05/2024 13:50:57 UTC

Id	Tempo Origine [aa/mm/gg hh:mm:ss UTC]	Lat. [°]	Long. [°]	Profondità [km]	RMS [s]	M _i
64	2024-05-26 13:50:57	40.521	16.147	14.72	0.047	1.89±0.13

In Figura 136 sono mostrate le stazioni utilizzate per la localizzazione dell'evento sismico, l'epicentro e i limiti dei Domini di rilevazione e della Concessione.

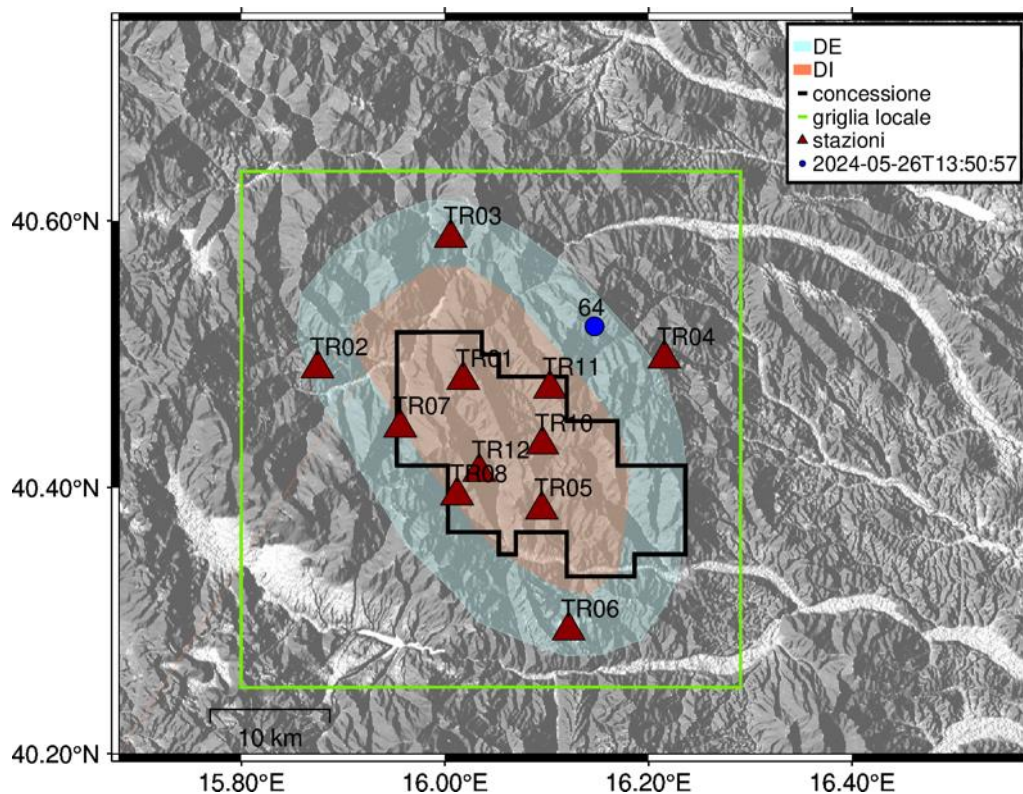


Figura 136 - stazioni utilizzate per la localizzazione, epicentro dell'evento del 26/05/2024 13:50:57 UTC localizzato a profondità 14.72 km

In Figura 137 sono mostrati i segnali acquisiti dalle stazioni usate per la localizzazione dell'evento 64: dall'alto verso il basso, componente Z, N, E

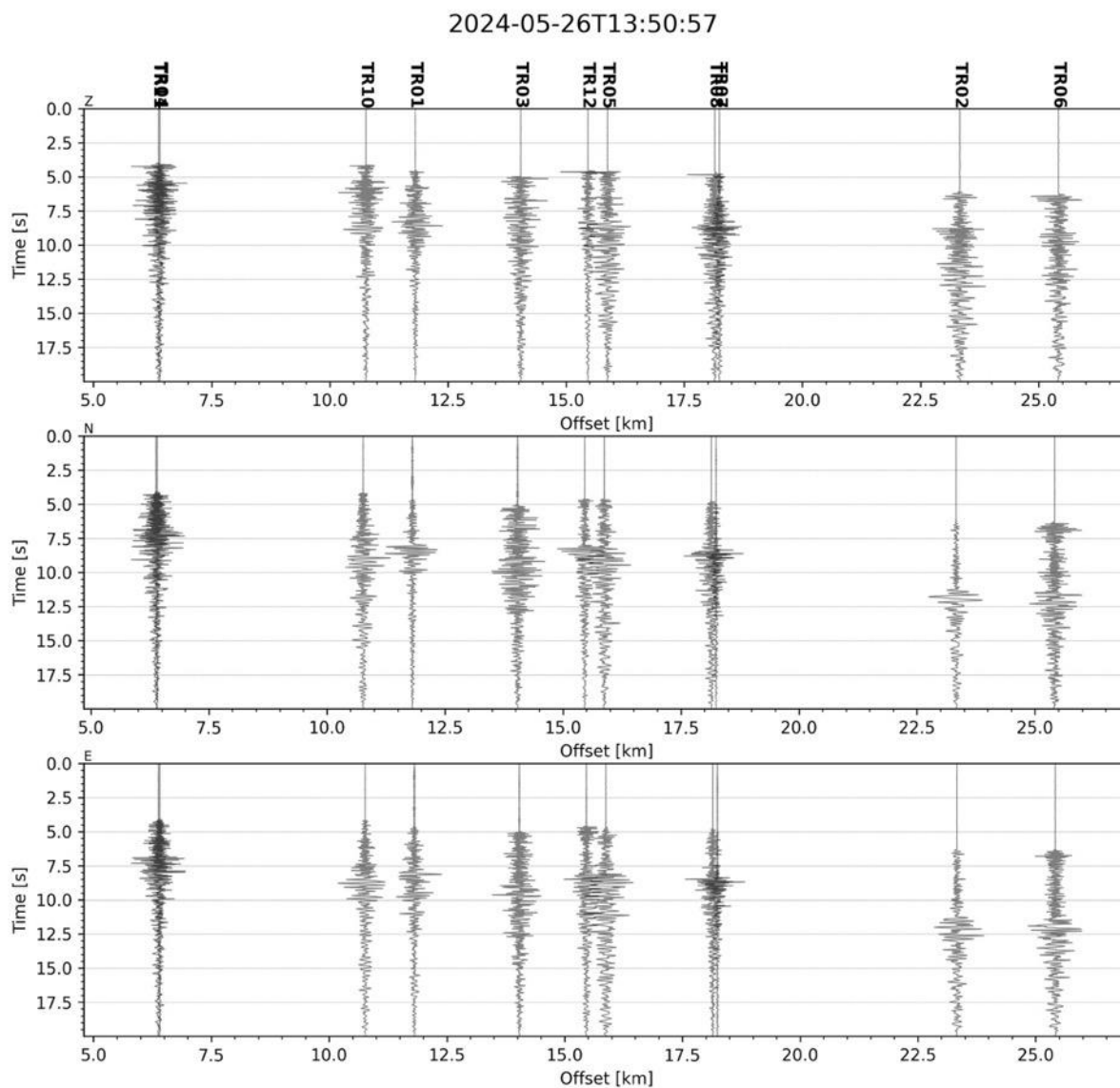


Figura 137 - forme d'onda (segnale raw filtrato) dell'evento 64, registrate dalle stazioni utilizzate per la localizzazione. Dall'alto, componenti Z, N, E.

Evento 65: 26/05/2024 14:05:46 UTC

Id	Tempo Origine [aa/mm/gg hh:mm:ss UTC]	Lat. [°]	Long. [°]	Profondità [km]	RMS [s]	M _i
65	2024-05-26 14:05:46	40.522	16.153	15.44	0.085	0.47±0.13

In Figura 138 sono mostrate le stazioni utilizzate per la localizzazione dell'evento sismico, l'epicentro e i limiti dei Domini di rilevazione e della Concessione.

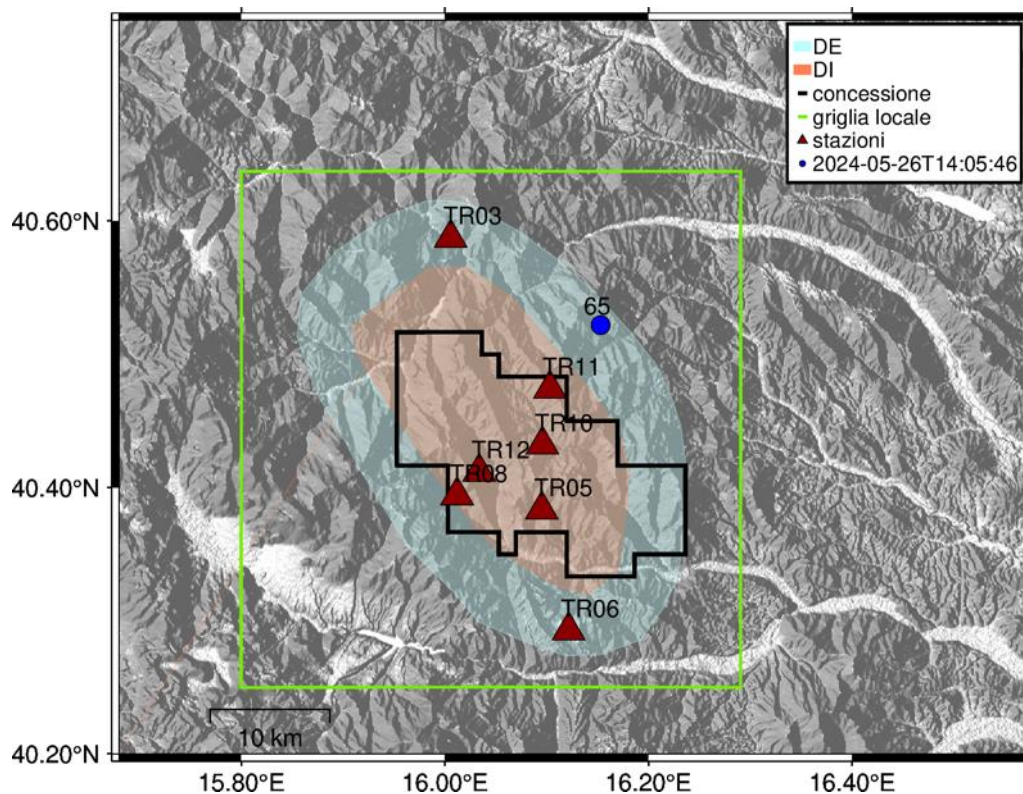


Figura 138 - stazioni utilizzate per la localizzazione, epicentro dell'evento del 26/05/2024 14:05:46 UTC localizzato a profondità 15.44 km

In Figura 139 sono mostrati i segnali acquisiti dalle stazioni usate per la localizzazione dell'evento 65: dall'alto verso il basso, componente Z, N, E

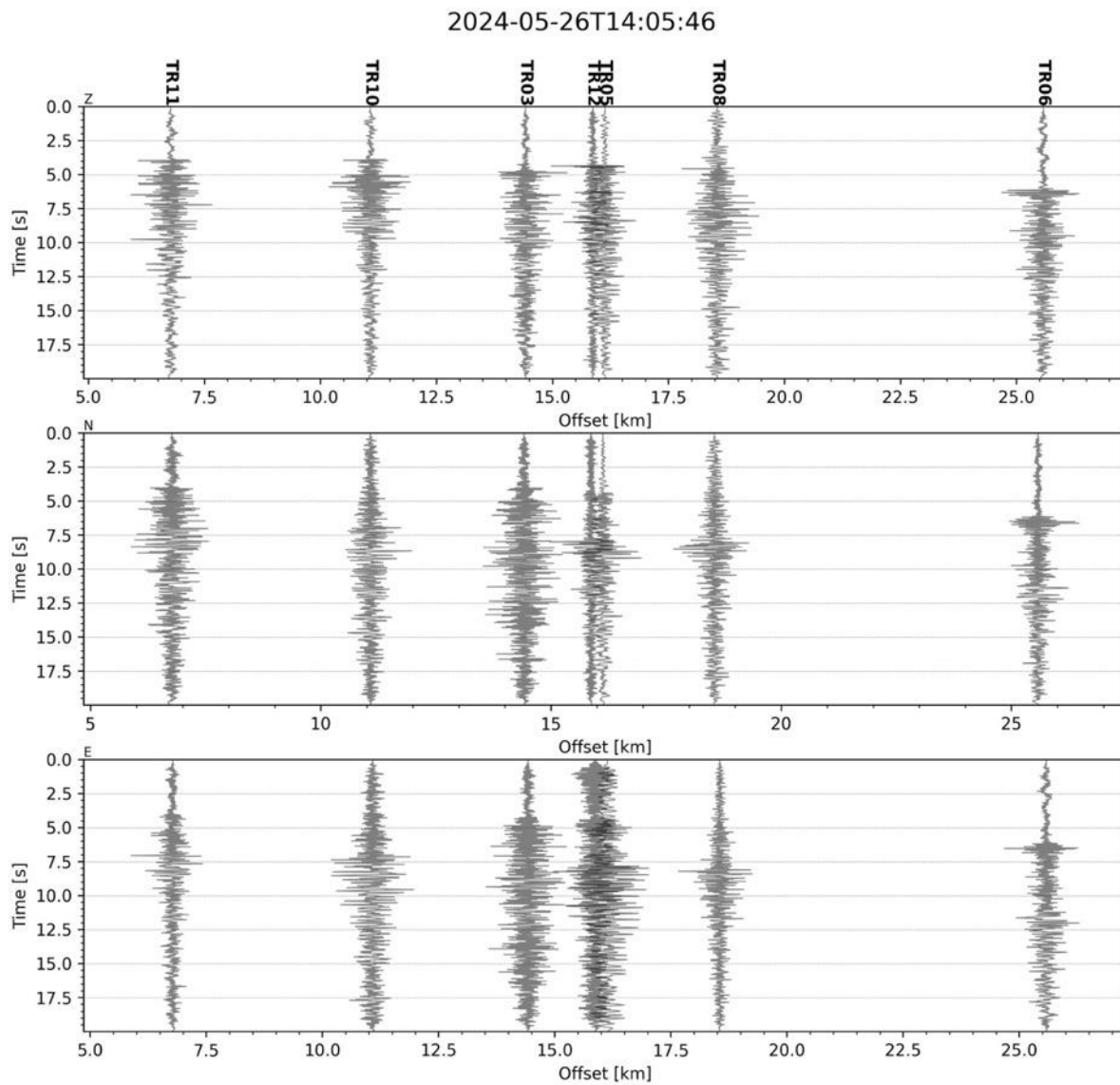


Figura 139 - forme d'onda (segnale raw filtrato) dell'evento 65, registrate dalle stazioni utilizzate per la localizzazione. Dall'alto, componenti Z, N, E.

Evento 66: 26/05/2024 14:26:03 UTC

Id	Tempo Origine [aa/mm/gg hh:mm:ss UTC]	Lat. [°]	Long. [°]	Profondità [km]	RMS [s]	M _i
66	2024-05-26 14:26:03	40.522	16.154	14.56	0.051	0.01±0.00

In Figura 140 sono mostrate le stazioni utilizzate per la localizzazione dell'evento sismico, l'epicentro e i limiti dei Domini di rilevazione e della Concessione.

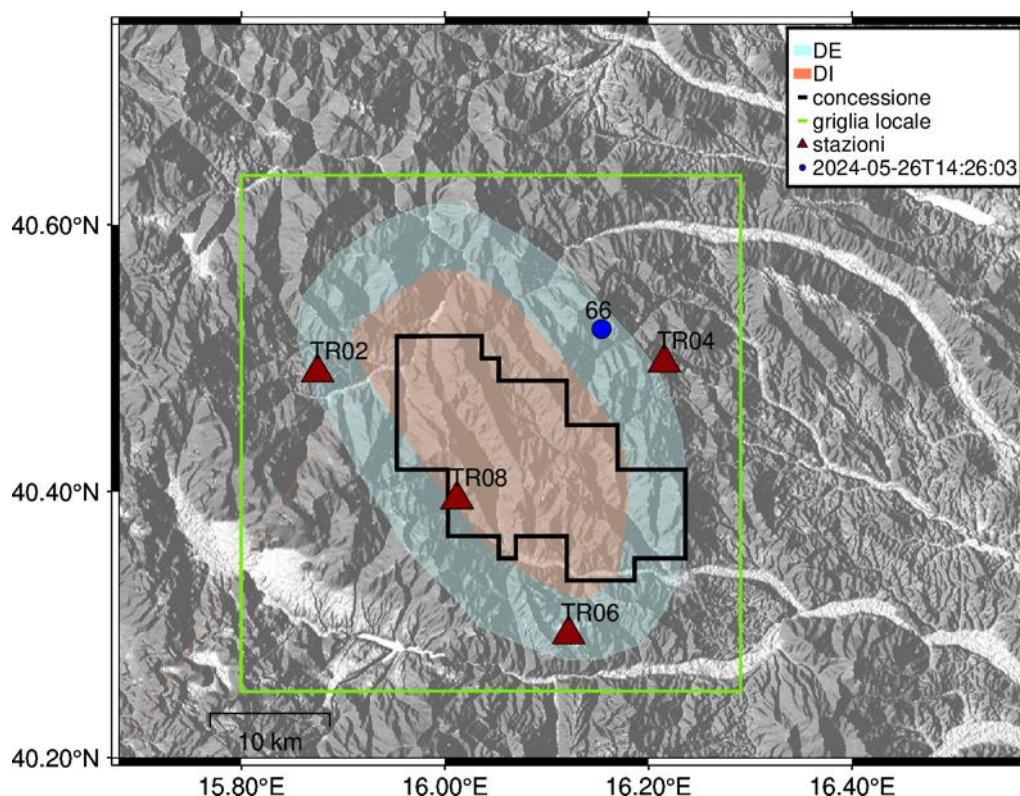


Figura 140 – stazioni utilizzate per la localizzazione, epicentro dell'evento del 26/05/2024 14:26:03 UTC localizzato a profondità 14.56 km

In Figura 141 sono mostrati i segnali acquisiti dalle stazioni usate per la localizzazione dell'evento 66: dall'alto verso il basso, componente Z, N, E

2024-05-26T14:26:03

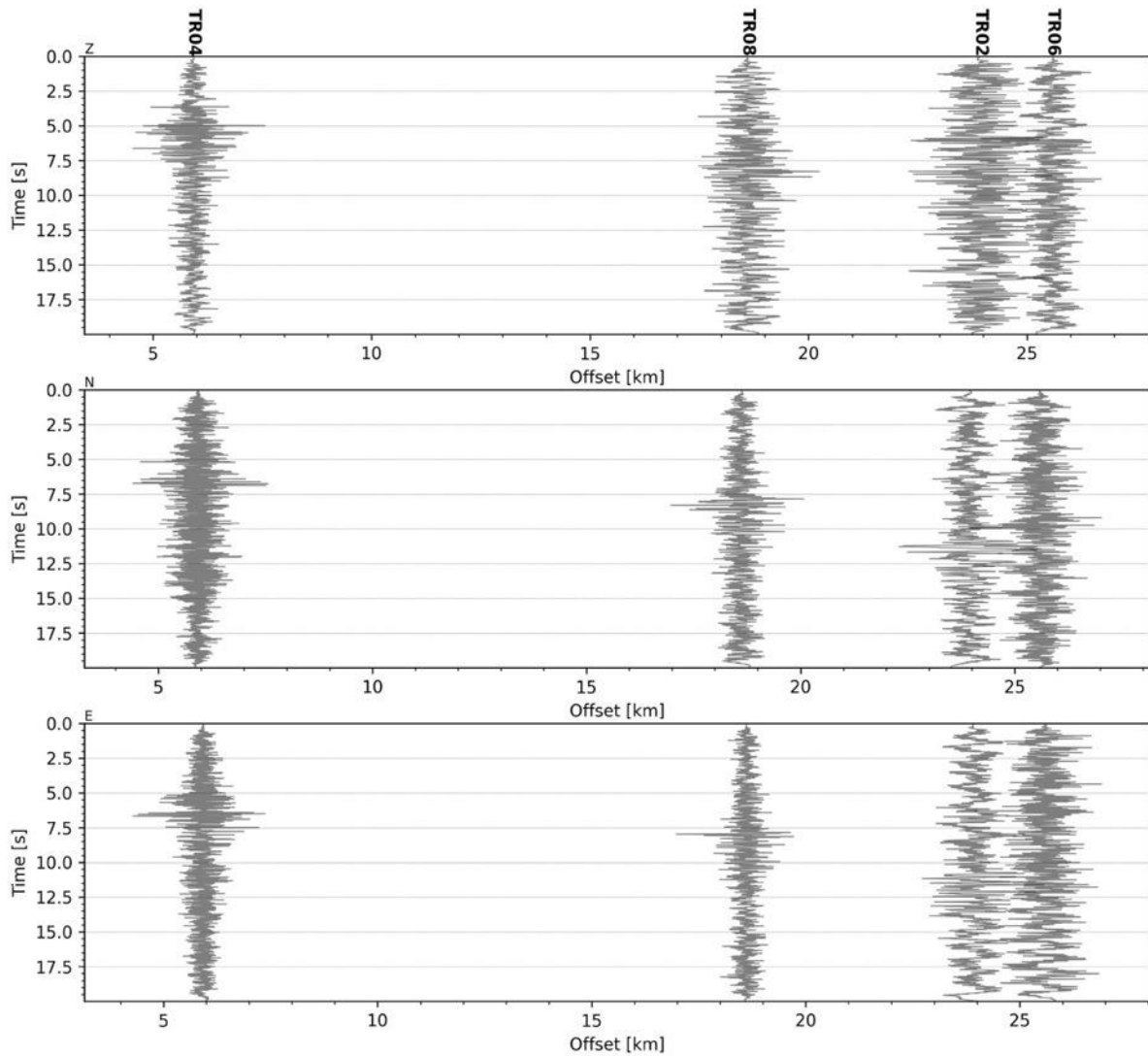


Figura 141 - forme d'onda (segnale raw filtrato) dell'evento 66, registrate dalle stazioni utilizzate per la localizzazione. Dall'alto, componenti Z, N, E.

Evento 67: 26/05/2024 14:36:07 UTC

Id	Tempo Origine [aa/mm/gg hh:mm:ss UTC]	Lat. [°]	Long. [°]	Profondità [km]	RMS [s]	M _i
67	2024-05-26 14:36:07	40.524	16.149	14.53	0.077	0.6±0.27

In Figura 142 sono mostrate le stazioni utilizzate per la localizzazione dell'evento sismico, l'epicentro e i limiti dei Domini di rilevazione e della Concessione.

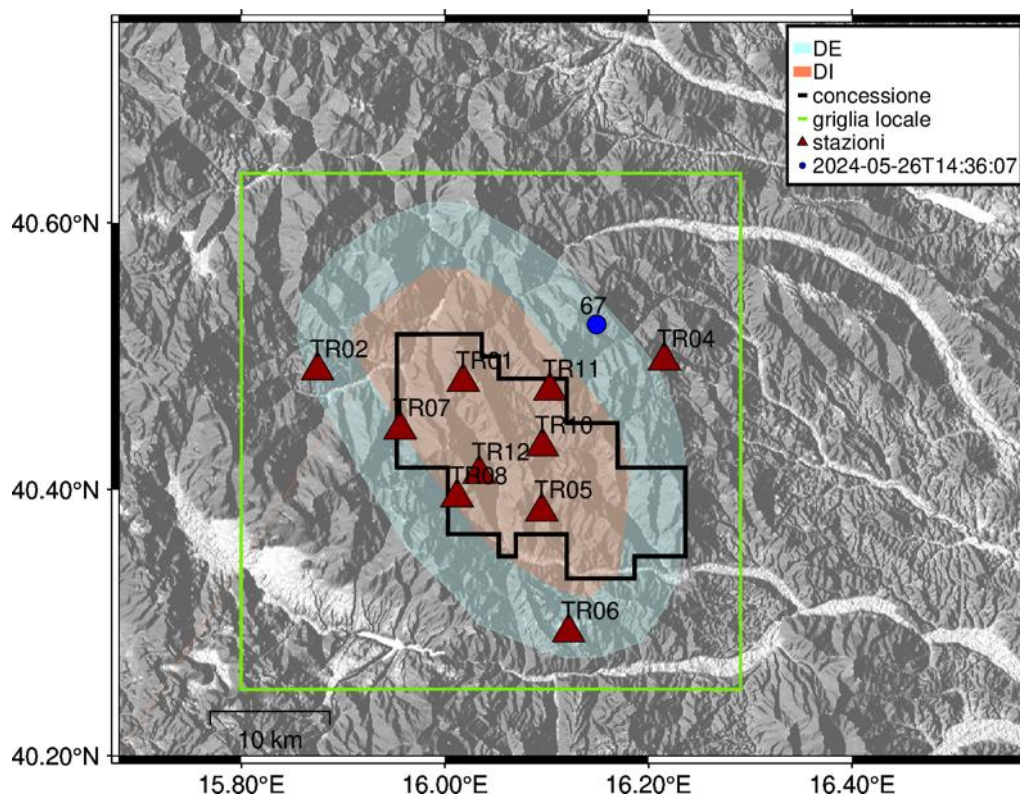


Figura 142 - stazioni utilizzate per la localizzazione, epicentro dell'evento 26/05/2024 14:36:07 UTC localizzato a profondità 14.53 km

In Figura 143 sono mostrati i segnali acquisiti dalle stazioni usate per la localizzazione dell'evento 67: dall'alto verso il basso, componente Z, N, E

2024-05-26T14:36:07

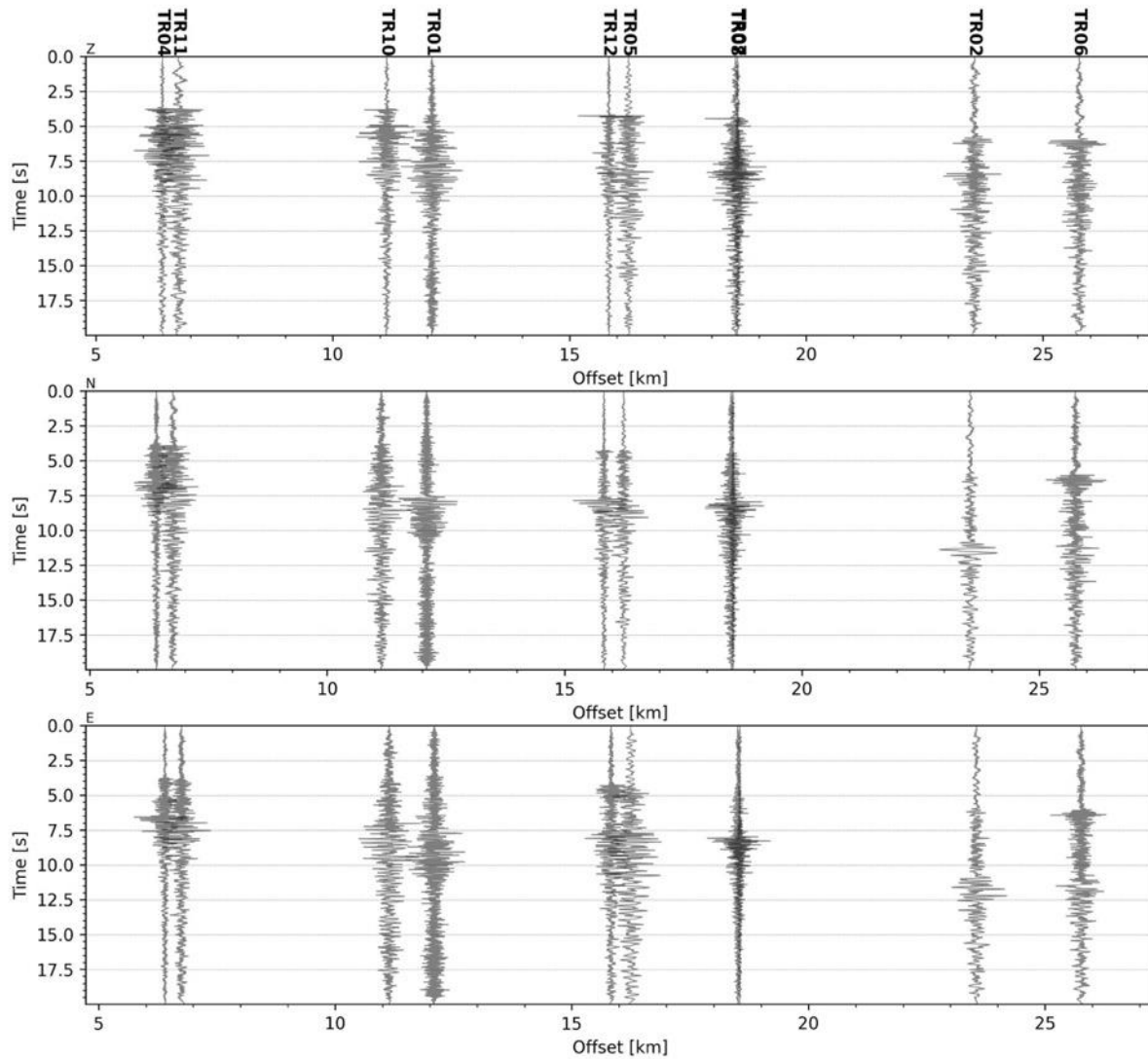


Figura 143 - forme d'onda (segnale raw filtrato) dell'evento 67, registrate dalle stazioni utilizzate per la localizzazione. Dall'alto, componenti Z, N, E.

Evento 68: 16/05/2024 15:09:44 UTC

Id	Tempo Origine [aa/mm/gg hh:mm:ss UTC]	Lat. [°]	Long. [°]	Profondità [km]	RMS [s]	M _i
68	2024-05-26 15:09:44	40.526	16.152	15.16	0.069	1.4±0.11

In Figura 144 sono mostrate le stazioni utilizzate per la localizzazione dell'evento sismico, l'epicentro e i limiti dei Domini di rilevazione e della Concessione.

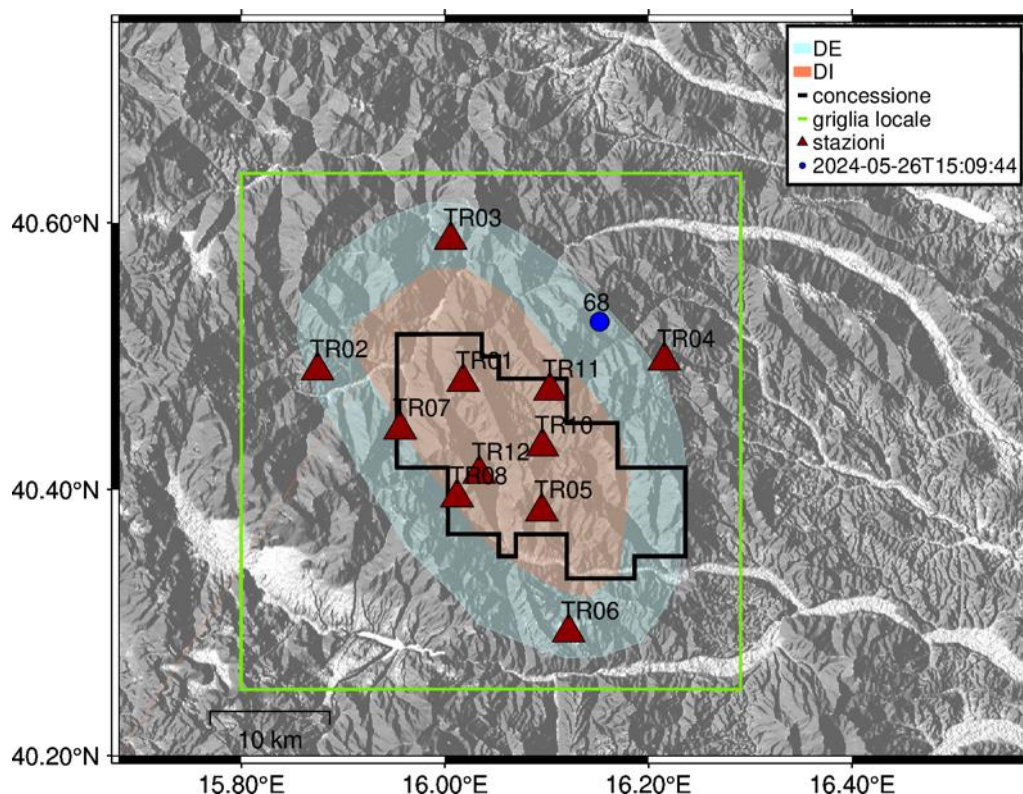


Figura 144 - stazioni utilizzate per la localizzazione, epicentro dell'evento del 16/05/2024 15:09:44 UTC localizzato a profondità 15.16 km

In Figura 145 sono mostrati i segnali acquisiti dalle stazioni usate per la localizzazione dell'evento 68: dall'alto verso il basso, componente Z, N, E

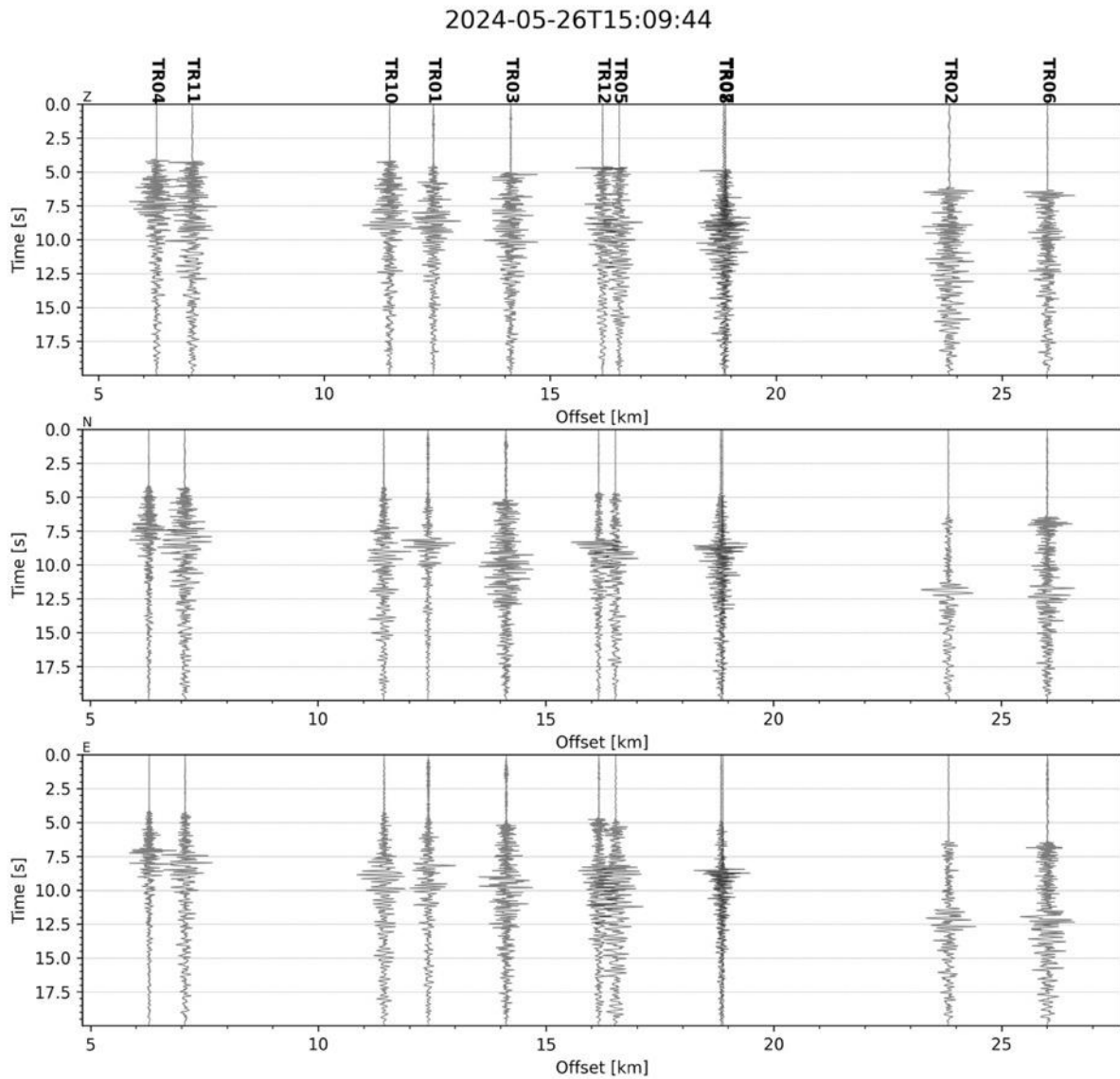


Figura 145 - forme d'onda (segnale raw filtrato) dell'evento 68, registrate dalle stazioni utilizzate per la localizzazione. Dall'alto, componenti Z, N, E.

Evento 69: 26/05/2024 15:13:39 UTC

Id	Tempo Origine [aa/mm/gg hh:mm:ss UTC]	Lat. [°]	Long. [°]	Profondità [km]	RMS [s]	M _i
69	2024-05-26 15:13:39	40.524	16.150	14.53	0.059	0.98±0.13

In Figura 146 sono mostrate le stazioni utilizzate per la localizzazione dell'evento sismico, l'epicentro e i limiti dei Domini di rilevazione e della Concessione.

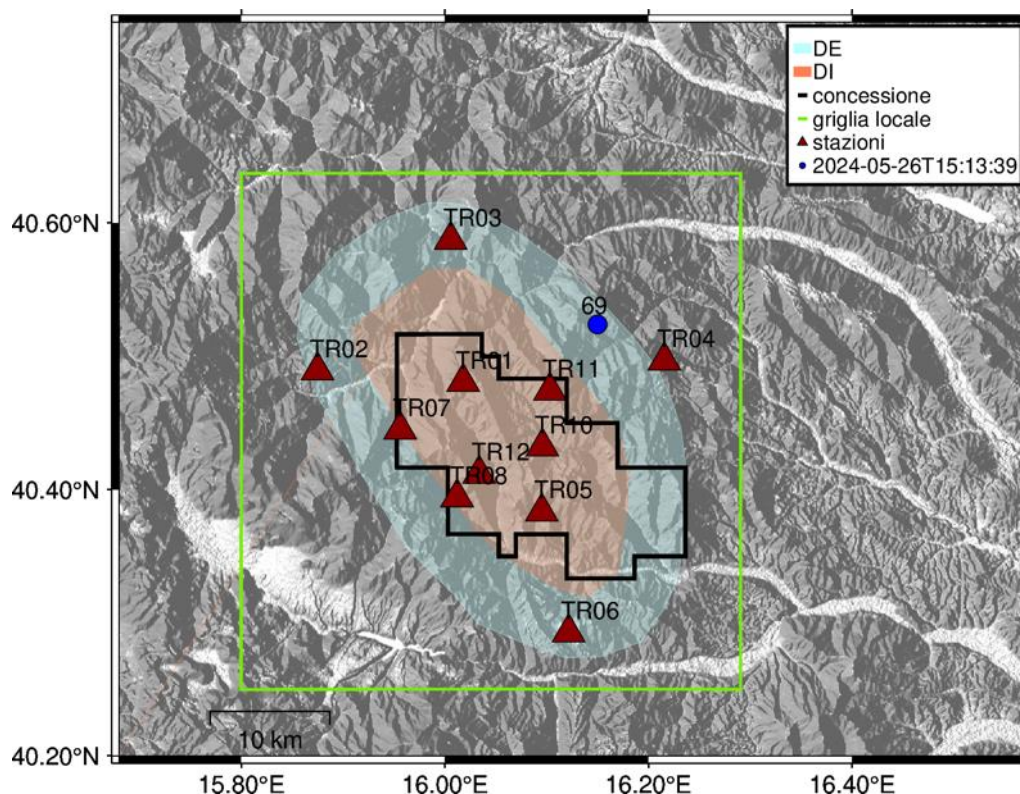


Figura 146 - stazioni utilizzate per la localizzazione, epicentro dell'evento del 26/05/2024 15:13:39 UTC localizzato a profondità 14.53 km

In Figura 147 sono mostrati i segnali acquisiti dalle stazioni usate per la localizzazione dell'evento 69: dall'alto verso il basso, componente Z, N, E

2024-05-26T15:13:39

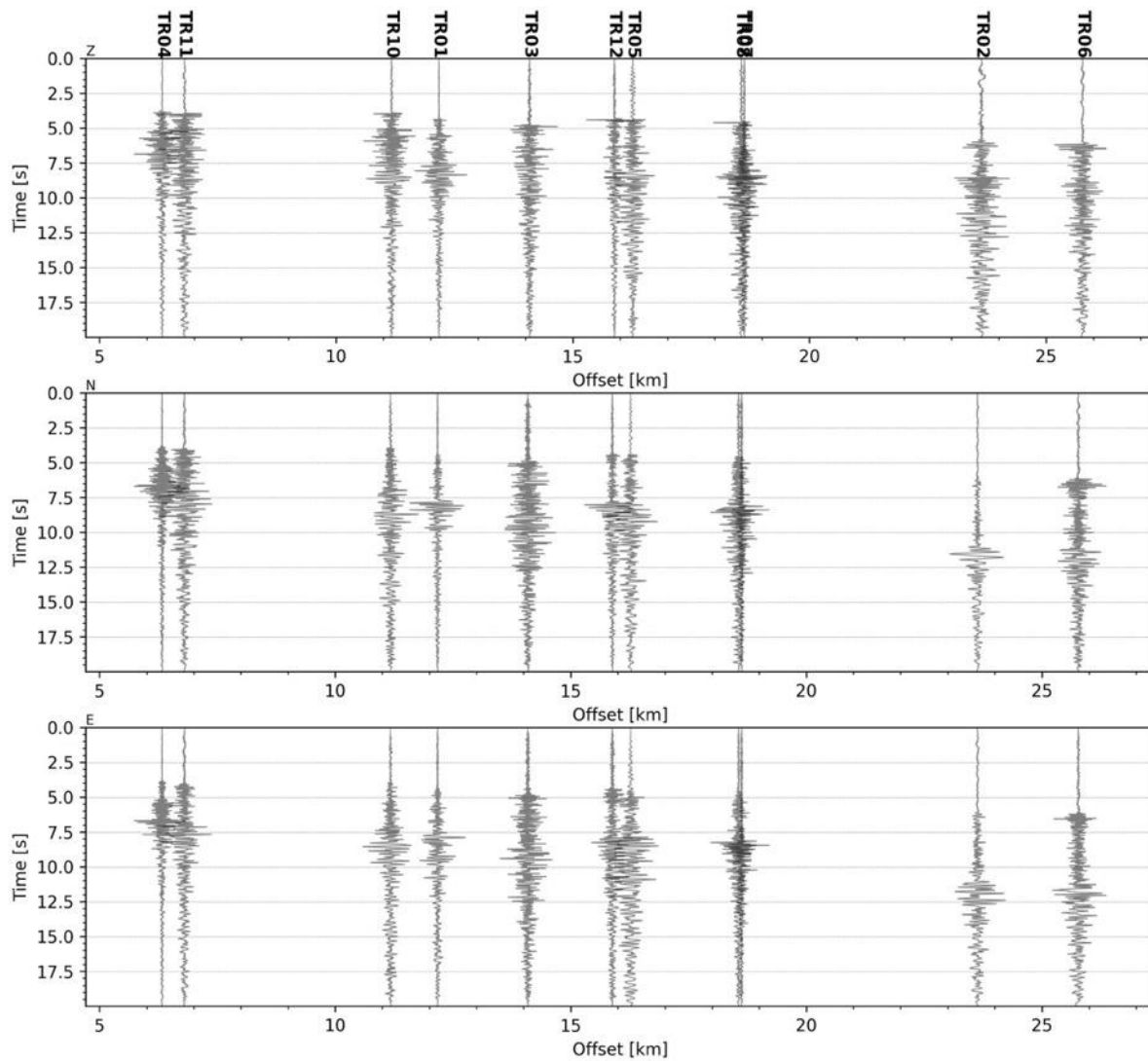


Figura 147 - forme d'onda (segnale raw filtrato) dell'evento 69, registrate dalle stazioni utilizzate per la localizzazione. Dall'alto, componenti Z, N, E.

Evento 70: 26/05/2024 17:00:49 UTC

Id	Tempo Origine [aa/mm/gg hh:mm:ss UTC]	Lat. [°]	Long. [°]	Profondità [km]	RMS [s]	M _i
70	2024-05-26 17:00:49	40.489	16.166	16.28	0.033	0.1±0.28

In Figura 148 sono mostrate le stazioni utilizzate per la localizzazione dell'evento sismico, l'epicentro e i limiti dei Domini di rilevazione e della Concessione.

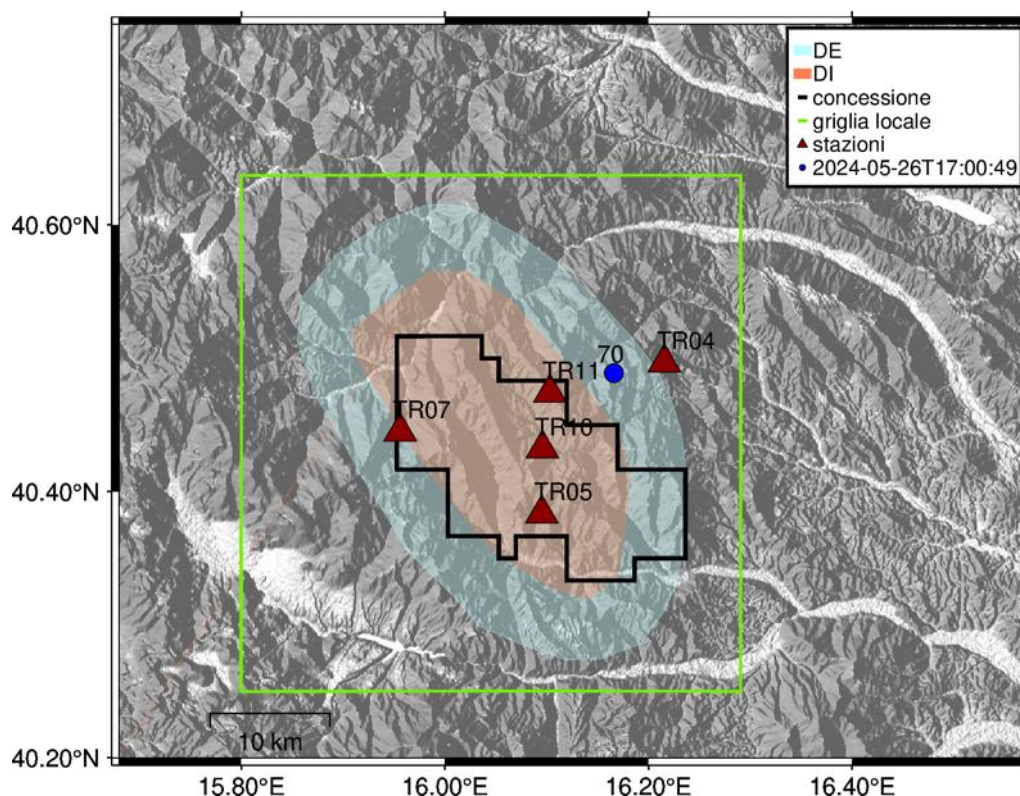


Figura 148 - stazioni utilizzate per la localizzazione, epicentro dell'evento del 26/05/2024 17:00:49 UTC localizzato a profondità 16.28 km

In Figura 149 sono mostrati i segnali acquisiti dalle stazioni usate per la localizzazione dell'evento 70: dall'alto verso il basso, componente Z, N, E

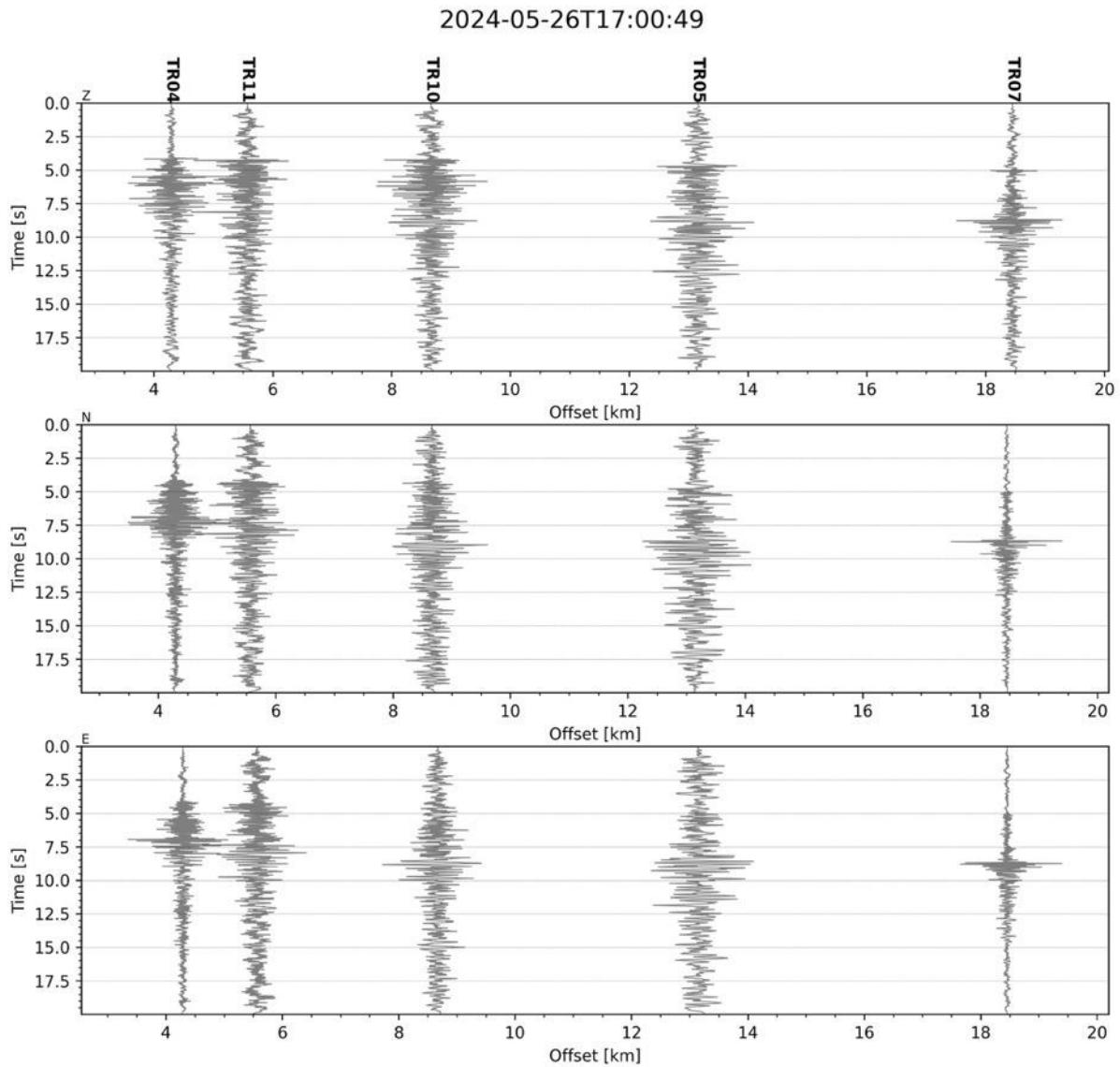


Figura 149 - forme d'onda (segnale raw filtrato) dell'evento 70, registrate dalle stazioni utilizzate per la localizzazione. Dall'alto, componenti Z, N, E.

Evento 71: 26/05/2024 22:55:20 UTC

Id	Tempo Origine [aa/mm/gg hh:mm:ss UTC]	Lat. [°]	Long. [°]	Profondità [km]	RMS [s]	M _i
71	2024-05-26 22:55:20	40.518	16.147	13.91	0.054	0.1±0.13

In Figura 150 sono mostrate le stazioni utilizzate per la localizzazione dell'evento sismico, l'epicentro e i limiti dei Domini di rilevazione e della Concessione.

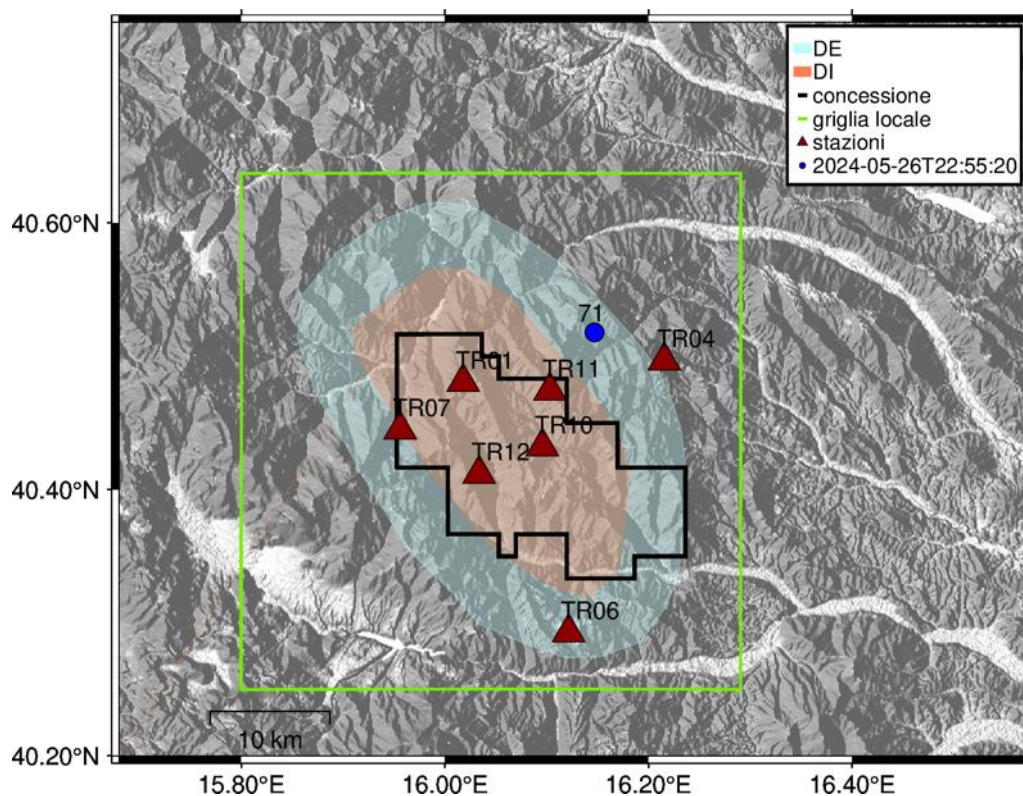


Figura 150 – stazioni utilizzate per la localizzazione, epicentro dell'evento del 26/05/2024 22:55:20 UTC localizzato a profondità 13.91 km

In Figura 151 sono mostrati i segnali acquisiti dalle stazioni usate per la localizzazione dell'evento 71: dall'alto verso il basso, componente Z, N, E

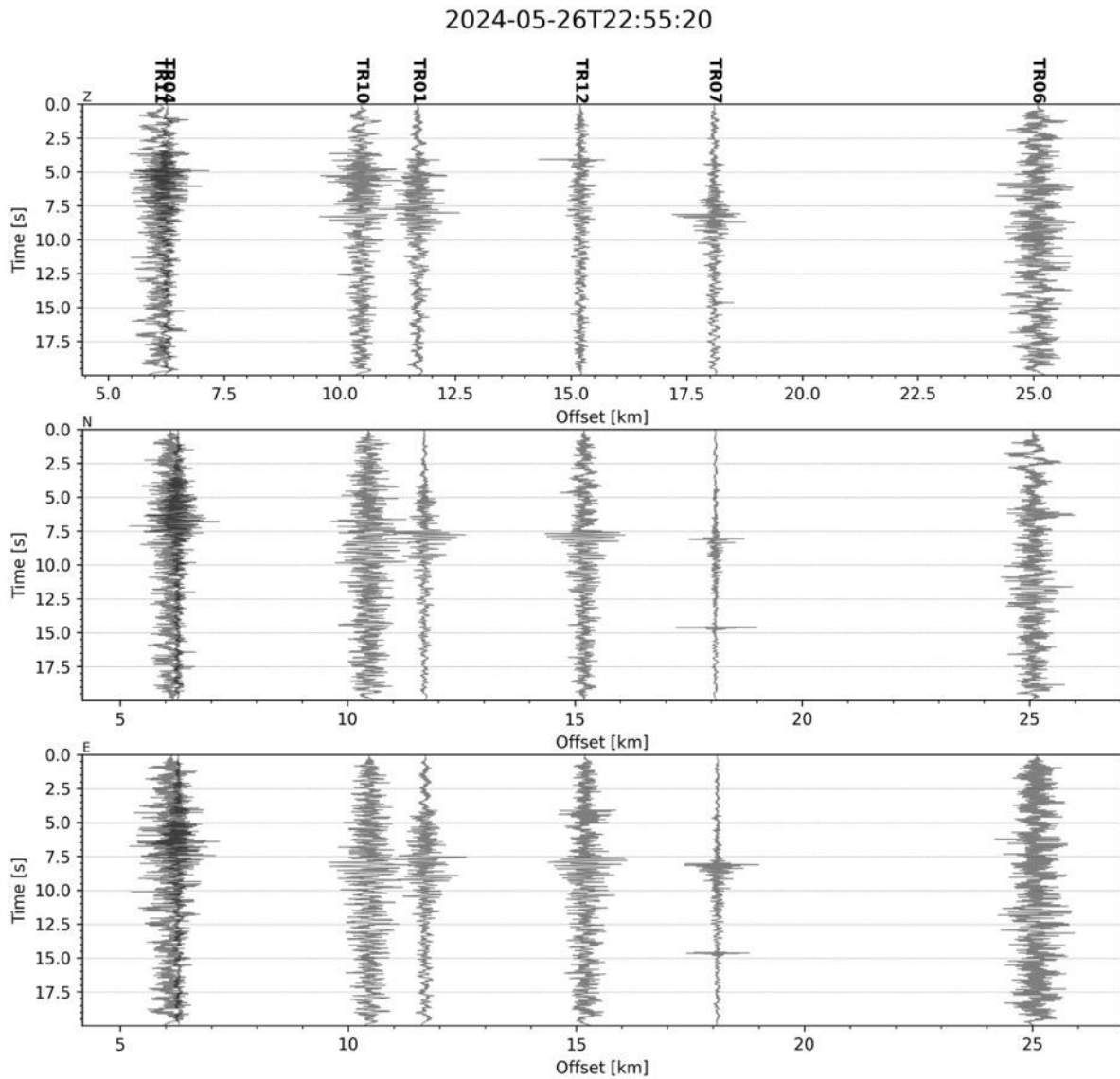


Figura 151 - forme d'onda (segnale raw filtrato) dell'evento 71, registrate dalle stazioni utilizzate per la localizzazione. Dall'alto, componenti Z, N, E.

Evento 72: 26/05/2024 23:11:52 UTC

Id	Tempo Origine [aa/mm/gg hh:mm:ss UTC]	Lat. [°]	Long. [°]	Profondità [km]	RMS [s]	M _i
72	2024-05-26 23:11:52	40.524	16.147	14.09	0.052	0.61±0.13

In Figura 152 sono mostrate le stazioni utilizzate per la localizzazione dell'evento sismico, l'epicentro e i limiti dei Domini di rilevazione e della Concessione.

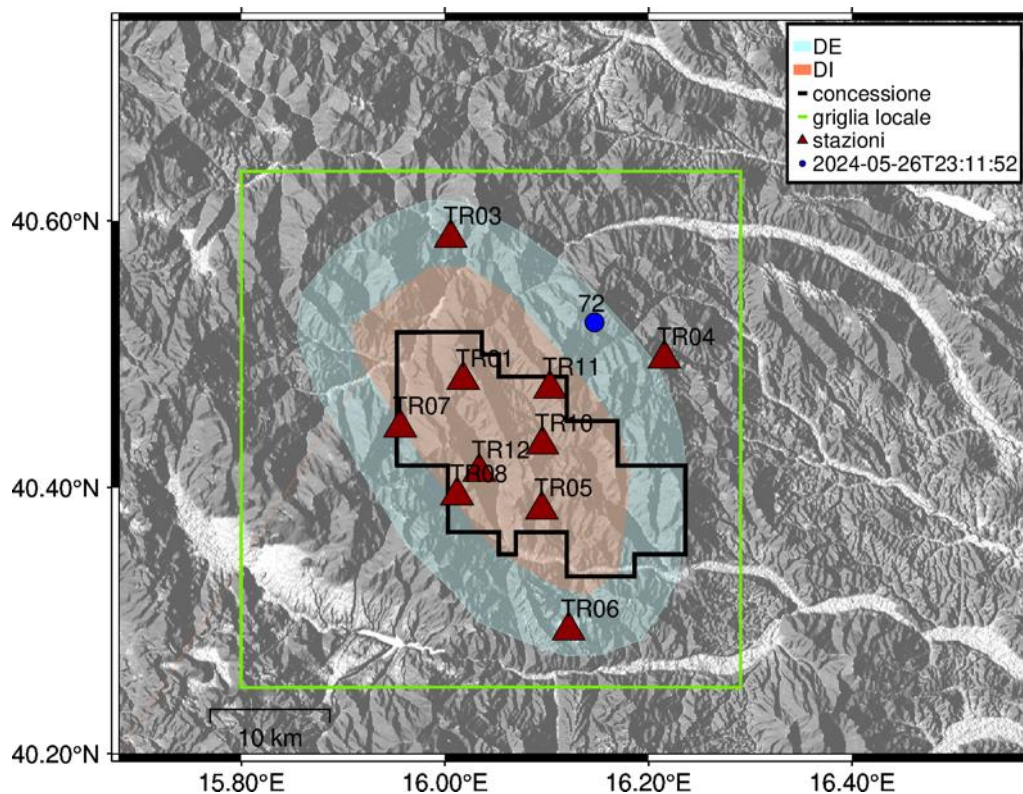


Figura 152 - stazioni utilizzate per la localizzazione, epicentro dell'evento del 26/05/2024 23:11:52 UTC localizzato a profondità 14.09 km

In Figura 153 sono mostrati i segnali acquisiti dalle stazioni usate per la localizzazione dell'evento 72: dall'alto verso il basso, componente Z, N, E

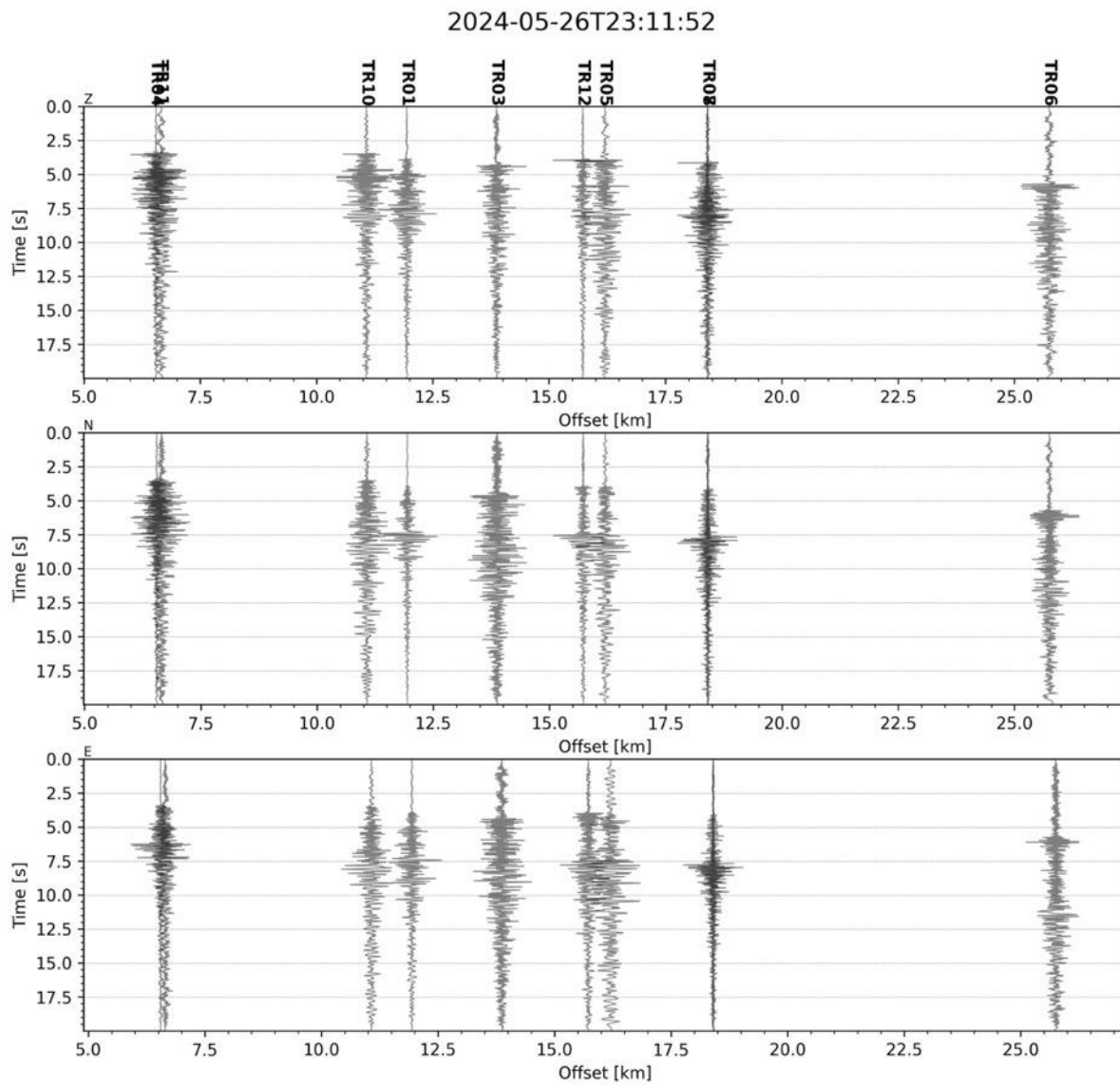


Figura 153 - forme d'onda (segnale raw filtrato) dell'evento 72, registrate dalle stazioni utilizzate per la localizzazione. Dall'alto, componenti Z, N, E.

Evento 73: 26/05/2024 23:57:33 UTC

Id	Tempo Origine [aa/mm/gg hh:mm:ss UTC]	Lat. [°]	Long. [°]	Profondità [km]	RMS [s]	M _i
73	2024-05-26 23:57:33	40.526	16.157	14.91	0.065	1.15±0.31

In Figura 154 sono mostrate le stazioni utilizzate per la localizzazione dell'evento sismico, l'epicentro e i limiti dei Domini di rilevazione e della Concessione.

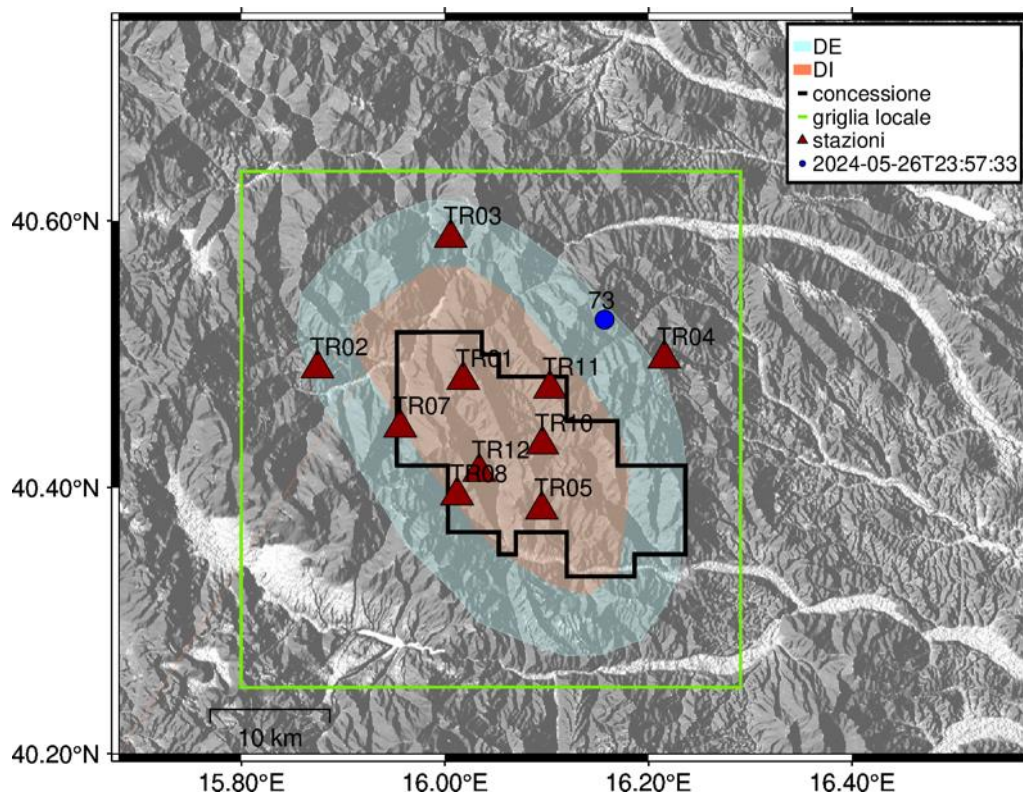


Figura 154 - stazioni utilizzate per la localizzazione, epicentro dell'evento del 26/05/2024 23:57:33 UTC localizzato a profondità 14.91 km

In Figura 155 sono mostrati i segnali acquisiti dalle stazioni usate per la localizzazione dell'evento 73: dall'alto verso il basso, componente Z, N, E

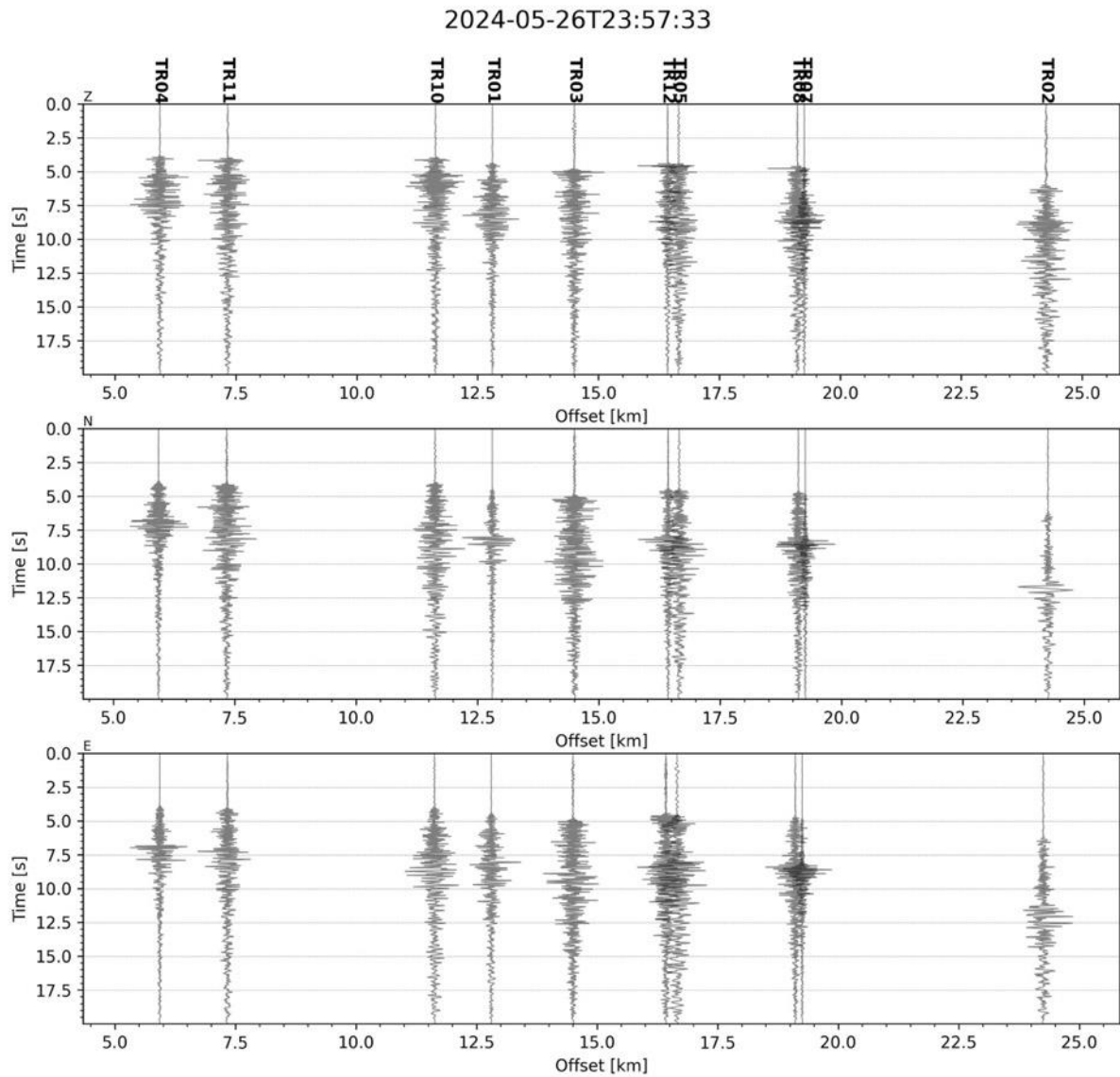


Figura 155 - forme d'onda (segnale raw filtrato) dell'evento 73, registrate dalle stazioni utilizzate per la localizzazione. Dall'alto, componenti Z, N, E.

Evento 74: 27/05/2024 02:55:54 UTC

Id	Tempo Origine [aa/mm/gg hh:mm:ss UTC]	Lat. [°]	Long. [°]	Profondità [km]	RMS [s]	M _i
74	2024-05-27 02:55:54	40.486	16.152	13.47	0.060	0.2±0.19

In Figura 156 sono mostrate le stazioni utilizzate per la localizzazione dell'evento sismico, l'epicentro e i limiti dei Domini di rilevazione e della Concessione.

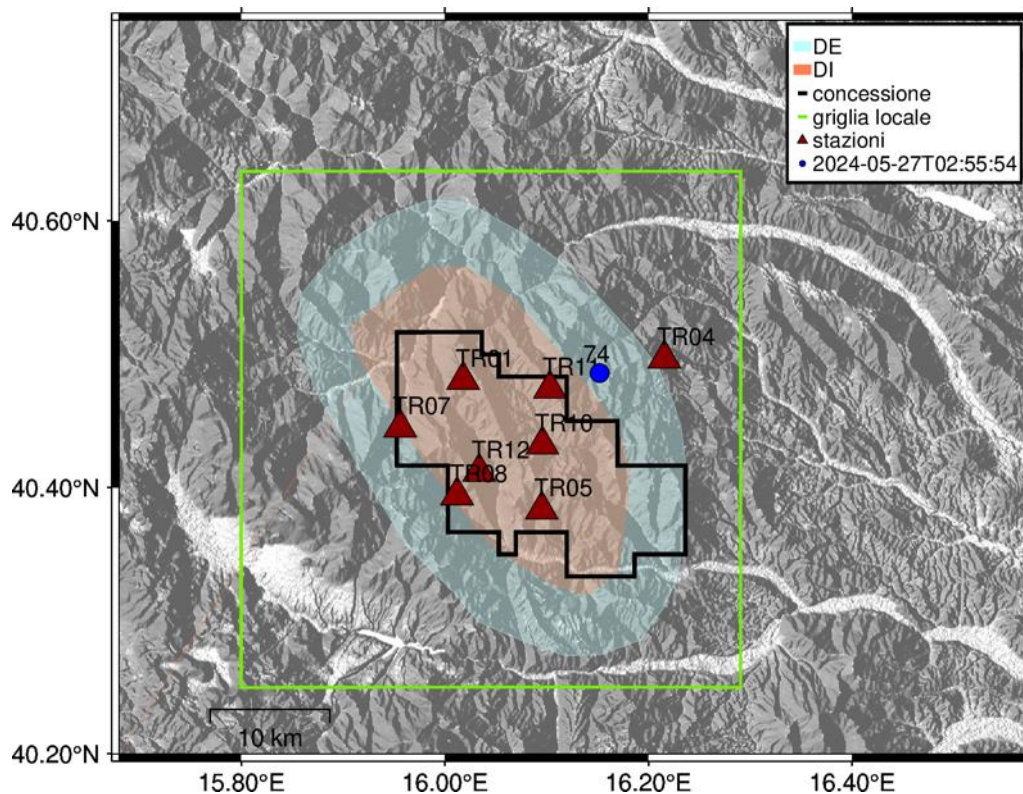


Figura 156 - stazioni utilizzate per la localizzazione, epicentro dell'evento del 27/05/2024 02:55:54 UTC localizzato a profondità 13.47 km

In Figura 157 sono mostrati i segnali acquisiti dalle stazioni usate per la localizzazione dell'evento 74: dall'alto verso il basso, componente Z, N, E

2024-05-27T02:55:54

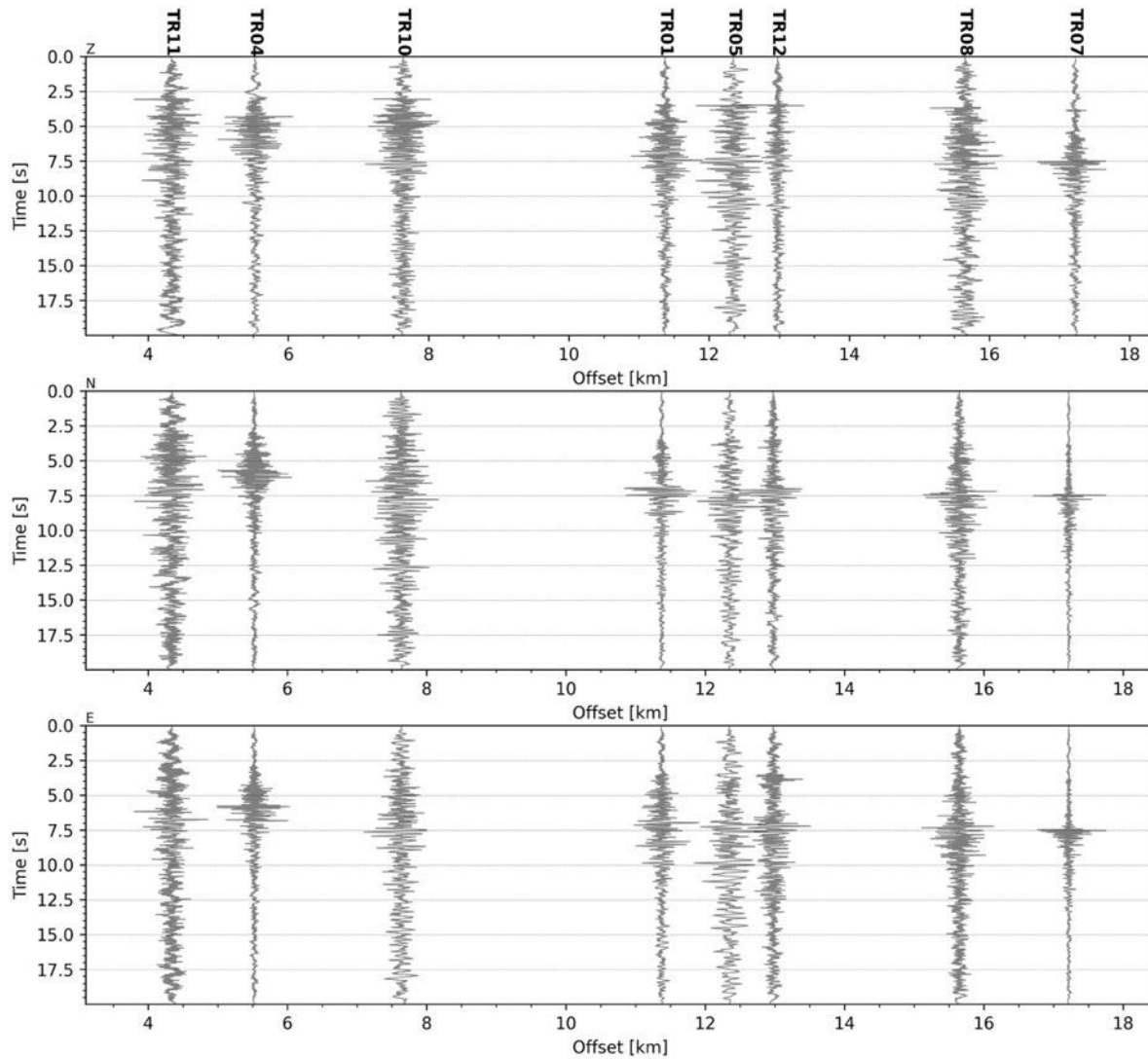


Figura 157 - forme d'onda (segnale raw filtrato) dell'evento 74, registrate dalle stazioni utilizzate per la localizzazione. Dall'alto, componenti Z, N, E.

Evento 75: 27/05/2024 06:58:55 UTC

Id	Tempo Origine [aa/mm/gg hh:mm:ss UTC]	Lat. [°]	Long. [°]	Profondità [km]	RMS [s]	M _i
75	2024-05-27 06:58:55	40.522	16.145	14.89	0.053	1.48±0.29

In Figura 158 sono mostrate le stazioni utilizzate per la localizzazione dell'evento sismico, l'epicentro e i limiti dei Domini di rilevazione e della Concessione.

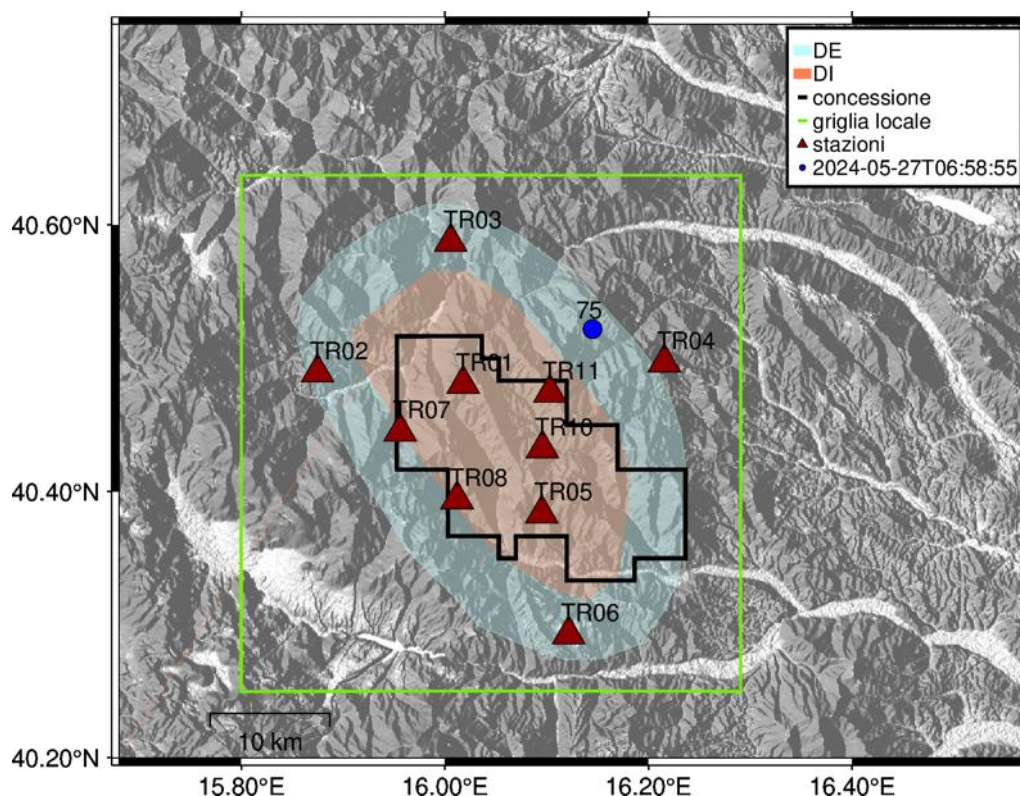


Figura 158 - stazioni utilizzate per la localizzazione, epicentro dell'evento del 27/05/2024 06:58:55 UTC localizzato a profondità 14.89 km

In Figura 159 sono mostrati i segnali acquisiti dalle stazioni usate per la localizzazione dell'evento 75: dall'alto verso il basso, componente Z, N, E

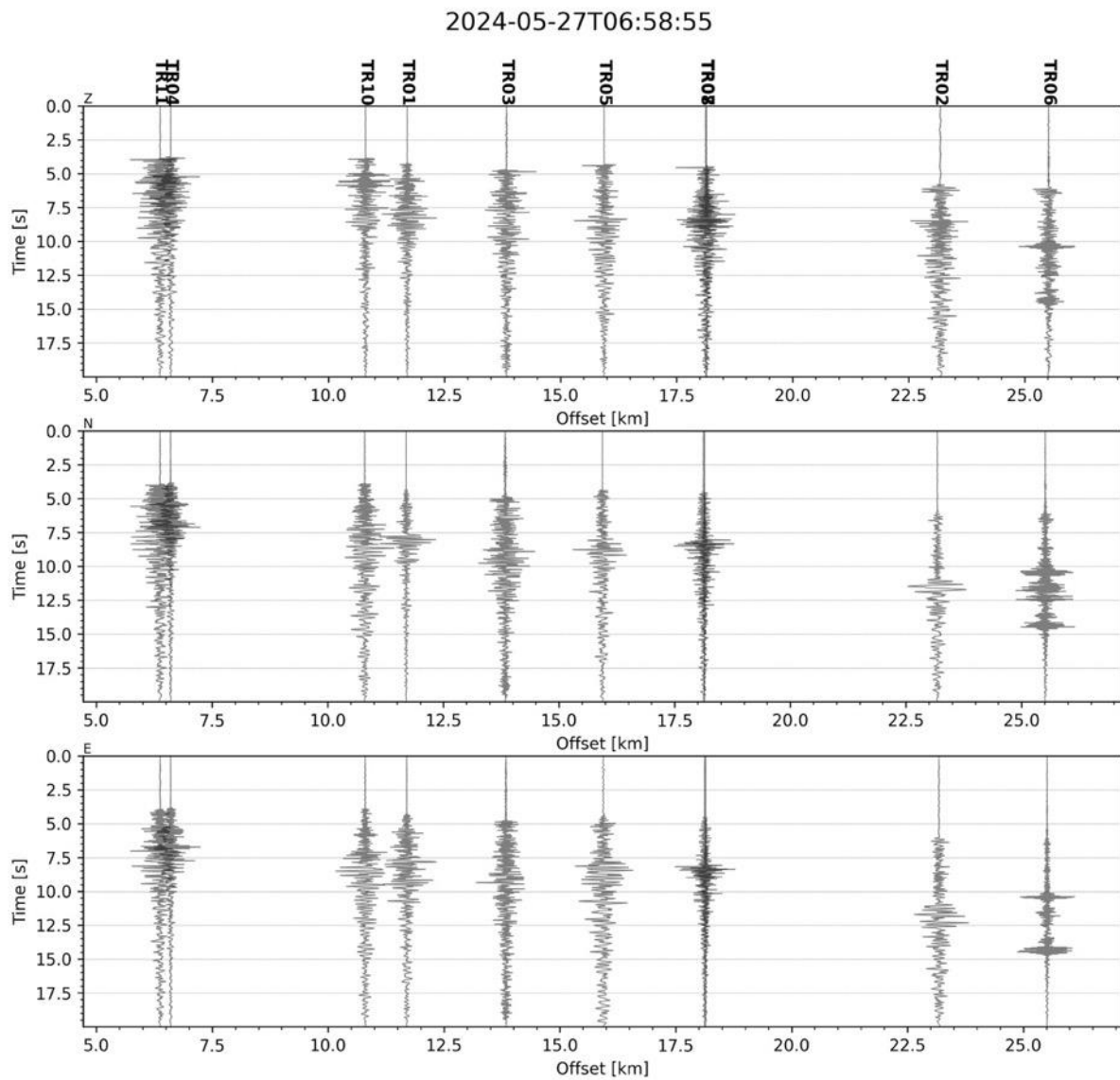


Figura 159 - forme d'onda (segnale raw filtrato) dell'evento 75, registrate dalle stazioni utilizzate per la localizzazione. Dall'alto, componenti Z, N, E.

Evento 76: 29/05/2024 04:28:33 UTC

Id	Tempo Origine [aa/mm/gg hh:mm:ss UTC]	Lat. [°]	Long. [°]	Profondità [km]	RMS [s]	M _i
76	2024-05-29 04:28:33	40.250	15.958	7.81	0.046	0.64±0.24

In Figura 160 sono mostrate le stazioni utilizzate per la localizzazione dell'evento sismico, l'epicentro e i limiti dei Domini di rilevazione e della Concessione.

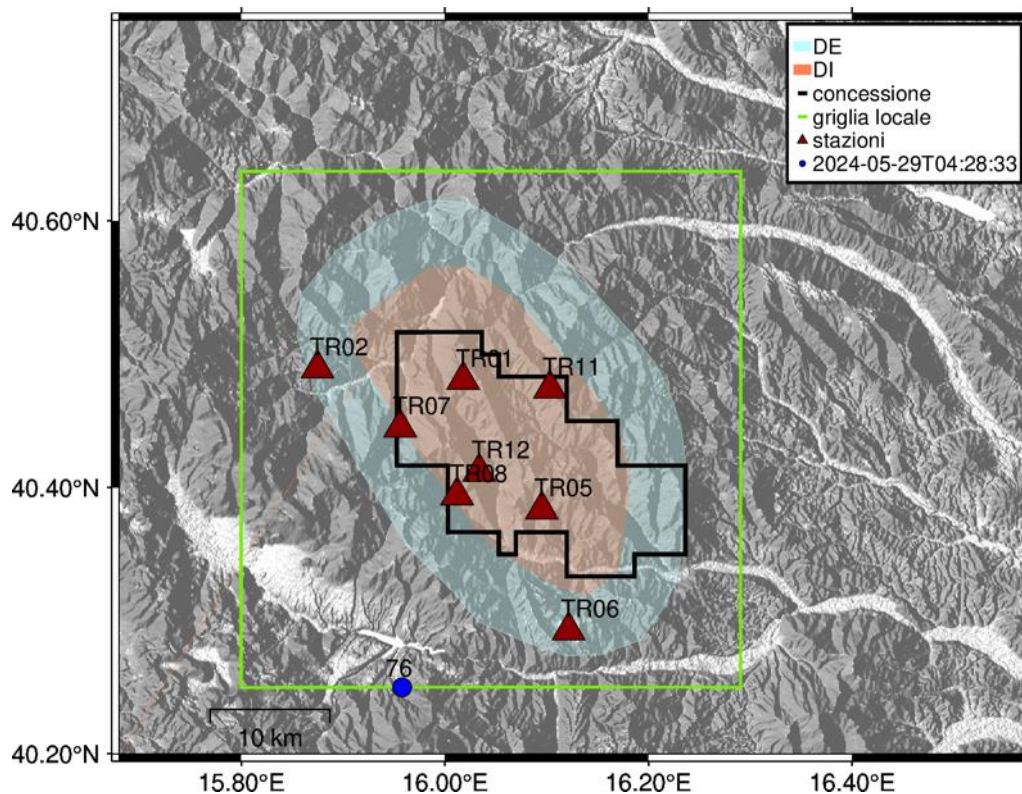


Figura 160 – stazioni utilizzate per la localizzazione, epicentro dell'evento del 29/05/2024 04:28:33 UTC localizzato a profondità 7.81 km

In Figura 161 sono mostrati i segnali acquisiti dalle stazioni usate per la localizzazione dell'evento 76: dall'alto verso il basso, componente Z, N, E

2024-05-29T04:28:33

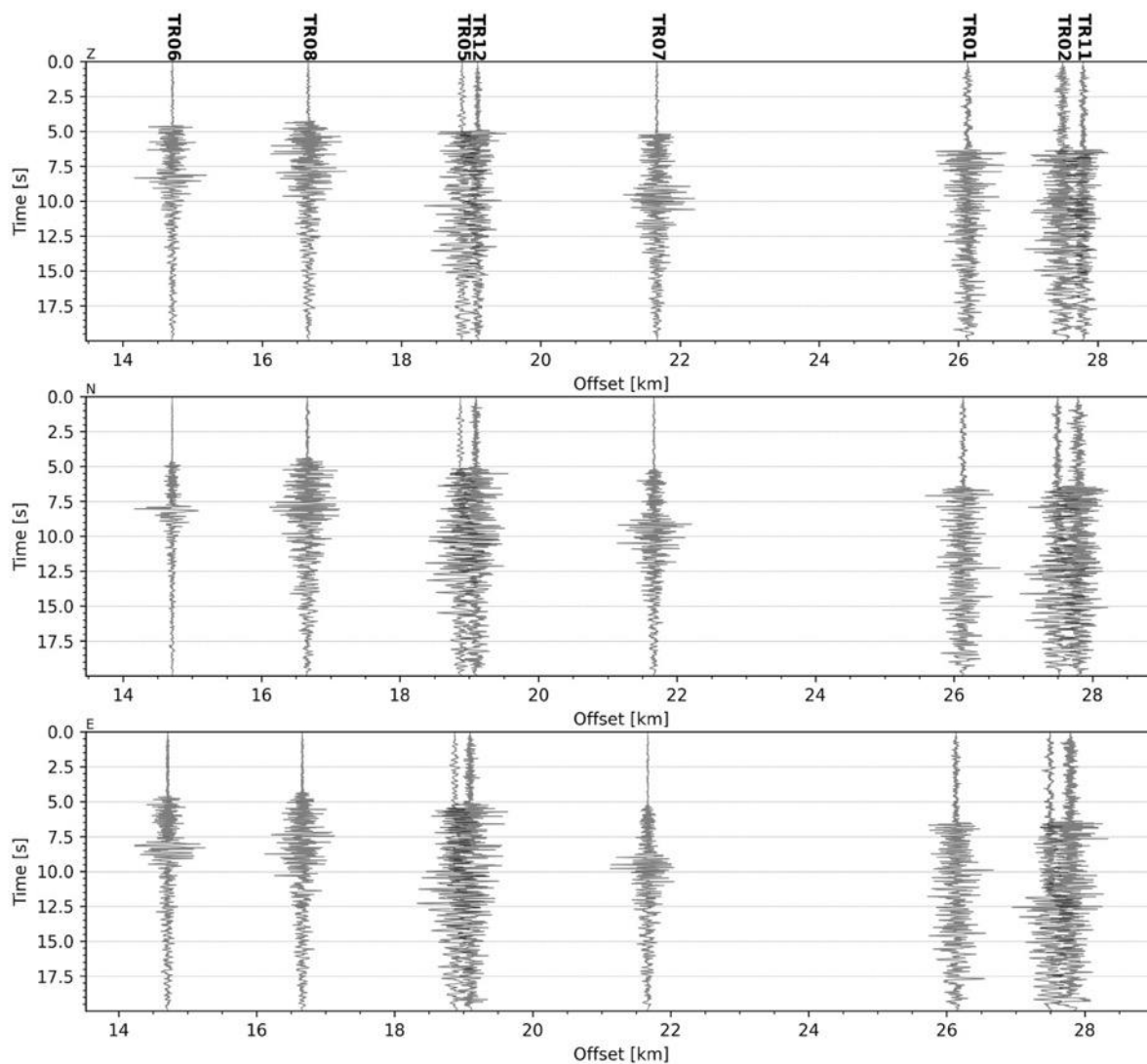


Figura 161 - forme d'onda (segnale raw filtrato) dell'evento 76, registrate dalle stazioni utilizzate per la localizzazione. Dall'alto, componenti Z, N, E.

Evento 77: 29/05/2024 19:50:21 UTC

Id	Tempo Origine [aa/mm/gg hh:mm:ss UTC]	Lat. [°]	Long. [°]	Profondità [km]	RMS [s]	M _i
77	2024-05-29 19:50:21	40.455	16.124	6.41	0.054	0.54±0.23

In Figura 162 sono mostrate le stazioni utilizzate per la localizzazione dell'evento sismico, l'epicentro e i limiti dei Domini di rilevazione e della Concessione.

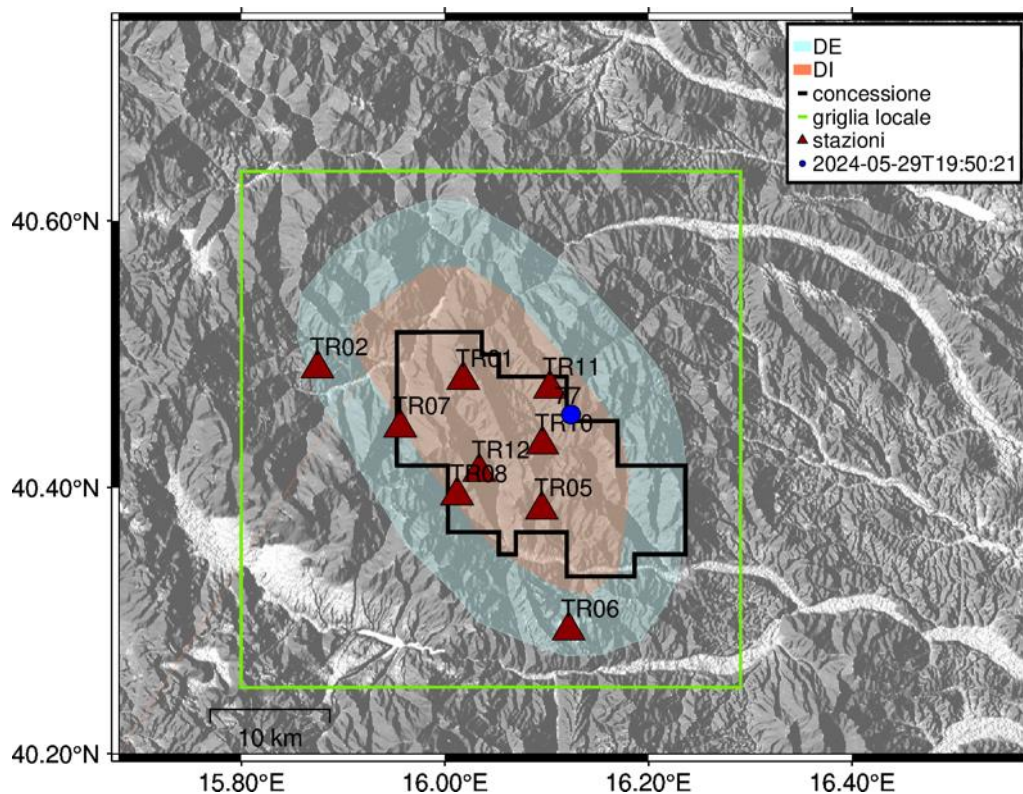


Figura 162 - stazioni utilizzate per la localizzazione, epicentro dell'evento del 29/05/2024 19:50:21 UTC localizzato a profondità 6.41 km

In Figura 163 sono mostrati i segnali acquisiti dalle stazioni usate per la localizzazione dell'evento 77: dall'alto verso il basso, componente Z, N, E

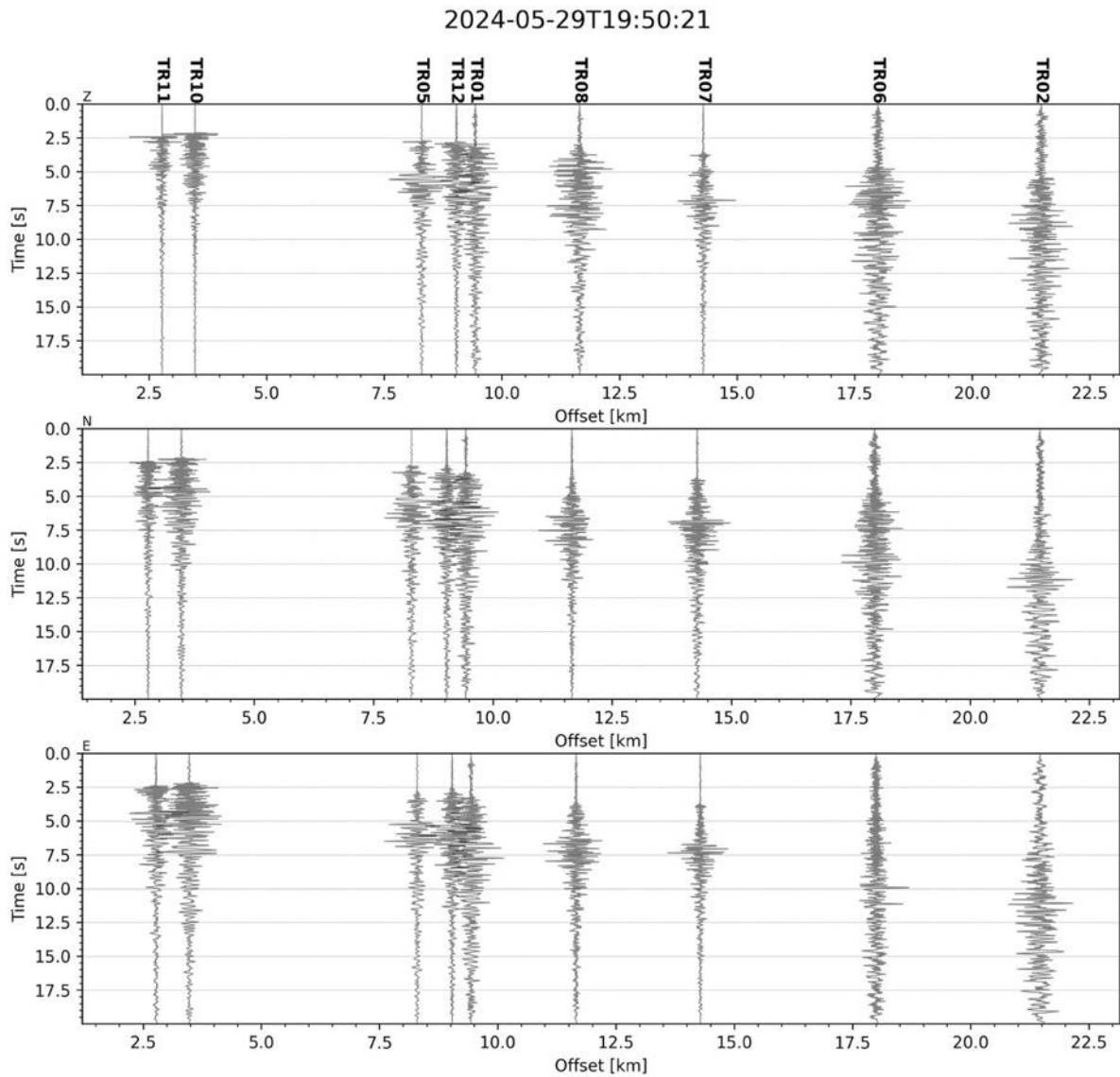


Figura 163 - forme d'onda (segnale raw filtrato) dell'evento 77, registrate dalle stazioni utilizzate per la localizzazione. Dall'alto, componenti Z, N, E.

Evento 78: 31/05/2024 23:16:13 UTC

Id	Tempo Origine [aa/mm/gg hh:mm:ss UTC]	Lat. [°]	Long. [°]	Profondità [km]	RMS [s]	M _i
78	2024-05-31 23:16:13	40.520	16.155	13.78	0.068	0.39±0.25

In Figura 164 sono mostrate le stazioni utilizzate per la localizzazione dell'evento sismico, l'epicentro e i limiti dei Domini di rilevazione e della Concessione.

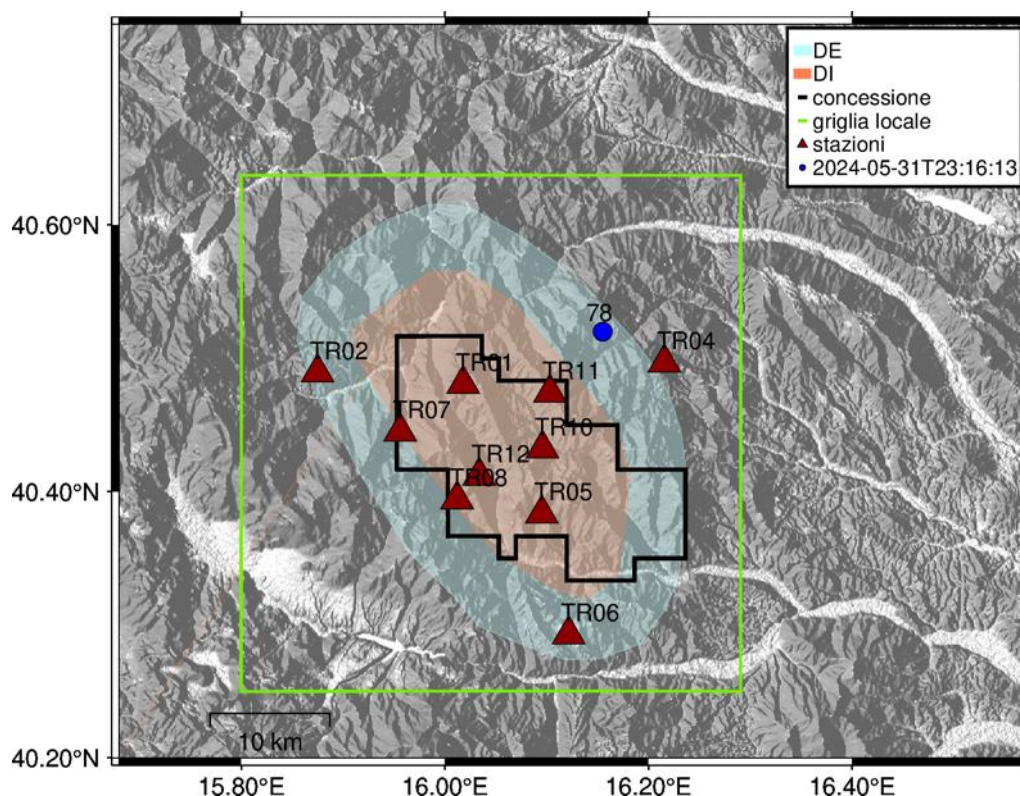


Figura 164 - stazioni utilizzate per la localizzazione, epicentro dell'evento del 31/05/2024 23:16:13 UTC localizzato a profondità 13.78 km

In Figura 165 sono mostrati i segnali acquisiti dalle stazioni usate per la localizzazione dell'evento 78: dall'alto verso il basso, componente Z, N, E

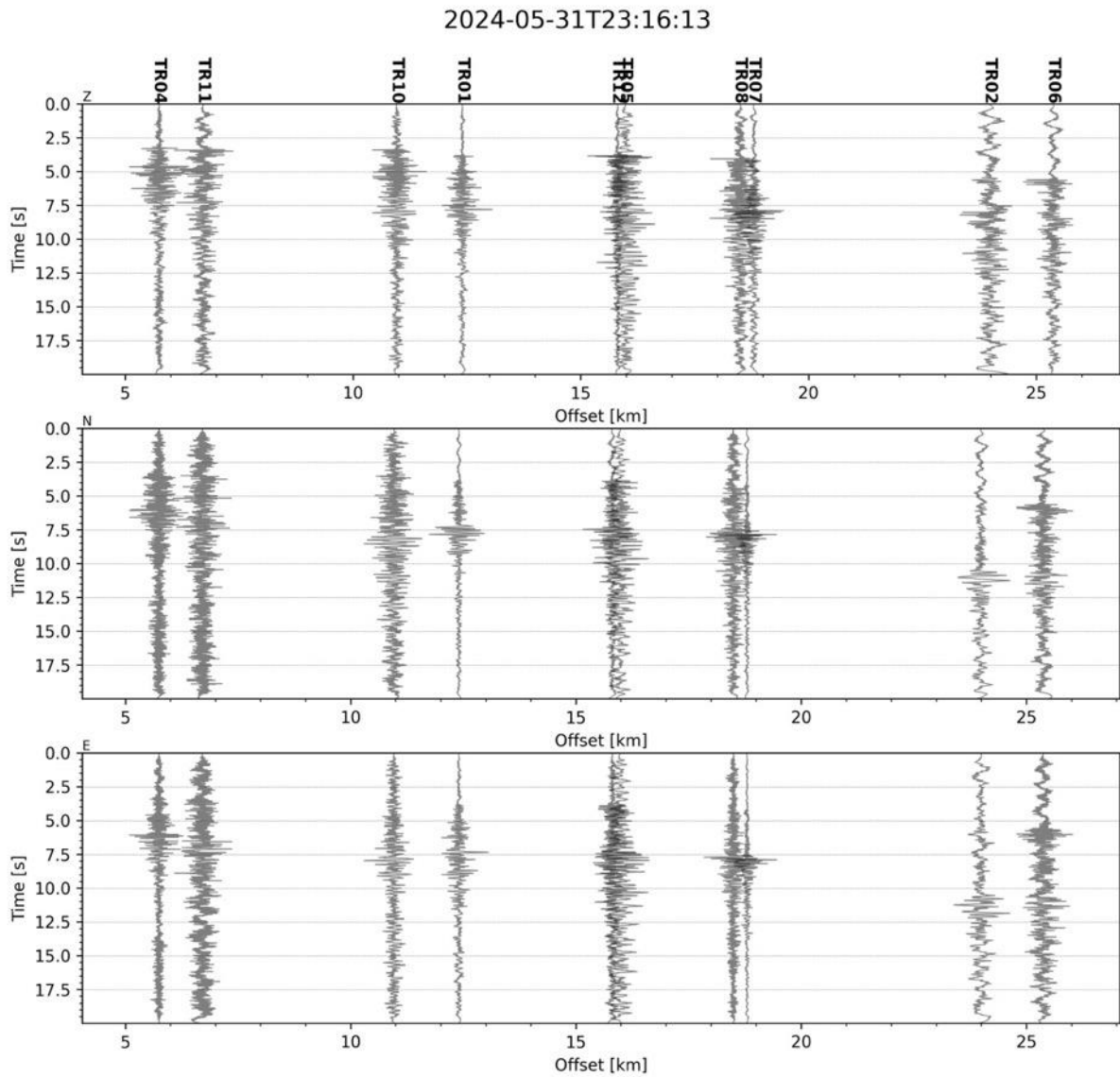


Figura 165 - forme d'onda (segnale raw filtrato) dell'evento 78, registrate dalle stazioni utilizzate per la localizzazione. Dall'alto, componenti Z, N, E.

Evento 79: 02/06/2024 23:26:40 UTC

Id	Tempo Origine [aa/mm/gg hh:mm:ss UTC]	Lat. [°]	Long. [°]	Profondità [km]	RMS [s]	M _i
79	2024-06-02 23:26:40	40.402	16.261	18.94	0.286	0.27±0.17

In Figura 166 sono mostrate le stazioni utilizzate per la localizzazione dell'evento sismico, l'epicentro e i limiti dei Domini di rilevazione e della Concessione.

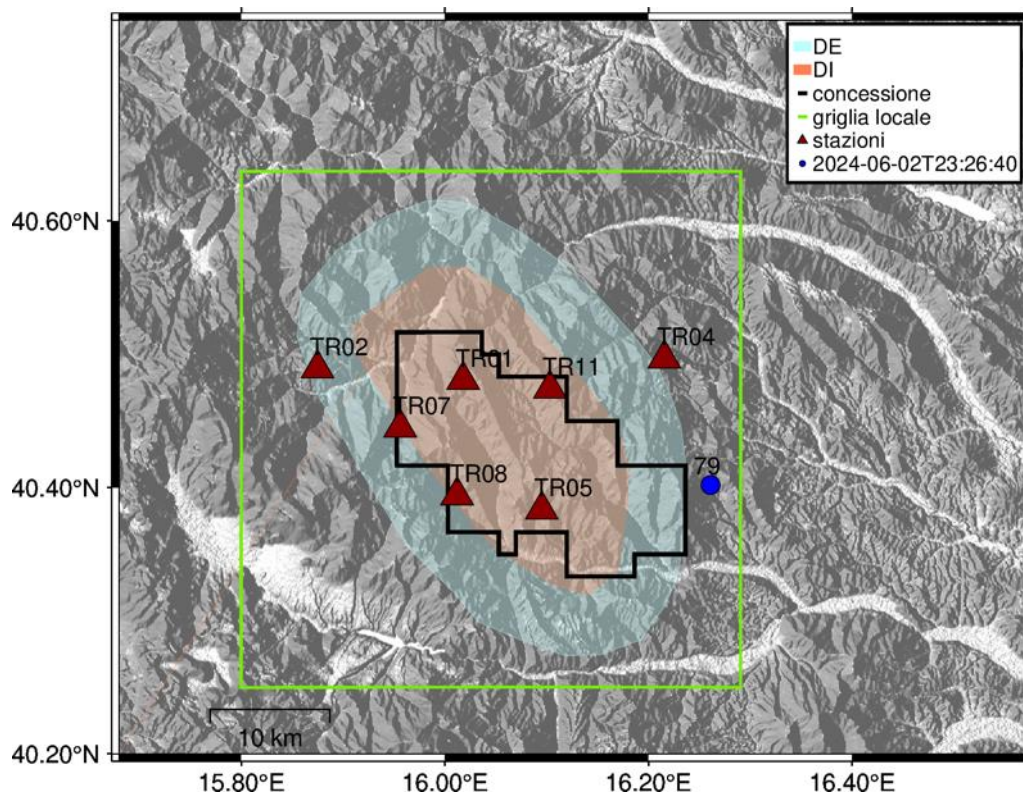


Figura 166 - stazioni utilizzate per la localizzazione, epicentro dell'evento del 02/06/2024 23:26:40 UTC localizzato a profondità 18.94 km

In Figura 167 sono mostrati i segnali acquisiti dalle stazioni usate per la localizzazione dell'evento 79: dall'alto verso il basso, componente Z, N, E

2024-06-02T23:26:40

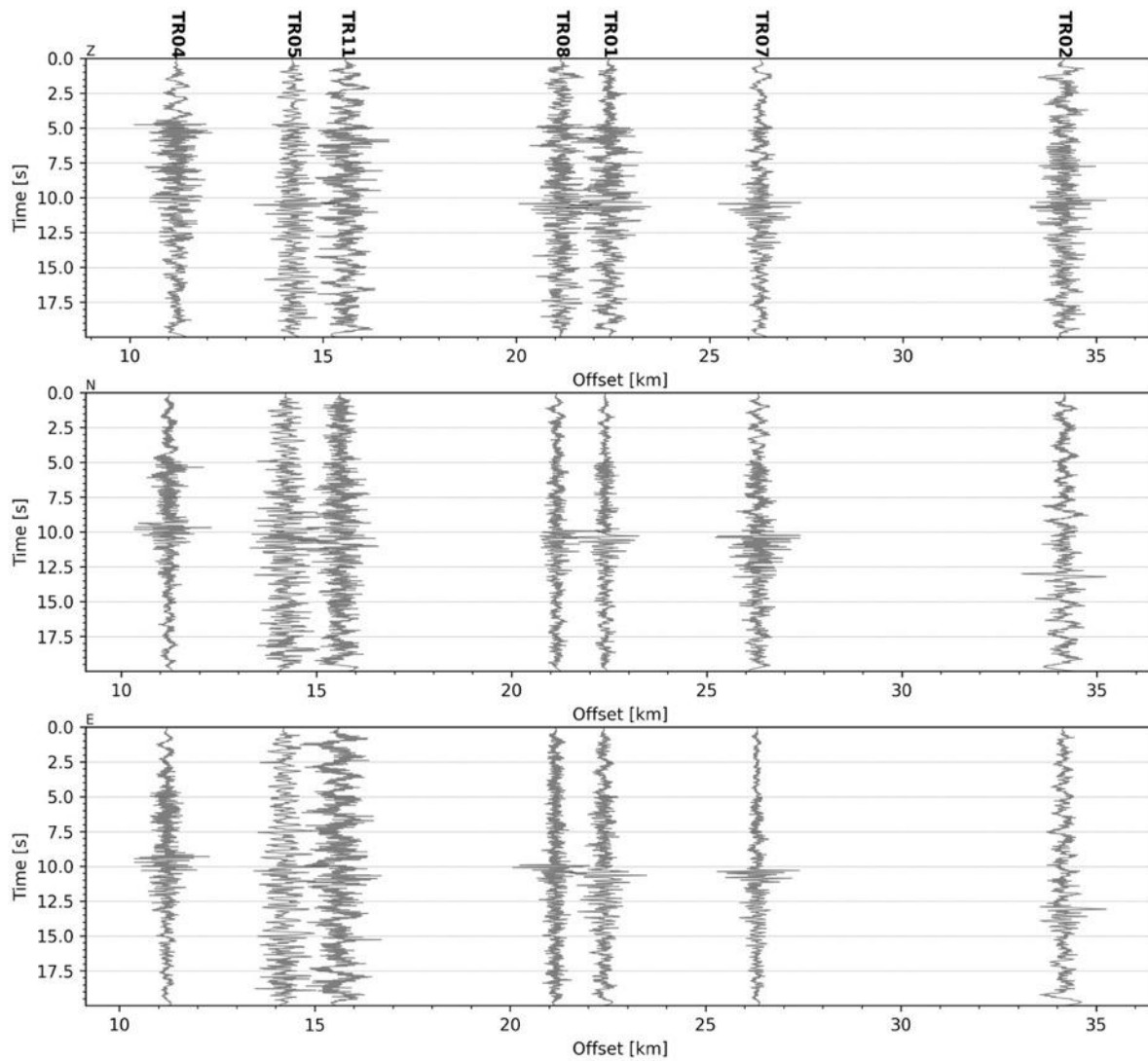


Figura 167 - forme d'onda (segnale raw filtrato) dell'evento 79, registrate dalle stazioni utilizzate per la localizzazione. Dall'alto, componenti Z, N, E.

Evento 80: 03/06/2024 05:15:20 UTC

Id	Tempo Origine [aa/mm/gg hh:mm:ss UTC]	Lat. [°]	Long. [°]	Profondità [km]	RMS [s]	M _i
80	2024-06-03 05:15:20	40.523	16.269	11.19	0.073	0.9±0.21

In Figura 168 sono mostrate le stazioni utilizzate per la localizzazione dell'evento sismico, l'epicentro e i limiti dei Domini di rilevazione e della Concessione.

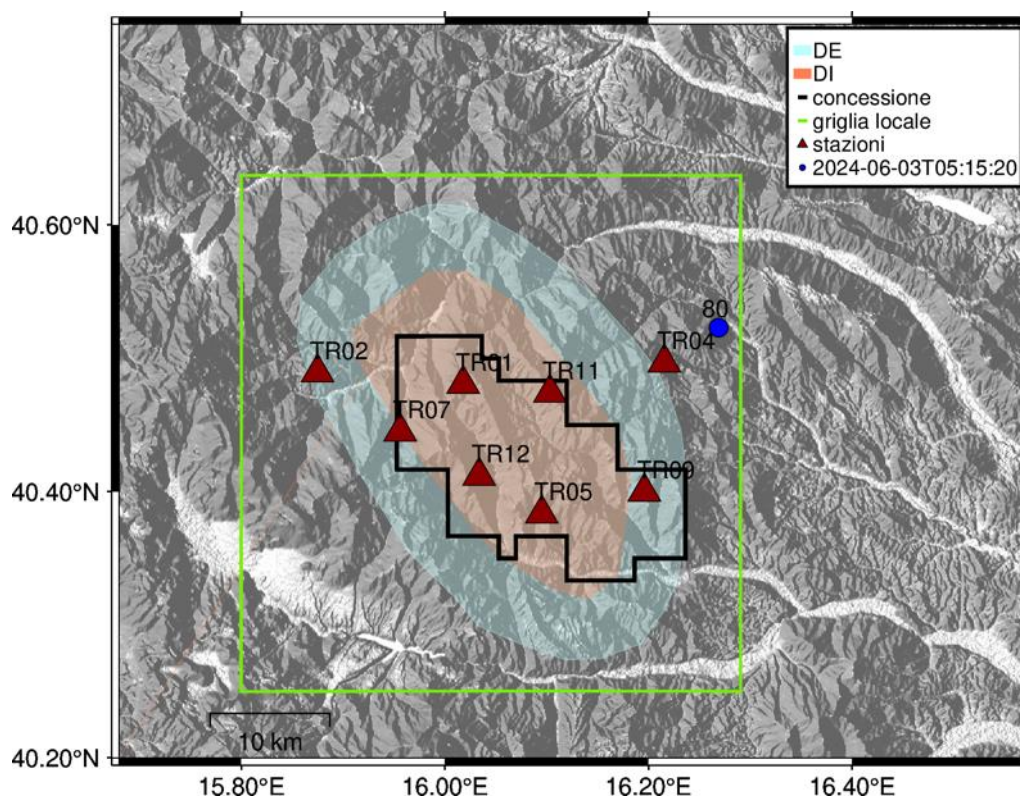


Figura 168 - stazioni utilizzate per la localizzazione, epicentro dell'evento del 03/06/2024 05:15:20 UTC localizzato a profondità 11.19 km

In Figura 169 sono mostrati i segnali acquisiti dalle stazioni usate per la localizzazione dell'evento 80: dall'alto verso il basso, componente Z, N, E

2024-06-03T05:15:20

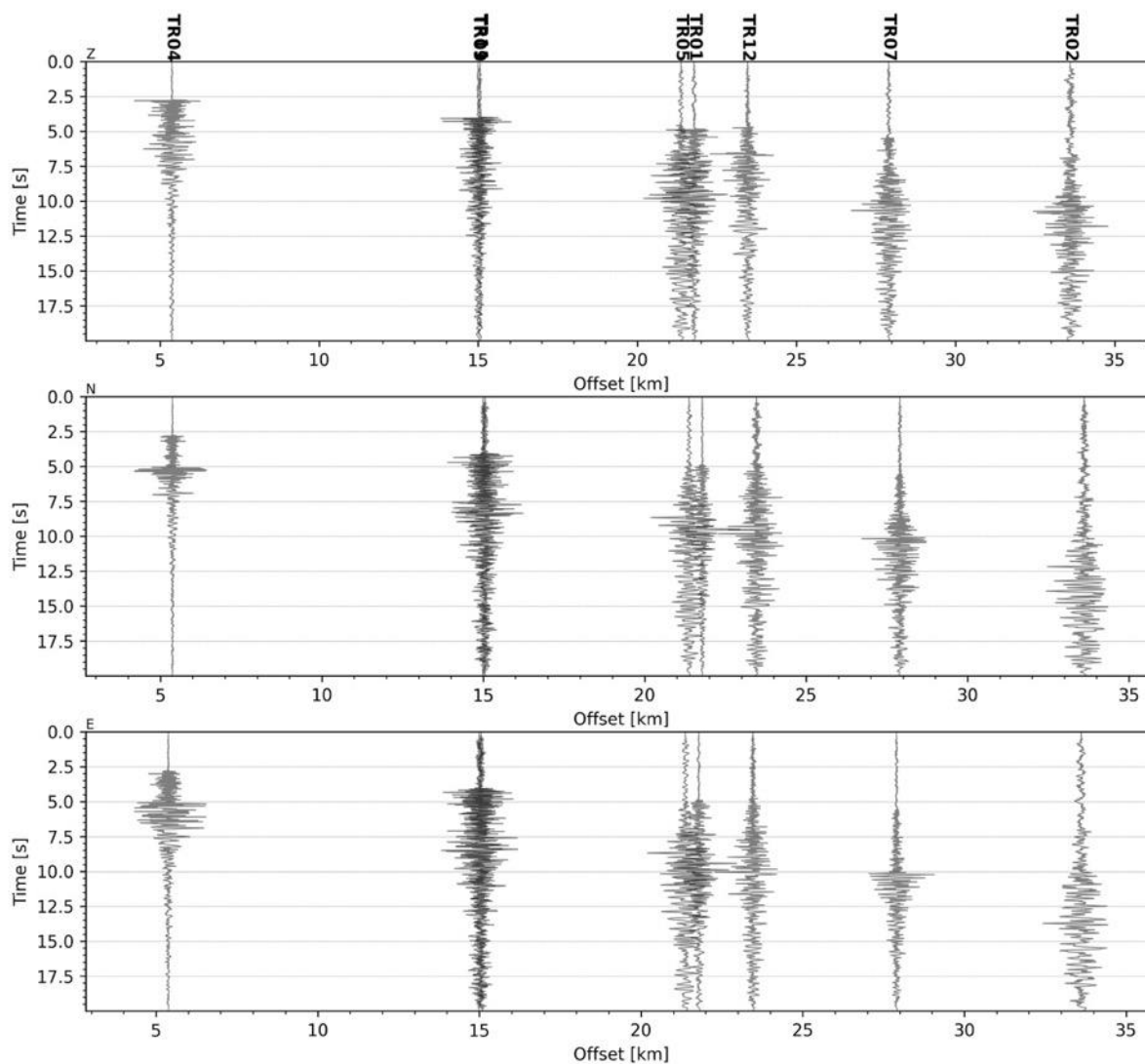


Figura 169 - forme d'onda (segnale raw filtrato) dell'evento 80, registrate dalle stazioni utilizzate per la localizzazione. Dall'alto, componenti Z, N, E.

Evento 81: 07/06/2024 11:13:29 UTC

Id	Tempo Origine [aa/mm/gg hh:mm:ss UTC]	Lat. [°]	Long. [°]	Profondità [km]	RMS [s]	M _i
81	2024-06-07 11:13:29	40.481	16.150	12.34	0.054	0.69±0.20

In Figura 170 sono mostrate le stazioni utilizzate per la localizzazione dell'evento sismico, l'epicentro e i limiti dei Domini di rilevazione e della Concessione.

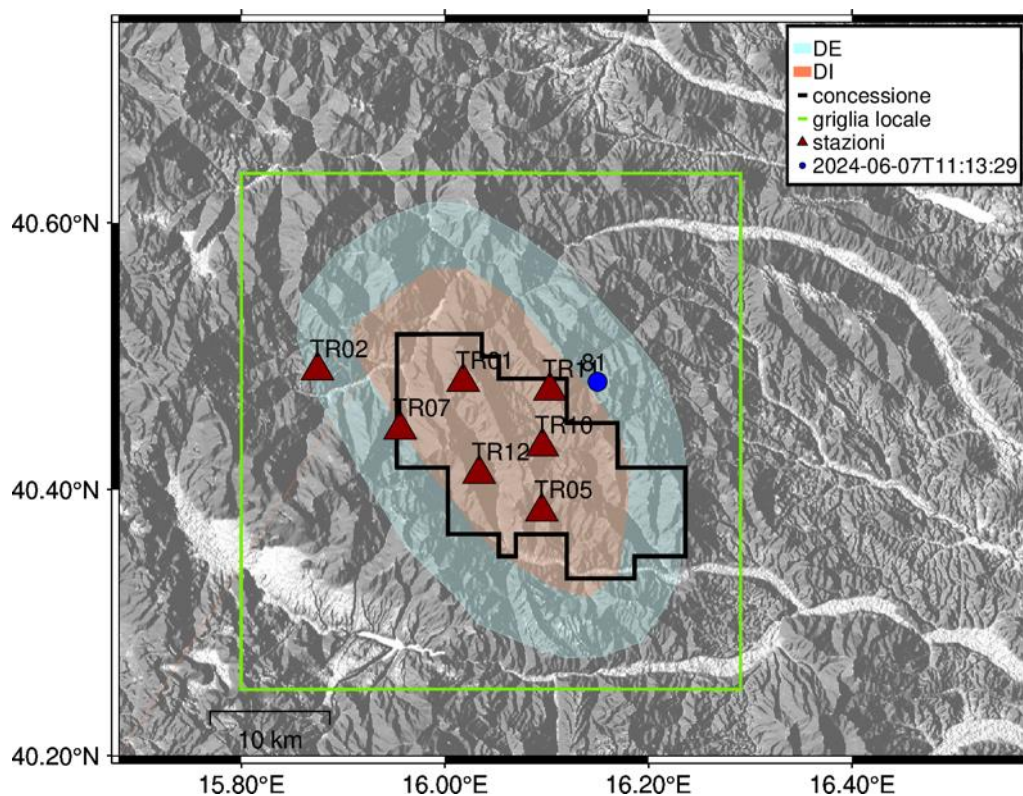


Figura 170 - stazioni utilizzate per la localizzazione, epicentro dell'evento del 07/06/2024 11:13:29 UTC localizzato a profondità 12.34 km

In Figura 171 sono mostrati i segnali acquisiti dalle stazioni usate per la localizzazione dell'evento 81: dall'alto verso il basso, componente Z, N, E

2024-06-07T11:13:29

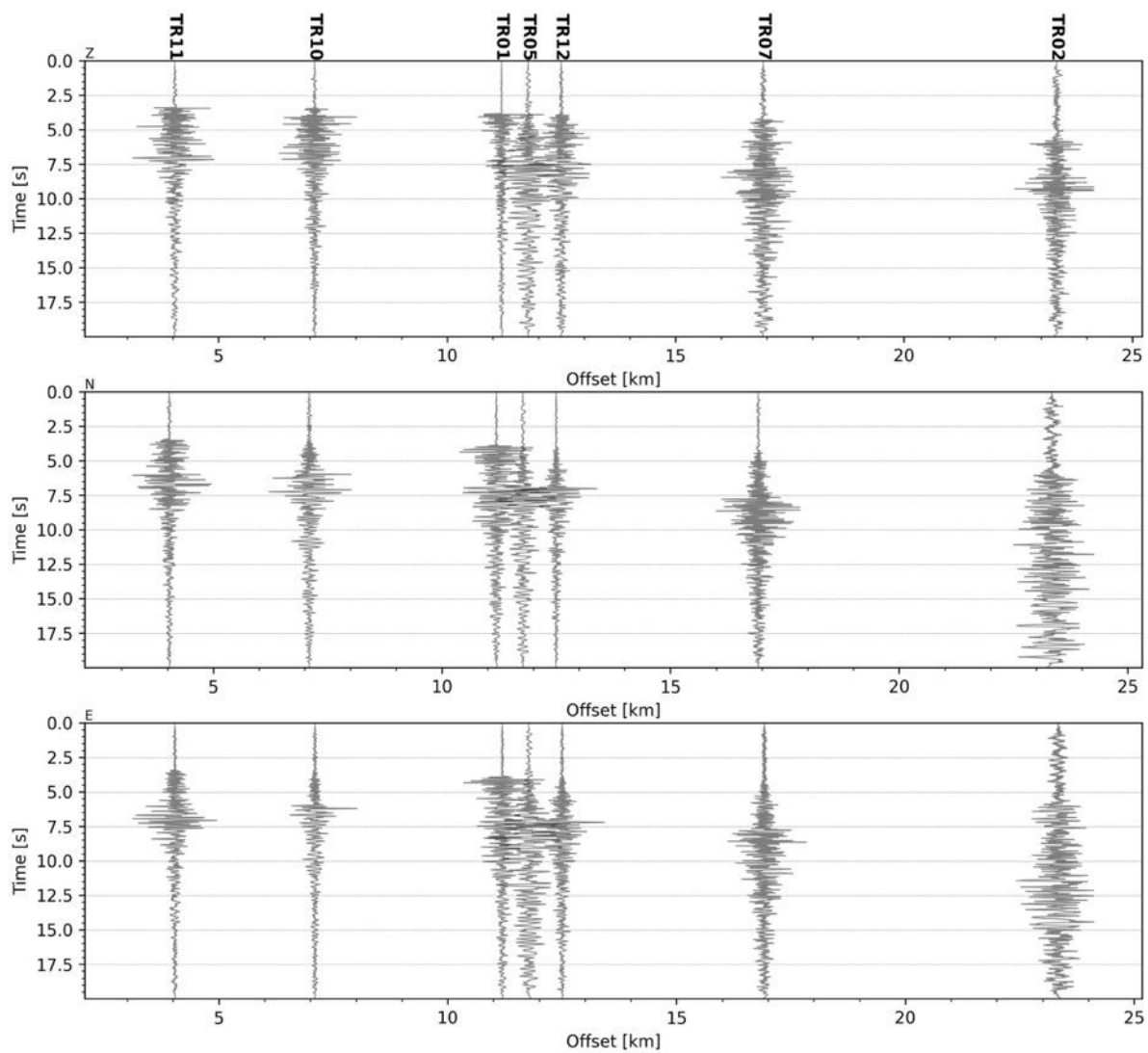


Figura 171 - forme d'onda (segnale raw filtrato) dell'evento 81, registrate dalle stazioni utilizzate per la localizzazione. Dall'alto, componenti Z, N, E.

Evento 82: 08/06/2024 15:40:47 UTC

Id	Tempo Origine [aa/mm/gg hh:mm:ss UTC]	Lat. [°]	Long. [°]	Profondità [km]	RMS [s]	M _i
82	2024-06-08 15:40:47	40.536	16.208	9.28	0.074	0.35±0.19

In Figura 172 sono mostrate le stazioni utilizzate per la localizzazione dell'evento sismico, l'epicentro e i limiti dei Domini di rilevazione e della Concessione.

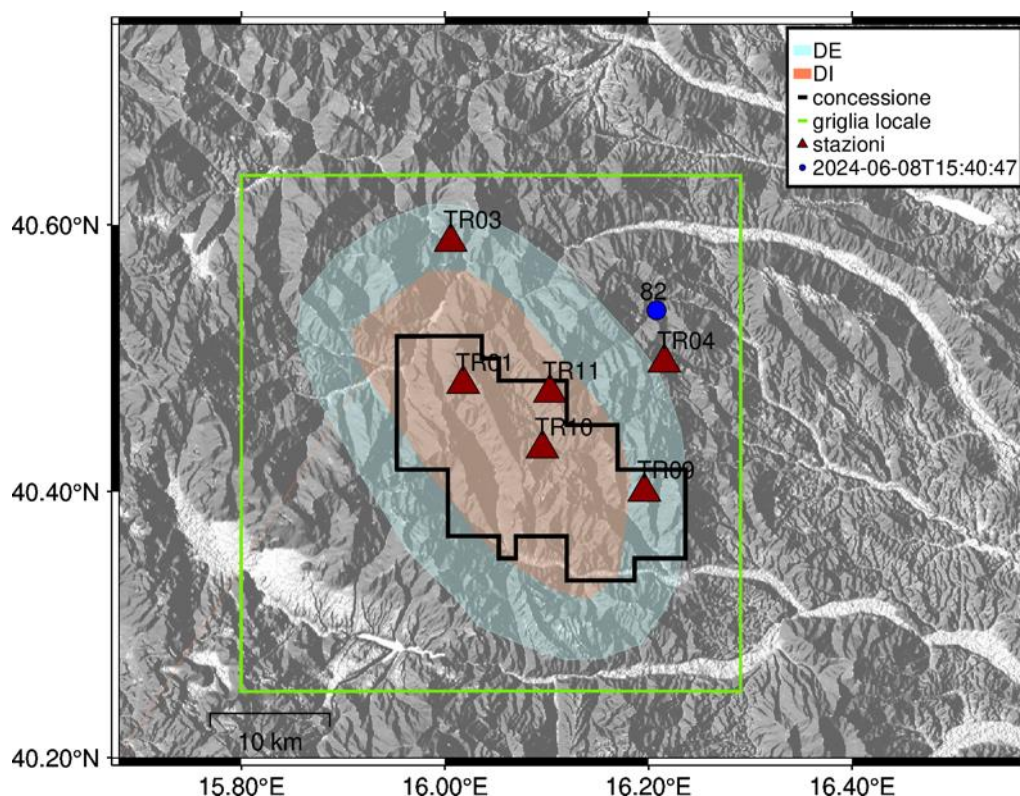


Figura 172 - stazioni utilizzate per la localizzazione, epicentro dell'evento del 08/06/2024 15:40:47 UTC localizzato a profondità 9.28 km

In Figura 173 sono mostrati i segnali acquisiti dalle stazioni usate per la localizzazione dell'evento 82: dall'alto verso il basso, componente Z, N, E

2024-06-08T15:40:47

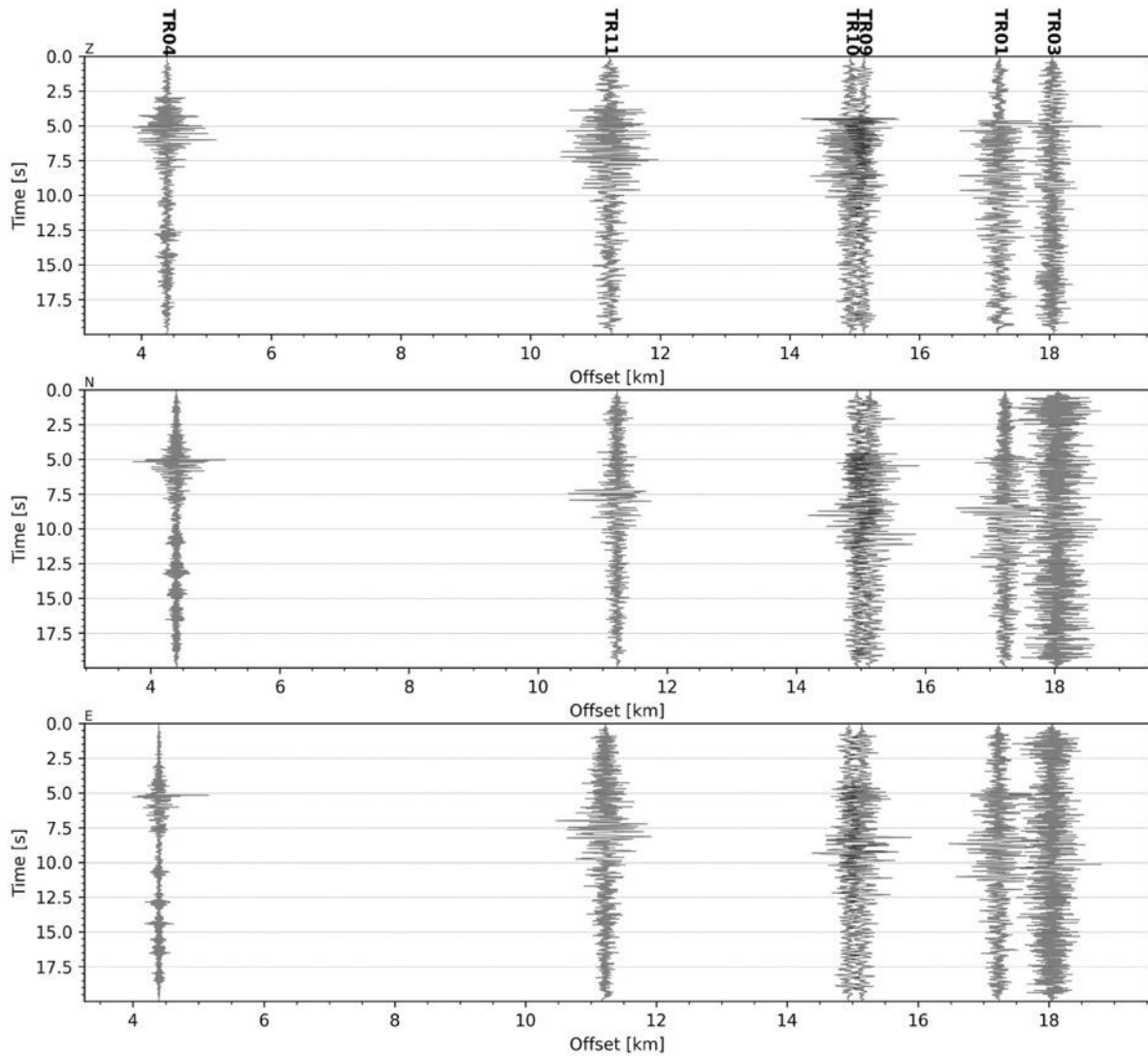


Figura 173 - forme d'onda (segnale raw filtrato) dell'evento 82, registrate dalle stazioni utilizzate per la localizzazione. Dall'alto, componenti Z, N, E.

Evento 83: 09/06/2024 17:40:00 UTC

Id	Tempo Origine [aa/mm/gg hh:mm:ss UTC]	Lat. [°]	Long. [°]	Profondità [km]	RMS [s]	M _i
83	2024-06-09 17:40:00	40.526	16.272	10.88	0.052	0.83±0.22

In Figura 174 sono mostrate le stazioni utilizzate per la localizzazione dell'evento sismico, l'epicentro e i limiti dei Domini di rilevazione e della Concessione.

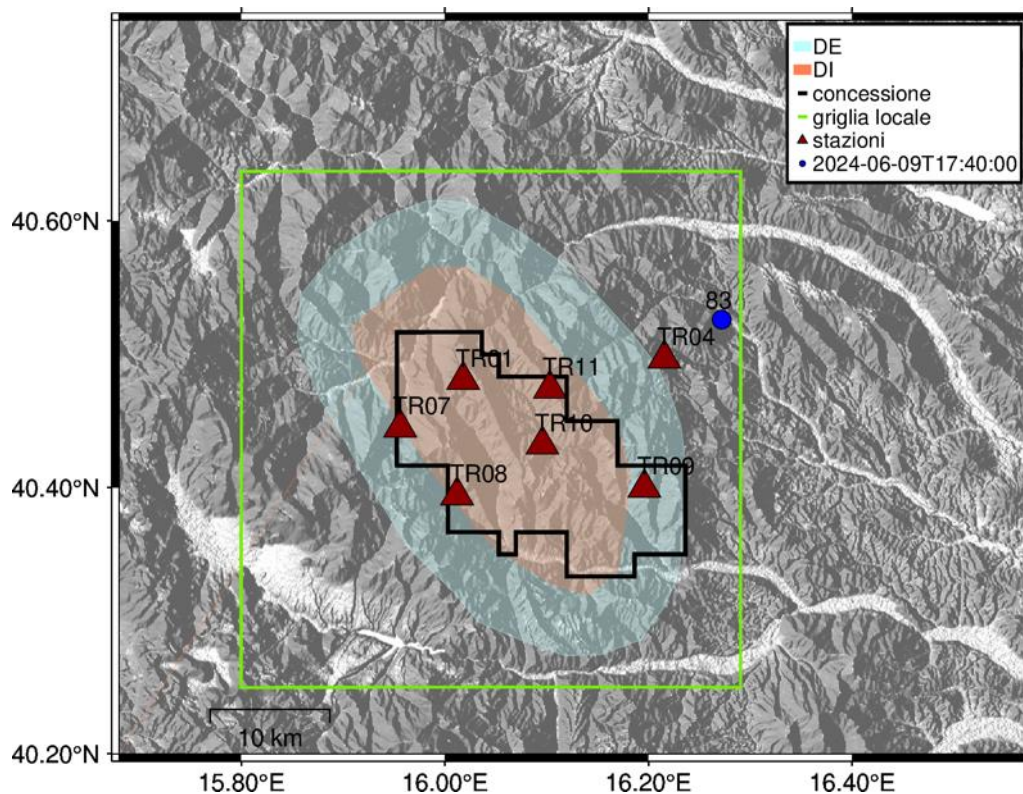


Figura 174 - stazioni utilizzate per la localizzazione, epicentro dell'evento del 09/06/2024 17:40:00 UTC localizzato a profondità 10.88 km

In Figura 175 sono mostrati i segnali acquisiti dalle stazioni usate per la localizzazione dell'evento 83: dall'alto verso il basso, componente Z, N, E

2024-06-09T17:40:00

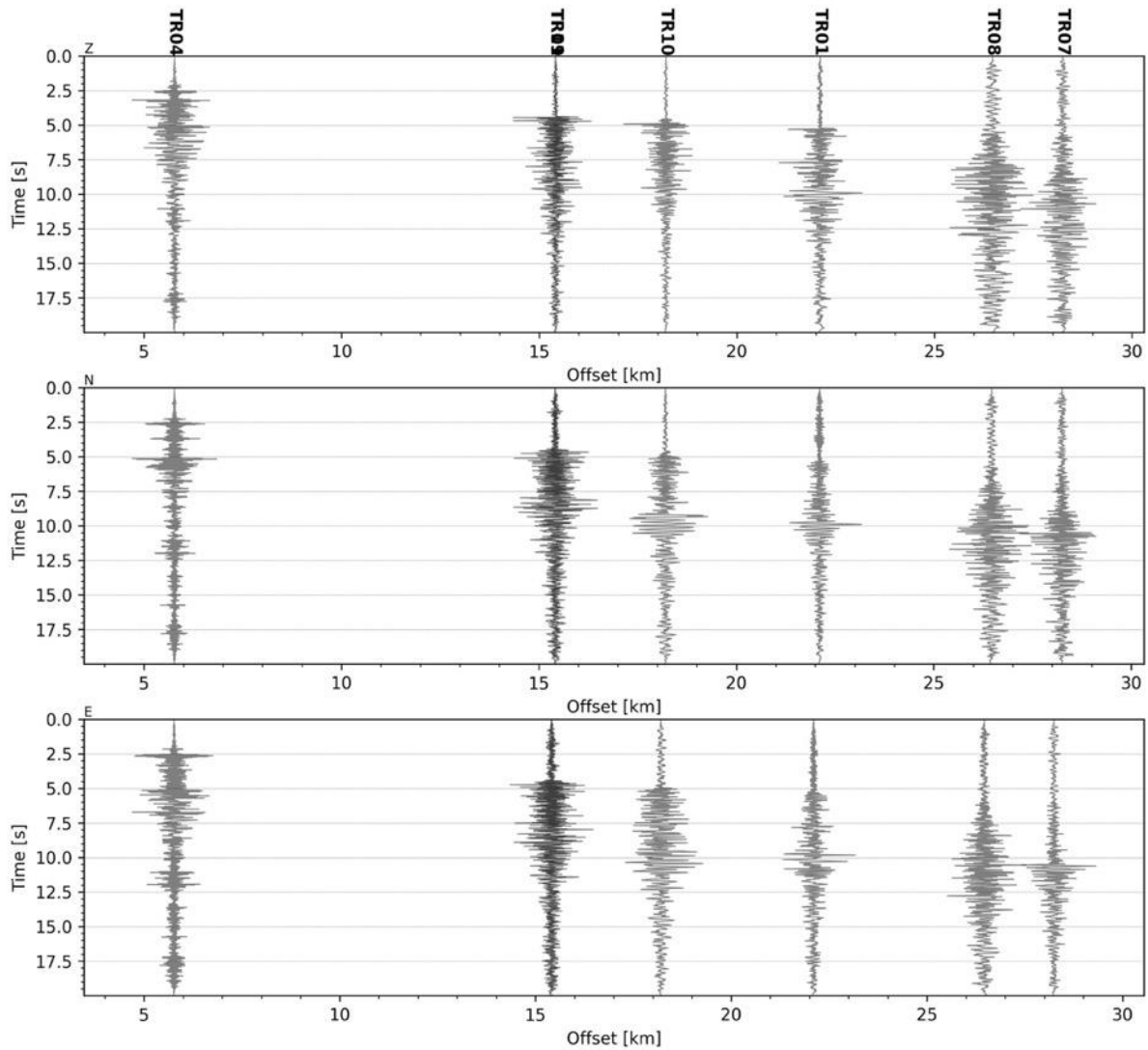


Figura 175 - forme d'onda (segnale raw filtrato) dell'evento 83, registrate dalle stazioni utilizzate per la localizzazione. Dall'alto, componenti Z, N, E.

Evento 84: 15/06/2024 00:53:41 UTC

Id	Tempo Origine [aa/mm/gg hh:mm:ss UTC]	Lat. [°]	Long. [°]	Profondità [km]	RMS [s]	M _i
84	2024-06-15 00:53:41	40.575	16.185	11.88	0.041	0.12±0.29

In Figura 176 sono mostrate le stazioni utilizzate per la localizzazione dell'evento sismico, l'epicentro e i limiti dei Domini di rilevazione e della Concessione.

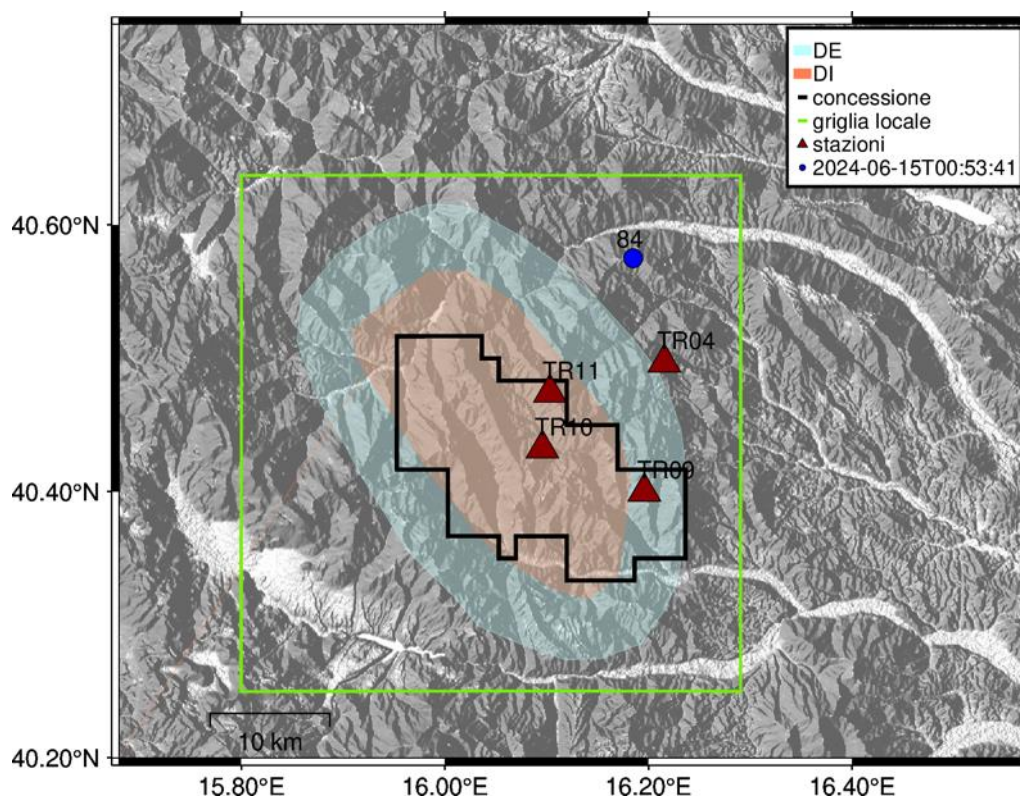


Figura 176 - stazioni utilizzate per la localizzazione, epicentro dell'evento del 15/06/2024 00:53:41 UTC localizzato a profondità 11.88 km

In Figura 177 sono mostrati i segnali acquisiti dalle stazioni usate per la localizzazione dell'evento 84: dall'alto verso il basso, componente Z, N, E

2024-06-15T00:53:41

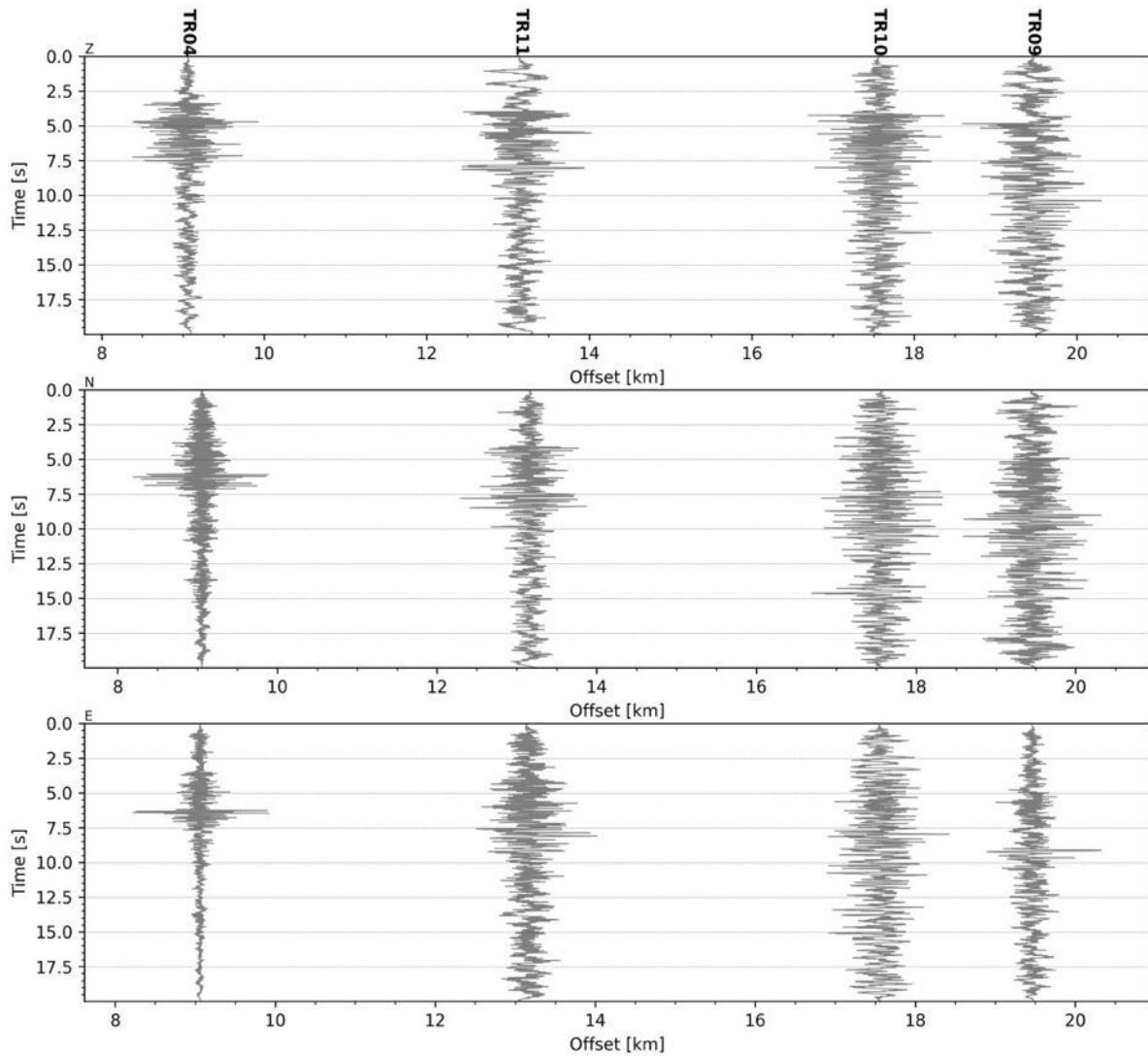


Figura 177 - forme d'onda (segnale raw filtrato) dell'evento 84, registrate dalle stazioni utilizzate per la localizzazione. Dall'alto, componenti Z, N, E.

Evento 85: 17/06/2024 06:48:41 UTC

Id	Tempo Origine [aa/mm/gg hh:mm:ss UTC]	Lat. [°]	Long. [°]	Profondità [km]	RMS [s]	M _i
85	2024-06-17 06:48:41	40.545	16.063	12.25	0.038	0.11±0.17

In Figura 178 sono mostrate le stazioni utilizzate per la localizzazione dell'evento sismico, l'epicentro e i limiti dei Domini di rilevazione e della Concessione.

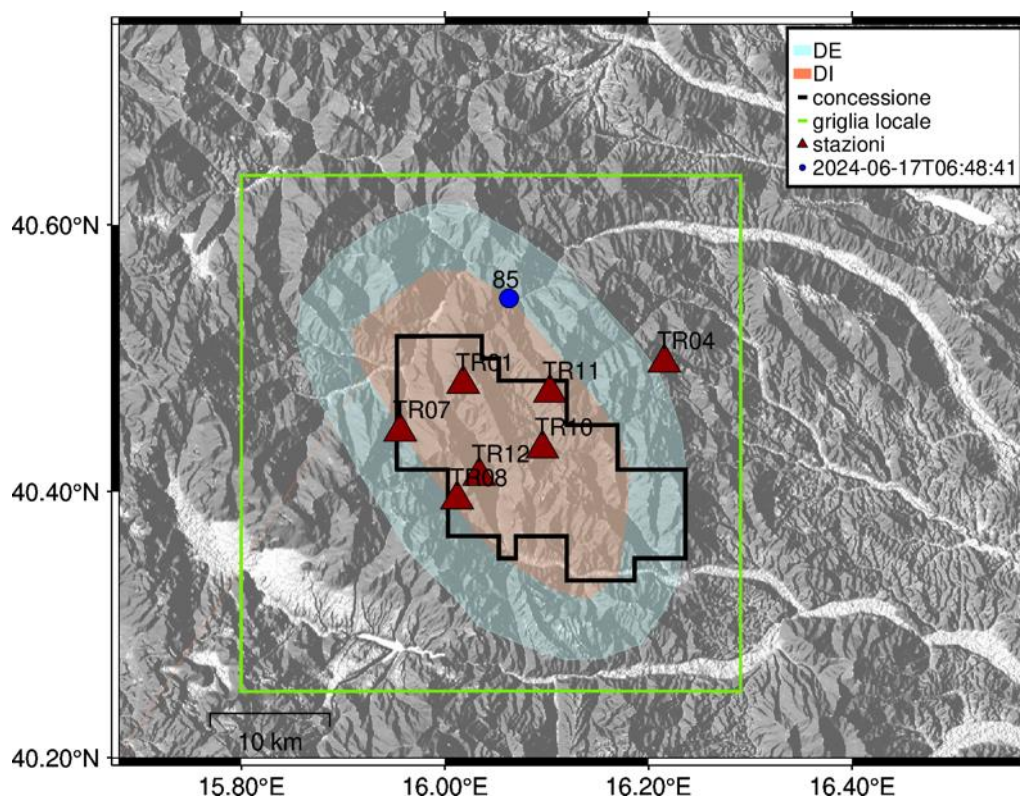


Figura 178 - stazioni utilizzate per la localizzazione, epicentro dell'evento del 17/06/2024 06:48:41 UTC localizzato a profondità 12.25 km

In Figura 179 sono mostrati i segnali acquisiti dalle stazioni usate per la localizzazione dell'evento 85: dall'alto verso il basso, componente Z, N, E

2024-06-17T06:48:41

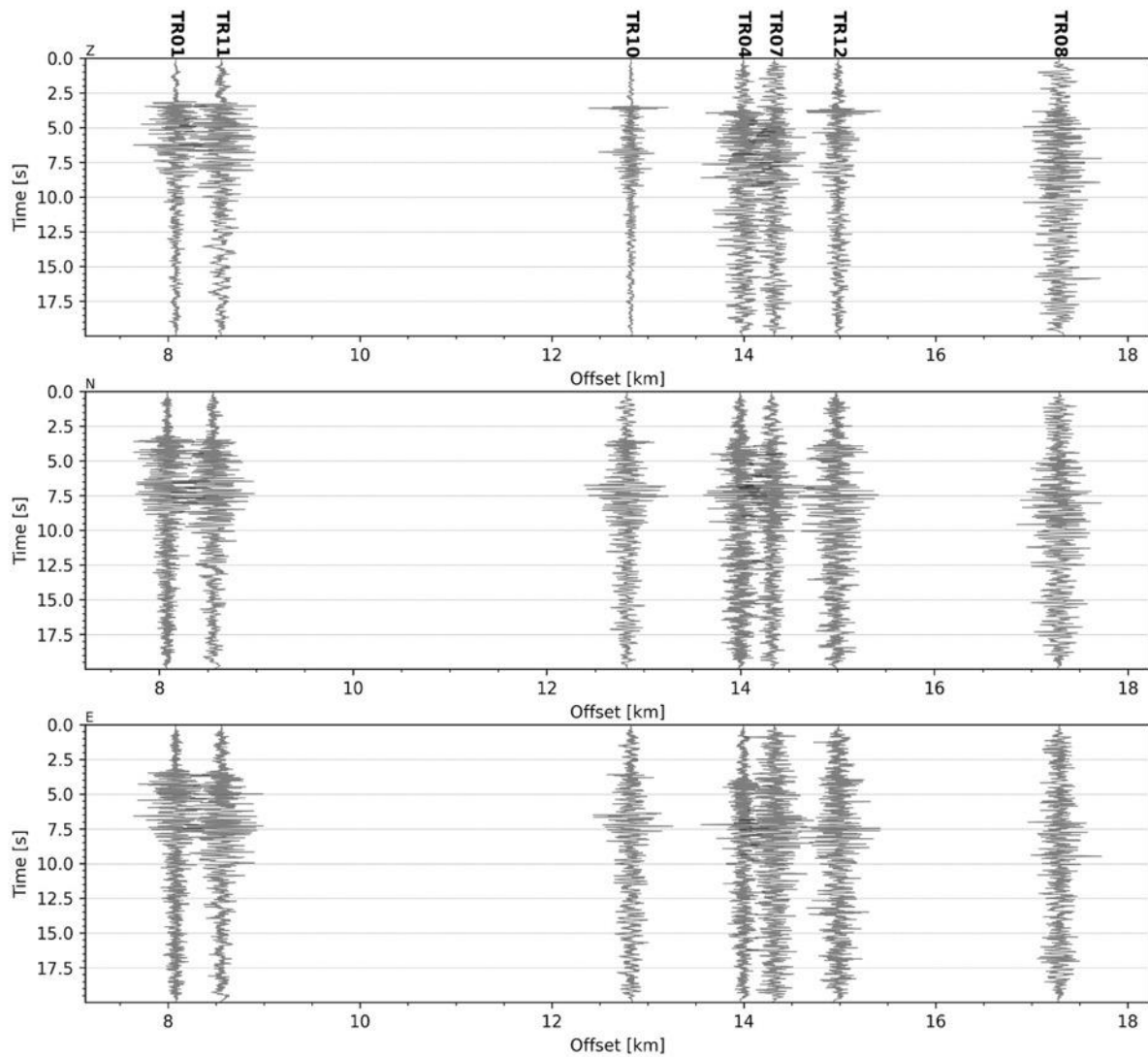


Figura 179 - forme d'onda (segnale raw filtrato) dell'evento 85, registrate dalle stazioni utilizzate per la localizzazione. Dall'alto, componenti Z, N, E.

Evento 86: 20/06/2024 04:29:06 UTC

Id	Tempo Origine [aa/mm/gg hh:mm:ss UTC]	Lat. [°]	Long. [°]	Profondità [km]	RMS [s]	M _i
86	2024-06-20 04:29:06	40.408	16.068	3.53	0.097	0.16±0.28

In Figura 180 sono mostrate le stazioni utilizzate per la localizzazione dell'evento sismico, l'epicentro e i limiti dei Domini di rilevazione e della Concessione.

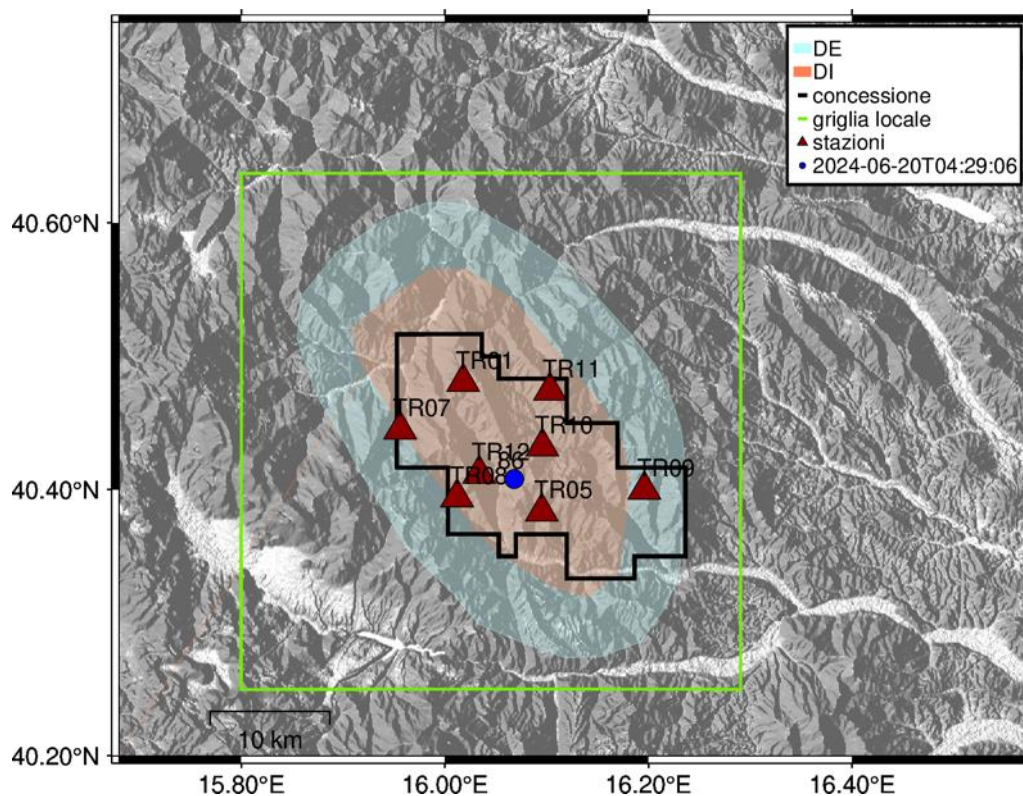


Figura 180 – stazioni utilizzate per la localizzazione, epicentro dell'evento del 20/06/2024 04:29:06 UTC localizzato a profondità 3.53 km

In Figura 181 sono mostrati i segnali acquisiti dalle stazioni usate per la localizzazione dell'evento 86: dall'alto verso il basso, componente Z, N, E

2024-06-20T04:29:06

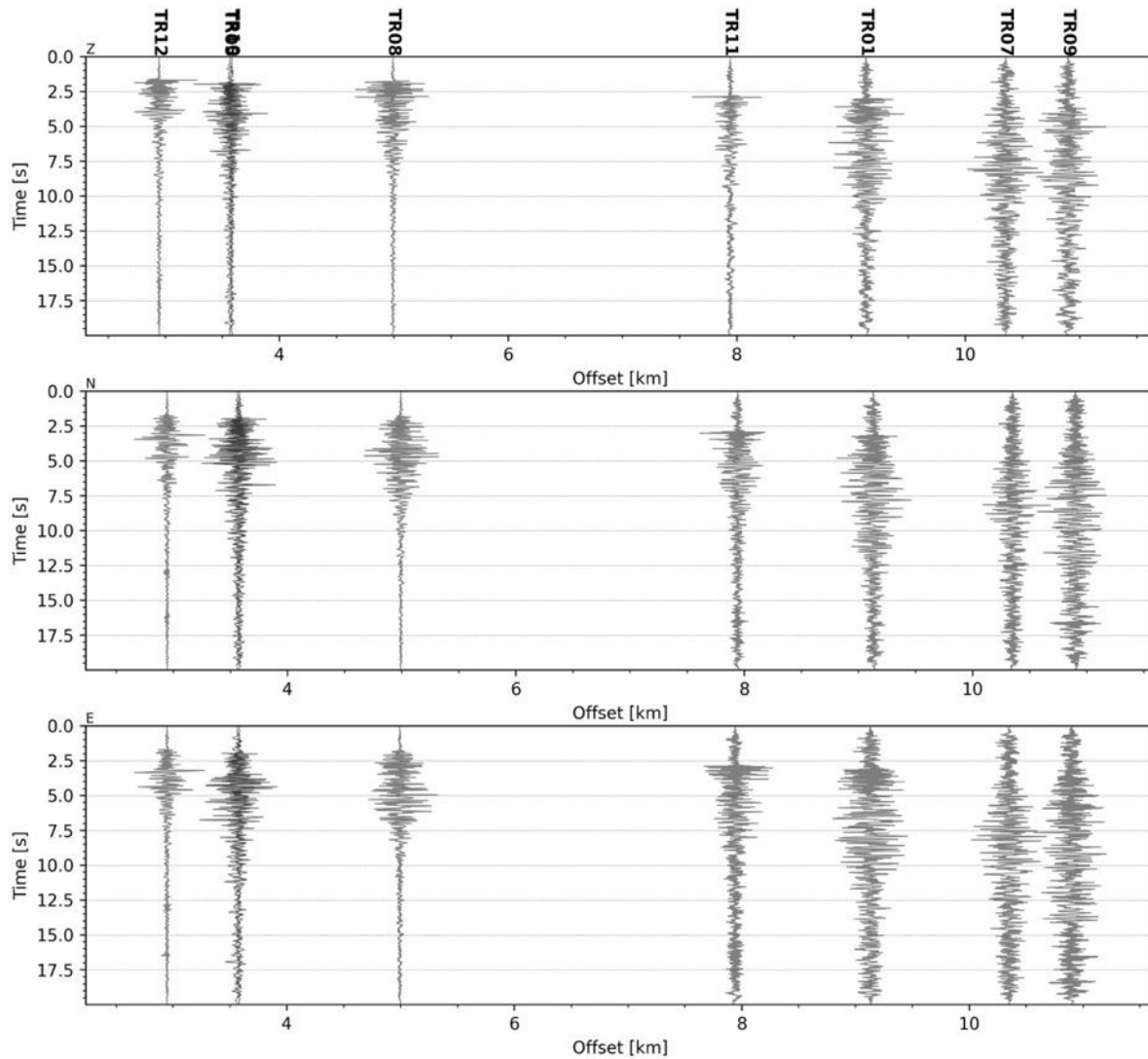


Figura 181 - forme d'onda (segnale raw filtrato) dell'evento 86, registrate dalle stazioni utilizzate per la localizzazione. Dall'alto, componenti Z, N, E.

Opere citate

- Dialuce, G., Chiarabba, C., Di Bucci, D., Doglioni, C., Gasparini, P., Lanari, R., . . . Zollo, A. (2014). Indirizzi e linee guida per il monitoraggio della sismicità, delle deformazioni del suolo e delle pressioni di poro nell'ambito delle attività antropiche.
- Kennett, B. L. (1991). raveltimes for global earthquake location and phase identification. *Geophysical Journal International*, 105(2), 429-465.
- Kissling, E., Ellsworth, W., Eberhart-Phillips D., & Kradolfer, U. (1994). Initial reference models in local earthquake tomography. *Journal of Geophysical Research*, 991, 19635-19646. doi:10.1029/93JB03138
- Krischer, L. M. (2015). ObsPy: a bridge for seismology into the scientific Python ecosystem. . *Computational Science & Discovery*, 8(1). doi:10.1088/1749-4699/8/1/01400.
- Lomax, A., Michelini, A., & Curtis, A. (2014). Earthquake Location, Direct, Global-Search Methods. *Encyclopedia of Complexity and Systems Science*, 1-33. doi:10.1007/978-3-642-27737-5_150-2
- Lomax, A., Virieux, J., Volant, P., & Berge-Thierry, C. (2000). Probabilistic Earthquake Location in 3D and Layered Models. In C. Thurber , & N. Rabinowitz , *Advances in Seismic Event Location. Modern Approaches in Geophysics* (Vol. 18). Springer. doi:10.1007/978-94-015-9536-0_5
- Piccinini, D., Improta, L., Anselmi, M., Moretti, M., Fracassi, U., Buttinelli, M., . . . Vallocchia, M. (2016). *Monitoraggio sismico di baseline - Campagna di sismica passiva per lo studio della sismicità di fondo nell'area della Concessione Gorgoglione*.
- Seismix, s. (2022). Ottimizzazione del modello di velocità 1D per l'area della Concessione Gorgoglione. 1-31.
- Solgeo srl. (2018). *Manuale Hw rete microsismica Gorgoglione - Descrizione rete - Schede stazioni - Schemi d'impianto - Collegamenti elettrici*.
- Thurber, C. (1992). Hypocenter-velocity structure coupling in local earthquake tomography. *Physics of the Earth and Planetary Interiors*, 75(1-3), 55-62. doi:10.1016/0031-9201(92)90117-E

Indice delle tabelle

Tabella 1: coordinate delle stazioni microsismiche (WGS84) e strumentazione installata.....	6
Tabella 2: percentuale di funzionamento delle stazioni nel periodo gennaio – giugno 2024	7
Tabella 3: interventi di manutenzione e/o riparazione nel periodo gennaio - giugno 2024.....	11
Tabella 4: modello di velocità 1D Tempa Rossa ottimizzato	13
Tabella 5: numero di eventi localizzati e distribuzione spaziale	16
Tabella 6: eventi sismici localizzati nella zona compresa nella griglia locale.	20

Indice delle figure

Figura 1: rete microsismica. Proiezioni in superficie dei Domini di rilevazione e, in nero, i limiti della Concessione. .	6
Figura 2: percentuale di funzionamento per singola stazione nei mesi oggetto del report.	10
Figura 3: percentuale di funzionamento della rete nel periodo gennaio - giugno 2024	11
Figura 4: flusso di SeisComp	12
Figura 5: modello di velocità ottimizzato delle onde P e S	14
Figura 6: Griglia locale in cui sono stati localizzati gli eventi.....	15
Figura 7: distribuzione degli eventi sismici	16
Figura 8: Mappa e sezioni dell'area di interesse con la distribuzione degli epicentri e ipocentri della sismicità da gennaio a giugno 2024 nella griglia locale.	21
Figura 9: Distribuzione della magnitudo (sinistra) e della profondità (destra) degli eventi sismici tra gennaio e giugno 2024.	22
Figura 10 - stazioni utilizzate per la localizzazione, epicentro dell'evento del 15/01/2024 07:56:07 UTC localizzato a profondità 11.11 km	23
Figura 11 - forme d'onda (segnale raw filtrato) dell'evento 1, registrate dalle stazioni utilizzate per la localizzazione. Dall'alto, componenti Z, N, E.....	24
Figura 12 - stazioni utilizzate per la localizzazione, epicentro dell'evento del 15/01/2024 12:08:13 UTC localizzato a profondità 12.78 km	25
Figura 13 - forme d'onda (segnale raw filtrato) dell'evento 2, registrate dalle stazioni utilizzate per la localizzazione. Dall'alto, componenti Z, N, E.....	26
Figura 14 - stazioni utilizzate per la localizzazione, epicentro dell'evento del 15/01/2024 19:30:38 UTC localizzato a profondità 11.34 km	27
Figura 15 - forme d'onda (segnale raw filtrato) dell'evento 3, registrate dalle stazioni utilizzate per la localizzazione. Dall'alto, componenti Z, N, E.....	28
Figura 16 - stazioni utilizzate per la localizzazione, epicentro dell'evento del 16/01/2024 07:30:15 UTC localizzato a profondità 5.22 km	29
Figura 17 - forme d'onda (segnale raw filtrato) dell'evento 4, registrate dalle stazioni utilizzate per la localizzazione. Dall'alto, componenti Z, N, E.....	30
Figura 18 - stazioni utilizzate per la localizzazione, epicentro dell'evento del 26/01/2024 11:04:46 UTC localizzato a profondità 7.22 km	31
Figura 19 - forme d'onda (segnale raw filtrato) dell'evento 5, registrate dalle stazioni utilizzate per la localizzazione. Dall'alto, componenti Z, N, E.....	32
Figura 20 - stazioni utilizzate per la localizzazione, epicentro dell'evento del 28/01/2024 23:42:14 UTC localizzato a profondità 11.72 km	33
Figura 21 - forme d'onda (segnale raw filtrato) dell'evento 6, registrate dalle stazioni utilizzate per la localizzazione. Dall'alto, componenti Z, N, E.....	34
Figura 22 - stazioni utilizzate per la localizzazione, epicentro dell'evento del 01/02/2024 03:51:52 UTC localizzato a profondità 14.19 km	35
Figura 23 - forme d'onda (segnale raw filtrato) dell'evento 7, registrate dalle stazioni utilizzate per la localizzazione. Dall'alto, componenti Z, N, E.....	36

Figura 24 - stazioni utilizzate per la localizzazione, epicentro dell'evento del 01/02/2024 04:06:57 UTC localizzato a profondità 11.44 km	37
Figura 25 - forme d'onda (segnale raw filtrato) dell'evento 8, registrate dalle stazioni utilizzate per la localizzazione. Dall'alto, componenti Z, N, E.....	38
Figura 26 - stazioni utilizzate per la localizzazione, epicentro dell'evento del 01/02/2024 05:18:04 UTC localizzato a profondità 1.25 km	39
Figura 27 - forme d'onda (segnale raw filtrato) dell'evento 9, registrate dalle stazioni utilizzate per la localizzazione. Dall'alto, componenti Z, N, E.....	40
Figura 28 - stazioni utilizzate per la localizzazione, epicentro dell'evento del 01/02/2024 06:05:27 UTC localizzato a profondità 15.81 km	41
Figura 29 - forme d'onda (segnale raw filtrato) dell'evento 10, registrate dalle stazioni utilizzate per la localizzazione. Dall'alto, componenti Z, N, E.....	42
Figura 30 - stazioni utilizzate per la localizzazione, epicentro dell'evento del 02/02/2024 02:20:42 UTC localizzato a profondità 1.72 km	43
Figura 31 - forme d'onda (segnale raw filtrato) dell'evento 11, registrate dalle stazioni utilizzate per la localizzazione. Dall'alto, componenti Z, N, E.s	44
Figura 32 - stazioni utilizzate per la localizzazione, epicentro dell'evento del 02/02/2024 15:55:40 UTC localizzato a profondità 8.06 km	45
Figura 33 - forme d'onda (segnale raw filtrato) dell'evento 12, registrate dalle stazioni utilizzate per la localizzazione. Dall'alto, componenti Z, N, E.....	46
Figura 34 - stazioni utilizzate per la localizzazione, epicentro dell'evento del 02/02/2024 19:50:03 UTC localizzato a profondità 15.53 km	47
Figura 35 - forme d'onda (segnale raw filtrato) dell'evento 13, registrate dalle stazioni utilizzate per la localizzazione. Dall'alto, componenti Z, N, E.....	48
Figura 36 - stazioni utilizzate per la localizzazione, epicentro dell'evento del 03/02/2024 05:16:43 localizzato a profondità 9.19 km	49
Figura 37 - forme d'onda (segnale raw filtrato) dell'evento 14, registrate dalle stazioni utilizzate per la localizzazione. Dall'alto, componenti Z, N, E.....	50
Figura 38 - stazioni utilizzate per la localizzazione, epicentro dell'evento del 05/02/2024 18:05:33 UTC localizzato a profondità 14.56 km	51
Figura 39 - forme d'onda (segnale raw filtrato) dell'evento 15, registrate dalle stazioni utilizzate per la localizzazione. Dall'alto, componenti Z, N, E.....	52
Figura 40 - stazioni utilizzate per la localizzazione, epicentro dell'evento del 05/02/2024 22:12:40 UTC localizzato a profondità 1.69 km	53
Figura 41 - forme d'onda (segnale raw filtrato) dell'evento 16, registrate dalle stazioni utilizzate per la localizzazione. Dall'alto, componenti Z, N, E.....	54
Figura 42 - stazioni utilizzate per la localizzazione, epicentro dell'evento del 05/02/2024 23:21:53 UTC localizzato a profondità 11.81 km	55
Figura 43 - forme d'onda (segnale raw filtrato) dell'evento 17, registrate dalle stazioni utilizzate per la localizzazione. Dall'alto, componenti Z, N, E.....	56
Figura 44 - stazioni utilizzate per la localizzazione, epicentro dell'evento del 07/02/2024 06:02:59 UTC localizzato a profondità 11.44 km	57
Figura 45 - forme d'onda (segnale raw filtrato) dell'evento 18, registrate dalle stazioni utilizzate per la localizzazione. Dall'alto, componenti Z, N, E.....	58
Figura 46 - stazioni utilizzate per la localizzazione, epicentro dell'evento del 07/02/2024 12:24:35 UTC localizzato a profondità 15.88 km	59
Figura 47 - forme d'onda (segnale raw filtrato) dell'evento 19, registrate dalle stazioni utilizzate per la localizzazione. Dall'alto, componenti Z, N, E.....	60
Figura 48 - stazioni utilizzate per la localizzazione, epicentro dell'evento del 13/02/2024 02:41:01 UTC localizzato a profondità 10.41 km	61
Figura 49 - forme d'onda (segnale raw filtrato) dell'evento 20, registrate dalle stazioni utilizzate per la localizzazione. Dall'alto, componenti Z, N, E.....	62
Figura 50 - stazioni utilizzate per la localizzazione, epicentro dell'evento del 13/02/2024 03:11:44 UTC localizzato a profondità 9.69 km	63

Figura 51 - forme d'onda (segnale raw filtrato) dell'evento 21, registrate dalle stazioni utilizzate per la localizzazione. Dall'alto, componenti Z, N, E.....	64
Figura 52 - stazioni utilizzate per la localizzazione, epicentro dell'evento 16/02/2024 07:40:34 UTC localizzato a profondità 10.84 km	65
Figura 53 - forme d'onda (segnale raw filtrato) dell'evento 22, registrate dalle stazioni utilizzate per la localizzazione. Dall'alto, componenti Z, N, E.....	66
Figura 54 - stazioni utilizzate per la localizzazione, epicentro dell'evento del 16/02/2024 07:40:46 UTC localizzato a profondità 10.34 km	67
Figura 55 - forme d'onda (segnale raw filtrato) dell'evento 23, registrate dalle stazioni utilizzate per la localizzazione. Dall'alto, componenti Z, N, E.....	68
Figura 56 - stazioni utilizzate per la localizzazione, epicentro dell'evento del 17/02/2024 20:17:02 UTC localizzato a profondità 0.81 km	69
Figura 57 - forme d'onda (segnale raw filtrato) dell'evento 24, registrate dalle stazioni utilizzate per la localizzazione. Dall'alto, componenti Z, N, E.....	70
Figura 58 - stazioni utilizzate per la localizzazione, epicentro dell'evento del 21/02/2024 16:50:15 UTC localizzato a profondità 10.44 km	71
Figura 59 - forme d'onda (segnale raw filtrato) dell'evento 25, registrate dalle stazioni utilizzate per la localizzazione. Dall'alto, componenti Z, N, E.....	72
Figura 60 - stazioni utilizzate per la localizzazione, epicentro dell'evento 26/02/2024 00:36:19 UTC localizzato a profondità 9.94 km	73
Figura 61 - forme d'onda (segnale raw filtrato) dell'evento 26, registrate dalle stazioni utilizzate per la localizzazione. Dall'alto, componenti Z, N, E.....	74
Figura 62 - stazioni utilizzate per la localizzazione, epicentro dell'evento del 26/02/2024 01:26:40 UTC localizzato a profondità 10.31 km	75
Figura 63 - forme d'onda (segnale raw filtrato) dell'evento 27, registrate dalle stazioni utilizzate per la localizzazione. Dall'alto, componenti Z, N, E.....	76
Figura 64 - stazioni utilizzate per la localizzazione, epicentro dell'evento 26/02/2024 05:33:51 UTC localizzato a profondità 15.81 km	77
Figura 65 - forme d'onda (segnale raw filtrato) dell'evento 28, registrate dalle stazioni utilizzate per la localizzazione. Dall'alto, componenti Z, N, E.....	78
Figura 66 - stazioni utilizzate per la localizzazione, epicentro dell'evento del 27/02/2024 22:04:46 UTC localizzato a profondità 10.69 km	79
Figura 67 - forme d'onda (segnale raw filtrato) dell'evento 29, registrate dalle stazioni utilizzate per la localizzazione. Dall'alto, componenti Z, N, E.....	80
Figura 68 - stazioni utilizzate per la localizzazione, epicentro dell'evento 01/03/2024 00:43:05 UTC localizzato a profondità 42.97 km	81
Figura 69 - forme d'onda (segnale raw filtrato) dell'evento 30, registrate dalle stazioni utilizzate per la localizzazione. Dall'alto, componenti Z, N, E.....	82
Figura 70 - stazioni utilizzate per la localizzazione, epicentro dell'evento del 06/03/2024 06:09:50 UTC localizzato a profondità 0.94 km	83
Figura 71 - forme d'onda (segnale raw filtrato) dell'evento 31, registrate dalle stazioni utilizzate per la localizzazione. Dall'alto, componenti Z, N, E.....	84
Figura 72 - stazioni utilizzate per la localizzazione, epicentro dell'evento del: 08/03/2024 02:08:04 UTC localizzato a profondità 10.56 km	85
Figura 73 - forme d'onda (segnale raw filtrato) dell'evento 32, registrate dalle stazioni utilizzate per la localizzazione. Dall'alto, componenti Z, N, E.....	86
Figura 74 - stazioni utilizzate per la localizzazione, epicentro dell'evento del 08/03/2024 02:08:28 UTC localizzato a profondità 13.94 km	87
Figura 75 - forme d'onda (segnale raw filtrato) dell'evento 33, registrate dalle stazioni utilizzate per la localizzazione. Dall'alto, componenti Z, N, E.....	88
Figura 76 - stazioni utilizzate per la localizzazione, epicentro dell'evento del 08/03/2024 19:34:29 UTC localizzato a profondità 5.97 km	89
Figura 77 - forme d'onda (segnale raw filtrato) dell'evento 34, registrate dalle stazioni utilizzate per la localizzazione. Dall'alto, componenti Z, N, E.....	90

Figura 78 - stazioni utilizzate per la localizzazione, epicentro dell'evento del 18/03/2024 07:26:35 UTC localizzato a profondità 3.03 km	91
Figura 79 - forme d'onda (segnale raw filtrato) dell'evento 35, registrate dalle stazioni utilizzate per la localizzazione. Dall'alto, componenti Z, N, E.....	92
Figura 80 - stazioni utilizzate per la localizzazione, epicentro dell'evento del 22/03/2024 16:40:05 UTC localizzato a profondità 11.44 km	93
Figura 81 - forme d'onda (segnale raw filtrato) dell'evento 36, registrate dalle stazioni utilizzate per la localizzazione. Dall'alto, componenti Z, N, E.....	94
Figura 82 - stazioni utilizzate per la localizzazione, epicentro dell'evento del 26/03/2024 12:12:09 UTC localizzato a profondità 3.34 km	95
Figura 83 - forme d'onda (segnale raw filtrato) dell'evento 37, registrate dalle stazioni utilizzate per la localizzazione. Dall'alto, componenti Z, N, E.....	96
Figura 84 - stazioni utilizzate per la localizzazione, epicentro dell'evento del 11/04/2024 00:47:33 UTC localizzato a profondità 6.69 km	97
Figura 85 - forme d'onda (segnale raw filtrato) dell'evento 38, registrate dalle stazioni utilizzate per la localizzazione. Dall'alto, componenti Z, N, E.....	98
Figura 86 - stazioni utilizzate per la localizzazione, epicentro dell'evento del 14/04/2024 06:20:36 UTC localizzato a profondità 7.41 km	99
Figura 87 - forme d'onda (segnale raw filtrato) dell'evento 39, registrate dalle stazioni utilizzate per la localizzazione. Dall'alto, componenti Z, N, E.....	100
Figura 88 - stazioni utilizzate per la localizzazione, epicentro dell'evento del 14/04/2024 09:24:10 UTC localizzato a profondità 2.91 km	101
Figura 89 - forme d'onda (segnale raw filtrato) dell'evento 40, registrate dalle stazioni utilizzate per la localizzazione. Dall'alto, componenti Z, N, E.....	102
Figura 90 - stazioni utilizzate per la localizzazione, epicentro dell'evento del 14/04/2024 22:45:42 UTC localizzato a profondità 17.22 km	103
Figura 91 - forme d'onda (segnale raw filtrato) dell'evento 41, registrate dalle stazioni utilizzate per la localizzazione. Dall'alto, componenti Z, N, E.....	104
Figura 92 - stazioni utilizzate per la localizzazione, epicentro dell'evento del 15/04/2024 00:49:37 UTC localizzato a profondità 17.59 km	105
Figura 93 - forme d'onda (segnale raw filtrato) dell'evento 42, registrate dalle stazioni utilizzate per la localizzazione. Dall'alto, componenti Z, N, E.....	106
Figura 94 - stazioni utilizzate per la localizzazione, epicentro dell'evento del 18/04/2024 22:00:40 UTC localizzato a profondità 7.42 km	107
Figura 95 - forme d'onda (segnale raw filtrato) dell'evento 43, registrate dalle stazioni utilizzate per la localizzazione. Dall'alto, componenti Z, N, E.....	108
Figura 96 - stazioni utilizzate per la localizzazione, epicentro dell'evento del 20/04/2024 04:16:37 UTC localizzato a profondità 11.91 km	109
Figura 97 - forme d'onda (segnale raw filtrato) dell'evento 44, registrate dalle stazioni utilizzate per la localizzazione. Dall'alto, componenti Z, N, E.....	110
Figura 98 - stazioni utilizzate per la localizzazione, epicentro dell'evento del 25/04/2024 09:51:41 UTC localizzato a profondità 10.59 km	111
Figura 99 - forme d'onda (segnale raw filtrato) dell'evento 45, registrate dalle stazioni utilizzate per la localizzazione. Dall'alto, componenti Z, N, E.....	112
Figura 100 - stazioni utilizzate per la localizzazione, epicentro dell'evento del 27/04/2024 05:18:39 UTC localizzato a profondità 8.97 km	113
Figura 101 - forme d'onda (segnale raw filtrato) dell'evento 46, registrate dalle stazioni utilizzate per la localizzazione. Dall'alto, componenti Z, N, E.....	114
Figura 102 - stazioni utilizzate per la localizzazione, epicentro dell'evento 27/04/2024 23:43:03 UTC localizzato a profondità 1.91 km	115
Figura 103 - forme d'onda (segnale raw filtrato) dell'evento 47, registrate dalle stazioni utilizzate per la localizzazione. Dall'alto, componenti Z, N, E.....	116
Figura 104 - stazioni utilizzate per la localizzazione, epicentro dell'evento del 13/05/2024 12:11:08 UTC localizzato a profondità 15.44 km	117

Figura 105 - forme d'onda (segnale raw filtrato) dell'evento 48, registrate dalle stazioni utilizzate per la localizzazione. Dall'alto, componenti Z, N, E.....	118
Figura 106 - stazioni utilizzate per la localizzazione, epicentro dell'evento del 20/05/2024 02:05:00 UTC localizzato a profondità 4.91 km	119
Figura 107 - forme d'onda (segnale raw filtrato) dell'evento 49, registrate dalle stazioni utilizzate per la localizzazione. Dall'alto, componenti Z, N, E.....	120
Figura 108 - stazioni utilizzate per la localizzazione, epicentro dell'evento del 26/05/2024 12:46:25 UTC localizzato a profondità 14.44 km	121
Figura 109 - forme d'onda (segnale raw filtrato) dell'evento 50, registrate dalle stazioni utilizzate per la localizzazione. Dall'alto, componenti Z, N, E.....	122
Figura 110 - stazioni utilizzate per la localizzazione, epicentro dell'evento del 26/05/2024 12:50:36 UTC localizzato a profondità 14.91 km	123
Figura 111 - forme d'onda (segnale raw filtrato) dell'evento 51, registrate dalle stazioni utilizzate per la localizzazione. Dall'alto, componenti Z, N, E.....	124
Figura 112 - stazioni utilizzate per la localizzazione, epicentro dell'evento del 26/05/2024 26 13:05:12 UTC localizzato a profondità 15.11 km	125
Figura 113 - forme d'onda (segnale raw filtrato) dell'evento 52, registrate dalle stazioni utilizzate per la localizzazione. Dall'alto, componenti Z, N, E.....	126
Figura 114 - stazioni utilizzate per la localizzazione, epicentro dell'evento del 26/05/2024 13:10:08 UTC localizzato a profondità 14.92 km	127
Figura 115 - forme d'onda (segnale raw filtrato) dell'evento 53, registrate dalle stazioni utilizzate per la localizzazione. Dall'alto, componenti Z, N, E.....	128
Figura 116 - stazioni utilizzate per la localizzazione, epicentro dell'evento del 26/05/2024 13:15:49 UTC localizzato a profondità 14.70 km	129
Figura 117 - forme d'onda (segnale raw filtrato) dell'evento 54, registrate dalle stazioni utilizzate per la localizzazione. Dall'alto, componenti Z, N, E.....	130
Figura 118 - stazioni utilizzate per la localizzazione, epicentro dell'evento del 26/05/2024 13:18:49 UTC localizzato a profondità 14.09 km	131
Figura 119 - forme d'onda (segnale raw filtrato) dell'evento 55, registrate dalle stazioni utilizzate per la localizzazione. Dall'alto, componenti Z, N, E.....	132
Figura 120 - stazioni utilizzate per la localizzazione, epicentro dell'evento del 26/05/2024 13:20:55 UTC localizzato a profondità 15.56km	133
Figura 121 - forme d'onda (segnale raw filtrato) dell'evento 56, registrate dalle stazioni utilizzate per la localizzazione. Dall'alto, componenti Z, N, E.....	134
Figura 122 - stazioni utilizzate per la localizzazione, epicentro dell'evento del 26/05/2024 13:23:19 UTC localizzato a profondità 14.03 km	135
Figura 123 - forme d'onda (segnale raw filtrato) dell'evento 57, registrate dalle stazioni utilizzate per la localizzazione. Dall'alto, componenti Z, N, E.....	136
Figura 124 - stazioni utilizzate per la localizzazione, epicentro dell'evento del 26/05/2024 13:26:31 UTC localizzato a profondità 14.16 km	137
Figura 125 - forme d'onda (segnale raw filtrato) dell'evento 58, registrate dalle stazioni utilizzate per la localizzazione. Dall'alto, componenti Z, N, E.....	138
Figura 126 - stazioni utilizzate per la localizzazione, epicentro dell'evento del 26/05/2024 13:27:47 UTC localizzato a profondità 14.19 km	139
Figura 127 - forme d'onda (segnale raw filtrato) dell'evento 59, registrate dalle stazioni utilizzate per la localizzazione. Dall'alto, componenti Z, N, E.....	140
Figura 128 - stazioni utilizzate per la localizzazione, epicentro dell'evento del 26/05/2024 13:29:02 UTC localizzato a profondità 14.41 km	141
Figura 129 - forme d'onda (segnale raw filtrato) dell'evento 60, registrate dalle stazioni utilizzate per la localizzazione. Dall'alto, componenti Z, N, E.....	142
Figura 130 - stazioni utilizzate per la localizzazione, epicentro dell'evento del 26/05/2024 13:35:03 UTC localizzato a profondità 15.31 km	143
Figura 131 - forme d'onda (segnale raw filtrato) dell'evento 61, registrate dalle stazioni utilizzate per la localizzazione. Dall'alto, componenti Z, N, E.....	144

Figura 132 - stazioni utilizzate per la localizzazione, epicentro dell'evento del 26/05/2024 13:35:15 UTC localizzato a profondità 14.09 km	145
Figura 133 - forme d'onda (segnale raw filtrato) dell'evento 62, registrate dalle stazioni utilizzate per la localizzazione. Dall'alto, componenti Z, N, E.....	146
Figura 134 - stazioni utilizzate per la localizzazione, epicentro dell'evento del 26/05/2024 13:41:13 UTC localizzato a profondità 14.59 km	147
Figura 135 - forme d'onda (segnale raw filtrato) dell'evento 63, registrate dalle stazioni utilizzate per la localizzazione. Dall'alto, componenti Z, N, E.....	148
Figura 136 - stazioni utilizzate per la localizzazione, epicentro dell'evento del 26/05/2024 13:50:57 UTC localizzato a profondità 14.72 km	149
Figura 137 - forme d'onda (segnale raw filtrato) dell'evento 64, registrate dalle stazioni utilizzate per la localizzazione. Dall'alto, componenti Z, N, E.....	150
Figura 138 - stazioni utilizzate per la localizzazione, epicentro dell'evento del 26/05/2024 14:05:46 UTC localizzato a profondità 15.44 km	151
Figura 139 - forme d'onda (segnale raw filtrato) dell'evento 65, registrate dalle stazioni utilizzate per la localizzazione. Dall'alto, componenti Z, N, E.....	152
Figura 140 - stazioni utilizzate per la localizzazione, epicentro dell'evento del 26/05/2024 14:26:03 UTC localizzato a profondità 14.56 km	153
Figura 141 - forme d'onda (segnale raw filtrato) dell'evento 66, registrate dalle stazioni utilizzate per la localizzazione. Dall'alto, componenti Z, N, E.....	154
Figura 142 - stazioni utilizzate per la localizzazione, epicentro dell'evento 26/05/2024 14:36:07 UTC localizzato a profondità 14.53 km	155
Figura 143 - forme d'onda (segnale raw filtrato) dell'evento 67, registrate dalle stazioni utilizzate per la localizzazione. Dall'alto, componenti Z, N, E.....	156
Figura 144 - stazioni utilizzate per la localizzazione, epicentro dell'evento del 16/05/2024 15:09:44 UTC localizzato a profondità 15.16 km	157
Figura 145 - forme d'onda (segnale raw filtrato) dell'evento 68, registrate dalle stazioni utilizzate per la localizzazione. Dall'alto, componenti Z, N, E.....	158
Figura 146 - stazioni utilizzate per la localizzazione, epicentro dell'evento del 26/05/2024 15:13:39 UTC localizzato a profondità 14.53 km	159
Figura 147 - forme d'onda (segnale raw filtrato) dell'evento 69, registrate dalle stazioni utilizzate per la localizzazione. Dall'alto, componenti Z, N, E.....	160
Figura 148 - stazioni utilizzate per la localizzazione, epicentro dell'evento del 26/05/2024 17:00:49 UTC localizzato a profondità 16.28 km	161
Figura 149 - forme d'onda (segnale raw filtrato) dell'evento 70, registrate dalle stazioni utilizzate per la localizzazione. Dall'alto, componenti Z, N, E.....	162
Figura 150 - stazioni utilizzate per la localizzazione, epicentro dell'evento del 26/05/2024 22:55:20 UTC localizzato a profondità 13.91 km	163
Figura 151 - forme d'onda (segnale raw filtrato) dell'evento 71, registrate dalle stazioni utilizzate per la localizzazione. Dall'alto, componenti Z, N, E.....	164
Figura 152 - stazioni utilizzate per la localizzazione, epicentro dell'evento del 26/05/2024 23:11:52 UTC localizzato a profondità 14.09 km	165
Figura 153 - forme d'onda (segnale raw filtrato) dell'evento 72, registrate dalle stazioni utilizzate per la localizzazione. Dall'alto, componenti Z, N, E.....	166
Figura 154 - stazioni utilizzate per la localizzazione, epicentro dell'evento del 26/05/2024 23:57:33 UTC localizzato a profondità 14.91 km	167
Figura 155 - forme d'onda (segnale raw filtrato) dell'evento 73, registrate dalle stazioni utilizzate per la localizzazione. Dall'alto, componenti Z, N, E.....	168
Figura 156 - stazioni utilizzate per la localizzazione, epicentro dell'evento del 27/05/2024 02:55:54 UTC localizzato a profondità 13.47 km	169
Figura 157 - forme d'onda (segnale raw filtrato) dell'evento 74, registrate dalle stazioni utilizzate per la localizzazione. Dall'alto, componenti Z, N, E.....	170
Figura 158 - stazioni utilizzate per la localizzazione, epicentro dell'evento del 27/05/2024 06:58:55 UTC localizzato a profondità 14.89 km	171

Figura 159 - forme d'onda (segnale raw filtrato) dell'evento 75, registrate dalle stazioni utilizzate per la localizzazione. Dall'alto, componenti Z, N, E.....	172
Figura 160 - stazioni utilizzate per la localizzazione, epicentro dell'evento del 29/05/2024 04:28:33 UTC localizzato a profondità 7.81 km	173
Figura 161 - forme d'onda (segnale raw filtrato) dell'evento 76, registrate dalle stazioni utilizzate per la localizzazione. Dall'alto, componenti Z, N, E.....	174
Figura 162 - stazioni utilizzate per la localizzazione, epicentro dell'evento del 29/05/2024 19:50:21 UTC localizzato a profondità 6.41 km	175
Figura 163 - forme d'onda (segnale raw filtrato) dell'evento 77, registrate dalle stazioni utilizzate per la localizzazione. Dall'alto, componenti Z, N, E.....	176
Figura 164 - stazioni utilizzate per la localizzazione, epicentro dell'evento del 31/05/2024 23:16:13 UTC localizzato a profondità 13.78 km	177
Figura 165 - forme d'onda (segnale raw filtrato) dell'evento 78, registrate dalle stazioni utilizzate per la localizzazione. Dall'alto, componenti Z, N, E.....	178
Figura 166 - stazioni utilizzate per la localizzazione, epicentro dell'evento del 02/06/2024 23:26:40 UTC localizzato a profondità 18.94 km	179
Figura 167 - forme d'onda (segnale raw filtrato) dell'evento 79, registrate dalle stazioni utilizzate per la localizzazione. Dall'alto, componenti Z, N, E.....	180
Figura 168 - stazioni utilizzate per la localizzazione, epicentro dell'evento del 03/06/2024 05:15:20 UTC localizzato a profondità 11.19 km	181
Figura 169 - forme d'onda (segnale raw filtrato) dell'evento 80, registrate dalle stazioni utilizzate per la localizzazione. Dall'alto, componenti Z, N, E.....	182
Figura 170 - stazioni utilizzate per la localizzazione, epicentro dell'evento del 07/06/2024 11:13:29 UTC localizzato a profondità 12.34 km	183
Figura 171 - forme d'onda (segnale raw filtrato) dell'evento 81, registrate dalle stazioni utilizzate per la localizzazione. Dall'alto, componenti Z, N, E.....	184
Figura 172 - stazioni utilizzate per la localizzazione, epicentro dell'evento del 08/06/2024 15:40:47 UTC localizzato a profondità 9.28 km	185
Figura 173 - forme d'onda (segnale raw filtrato) dell'evento 82, registrate dalle stazioni utilizzate per la localizzazione. Dall'alto, componenti Z, N, E.....	186
Figura 174 - stazioni utilizzate per la localizzazione, epicentro dell'evento del 09/06/2024 17:40:00 UTC localizzato a profondità 10.88 km	187
Figura 175 - forme d'onda (segnale raw filtrato) dell'evento 83, registrate dalle stazioni utilizzate per la localizzazione. Dall'alto, componenti Z, N, E.....	188
Figura 176 - stazioni utilizzate per la localizzazione, epicentro dell'evento del 15/06/2024 00:53:41 UTC localizzato a profondità 11.88 km	189
Figura 177 - forme d'onda (segnale raw filtrato) dell'evento 84, registrate dalle stazioni utilizzate per la localizzazione. Dall'alto, componenti Z, N, E.....	190
Figura 178 - stazioni utilizzate per la localizzazione, epicentro dell'evento del 17/06/2024 06:48:41 UTC localizzato a profondità 12.25 km	191
Figura 179 - forme d'onda (segnale raw filtrato) dell'evento 85, registrate dalle stazioni utilizzate per la localizzazione. Dall'alto, componenti Z, N, E.....	192
Figura 180 - stazioni utilizzate per la localizzazione, epicentro dell'evento del 20/06/2024 04:29:06 UTC localizzato a profondità 3.53 km	193
Figura 181 - forme d'onda (segnale raw filtrato) dell'evento 86, registrate dalle stazioni utilizzate per la localizzazione. Dall'alto, componenti Z, N, E.....	194